

**HOMOJEN OLMAYAN ORTOTROP KOMPOZIT
MALZEMELERDEN OLUSAN DIKDÖRTGEN
PLAKLARIN ENINE KAYMA DEFORMASYONUNU
İÇEREN TITRESİM ANALİZİ**

İFFET FEYZA ÇIRAK

YÜKSEK LİSANS TEZİ

İNSAAT MÜHENDİSLİĞİ ANABİLİM DALI

İSPARTA 2004

**T.C.
SÜLEYMAN DEMİREL ÜNİVERSİTESİ
FEN BİLİMLERİ ENSTİTÜSÜ**

**HOMOJEN OLMAYAN ORTOTROP KOMPOZİT
MALZEMELERDEN OLUSAN DİK DÖRTGEN PLAKLARIN
ENİNE KAYMA DEFORMASYONUNU İÇEREN TİTRESİM ANALİZİ**

Iffet Feyza ÇIRAK

Danışman : Doç. Dr. Abdullah H. SOFİYEY

**YÜKSEK LİSANS TEZİ
İNŞAAT MÜHENDİSLİĞİ ANABİLİM DALI**

Isparta, 2004

İÇİNDEKİLER

İÇİNDEKİLER.....	i
ÖZET.....	iii
ABSTRACT.....	v
ÖNSÖZ.....	vii
SIMGELER DIZINI.....	viii
SEKİLLER DIZINI.....	xii
ÇİZELGELER DIZINI.....	xvii
1. GİRİŞ.....	1
1.1.Çalışmanın Önemi.....	1
1.2. Çalışmanın Amacı.....	2
1.3. Kuramsal Temeller.....	3
1.3.1. Anizotrop Cismin Elastisite Teorisinin Temel bağıntı ve Denklemleri.....	3
1.3.2. Genel Teorinin Başlangıç Durumları ve Hipotezleri.....	5
1.3.3. Enine Kayma Deformasyonu Fonksiyonunun Seçimi.....	7
2. KAYNAK ÖZETLERİ.....	9
3.MATERYAL ve YÖNTEM.....	26
3.1. Enine Kayma Deformasyonları İçeren Homojen Olmayan Ortotrop Kompozit Dikdörtgen Plakın serbest Titreşimi.....	26
3.1.1. Enine Kayma Deformasyonları İçeren Homojen Olmayan Ortotrop Kompozit Plakların Temel Bağlantıları.....	26
3.1.2. Enine Kayma Deformasyonları İçeren Homojen Olmayan Ortotrop Kompozit Plakların Dinamik Stabilité Ve Uygunluk Denklemlerinin Çıkarılması.....	34
4.ARASTIRMA BULGULARI.....	40
4.1. Tüm Kenarları Mafsallı Olan Enine Kayma Deformasyonları İçeren Homojen Olmayan Ortotrop Kompozit Dikdörtgen Plakların Serbest Titreşim Frekanslarının Bulunması.....	40
4.2. Sayısal Hesaplar ve Analiz.....	51
5.SONUÇLAR.....	145
6.KAYNAKLAR.....	149
ÖZGEÇMİŞ.....	157

EKLER.....	158
EK-1.....	158
EK-2.....	160

Ö Z E T

Çağdas teknolojiye ince plak ve kabukların serbest titreşim frekansının belirlenmesi ve frekans spektrinin bulunması yapı elemanlarının oluşumunda çok önemli yer almaktadır. Homojen ve homojen olmayan malzemelerden oluşan anizotrop ince plaklar, havacılık endüstrisinde, gemi ve trenlerin yapımında ve değişik inşaat yapılarında örtü veya kuvvetlendirici olarak kullanılmaktadırlar. Bu tür yapı elemanlarının projelendirilme aşamasında üzerinde durulacak çok önemli hususlardan biri de malzemenin doğasını düzgün olarak yansıtan modellerin geliştirilmesidir. Bu işe, titreşim problemlerinde diğer faktörlerin yanı sıra malzemenin homojen olmamasının göz önüne alınmasını zorunlu kılmaktadır. Malzemeyi oluşturan bileşenlerin homojen olmayan dağılımları, onun doğal homojen olmayan mekanik özelliklere sahip olmasına neden olmaktadır. Üretim tekniği, radyasyon etkisi, termik ve yüzeysel cilalamalar vs. işe malzemenin homojenliğini bozan faktörler olup, bu etkiler sonucu malzemenin özellikleri noktadan noktaya sürekli olarak değişmekte ve nokta koordinatlarının sürekli fonksiyonu olmaktadır. Homojen olmamanın göz önüne alınması yapı elemanlarının boyut ve ağırlıklarının küçülmesine neden olarak, malzemedeki tasarruf ve ilave dayanıma imkan sağlamaktadır .

Titreşim problemlerinin çözümünde, kayma deformasyonlu plak teorisinin kullanımı (KDPT), diğer bir deyişle enine kayma deformasyonlarının kalınlık doğrultusundaki parabolik dağılımına karşı gelen fonksiyonların dikkate alınması, klasik plak teorisi ile elde edilen titreşim frekansı değerlerinden daha düşük değerler elde edilmesini sağlamaktadır. Dolayısıyla, kayma deformasyonlu plak teorisinin kullanımı klasik plak teorisinin (KPT) kullanımına kıyasla daha kesin sonuçlar elde etmeye imkan vermektedir.

Bu çalışmada, kayma deformasyonlu plak teorisi kullanılarak, Young modülleri ve yoğunluğu kalınlık koordinatına bağlı olarak sürekli değişen ortotrop kompozit malzemelerden oluşan basit mesnetli dikdörtgen plakların serbest titreşim probleminin incelenmesi amaçlanmaktadır. Enine kayma deformasyonları içeren ve

homojen olmayan malzemelerden olusan anizotrop plaklar için genel halde temel baginti, dinamik stabilite ve deformasyon uygunluk denklemleri olusturulmakta, Galerkin Yöntemi uygulanarak basit mesnetli dikdörtgen ortotrop plaklarda titresim frekansi için analitik ifade elde edilmektedir. Young modülleri ve yogunlugun degisim fonksiyonlari ve kayma deformasyonu fonksiyonu ayri-ayri sifira esit oldugu durumlarda, ortotrop ve izotrop malzemelerden olusan dikdörtgen plaklar için uygun ifadeler, bu genel ifadeden özel olarak elde edilmektedir. Sayisal hesaplar kisminda, MAPLE 8 bilgisayar programi kullanilmakta ve degisik homojen olmama fonksiyonlari seçilerek, Young modülleri ve yogunlugun degisimi, Young modülleri orani degisimi ve plak parametreleri degisiminin serbest titresim frekansi degerlerine etkileri incelenmektedir. Ayrica, enine kayma deformasyonu için somut fonksiyonlar seçilerek elde edilen serbest titresim frekansi degerlerinin, klasik titresim teorisi ile elde edilen titresim frekansi degerlerinden küçük oldugu gösterilmektedir. Son olarak da bu çalismada elde edilen sonuçlarin geçerliliği için literatürdeki çözümlerle karsilastirmalar yapılmaktadır.

ANAHTAR KELIMELER: Dikdörtgen Plak, Ortotrop Kompozit Malzeme, Homojen Olmama, Kayma Deformasyonu, Serbest Titresim Frekansi

ABSTRACT

In contemporary technology, determining free vibration frequency of plates and shells and frequency spectrum are very important in construction of structural elements. Anisotropic thin plates made of homogeneous and non-homogeneous materials are commonly used in aerospace, ship and train industry and in different buildings as covering or strengthened element. One of the most important subject during the project stage is developing models which reflect the nature of the material regularly. This makes taking non-homogeneity into consideration necessary beside the other factors in vibration problems. Non-homogeneous distributions of material constituents cause, the material has natural non-homogeneous mechanical properties. The non-homogeneity of materials arise from manufacturing techniques, radiation effect, thermal and surface polishing, etc. These effects cause the material properties to change point to point with continuous functions of the point coordinates. By taking non-homogeneity into consideration, endurance and an appreciable amount of material can be saved by decreasing dimensions and weights of the structural elements in design.

In the solution of the vibration problems, taking the usage of shear deformation plate theory (SDPT), in other words, the functions versus to parabolic distribution of transversal shear deformations into consideration proves obtaining lower values of free vibration frequencies than the free vibration frequencies obtained by using classical plate theory (CPT). Consequently, the usage of shear deformation plate theory (SDPT) makes the results more certain than the results obtained by using classical plate theory (CPT).

In this work, the aim is to study free vibration problems of simply supported rectangular plates made of orthotropic composite materials which have Young's moduli and densities varying continuously dependent on thickness coordinate. In general case, fundamental relations, dynamic stability and compatibility equations are obtained for anisotropic plates including transversal shear deformations made of non-homogeneous materials and in simply supported rectangular orthotropic plates,

an analytical expression is obtained for free vibration frequency by applying Galerkin's Method. When the variation functions of density and Young moduli and shear deformation function are equal to zero one by one, suitable expressions for rectangular plates made of orthotropic and isotropic plates are obtained particularly from this general expression. In numerical analysis part, a computer programme called MAPLE 8 is used and for different functions of Young's moduli and density, variation of Young's moduli ratio and variation of plate parameters on free vibration frequency values are examined. It is indicated that, the free vibration frequency values for transversal shear deformation are lower than the vibration frequency values obtained by classical plate theory. Finally, a comparison is made with the results in literature for validation of the results obtained in this study.

KEYWORDS: Rectangular Plate, Orthotropic Composite Material, Non-Homogeneity, Shear Deformation, Free Vibration Frequency

ÖNSÖZ

Bu çalıřma Süleyman Demirel Üniversitesi Fen Bilimleri Enstitüsü İnaaat Mühendislięi Anabilim Dalı'nda Yüksek Lisans Tezi olarak gerçekleştirilmiştir.

Homojen Olmayan Ortotrop Kompozit Malzemelerden Oluan Dikdörtgen Plakların Enine Kayma Deformasyonunu İçeren Titresim Analizi konulu bu çalıřmayı sürdürdüğüm dönemde, bana daima destek olan, fedakarlıktan kaçınmayan, ilęisini, bilęisini ve tecrübesini esirgemeyen, bana çalıřma sevki ve disiplini asılayan, daima her konuda desteęini hissettığım tez yöneticisi, saygıdeęer danisman hocam, Sayın **Doç.Dr. Abdullah H. SOFIYEV**'e sonsuz tesekkürlerimi sunarım.

31/08/2004

Iffet Feyza ÇIRAK

SIMGELER DIZINI

a	plagin uzunlugu
a_{ij}	(3.1.1.8) ifadeleri ile tanımlanan, plak ve malzeme sabitlerini içeren semboller
A	(4.1.51) ifadeleri ile tanımlanan, plak ve malzeme sabitlerini içeren sembol
$A_{ij}^k, (k=0,1,2)$	(3.1.1.25)-(3.1.1.31) ifadeleri ile tanımlanan, plak ve malzeme sabitlerini içeren semboller
A_{mn}	genlik
b	plagin genişligi
b_{ij}	(3.1.2.4a)-(3.1.2.4c) ifadeleri ile tanımlanan, plak ve malzeme sabitlerini içeren semboller
B	(4.1.52) ifadeleri ile tanımlanan, plak ve malzeme sabitlerini içeren sembol
B_{ij}	(3.1.1.7) ifadesi ile tanımlanan, plak ve malzeme sabitlerini içeren semboller
c_{ij}	(3.1.2.8a)-(3.1.2.8c) ifadeleri ile tanımlanan, plak ve malzeme sabitlerini içeren semboller
d	(4.1.50) ifadesi ile tanımlanan, enine kayma deformasyon etkisini içeren sembol
$D_{ij} (i, j = 1,2,\dots,6)$	plagin silindirik sertligi
e_x, e_y, e_z	plagin orta yüzeyinde rölatif uzama deformasyonlari
e_{xy}, e_{yz}, e_{zx}	plagin orta yüzeyinde kayma deformasyonlari
E_{01}, E_{02}	homojen ortotrop malzemenin Young modülleri

$f_i(\bar{z})$	plagin kalinligi dogrultusunda τ_{xz} ve τ_{yz} tegetsel gerilmelerin degisim kuralini karakterize eden fonksiyonlar
$G_{012}, G_{013}, G_{023}$	homojen ortotrop malzemenin kayma modülleri
h	plagin kalinligi
$H = H_{xy} = H_{yx}$	burulma momenti bilesenleri
I_5, I_6	tegetsel gerilmelerin degisim kuralini karakterize eden fonksiyonlari içeren (3.1.1.32) ile tanimlanan semboller
J_{01}, J_{02}	tegetsel gerilmelerin degisim kuralini karakterize eden fonksiyonlari içeren (3.1.1.9) ile tanimlanan ifadeler
m	x dogrultusundaki dalga sayisi
M_x, M_y	egilme momenti bilesenleri
n	y dogrultusundaki dalga sayisi
N_x, N_y	kesme kuvvetleri
P_x, P_y, P_z	birim hacme ait hacimsel kuvvetlerin izdüsümleri
Q_{ij}	(4.1.20)-(4.1.22) ifadeleri ile tanimlanan, plak ve malzeme sabitlerini içeren semboller
$S = S_{xy} = S_{yx}$	iç tanjant kuvvetleri
t	zaman koordinati
T_x, T_y	iç tanjant kuvvetleri
u_x, u_y, u_z	göz önüne alinan M noktasinin yer degistirme bilesenleri
U_i	(4.1.40) ifadeleri ile tanimlanan, plak malzeme sabitlerini içeren semboller
w	normal yer degistirme
x	plagin uzunlugu dogrultusundaki koordinat ekseni

x_{ij}	(4.1.26)-(4.1.27) ifadeleri ile tanımlanan, plak ve malzeme sabitlerini içeren semboller
y	plagin eni doğrultusundaki koordinat eksenini
y_i	(4.1.29) ve (4.1.32) ifadeleri ile tanımlanan, plak ve malzeme sabitlerini içeren semboller
z	plagin orta düzlemine dik doğrultudaki koordinat eksenini
Δ	(3.1.2.4b) ifadesinde tanımlanan, plak ve malzeme sabitlerini içeren sembol
ϵ_x, ϵ_y	deformasyon bileşenleri
ϵ_{xy}	kayma deformasyonu
$\eta_i(\bar{z}), (i=1,2)$	Young modülleri ve yoğunluk değişim fonksiyonları
$\phi_m(t), f_m(t), \varphi_m(t), \psi_m(t)$	zamana bağlı genlikler
$\lambda = \frac{m\pi x}{a}$	boyuna dalga sayısı içeren ifade
$\mu = \frac{m\pi y}{a}$	enine dalga sayısı içeren ifade
μ_1	Young modülleri değişim katsayısı
μ_2	yogunluk değişim katsayısı
$\nu_1 = \nu_{yx}, \nu_2 = \nu_{xy}$	Poisson oranları
ρ	malzeme yoğunluğu
ρ_0	homojen malzemenin yoğunluğu
ρ_1, ρ_2, ρ_3	homojen olmayan malzemenin yoğunluğu ve kayma deformasyonu etkilerini içeren fonksiyonlar
ρ_t	homojen olmayan malzemenin yoğunluğu
$\sigma_x, \sigma_y, \sigma_z$	normal gerilmeler
$\tau_{xy} = \tau_{yx}, \tau_{xz} = \tau_{zx}, \tau_{yz} = \tau_{zy}$	teget gerilmeler
$\varphi(x,y), \psi(x,y)$	enine kayma deformasyonlarının değişimini kuralını ifade eden x ve y koordinatlarına bağlı bilinmeyen

	fonksiyonlar
ω_{1mn}	KDPT kullanildiginda ve ho mojen olmamanin etkisi dikkate alindiginda serbest titresim frekansi
ω_{1mn}^0	KDPT kullanildiginda ve homojen durum için serbest titresim frekansi
ω_{2mn}	KPT kullanildiginda ve homojen olmamanin etkisi dikkate alindiginda serbest titresim frekansi
ω_{2mn}^0	KPT kullanildiginda ve homojen durum için serbest titresim frekansi
$\overline{\omega}_{2mn}^0$	KPT kullanildiginda ortotrop kompozit plagin serbest titresim frekansi parametresi
ω_{3mn}^0	KPT kullanildiginda homojen izotrop plagin serbest titresim frekansi
$\overline{\omega}_{3mn}^0$	izotrop malzemededen olusan plagin serbest titresim frekansi parametresi
$\omega_{1A mn}^0$	üç tane yer degistirme bilezeni kullanildiginda enine kayma deformasyonu içeren homojen ortotrop kompozit plagin serbest titresim frekansi

SEKILLER DIZINI

Sekil 1.3.1.1. Cismin birim hacminde gerilme bileşenlerinin gösterimi.....	5
Sekil 1.3.2.1. Plagin geometrisi ve koordinat sistemi.....	6
Sekil 1.3.3.1. Enine kayma deformasyonu fonksiyonunun kalınlık koordinatına göre değişimi.....	8
Sekil 3.1.1.1 Plagin iç kuvvet bileşenleri.....	29
Sekil 3.1.1.2 Plagin moment bileşenleri.....	30
Sekil 4.1.1. Dikdörtgen ($a \times b$) plakta koordinat sistemi.....	40
Sekil 4.2.1. $(m,n)=(1,n)$ için KDPT dikkate alındığında homojen ortotrop plak ve Young modülleri ve yoğunluğu aynı anda parabolik değişen ortotrop plak için serbest titreşim frekansı değerlerinin değişimi.....	52
Sekil 4.2.2. $(m,n)=(1,n)$ için KDPT ve KPT kullanıldığında homojen ortotrop plak ve Young modülleri ve yoğunluğu aynı anda parabolik değişen ortotrop plak için homojen olmamanın serbest titreşim frekansı değerlerine etkisinin değişimi.....	54
Sekil 4.2.3. $(m,n)=(m,1)$ için KDPT ve KPT kullanıldığında homojen ortotrop plak ve Young modülleri ve yoğunluğu aynı anda parabolik değişen ortotrop plak için enine kayma deformasyonunun serbest titreşim frekansı değerlerine etkisinin değişimi.....	57
Sekil 4.2.4. $(m,n)=(1,n)$ için KDPT dikkate alındığında homojen ortotrop plak ve yoğunluğu sabit ($\eta_2(\bar{z})=0$), Young modülleri parabolik değişen ($\eta_1(\bar{z})=\pm\bar{z}^2$) ortotrop plak için serbest titreşim frekansı değerlerinin değişimi.....	60
Sekil 4.2.5. $(m,n)=(m,1)$ için KDPT ve KPT kullanıldığında homojen ortotrop plak ve yoğunluğu sabit ($\eta_2(\bar{z})=0$), Young modülleri parabolik ($\eta_1(\bar{z})=\pm\bar{z}^2$) değişen ortotrop plak için enine kayma deformasyonunun serbest titreşim frekansı değerlerine etkisinin değişimi.....	63
Sekil 4.2.6. $(m,n)=(1,n)$ için KDPT ve KPT kullanıldığında homojen ortotrop plak ve Young modülleri sabit ($\eta_1(\bar{z})=0$), yoğunluğu parabolik ($\eta_2(\bar{z})=\pm\bar{z}^2$) değişen ortotrop plak için homojen olmamanın serbest titreşim frekansı değerlerine etkisinin değişimi.....	66

Sekil 4.2.7. (m,n)=(m,1) için KDPT ve KPT kullanıldığında homojen ortotrop plak ve Young modülleri sabit ($\eta_1(\bar{z})=0$), yoğunluğu parabolik ($\eta_2(\bar{z})=\pm\bar{z}^2$)değişen ortotrop plak için enine kayma deformasyonunun serbest titreşim frekansı değerlerine etkisinin değişimi.....	69
Sekil 4.2.8. (m,n)=(1,40) ve E_{b1}/E_{02} oranı için KDPT dikkate alındığında homojen ortotrop plak ve Young modülleri ve yoğunluğu aynı anda parabolik değişen ortotrop plak için serbest titreşim frekansı değerlerinin değişimi.....	71
Sekil 4.2.9. (m,n)=(1,40) ve E_{01}/E_{02} oranı için KDPT ve KPT kullanıldığında homojen ortotrop plak ve Young modülleri ve yoğunluğu aynı anda parabolik değişen ortotrop plak için enine kayma deformasyonunun serbest titreşim frekansı değerlerine etkisinin değişimi.....	72
Sekil 4.2.10. (m,n)=(1,40) ve E_{01}/E_{02} oranı için KDPT ve KPT kullanıldığında homojen ortotrop plak ve Young modülleri ve yoğunluğu aynı anda parabolik değişen ortotrop plak için homojen olmamanın serbest titreşim frekansı değerlerine etkisinin değişimi.....	74
Sekil 4.2.11. (m,n)=(40,1) ve E_{01}/E_{02} oranı için KDPT ve KPT kullanıldığında homojen ortotrop plak ve Young modülleri ve yoğunluğu aynı anda parabolik değişen ortotrop plak için enine kayma deformasyonunun serbest titreşim frekansı değerlerine etkisinin değişimi.....	75
Sekil 4.2.12. (m,n)=(1,40), $h=0.01$ m ve a/b oranı için KDPT dikkate alındığında homojen ortotrop plak ve Young modülleri ve yoğunluğu aynı anda parabolik değişen ortotrop plak için serbest titreşim frekansı değerlerinin değişimi.....	77
Sekil 4.2.13. (m,n)=(40,1), $h=0.01$ m ve a/b oranı için KDPT dikkate alındığında homojen ortotrop plak ve Young modülleri ve yoğunluğu aynı anda parabolik değişen ortotrop plak için serbest titreşim frekansı değerlerinin değişimi.....	80
Sekil 4.2.14. (m,n)=(40,1), $h=0.01$ m ve a/b oranı için KDPT ve KPT kullanıldığında homojen ortotrop plak ve Young modülleri ve yoğunluğu aynı anda parabolik değişen ortotrop plak için enine kayma deformasyonunun serbest titreşim frekansı değerlerine etkisinin değişimi.....	81
Sekil 4.2.15. (m,n)=(40,1), $h=0.02$ m ve a/b oranı için KDPT dikkate alındığında homojen ortotrop plak ve Young modülleri ve yoğunluğu aynı anda parabolik değişen ortotrop plak için serbest titreşim frekansı değerlerinin değişimi.....	86

Sekil 4.2.16. $(m,n)=(40,1)$, $h=0.02$ m ve a/b orani için KDPT ve KPT kullanıldığında homojen ortotrop plak ve Young modülleri ve yoğunluğu aynı anda parabolik değişen ortotrop plak için enine kayma deformasyonunun serbest titreşim frekansı değerlerine etkisinin değişimi.....	87
Sekil 4.2.17. $(m,n)=(50,1)$ ve h/a orani için KDPT dikkate alındığında homojen ortotrop plak ve Young modülleri ve yoğunluğu aynı anda parabolik değişen ortotrop plak için serbest titreşim frekansı değerlerinin değişimi.....	89
Sekil 4.2.18. $(m,n)=(50,1)$ ve h/a orani için KPT dikkate alındığında homojen ortotrop plak ve Young modülleri ve yoğunluğu aynı anda parabolik değişen ortotrop plak için serbest titreşim frekansı değerlerinin değişimi.....	90
Sekil 4.2.19. $(m,n)=(50,1)$ ve h/a orani için KDPT ve KPT kullanıldığında homojen ortotrop plak ve Young modülleri ve yoğunluğu aynı anda parabolik değişen ortotrop plak için enine kayma deformasyonunun serbest titreşim frekansı değerlerine etkisinin değişimi.....	91
Sekil 4.2.20. $(m,n)=(1,50)$ ve h/a orani için KDPT ve KPT kullanıldığında homojen ortotrop plak ve Young modülleri ve yoğunluğu aynı anda parabolik değişen ortotrop plak için homojen olmamanın serbest titreşim frekansı değerlerine etkisinin değişimi.....	93
Sekil 4.2.21. $(m,n)=(m,50)$ ve h/a orani için KDPT dikkate alındığında homojen ortotrop plak ve Young modülleri ve yoğunluğu aynı anda parabolik değişen ortotrop plak için serbest titreşim frekansı değerlerinin değişimi.....	94
Sekil 4.2.22. $(m,n)=(m,50)$ ve h/a orani için KPT dikkate alındığında homojen ortotrop plak ve Young modülleri ve yoğunluğu aynı anda parabolik değişen ortotrop plak için serbest titreşim frekansı değerlerinin değişimi.....	95
Sekil 4.2.23. $(m,n)=(m,50)$ ve h/a orani için KDPT ve KPT kullanıldığında homojen ortotrop plak ve Young modülleri ve yoğunluğu aynı anda parabolik değişen ortotrop plak için enine kayma deformasyonunun serbest titreşim frekansı değerlerine etkisinin değişimi.....	96
Sekil 4.2.24. $(m,n)=(m,50)$ ve h/a orani için KDPT ve KPT kullanıldığında homojen ortotrop plak ve Young modülleri ve yoğunluğu aynı anda parabolik değişen ortotrop plak için homojen olmamanın serbest titreşim frekansı değerlerine etkisinin değişimi.....	97

- Sekil 4.2.25. $(m,n)=(1,n)$ için KDPT ve KPT kullanıldığında homojen ortotrop plak ve Young modülleri ve yoğunluğu aynı anda üstel değişen ortotrop plak için homojen olmamanın serbest titreşim frekansı değerlerine etkisinin değişimi.....101
- Sekil 4.2.26. $(m,n)=(m,1)$ için KDPT ve KPT kullanıldığında homojen ortotrop plak ve Young modülleri ve yoğunluğu aynı anda üstel değişen ortotrop plak için enine kayma deformasyonunun serbest titreşim frekansı değerlerine etkisinin değişimi..104
- Sekil 4.2.27. $(m,n)=(1,n)$ için KDPT dikkate alındığında homojen ortotrop plak ve yoğunluğu sabit ($\eta_2(\bar{z})=0$), Young modülleri üstel değişen ($\eta_1(\bar{z})=\pm e^{K^*|z|}$) ortotrop plak için serbest titreşim frekansı değerlerinin değişimi.....110
- Sekil 4.2.28. $(m,n)=(1,n)$ için KPT dikkate alındığında homojen ortotrop plak ve yoğunluğu sabit ($\eta_2(\bar{z})=0$), Young modülleri üstel değişen ($\eta_1(\bar{z})=\pm e^{K^*|z|}$) ortotrop plak için serbest titreşim frekansı değerlerinin değişimi.....110
- Sekil 4.2.29. $(m,n)=(m,1)$ için KDPT dikkate alındığında homojen ortotrop plak ve yoğunluğu sabit ($\eta_2(\bar{z})=0$), Young modülleri üstel değişen ($\eta_1(\bar{z})=\pm e^{K^*|z|}$) ortotrop plak için serbest titreşim frekansı değerlerinin değişimi.....113
- Sekil 4.2.30. $(m,n)=(m,1)$ için KPT dikkate alındığında homojen ortotrop plak ve yoğunluğu sabit ($\eta_2(\bar{z})=0$), Young modülleri üstel değişen ($\eta_1(\bar{z})=\pm e^{K^*|z|}$) ortotrop plak için serbest titreşim frekansı değerlerinin değişimi.....115
- Sekil 4.2.31. $(m,n)=(1,n)$ için KDPT dikkate alındığında homojen ortotrop plak ve Young modülleri sabit ($\eta_1(\bar{z})=0$), yoğunluğu üstel değişen ($\eta_2(\bar{z})=\pm e^{K^*|z|}$) ortotrop plak için serbest titreşim frekansı değerlerinin değişimi.....117
- Sekil 4.2.32. $(m,n)=(m,1)$ için KDPT dikkate alındığında homojen ortotrop plak ve Young modülleri sabit ($\eta_1(\bar{z})=0$), yoğunluğu üstel değişen ($\eta_2(\bar{z})=\pm e^{K^*|z|}$) ortotrop plak için serbest titreşim frekansı değerlerinin değişimi.....120
- Sekil 4.2.33. $(m,n)=(m,1)$ için KPT dikkate alındığında homojen ortotrop plak ve Young modülleri sabit ($\eta_1(\bar{z})=0$), yoğunluğu üstel değişen ($\eta_2(\bar{z})=\pm e^{K^*|z|}$) ortotrop plak için serbest titreşim frekansı değerlerinin değişimi.....121
- Sekil 4.2.34. $(m,n)=(1,40)$ ve $h=0.01m$ için KDPT dikkate alındığında homojen ortotrop plak ve Young modülleri ve yoğunluğu aynı anda üstel değişen ortotrop plak için serbest titreşim frekansı değerlerinin değişimi.....124

Sekil 4.2.35. $(m,n)=(40,1)$ ve $h=0.01m$ için KDPT dikkate alındığında homojen ortotrop plak ve Young modülleri ve yoğunluğu aynı anda üstel değişen ortotrop plak için serbest titreşim frekansı değerlerinin değişimi.....	127
Sekil 4.2.36. $(m,n)=(40,1)$ ve $h=0.01m$ için KDPT ve KPT dikkate alındığında homojen ortotrop plak ve Young modülleri ve yoğunluğu aynı anda üstel değişen ortotrop plak için enine kayma deformasyonunun serbest titreşim frekansı değerlerine etkisinin değişimi.....	128
Sekil 4.2.37. $(m,n)=(1,40)$ ve $h=0.02m$ için KDPT dikkate alındığında homojen ortotrop plak ve Young modülleri ve yoğunluğu aynı anda üstel değişen ortotrop plak için serbest titreşim frekansı değerlerinin değişimi.....	131
Sekil 4.2.38. $(m,n)=(40,1)$ ve $h=0.02m$ için KDPT ve KPT dikkate alındığında homojen ortotrop plak ve Young modülleri ve yoğunluğu aynı anda üstel değişen ortotrop plak için enine kayma deformasyonunun serbest titreşim frekansı değerlerine etkisinin değişimi.....	134
Sekil 4.2.39. $(m,n)=(50,1)$ ve h/a oranı için KDPT dikkate alındığında homojen ortotrop plak ve Young modülleri ve yoğunluğu aynı anda üstel değişen ortotrop plak için serbest titreşim frekansı değerlerinin değişimi.....	137
Sekil 4.2.40. $(m,n)=(50,1)$ ve h/a oranı için KPT dikkate alındığında homojen ortotrop plak ve Young modülleri ve yoğunluğu aynı anda üstel değişen ortotrop plak için serbest titreşim frekansı değerlerinin değişimi.....	137
Sekil 4.2.41. $(m,n)=(50,1)$ ve h/a oranı için KDPT ve KPT dikkate alındığında homojen ortotrop plak ve Young modülleri ve yoğunluğu aynı anda üstel değişen ortotrop plak için enine kayma deformasyonunun serbest titreşim frekansı değerlerine etkisinin değişimi.....	138
Sekil 4.2.42. $(m,n)=(m,50)$ ve h/a oranı için KDPT dikkate alındığında homojen ortotrop plak ve Young modülleri ve yoğunluğu aynı anda üstel değişen ortotrop plak için serbest titreşim frekansı değerlerinin değişimi.....	140

ÇİZELGELER DIZINI

<p>Çizelge 4.2.1. KDPT ve KPT kullanıldığında ortotrop platin Young modülleri ve yoğunluğu aynı anda kalınlık koordinatına göre parabolik, yani $\eta_i(\bar{z}) = \pm \bar{z}^2$, ($i = 1,2$) şeklinde değiştiğinde, $m=1$ ve enine dalga sayısının değişimine göre titreşim frekansının değişimi.....</p>	55
<p>Çizelge 4.2.2. KDPT ve KPT kullanıldığında ortotrop platin Young modülleri ve yoğunluğu aynı anda kalınlık koordinatına göre parabolik, yani $\eta_i(\bar{z}) = \pm \bar{z}^2$, ($i = 1,2$) şeklinde değiştiğinde, $n=1$ ve enine dalga sayısının değişimine göre titreşim frekansının değişimi.....</p>	59
<p>Çizelge 4.2.3. KDPT ve KPT kullanıldığında ortotrop platin yoğunluğu sabit ($\eta_2(\bar{z}) = 0$), Young modülleri ise kalınlık koordinatına göre parabolik değiştiğinde ($\eta_1(\bar{z}) = \pm \bar{z}^2$), $m=1$ ve enine dalga sayısının değişimine göre titreşim frekansının değişimi.....</p>	62
<p>Çizelge 4.2.4. KDPT ve KPT kullanıldığında ortotrop platin yoğunluğu sabit ($\eta_2(\bar{z}) = 0$), Young modülleri ise kalınlık koordinatına göre parabolik değiştiğinde ($\eta_1(\bar{z}) = \pm \bar{z}^2$), $n=1$ ve boyuna dalga sayısının değişimine göre titreşim frekansının değişimi.....</p>	64
<p>Çizelge 4.2.5. KDPT ve KPT kullanıldığında ortotrop platin Young modülleri sabit ($\eta_1(\bar{z}) = 0$), yoğunluğu ise kalınlık koordinatına göre parabolik değiştiğinde ($\eta_2(\bar{z}) = \pm \bar{z}^2$), $m=1$ ve enine dalga sayısının değişimine göre titreşim frekansının değişimi.....</p>	67
<p>Çizelge 4.2.6. KDPT ve KPT kullanıldığında ortotrop platin Young modülleri sabit ($\eta_1(\bar{z}) = 0$), yoğunluğu ise kalınlık koordinatına göre parabolik değiştiğinde ($\eta_2(\bar{z}) = \pm \bar{z}^2$), $n=1$ ve boyuna dalga sayısının değişimine göre titreşim frekansının değişimi.....</p>	70
<p>Çizelge 4.2.7. KDPT ve KPT kullanıldığında ortotrop platin Young modülleri ve yoğunluğu aynı anda kalınlık koordinatına göre parabolik, yani $\eta_i(\bar{z}) = \pm \bar{z}^2$, ($i = 1,2$) şeklinde değiştiğinde, $(m,n)=(1,40)$ için E_{01}/E_{02} oranının değişimine göre titreşim frekansının değişimi.....</p>	74

- Çizelge 4.2.8. KDPT ve KPT kullanıldığında ortotrop platin Young modülleri ve yoğunluğu aynı anda kalınlık koordinatına göre parabolik, yani $\eta_i(\bar{z}) = \pm \bar{z}^2$, ($i = 1, 2$) şeklinde değiştiğinde, $(m, n) = (40, 1)$ için E_{01}/E_{02} oranının değişimine göre titreşim frekansının değişimi.....76
- Çizelge 4.2.9. KDPT ve KPT kullanıldığında ortotrop platin Young modülleri ve yoğunluğu aynı anda kalınlık koordinatına göre parabolik, yani $\eta_i(\bar{z}) = \pm \bar{z}^2$, ($i = 1, 2$) şeklinde değiştiğinde, $(m, n) = (1, 40)$ ve $h = 0.01\text{m}$ için a/b oranının değişimine göre titreşim frekansının değişimi.....79
- Çizelge 4.2.10. KDPT ve KPT kullanıldığında ortotrop platin Young modülleri ve yoğunluğu aynı anda kalınlık koordinatına göre parabolik, yani $\eta_i(\bar{z}) = \pm \bar{z}^2$, ($i = 1, 2$) şeklinde değiştiğinde, $(m, n) = (40, 1)$ ve $h = 0.01\text{m}$ için a/b oranının değişimine göre titreşim frekansının değişimi.....82
- Çizelge 4.2.11. KDPT ve KPT kullanıldığında ortotrop platin Young modülleri ve yoğunluğu aynı anda kalınlık koordinatına göre parabolik, yani $\eta_i(\bar{z}) = \pm \bar{z}^2$, ($i = 1, 2$) şeklinde değiştiğinde, $(m, n) = (1, 40)$ ve $h = 0.02\text{m}$ için a/b oranının değişimine göre titreşim frekansının değişimi.....85
- Çizelge 4.2.12. KDPT ve KPT kullanıldığında ortotrop platin Young modülleri ve yoğunluğu aynı anda kalınlık koordinatına göre parabolik, yani $\eta_i(\bar{z}) = \pm \bar{z}^2$, ($i = 1, 2$) şeklinde değiştiğinde, $(m, n) = (40, 1)$ ve $h = 0.02\text{m}$ için a/b oranının değişimine göre titreşim frekansının değişimi.....88
- Çizelge 4.2.13. KDPT ve KPT kullanıldığında ortotrop platin Young modülleri ve yoğunluğu aynı anda kalınlık koordinatına göre parabolik, yani $\eta_i(\bar{z}) = \pm \bar{z}^2$, ($i = 1, 2$) şeklinde değiştiğinde, $(m, n) = (50, 1)$ için h/a oranının değişimine göre titreşim frekansının değişimi.....91
- Çizelge 4.2.14. KDPT ve KPT kullanıldığında ortotrop platin Young modülleri ve yoğunluğu aynı anda kalınlık koordinatına göre parabolik, yani $\eta_i(\bar{z}) = \pm \bar{z}^2$, ($i = 1, 2$) şeklinde değiştiğinde, $(m, n) = (1, 50)$ için h/a oranının değişimine göre titreşim frekansının değişimi.....93
- Çizelge 4.2.15. KDPT ve KPT kullanıldığında ortotrop platin Young modülleri ve yoğunluğu aynı anda kalınlık koordinatına göre parabolik, yani

$\eta_i(\bar{z}) = \pm \bar{z}^2, (i = 1, 2)$ şeklinde degistiginde, $(m, n) = (m, 50)$ için h/a oraninin degisimine göre titresim frekansinin degisimi.....	98
Çizelge 4.2.16. KDPT ve KPT kullanildiginda ortotrop plagin Young modülleri ve yogunlugu ayni anda kalinlik koordinatina göre üstel, yani $\eta_i(\bar{z}) = \pm e^{K \bar{z} }, (i = 1, 2)$ şeklinde degistiginde, $K = -0.5, m = 1$ ve enine dalga sayisinin degisimine göre titresim frekansinin degisimi.....	102
Çizelge 4.2.17. KDPT ve KPT kullanildiginda ortotrop plagin Young modülleri ve yogunlugu ayni anda kalinlik koordinatina göre üstel, yani $\eta_i(\bar{z}) = \pm e^{K \bar{z} }, (i = 1, 2)$ şeklinde degistiginde, $K = -0.5, n = 1$ ve boyuna dalga sayisinin degisimine göre titresim frekansinin degisimi.....	105
Çizelge 4.2.18. KDPT ve KPT kullanildiginda ortotrop plagin Young modülleri ve yogunlugu ayni anda kalinlik koordinatina göre üstel, yani $\eta_i(\bar{z}) = \pm e^{K \bar{z} }, (i = 1, 2)$ şeklinde degistiginde, $(m, n) = (1, 50)$ ve farkli K degerleri için titresim frekansinin degisimi.....	107
Çizelge 4.2.19. KDPT ve KPT kullanildiginda ortotrop plagin Young modülleri ve yogunlugu ayni anda kalinlik koordinatina göre üstel, yani $\eta_i(\bar{z}) = \pm e^{K \bar{z} }, (i = 1, 2)$ şeklinde degistiginde, $(m, n) = (50, 1)$ ve farkli K degerleri için titresim frekansinin degisimi.....	109
Çizelge 4.2.20. KDPT ve KPT kullanildiginda ortotrop plagin yogunlugu sabit ($\eta_2(\bar{z}) = 0$), Young modülleri ise kalinlik koordinatina göre üstel degistiginde ($\eta_2(\bar{z}) = \pm e^{K \bar{z} }, K = -0.5, m = 1$ ve enine dalga sayisinin degisimine göre titresim frekansinin degisimi.....	112
Çizelge 4.2.21. KDPT ve KPT kullanildiginda ortotrop plagin yogunlugu sabit ($\eta_2(\bar{z}) = 0$), Young modülleri ise kalinlik koordinatina göre üstel degistiginde ($\eta_2(\bar{z}) = \pm e^{K \bar{z} }, K = -0.5, n = 1$ ve boyuna dalga sayisinin degisimine göre titresim frekansinin degisimi.....	116
Çizelge 4.2.22. KDPT ve KPT kullanildiginda ortotrop plagin Young modülleri sabit ($\eta_1(\bar{z}) = 0$), yogunlugu kalinlik koordinatina göre üstel ($\eta_2(\bar{z}) = \pm e^{K \bar{z} }$)	

- degistiginde ($\eta_2(\bar{z}) = \pm e^{K^*|\bar{z}|}$), $K=-0.5$, $m=1$ ve enine dalga sayisinin degisimine göre titresim frekansinin degisimi.....119
- Çizelge 4.2.23. KDPT ve KPT kullanildiginda ortotrop plagin Young modülleri sabit ($\eta_1(\bar{z}) = 0$), yogunlugu kalinlik koordinatina göre üstel ($\eta_2(\bar{z}) = \pm e^{K^*|\bar{z}|}$) degistiginde ($\eta_2(\bar{z}) = \pm e^{K^*|\bar{z}|}$), $K=-0.5$, $n=1$ ve boyuna dalga sayisinin degisimine göre titresim frekansinin degisimi.....123
- Çizelge 4.2.24. KDPT ve KPT kullanildiginda ortotrop plagin Young modülleri ve yogunlugu ayni anda kalinlik koordinatina göre üstel, yani $\eta_i(\bar{z}) = \pm e^{K^*|\bar{z}|}$, ($i = 1,2$) seklinde degistiginde, $(m,n)=(1,40)$ ve $h=0.01m$ için a/b oraninin degisimine göre titresim frekansinin degisimi.....126
- Çizelge 4.2.25. KDPT ve KPT kullanildiginda ortotrop plagin Young modülleri ve yogunlugu ayni anda kalinlik koordinatina göre üstel, yani $\eta_i(\bar{z}) = \pm e^{K^*|\bar{z}|}$, ($i = 1,2$) seklinde degistiginde, $(m,n)=(40,1)$ ve $h=0.01m$ için a/b oraninin degisimine göre titresim frekansinin degisimi.....130
- Çizelge 4.2.26. KDPT ve KPT kullanildiginda ortotrop plagin Young modülleri ve yogunlugu ayni anda kalinlik koordinatina göre üstel, yani $\eta_i(\bar{z}) = \pm e^{K^*|\bar{z}|}$, ($i = 1,2$) seklinde degistiginde, $(m,n)=(1,40)$ ve $h=0.02m$ için a/b oraninin degisimine göre titresim frekansinin degisimi.....133
- Çizelge 4.2.27. KDPT ve KPT kullanildiginda ortotrop plagin Young modülleri ve yogunlugu ayni anda kalinlik koordinatina göre üstel, yani $\eta_i(\bar{z}) = \pm e^{K^*|\bar{z}|}$, ($i = 1,2$) seklinde degistiginde, $(m,n)=(40,1)$ ve $h=0.02m$ için a/b oraninin degisimine göre titresim frekansinin degisimi.....136
- Çizelge 4.2.28. KDPT ve KPT kullanildiginda ortotrop plagin Young modülleri ve yogunlugu ayni anda kalinlik koordinatina göre üstel, yani $\eta_i(\bar{z}) = \pm e^{K^*|\bar{z}|}$, ($i = 1,2$) seklinde degistiginde, $(m,n)=(50,1)$ ve a/b oraninin degisimine göre titresim frekansinin degisimi.....139
- Çizelge 4.2.29. KDPT ve KPT kullanildiginda ortotrop plagin Young modülleri ve yogunlugu ayni anda kalinlik koordinatina göre üstel, yani $\eta_i(\bar{z}) = \pm e^{K^*|\bar{z}|}$, ($i = 1,2$)

sekinde degistiginde, $(m,n)=(m,50)$ ve h/a oraninin degisimine gre titresim frekansinin degisimi.....	141
izelge 4.2.30. Izotropik dikdrtgen plaklar iin frekans parametreleri.....	142
izelge 4.2.31. Basit mesnetli dikdrtgen plaklarda kayma deformasyonunun dogal frekanslara etkisi.....	144

1. GIRIS

Çağdas teknolojide ince kalınlıklı plak ve kabukların titreşim problemlerinin öğrenilmesi büyük önem taşımaktadır. İnce plak ve kabukların serbest titreşim frekansının belirlenmesi ve frekans spektrinin bulunması değişen ve tekrarlanan periyodik yükler etkisi altında olan yapı elemanlarının oluşumunda çok önemli yer almaktadır.

Homojen ve homojen olmayan malzemelerden oluşan anizotrop ince plaklar, havacılık endüstrisinde, gemi ve trenlerin yapımında ve değişik inşaat yapılarında örtü veya kuvvetlendirici olarak kullanılmaktadırlar. Homojen olmayan malzemelerden oluşan yapı elemanlarının kullanımı stabilite ve titreşim hesaplarının yeniden gözden geçirilmesini zorunlu kılmaktadır. Malzemeyi oluşturan bileşenlerin homojen olmayan dağılımları, onun doğal homojen olmayan mekanik özelliklere sahip olmasına neden olmaktadır. Üretim tekniği, radyasyon etkisi, termik ve yüzeysel cilalamalar vs. ise malzemenin homojenliğini bozan faktörler olup, bu etkiler sonucu malzemenin özellikleri noktadan noktaya sürekli olarak değişmekte ve nokta koordinatlarının sürekli fonksiyonu olmaktadır (Lomakin, 1976; Khoroshun ve Kozlov (1988); Zenkour ve Fares, 2001). Örneğin, radyasyona maruz kalan metallerden oluşan yapı elemanlarının hesabi, birinci yaklaşımda yapıların mekanik özelliklerinin kalınlık koordinatına bağlı değişimini göz önüne alan sade hesaba indirgenmiştir. Çeşitli etkiler sonucu malzemenin özellikleri sadece kalınlık koordinatına bağlı değil, diğer koordinatlara bağlı olarak da değişebilmektedir. Bu çalışmada Young modülleri ve malzeme yoğunluğunun kalınlık koordinatına göre sürekli değişiminin titreşim karakteristiklerine etkileri incelenmiştir. Poisson katsayılarının kalınlık koordinatına göre değişimi kritik parametreleri çok az etkilediğinden sabit kabul edilmektedir.

1.1. Çalışmanın Önemi

Projelendirme aşamasında üzerinde durulacak çok önemli hususlardan biri de malzemenin doğasını düzgün olarak yansıtan modellerin geliştirilmesidir. Bu ise,

titresim problemlerinde diger faktörlerin yani sira malzemenin homojen olmamasinin göz önüne alınmasini ve titresim karakteristiklerine etkisinin incelenmesini zorunlu kilmektedir. Kayma deformasyonlu plak teorisinin (KDPT) parabolik kayma deformasyonlu versiyonu, diger bir degisle enine kayma deformasyonlarının kalınlık dogrultusundaki parabolik dagilimına karsi gelen fonksiyonların dikkate alınması klasik teori (KPT) ile elde edilen titresim frekansı deęerlerinden daha düşük deęerler elde edilmesine ve ayrıca, homojen olmamanın göz önüne alınması yapı elemanlarının boyut ve ağırlıklarının küçülmesine neden olarak, malzemedeki tasarruf ve ilave dayanıma imkan sağlamaktadır .

1.2. Çalışmanın Amacı

Bu çalışmada, kayma deformasyonlu plak teorisinin parabolik kayma deformasyonlu versiyonu, diger bir degisle enine kayma deformasyonlarının kalınlık dogrultusundaki parabolik dagilimına karsi gelen fonksiyonlar dikkate alınarak, Young modülleri ve yoğunluğu kalınlık koordinatına baęlı olarak sürekli deęisen ortotrop kompozit malzemelerden olusan basit mesnetli dikdörtgen plakların titresim probleminin incelenmesi amaçlanmıştır. Enine kayma deformasyonları içeren homojen olmayan malzemelerden olusan anizotrop plaklar için genel halde temel baęinti ve titresim denklemleri olusturulmakta, basit mesnetli dikdörtgen ortotrop plaklarda titresim frekansı için analitik ifade elde edilmekte ve titresim frekansı deęerlerine homojen olmama, kayma deformasyonu, Young modülleri oranı ve plak parametreleri deęisimi etkisi incelenmektedir. Ayrıca, enine kayma deformasyonu için somut fonksiyonlar seçilerek elde edilen titresim frekansı deęerleri, klasik titresim teorisi kullanılarak elde edilen titresim frekansı deęerleri ile kıyaslanmakta ve bu çalışmada elde edilen sonuçların geçerlilięi için literatürde sunulan çözümlerle karsılařtırmalar yapılmaktadır.

Problemin formülasyonunda Love-tipi plak teorisinin parabolik kayma deformasyonlu versiyonu kullanılacaktır. Problemin çözümünde Galerkin metodu kullanılarak titresim frekansı için analitik çözüm elde edilecek ve sayısal analizde MAPLE 8 bilgisayar programı kullanılacaktır.

1.3. Kuramsal Temeller

1.3.1. Anizotrop Cismin Elastisite Teorisinin Temel Baginti ve Denklemleri

Kabul edelim ki, Oxyz kartezyen koordinat sisteminde sürekli bir cisim dış kuvvetlerin etkisi altında deformasyona uğramış olsun. Deformasyon anında cisme ait olan herhangi bir $M(x,y,z)$ noktasının x, y, z koordinat eksenleri doğrultularında aldığı yer değişimleri aşağıdaki üç izdüşüm koordinatları ile gösterilebilmektedir:

$$\left. \begin{aligned} u_x &= u_x(x, y, z), \\ u_y &= u_y(x, y, z), \\ u_z &= u_z(x, y, z), \end{aligned} \right\} \quad (1.3.1.1)$$

Burada, u_x, u_y, u_z göz önüne alınan M noktasının yer değiştirme bileşenleridir. Pozitif yer değiştirme olarak uygun bağımsız değişkenlerin pozitif değişim taraflarına yönelmiş u_x, u_y, u_z yer değiştirmeleri göz önüne alınacaktır.

Cismin M noktası civarındaki deformasyon durumu altı deformasyon bileşeniyle karakterize edilmektedir. Bu bileşenlerden üçü e_x, e_y, e_z sırasıyla, x, y, z koordinatları doğrultusunda rölatif uzama deformasyonlarını ifade etmekte, diğer üçü e_{xy}, e_{yz}, e_{zx} ise sırasıyla $z=\text{sabit}, x=\text{sabit}, y=\text{sabit}$ koordinat düzlemlerinde oluşan kayma deformasyonlarını belirtmektedirler. M noktasının u_x, u_y, u_z yer değiştirmeleri ile e_x, e_y, e_z ve e_{xy}, e_{xz}, e_{yz} deformasyon bileşenleri arasındaki bağıntı aşağıdaki şekilde olmaktadır:

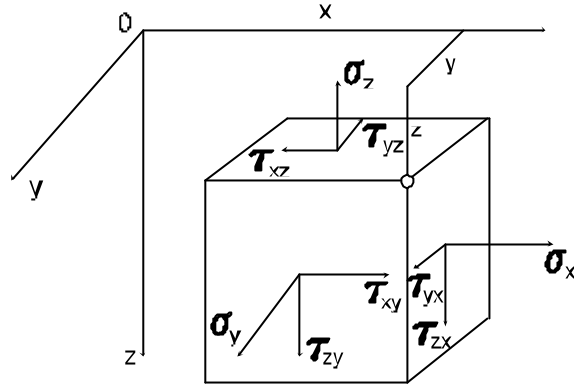
$$\begin{aligned}
e_x &= \frac{\partial u_x}{\partial x}, & e_{xy} &= \frac{\partial u_x}{\partial y} + \frac{\partial u_y}{\partial x}, \\
e_y &= \frac{\partial u_y}{\partial y}, & e_{xz} &= \frac{\partial u_z}{\partial x} + \frac{\partial u_x}{\partial z}, \\
e_z &= \frac{\partial u_z}{\partial z}, & e_{yz} &= \frac{\partial u_y}{\partial z} + \frac{\partial u_z}{\partial y}
\end{aligned} \tag{1.3.1.2}$$

Herhangi bir M noktasındaki gerilme dokuz gerilme bileşeni içermekte olup, bunlardan üçü, birbirine dik üç x, y, z doğrultularında etki etmekte olup, normal gerilmeler olarak adlandırılır ve $\sigma_x, \sigma_y, \sigma_z$ sembolleri ile gösterilir. Diğer altı bileşen ise birbirine dik üç koordinat düzleminde bulunmakta olup, teget gerilmeler olarak adlandırılır ve $\tau_{xy} = \tau_{yx}, \tau_{xz} = \tau_{zx}, \tau_{yz} = \tau_{zy}$ sembolleri ile gösterilir. Teget gerilmeler eslik özelliğine sahip olduğundan bağımsız deformasyonların sayısı altı olmaktadır. $\sigma_x, \sigma_y, \sigma_z$ normal gerilmelerde indisler, normal gerilmenin ait olduğu yüzeyin dış normali doğrultusunu belirtmektedir. $\tau_{xy} = \tau_{yx}, \tau_{xz} = \tau_{zx}, \tau_{yz} = \tau_{zy}$ teget gerilmelerinde ise ilk indisler, verilmiş teget gerilmelerin etki doğrultusunu, ikinci indisler ise gerilmenin etkili olduğu yüzeyin dış normali doğrultusunu göstermektedir. Pozitif dış normalli alana uygulanan tüm gerilmeler, söz konusu dış normaller doğrultusunda etkidiginde, normal veya teget olduğu fark etmeksizin pozitif kabul edilmektedir (Şekil 1.3.1.1).

Ele alınan cisim dengede ise Kartezyen koordinat sistemindeki denge şartları, aşağıdaki üç diferansiyel denklemlerle ifade edilmektedir:

$$\begin{aligned}
\frac{\partial \sigma_x}{\partial x} + \frac{\partial \tau_{xy}}{\partial y} + \frac{\partial \tau_{xz}}{\partial z} + P_x &= 0, \\
\frac{\partial \tau_{xy}}{\partial x} + \frac{\partial \sigma_y}{\partial y} + \frac{\partial \tau_{yz}}{\partial z} + P_y &= 0, \\
\frac{\partial \tau_{xz}}{\partial x} + \frac{\partial \tau_{yz}}{\partial y} + \frac{\partial \sigma_z}{\partial z} + P_z &= 0
\end{aligned} \tag{1.3.1.3}$$

Burada, $P_x = P_x(x, y, z)$, $P_y = P_y(x, y, z)$ ve $P_z = P_z(x, y, z)$ olup, x, y, z eksenleri doğrultularında birim hacme ait hacimsel kuvvetlerin izdüşümlerini ifade etmektedir.



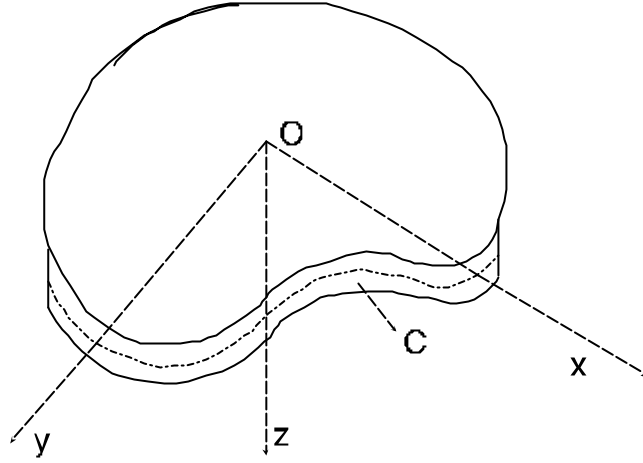
Sekil 1.3.1.1. Cismin birim hacminde gerilme bileşenlerinin gösterimi

$\rho \frac{\partial^2 u_x}{\partial t^2}$, $\rho \frac{\partial^2 u_y}{\partial t^2}$, $\rho \frac{\partial^2 u_z}{\partial t^2}$ atalet kuvvetleri ifadeleri (1.3.1.3) denklemlerinin sağ tarafında yerine yazıldığında, Oxyz kartezyen koordinat sisteminde sürekli ortamların hareketinin diferansiyel denklemleri elde edilmekte olup, ρ malzemenin yoğunluğu ve t zaman koordinatidir.

1.3.2. Genel Teorinin Başlangıç Durumları ve Hipotezleri

Sonlu boyutlu, sabit h kalınlığına sahip anizotrop ince plak her noktasında platin orta düzlemine paralel sadece bir elastik simetri düzlemine sahip olsun.

Cismi sınırlayan birbirine paralel iki düzlemden aynı uzaklıkta olan düzlem, orta düzlem olarak seçilmekte ve C silindirik yüzeyi ile sınırlanmış platin, yüzeysel kuvvetler etkisi altında deformasyona uğradığı düşünülmektedir.



Sekil 1.3.2.1. Plagin geometrisi ve koordinat sistemi

Plak orta düzleminin Oxy düzlemi ile çakistigi ve z koordinat ekseninin bu düzleme dik oldugu varsayilmektedir (Sekil 1.3.2.1).

Bu çalismada sunulan anizotrop plak teorisinin temelini asagidaki tahminler olusturmaktadır:

- Plagin orta düzleminin u_z normal yer degistirmesi z kalinlik koordinatından bagimsizdir.
- τ_{xz} ve τ_{yz} teget gerilmeler ve onlara karsi gelen e_{xz} ve e_{yz} deformasyonlari cismin kalinligi dogrultusunda belirli kurallara göre degismektedirler.

Birinci tahmin klasik teorisinin uygun tahminiyle çakismakta, ikinci tahmin ise yeni olup, enine kaymalarin göz önüne alınmasina imkan saglamaktadır.

Birinci ve ikinci hipotezlerden asagidaki bagentilar elde edilmektedir:

$$e_z = \frac{\partial u}{\partial z} = 0 \quad (1.3.2.1)$$

$$\tau_{xz} = f_1(z)\varphi(x, y) \quad (1.3.2.2)$$

$$\tau_{yz} = f_2(z)\psi(x, y)$$

Burada, $\varphi(x, y)$ ve $\psi(x, y)$ x, y koordinatlarına bağlı bilinmeyen fonksiyonlar, $f_i(z)$ ise platin kalınlığı doğrultusunda τ_{xz} ve τ_{yz} tegetsel gerilmelerin değişim kuralını karakterize eden fonksiyonlar olup,

$$z = h/2 \text{ olduğunda } f_i(h/2) = 0 \quad (1.3.2.3)$$

$$z = -h/2 \text{ olduğunda } f_i(-h/2) = 0 \quad (1.3.2.4)$$

olmaktadır.(1.3.2.1) bağıntısı esas alındığında,

$$e_z = \frac{\partial u_z}{\partial z} = 0, \quad u_z = u_z(x, y) = w(x, y), \quad (1.3.2.5)$$

ifadeleri elde edilmektedir. Dolayısıyla, plakların klasik teorisinde olduğu gibi platin normal elemanın tüm noktalarının u_z yer değiştirmesi (orta düzleme normal plak elemanları) orta düzlemin uygun noktasının w normal yer değiştirmesine eşit olmaktadır.

1.3.3. Enine Kayma Deformasyonu Fonksiyonunun Seçimi

Anizotrop plak teorisinde önemli noktalardan biri de $f_i(z)$ fonksiyonunun seçimidir. $f_i(z)$ fonksiyonunun seçimi ilk olarak Ambartsumyan (1964) tarafından verilmiştir. Ambartsumyan (1964) çalışmasında, kalın ve özellikle de ince plakların eğilmesi durumunda τ_{yz} ve τ_{xz} teget gerilmelerinin platin kalınlık doğrultusundaki dağılımının parabolik kanuna göre gerçekleştiğini göstermiştir. Bazı çalışmalarda enine kayma deformasyonlarının kritik parametrelere etkisi enine kayma düzeltme faktörleri kullanılarak gösterilmeye çalışılmaktadır. Tez çalışmasında ise, daha önceki çalışmalarda önemle değinilen ve enine kayma düzeltme faktörlerinin

kullanimından kaçınılan, kayma deformasyonlu kabuk teorisinin parabolik kayma deformasyonlu versiyonu kullanılmaktadır. Teorinin parabolik kayma deformasyonlu versiyonu (KDPT), enine kayma deformasyonlarının kalınlık doğrultusundaki dağılımına karşı gelen fonksiyonların aşağıdaki seçeneklerine dayanmaktadır:

a) Ambartsumyan (1964)

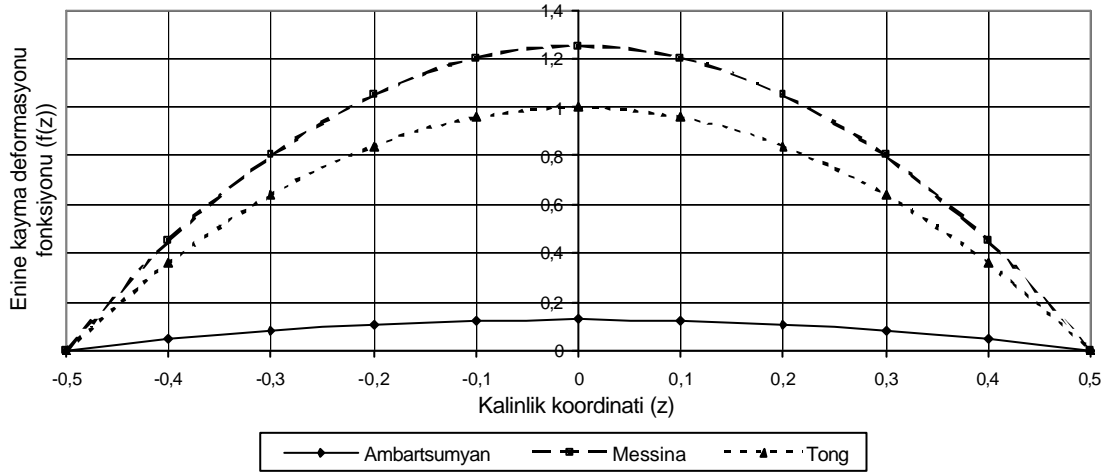
$$f(z) = f_1(z) = f_2(z) = \frac{1}{2} \left(\frac{h^2}{4} - z^2 \right) \quad (1.3.3.1)$$

b) Soldatos ve Messina (2001)

$$f(z) = f_1(z) = f_2(z) = h^2 - 4z^2 \quad (1.3.3.2)$$

c) Tong (1994)

$$f(z) = f_1(z) = f_2(z) = \frac{5}{4} (h^2 - 4z^2) \quad (1.3.3.3)$$



Sekil 1.3.3.1. Enine kayma deformasyonu fonksiyonunun kalınlık koordinatına göre değişimi

2.KAYNAK ÖZETLERİ

Kaynak özetleri kısmında, tez çalışması ile ilgili ve son yıllarda yayınlanmış olan plak ve kabukların değişik yükler etkisi altında titreşim ve stabilitesinin KDPT ve KPT kullanılarak araştırılmasına değinilmektedir. Bunun yanı sıra, tez konusu ile ilgili olan ilk çalışmalardan da kısaca bahsedilmektedir.

Lomakin (1976) çalışmasında, özellikleri koordinatlarının sürekli fonksiyonları olan cisimlerin elastik teorisinin statik ve kuazistatik problemlerini araştırmıştır. Bu çalışmada, pratik önemi olan ve isiya bağlı değişen homojen cisimlerin termoelastik problemleri ele alınmıştır.

Bhat (1985) çalışmasında, dikdörtgen plakların doğal frekanslarını, Rayleigh-Ritz metodunda kiriş karakteristiklerine sahip ortogonal polinomları kullanarak elde etmektedir. Ortogonal polinomların ilk terimi, plak problemleriyle birlikte uygun kiriş problemlerindeki sınır koşullarını sağladığında yapılandırılmakta, buna göre de ortogonal polinomlar, Gram-Schmidt yöntemi kullanılarak oluşturulmaktadır. Ortogonal polinom fonksiyonları kullanılarak elde edilen doğal frekanslar, diğer metotlar kullanılarak elde edilen sonuçlarla kıyaslanmaktadır. Özellikle, plakların bazı kenarları serbest olduğunda, daha düşük modlar için bu metot, üstün nitelikli sonuçlar vermektedir.

Dickinson S.M. ve Blasio A.D. (1986) çalışmalarında, son zamanlarda ortogonal polinom fonksiyonlardan oluşan seriler, dikdörtgen izotrop ve ortotrop plakların burkulma problemleri ve katlanabilen titreşim sayıları ile sonuçlar oluşturmak için Rayleigh-Ritz metodunu kullanmışlardır. Bu yaklaşımın doğal frekanslarda ve burkulma yüklerinde olduğu gibi daha hassas mod yüzeyle, eğilme momenti ve kayma kuvveti dağılımı problemi için çok mükemmel sonuçlar getirdiği kanıtlanmıştır.

Soldatos (1987) bu makalesinde, anti-simetrik açılı tabakalı dairesel silindirik panellerin serbest titreşimine kalınlık kayma deformasyonu ve dönme ataletinin

gösterdiği etkileri incelemektedir. İki çeşit kalınlık kayma deformasyonlu kabuk teorisi dikkate alınmıştır. Birincisinde, kabuk kalınlığı doğrultusunda üniform olarak dağılım gösteren kalınlık kayma deformasyonları, dolayısıyla da kalınlık kayma düzeltme faktörleri kullanılmaktadır. İkinci teoride, kabuğun kalınlık kayma deformasyonlarının ve gerilme değerlerinin en iç ve en dış yüzeylerde sıfır olduğu varsayılmaktadır. Analiz, esas olarak Love yaklaşımlarına dayanmaktadır fakat kıyaslama amacı ile Donnell'in yüzeysel kabuk yaklaşımları da dikkate alınmaktadır. Basit mesnetli bir panel için, daha önce adı geçen teorilerdeki hareket denklemleri, uygun klasik teorilerde de olduğu gibi, Galerkin metodu kullanılarak çözülmektedir. Grafit-epoksi açılı, tabakalı plaklar ailesi ve dairesel silindirik paneller için sayısal sonuçlar elde edilmekte, kıyaslanmakta ve tartışılmakta, ve kullanılan matematiksel metotta olduğu gibi dikkate alınan kabuk teorileri ile ilgili bazı ilginç sonuçlara varılmaktadır.

Khoroshun ve Kozlov (1988), çalışmalarında, kalınlık boyunca homojen olmayan plak ve kabukların genelleştirilmiş teorisini vermiş ve bir seri problemler çözmüştür.

Liew (1992), çalışmasında, konsol, simetrik, ince, ikizkenar yamuk kompozit plakların titreşim analizi için genel bir sayısal metod sunmaktadır. Problemin çözümünde Rayleigh-Ritz metodu kullanılarak yer değiştirmeler 2-D ortogonal polinomlar şeklinde gösterilmiştir. 2-D ortogonal polinomlar, önerilen bir yineleme formülü kullanılarak oluşturulmuştur. Sunulan metodun kesinliğini, yeterliliğini ve çok yönlülüğünü göstermek için değişik sayısal örnekler sunulmuştur. Yamuk plaklar için doğal frekanslar ve mod şekilleri, değişik tabaka sayıları, lif doğrultuları, a/b ve c/a oranları için elde edilmektedir. Bu sonuçlar, literatürde yeni olup, bu alanda çalışan mühendislere çok faydalı bilgiler sağlayabilmektedir.

Palazatto, Chien, Taylor (1992), çalışmalarında, yapı elemanlarının statik ve dinamik stabilite analizini araştırmışlardır. Kompozit kemer, kompozit ve izotrop silindirik kabuk, dış basınç kuvvetleri etkisi altında göz önüne alınmaktadır. Kritik yükün dinamik karakteristikleri bulunmuş ve lineer olmayan deformasyonun karakteristikleri belirlenmiştir.

Liew, Hung ve Lim (1993), bu makalede, keyfi seçilmiş sınır zorlamalarına sahip homojen, kalın dikdörtgen plaklar için üç boyutlu Ritz formülasyonlarının sürekliliğini sunmuşlardır. Bu model, doğrusal, üç boyutlu ve küçük deformasyonlu elastisite teorisi üzerinde kalın dikdörtgen plakların titreşim tepkilerini önceden belirlemek için formüle edilmiştir. Enine ve düzlem içi yer değiştirme alanları, ortogonal genelleştirilmiş polinomial fonksiyonlar sistemi ile açıklanmaktadır. Bu yüzey fonksiyonları, ortogonal polinomial fonksiyon ve başlangıçtaki önemli geometrik sınır koşullarının sağlanması için seçilmiş temel fonksiyon sınıfının ürünleridir. Değişik kenar oranları ve kalınlık oranlarına sahip plaklar için frekans verileri sistemi sunulmaktadır. Bu veriler, klasik plak teorisinin ve Mindlin plak teorisinin değerlerini ve sınırlamalarını direkt karşılaştırmalarla incelemek için verilmektedir. Son olarak, üç boyutlu süreklilik ve üç boyutlu süreklilik yaklaşımı kullanılarak, bilinen ilk deforme olmuş mod şekilleri sistemi hareketin titreşiminin anlaşılmasına yardımcı olmak için genelleştirilmiştir.

Yu ve Cleghorn (1993), bu çalışmalarında, özellikle ankastre ve basit mesnet kenar kombinasyonlarına sahip dikdörtgen plakların genel serbest titreşimlerini, süper pozisyon yöntemi ile incelemişlerdir. Yakın dönüşümün tanıtılması, serbest titreşim analizi için gerekli olan iki rijitlik parametresini, hesaplanmış öz değerleri daha kolay bir şekilde çizelge haline getirmek için teke indirgenir. Sayısal hesaplar, ankastre plaklar, tek kenari basit mesnetli plaklar ve iki bitişik kenari basit mesnetli plaklar üzerinde, genelleştirilmiş rijitlik parametresi ve yakın kenar oranlarının örnek değerleri arasından yapılmaktadır.

Gadjiev, Sofiyev ve Mirzoyev (1996), bu makalede, elastisite modülü orta düzlemin x , y koordinatlarına sürekli bağlı olan elastik malzemelerden oluşan basit mesnetli dikdörtgen plakların serbest titreşimini incelemişlerdir. Kirchhoff-Love hipotezini kullanarak homojen olmayan malzemelerden oluşan elastik plaklar için temel bağlantılar oluşturmuşlar ve hareket denklemlerini elde etmişlerdir. Sonra küçük parametreler metodunu kullanarak yer değiştirme ve homojen olmama fonksiyonunu

seriye ayirmis, daha sonra elde edilen denklemler sistemine Galerkin metodu uygulayarak birinci yaklasimda serbest titresim frekanslari için formüller bulmuslardir. Elastisite modülü x koordinatinin lineer fonksiyonu oldugunda homojen olmamanin serbest titresim frekansina etkisini sayisal olarak göstermislerdir.

Tameroglu (1996), çalismasinda, sinirlari mesnetli ve orta yüzeyine uniform-sabit basınçli tek yönlü kuvvetlerin etkidigi elastik zeminler üzerindeki dikdörtgen plaklarin serbest titresimleri için degisik bir çözüm teknigi kullanmistir.Uygulanan metot, plak yüzeyinin çökmesi için özel olarak seçilen bazı trigonometrik fonksiyonlari içeren bir ortogonal olmayan seri dönüşümünün kullanilmasi temeline dayandırilmistir.Sinir sartlarinin limitsel degerleri için bazı gerçekçi yaklasimlar altında, Bernoulli polinomlarinin Fourier dönüşümünü kullanarak serilerin ortogonalizasyonu ve diger hesaplar yapilmistir.Problem için elde edilen sonuçlarin kesin çözümlerle uyum içinde oldugu görülmüştür.

Reddy (1997) çalismasinda, öncelikle virtüel is ve degisim metotlarini anlatmakta, daha sonra da KPT (klasik plak teorisi) ve KDPT (kayma deformasyonlu plak teorisi) hakkında bilgi vermektedir.Daha sonra bu yöntemleri kullanarak dikdörtgen tabakalar için sonuçlar elde etmekte ve kompozit tabakalarin sonlu elemanli analizini yapmaktadır.Son olarak ise, kompozit tabakalarin lineer olmayan analizlerini yapmaktadır.

Gutierrez, Laura ve Bambill (1998), çalismalarinda, birim alana düşen kütle, dairesel koordinatta lineer, kare ve kübik olarak degistiginde, halkali zarlarin(kati dairesel zarin özel bir sekli) enine titresimi için daha düşük dogal frekanslarin belirlenmesi ile ilgili sayisal deneylerin serilerinden elde ettikleri sonuçlari sunmuslardir. Frekans katsayilari: (1) diferansiyel kare metodu, (2) sonlu eleman metodu, (3) uygunlastirilmis ve/veya gelistirilmis Rayleigh bölüm metodu ve (4) Stodola-Vianello metodu esasli daha düşük sinirlar kullanilarak belirlenmistir. Farkli metodolojiler arasinda oldukça iyi bir uyum elde edilmistir.

Lakis, Selmane ve Toledano (1998), makalelerinde, ortotrop silindirik bos bir kabugun dogal frekanslari üzerindeki geometrik lineer olmamanin etkisini belirlemek için bir metot sunmaktadirlar. Bu metot, sonlu eleman ve klasik ince kabuk teorilerinin bir karisimidir. Sanders-Koiter lineer olmayan deformasyon-yer degistirme bagintilari kullanilarak, hareketin lineer denklemleri yer degistirme fonksiyonlari ile ifade edilmistir. Daha sonra modal katsayilar bu yer degistirme fonksiyonlari için elde edilmistir. Kütle, lineer ve lineer olmayan egilmezlik matrisleri için ifadeler, sonlu eleman metodundan türetilmistir (elastisite matrislerinin elemanlarinin terimlerinde). Ayrimis denklemler eliptik fonksiyonlari yardimi ile çözülmüştür. Frekans degisimleri ilk önce kabuk genligi fonksiyonu olarak saptanmis, daha sonra da literatürdeki sonuçlarla kiyaslanmistir.

Ng ve Lam (1999), bu makalede, birlesik statik ve periyodik aksenal yükler etkisi altındaki tabakali ince silindirik kabugun dinamik stabilitesini, üç ortak ince kabuk teorisini (Donnell, Love, Flügge kabuk teorileri) kullanarak incelemislerdir. Hareketin normal sekil degistirme denklemleri, Bolotin metodu kullanilarak Mathieu-Hill denklemler sistemine dönüştürölmektedir. Bu çalismada, degisik kabuk teorilerinin dinamik stabilite analizlerindeki kullaniminin etkileri incelenmekte ve kiyaslamalar yapilmaktadir.

Wang, Han ve Du (2000), bu arastirmada, homojen olmayan kompozit malzemelerin dinamiklik ve süreklilik karsiligini analiz etmek için bir metot sunmuslardir. Literatürde bulunan çalismalardan farkli olarak, bu metot kalinlik yönünde keyfi olarak degisen malzeme özellikleri için ve çatlak sayisinin birden büyük olduğu durumlarda kullanilmaktadir. Burada, kompozit malzemenin ortotrop olduğu ve bütün malzeme özelliklerinin sadece y kalinlik dogrultusu boyunca degistigi varsayilmaktadir. Malzemenin homojen olmamasi, plak birkaç tabakaya ayrilarak ve her bir tabakanin degisik malzeme özelliklerine tahsis edilmesiyle olur. Bu metot, sinir deger problemlerini, Laplace dönüsümü dahilinde genellestirilmis tekillikte integral denklemleri sistemine indirgemek için Fourier ve Laplace dönüsömlerine dayandirilmistir. Problem için tekil integral dönüsömleri türetilmis ve sayisal olarak agirlikta artan deger metodu ile çözülmüştür. Sayisal Laplace dönüsöminden

faydalanılarak, zamana bagli çözümler elde edilmistir. Sayisal tanimlara göre, üç degisik çatlak numunesi, fonksiyonel egimli malzeme, fonksiyonel egimli tabakalar arasinda metal-seramik baglantisi ve fonksiyonel egimli zar yapili bir metal alt tabaka, degisik malzemelerin homojen olmama parametreleri ve/veya fonksiyonel egimli tabaka kalinliklari için sunulmustur. Elde edilen sonuçlarin, mevcut modelin kalinlik yönünde özellikleri degisen kompozit malzemelerin parça analizinde faydalı bir vasita oldugu görülmektedir.

Matsunaga (2001), çalimasinda, çapraz tabakali kompozit plaklarin dogal frekanslarini ve burkulma gerilmelerini kayma deformasyonlari, kalinlik degisimi ve dönел atalet etkilerini dikkate alarak analiz etmektedir. Yer degistirme bileşenlerinin kuvvet serisinin genlesme metodu kullanilarak, düzlem içi gerilmelere maruz kalın dikdörtgen plaklar için iki boyutlu yüksek dereceli teorinin esas dinamik denklemler sistemi, Hamilton prensibi kullanilarak türetilmektedir. Bu çalisanin kesinligini kanitlamak için, esas dogal frekanslarin birlesme özellikleri detayli olarak incelenmistir. Sayisal sonuçlar, daha önceden mevcut teoriler ile kiyaslanmistir. Kalinlik boyunca gerilme dagilimlari ve yer degistirme modeli elde edilmiş ve şekillerle gösterilmistir. Mevcut ayrıntili yüksek dereceli yaklasim teorileri, tabaka sayısına bagli olmayan az sayıda bilinmeyen içeren kalın çok tabakali açili kompozit tabakalarin dogal frekanslarini, burkulma gerilmelerini ve model gerilmelerini önceden belirleyebilir.

Messina (2001), bu makalesinde, serbest titresim yapan tabakali plaklarin analizi için iki boyutlu modellerin genislemesini sunmaktadır. Genisleme, son zamanlarda farklı yazarlar tarafından farklı şekillerde tanitilan, göz önüne alınan kübik teoriden daha yüksek dereceli terimlere sahip yüksek dereceli teorilerin t₁-le büyümesi ile ilgilidir. Dönел atalet ve enine kayma gerilmesi gibi daha yüksek dereceli etkiler, dogal olarak hiç kayma düzeltme faktörü olmadan kapsamaktadırlar. Yani, genisleme ile ortaya çıkarilan iki farklı model, yer degistirmeler (D2D) ve birlesimlerde yer degistirmeli (M2D), enine kayma gerilmeleri olmak üzere farklı fonksiyonel esaslıdırlar. Genlesmenin, plagin dis yüzeylerindeki çekme tipi sinir kosullari ile uyum içinde oldugu düşünölmektedir. Yönlendirici denklemler ve bunlara yardımcı olan sinir

kosullari, Hamilton'un klasik varyasyon prensibi ve Reissner'in karisik varyasyon teoremi kullanilarak elde edilmistir. Her iki model de tek tabaka tipine denktir ve bu nedenle, tabaka türü tanimina göre farklılasir, tabaka sayisindaki bilinmeyen degiskenlerin bagimsizligini devam ettirir. Modelin geçerliliği, farklı tabakalama planlarının, açili/çapraz kat ve düşük ve yüksek frekansların karakteristik geometrik oranları için, elastisitenin kesin üç boyutlu teorisi ile yapılan sayisal kıyaslamalarla gösterilir.

Kompozitlerin üretim ve fabrikasyonları esnasında malzeme özelliklerine, dikkate alınacak kadar fazla parametreler katıldığı bilinmektedir. Singh, Yadav ve Iyengar (2001), bu çalışmada, malzeme özelliklerini, sistem davranışı hakkında kesin bir sonuç elde etmek için rasgele değişkenler olarak almışlardır. Dönel atalet etkileri içeren yüksek mertebeden kaya teorisi, sistemin dinamik denklemlerinde hesaba katılmıştır. Birinci dereceden düzensizlik tekniği, yönetici denklemlerin çözümünü elde etmek için kullanılmıştır. Öz sonuçların karşıtlığı için kapalı şekildeki ifadelerin elde edilmesinde kullanılan bir yöntem özetlenmiştir. Yan yüzeyin kalınlık oranına ve malzeme özelliklerinin standart sapmalara etkileri çapraz katlı simetrik ve simetrik olmayan tabakalar için araştırılmıştır. İlk beş doğal frekansın standart sapmaları ve anlamları, her kenarından basit mesnetli tabakalı dikdörtgen plaklar için geliştirilmiştir. Yüksek mertebeden kayma deformasyon teorisi sonuçları, Monte Carlo benzer sonuçları ile ve klasik tabaka ve birinci dereceden kayma deformasyonu teorileri esas alınarak elde edilmiş sonuçlarla kıyaslanarak, geçerliliği onaylanmıştır.

Soldatos ve Messina (2001), çalışmalarında, kenar sinir koşullarının enine kayma deformasyonu içeren plakların, kapalı silindirik kabukların ve keyfi açılı dizilime sahip katları olan açık silindirik panellerin titreşim karakteristikleri üzerindeki etkilerini incelemişlerdir. Bu çalışmada kullanılan kabuk modeli, birleştirilmiş kayma deformasyonlu Love tipi kabuk teorisi ile aynı olup, analizler Ritz metoduna dayanmaktadır. Bu titreşim çalışması yapılırken, basit mesnetli, ankastre ve serbest kenar sınırları gibi farklı kombinasyonları olan açılı dizilime sahip tabakalar esas alınmıştır. Yapılan birleştirme denemeleri ve sunulan yeni sonuçların yanı sıra,

literatürde bulunan uygun nümerik ve deneysel sonuçlarla, ayrıca klasik plak ve kabuk teorilerine dayanan uygun sonuçlarla da kıyaslamalar yapılmış ve yapılan kıyaslamalarla bu çalışmada sunulan analizlerin doğruluğu kanıtlanmıştır.

Zenkour ve Fares (2001), bu çalışmalarında, homojen olmayan kompozit tabakalı silindirik kabukların eğilme, burkulma ve serbest titreşim problemlerini göz önüne almışlardır. Hamilton-Reissner karışık varyasyon prensibi, homojen olmayan elastik özelliklere sahip kompozit tabakalı silindirik kabukların uygun birinci durum teorisini ortaya çıkarmak için kullanılmıştır. Gerekli sınır koşulları ile yönlendirilen denklemler hiçbir kayma düzeltme faktörü tanıtılmadan türetilmiştir. Enine sapmalar, gerilmeler, doğal frekanslar ve kritik burkulma yükleri için sayısal sonuçlar bu teorisinin avantajlarını göstermek için sunulmuştur. Homojen olmamanın ve kalınlık oranının kabuğun yapısal tepkileri üzerindeki etkileri araştırılmıştır. Bu çalışma, zayıf bile olsa homojen olmamanın etkisinin, kabukların gerçek yapısal tepkisini belirlemek için gerekli olduğu sonucuna varmaktadır.

Leissa ve Kang (2002), çalışmalarında, karşılıklı iki kenarından ($x=0$ ve a) basit mesnetli ve diğer iki kenarından ($y=0$ ve b) ankastre olan dikdörtgen plakların doğrusal değişen normal gerilmeleri $\sigma_x = -N_0 [1 - \alpha(y/b)]/h$ altında serbest titreşimini ve burkulmasını incelemiş ve kesin sonuçlar sunmuşlardır. Burada, h plak kalınlığıdır. Enine yer değiştirmenin (w), $\sin(m\pi x/a)$ şeklinde değiştiği varsayılarak, kesin sonuç elde etmek için kısmi diferansiyelli hareket denklemi kuvvet serisine ayrılarak (Frobenius metodu) y 'e bağlı değişken katsayılı bir diferansiyel denkleme indirgenir. $y=0$ ve b 'de ankastre sınır koşulları için frekans denklemi verilir. Frekanslar sifıra yaklaştığında burkulma yükleri ortaya çıkar. Kuvvet serilerinin yakınsaklığı için dikkatli bir çalışma yapılmıştır. Burkulma yükleri, $\alpha = 0, 0.5, 1, 1.5, 2$ yükleme parametreleri için hesaba katılmaktadır. Burada, $\alpha = 2$ sadece düzlem içi eğilme momentidir. Kıyaslamalar, diferansiyel denklemlerin $\alpha = 0, 1, 2$ için integrasyon metodu veya $\alpha = 1, 2$ için enerji metodu ile yaylı burkulma yükleri için yapılmaktadır. En yeni sonuçlar, $a/b = 0.5, 1, 2$ oranlarındaki dikdörtgen plakların serbest titreşim frekansları için

yük siddetleri $N_0 / N_{cr} = 0, 0.5, 0.8, 0.95, 1$ olmaktadır. Burada, N_{cr} plajın kritik burkulma yükü olup, üç çeşit yüklemeye ($\alpha = 0,1,2$) bağlıdır. Çalışmada, ayrıca, burkulma ve serbest titreşim durumunu gösteren şekiller de gösterilmiştir.

Nayak, Moy ve Sheno (2002), çalışmalarında, iki yeni C-o, Reddy'nin yüksek dereceli teorisinin deformasyon sonlu eleman formülasyonlarının izotrop, ortotrop ve tabakalı anizotrop kompozit ve sandviç plakların doğal frekanslarını belirlemek için kullanıldığı varsayımını göz önüne almışlardır. Dis kabuğa cam yünü polyesterinin yapıştırılması ve HEREX C70 PVC (polivinilklorid) köpük malzemelerin de çekirdek kısmında kullanılması, plajın görünüş oranının, uzunluğun kalınlığa oranının, ortotropi derecesinin, tabaka sayısının ve tabakaların ayrılma planının, doğal frekanslar üzerindeki parametrik etkisini göstermek içindir. Uygun bir kütle matrisi, mevcut formülasyona uyarlanmıştır. Bu çalışmada sunulan sonuçlar, serbest titreşim koşulları altındaki sandviç tabakaların davranışının daha iyi anlaşılması açısından faydalıdır ve sandviç yapı tasarımcıları için potansiyel olarak yararlıdır.

Sofiyev (2002) bu çalışmasında, zamanın fonksiyonu olan dis basınç yükü etkisi altında, kalınlık yönünde değişik elastisite modüllerine ve yoğunluklara sahip çapraz tabakalı ortotropik silindirik ince kabuğun burkulmasını incelemeyi amaçlamıştır. Öncelikle, dinamik stabilite ve uygunluk denklemleri elde edilmiştir. Bu denklemler sonradan Galerkin metodu kullanılarak, değişik katsayılarla sahip zamana bağlı diferansiyel denklemlerden oluşan bir sisteme indirgenmektedir. Son olarak, kritik dinamik ve statik yükler, uygun dalga sayıları, dinamik faktörler, kritik zaman ve kritik impuls, Ritz tipi varyasyon metodunun uyarlanmış şekli uygulanarak analitik olarak bulunmuştur. Çapraz tabakalı silindirik kabukların dinamik davranışı: a) elastisite modülleri ve yoğunlukları değişim gösteren tabaka, b) değişik sayıda ve dizilimde tabakalar, c) zamanın değişik kuvvetleriyle değişen dis basınçlar. Bütün bu faktörlerin, incelenen problemin kritik parametreleri üzerinde kayda değer etkileri olduğu sonucuna varılmaktadır.

Wang ve Dawe (2002), çalışmalarında, birinci derece kayma deformasyonlu plak teorisine dayanan bir sonlu serit metodu (FSM), kompozit tabakalı dikdörtgen plaklar

ve prizmatik plak yapıların dinamik kararsızlık analizlerini sunmuşlardır (SDPT). Bu yapının hareket denklemleri, Mathieu denklemler sisteminin bir grubu olup, Lagrange formülleri kullanılarak elde edilmiştir. Hareketin parametrik rezonans frekansları, Bolotin tarafından sunulan fakat çok fazla kullanılmayan Sturm ardışık metodu kullanılarak bulunmaktadır. Değişik yükleme örnekleri, keyfi olarak tabakalara ayırma ve genel sınır koşulları uyumlu hale gelmektedir. Nümerik uygulamalardaki değişiklik, geliştirilmiş metodu denetlemek ve karışık plak veya tekil plak yapıların dinamik kararsızlık davranışını değişik dinamik yükleme durumları için incelemek için sunulmuştur. Dinamik kararsızlık indeksi (DII), kalınlığın uzunluğa oranını, ortotropi derecesini, lif doğrultularını, yükleme durumlarını ve sınır koşullarını içeren kesin parametrelere karşı kararsızlığın derecesini ölçmek için tasarlanmıştır.

Zenkour (2002), bu makalesinde, problemin analizi, tek boyutlu plak teorisinde, karışık birinci dereceden kalın kiris ve onun sayısal çözümüne doğru yaklaşan küçük bir parametrenin kullanımı esastır. Kirisin kenarlarındaki sınır koşulları oldukça genel olabilir ve bu iki kenar arasında kirisin kalınlığı değişken olabilir. Üniform yüklemelerde lineer olmayan kalınlık değişimine sahip ortotrop kirislerin statik tepkisi için kapalı formda çözümler geliştirilmiştir. Sunulan modelin kesinliği, kesin çözümleri ve sayısal sonuçları, çözümün doğruluğunu kanıtlamış ve aynı zamanda çözümleri literatürde mevcut olmayan problem çeşitleri için de sunulmuştur.

Aydogdu ve Timarci (2003), bu çalışmalarında, değişik sınır koşullarına bağlı çapraz tabakalı kare plakların titreşim analizini incelemişlerdir. Simetrik çapraz tabakalı plaklar için katlar arasındaki sürekliliğin devamının gereksinimi, daha önce geliştirilmiş olan iki boyutlu kayma deformasyonlu plak teorilerini de birleştiren teoriye yüzey fonksiyonlarının kullanımı dahil edilerek sağlanmıştır. İlk olarak, her bir kenarı kesin bir analitik metotla çözülmüş ve bütün kenarları basit mesnet sınır koşullarına sahip çapraz tabakalı plakların titreşimi için, Hamilton prensibi kullanılarak temel denklemler elde edilmiştir. Serbest, ankastre ve basit mesnetli sınır koşullarından oluşan on iki farklı kombinasyona bağlı çapraz tabakalı kare plak durumunda, bes yer değiştirme bileşeninin basit cebirsel polinomlar serisi olarak

varsayıldığı serbest titreşim frekansları Ritz metodu uygulanarak elde edilir. Sayısal sonuçlar, farklı uzunluk-kalınlık oranlarına ve malzeme düzenlerine göre sunulmuş ve literatürdeki uygun sonuçlarla kıyaslanmıştır.

Chitnis, Desai, Shah ve Kant (2003), çalışmalarında, farklı yer değiştirme esaslı formülasyonları birleştiren kompozit tabakalı lif takviyeli polimer ve sandviç plakların zamana bağlı harmonik dalgalarının ve titreşimlerinin yayılmasını araştırarak yarı-analitik bir yöntem geliştirmişlerdir. Birinci mertebe kayma deformasyonu teorisinden başlayıp dördüncü mertebe teoriye kadar devam eden değişik yer değiştirme esaslı modeller, eksenel ve enine yer değiştirmelerin doğrusal, kare, kübik ve kuartik değişim kombinasyonlarını kullanarak tabakanın kalınlığından veya matematiksel alt tabakadan lineer olarak geliştirilmiştir. Bütün yer değiştirme modellerinin sonuçları, titreşim problemi için düzlem içi ve enine yer değiştirmelerin kuartik değişimi kullanılarak yer değiştirme modelinden elde edilenlerle kıyaslanmaktadır. Tabaka altı kalınlığının aracılığı ile, düzlem içi ve enine yer değiştirmelerin kübik değişimini kullanarak daha yüksek mertebeli yer değiştirme esaslı teori, titreşim problemlerinde olduğu gibi, tabakalı kompozit plaklardaki dalga yayılımı için de orta çözüm bulma yoluna gidilmiştir. Yapılan bütün araştırmalar, sandviç ve kompozit tabakalı plakların titreşimini ve dalga yayılımının analizi için yüksek mertebeli teorilerin önemini göstermektedir.

Gorman (2003), çalışmasında, süper pozisyon metodu kullanarak, plak kenarlarına eklenmiş takviyeli kirislere veya seritlere simetrik olarak dağıtılmış, köşelerinden mesnetli ince dikdörtgen plakların serbest titreşim frekansları ve mod şekilleri için analitik çözümler elde etmiştir. Plak-kiris ara yüzeyindeki tepkileri ifade eden denklemler, boyutsuz şekilde geliştirilmiştir. Bu yaklaşım, kirisin hem yanal, hem de dönel eğilmezliğinde ve ataletinde oldukça yaygındır ve analizlerin içine katılmıştır. Açıklama amacıyla hesaplanan öz değerler ve mod şekilleri gerçek sistemli iki plak-kiris sistemi için sunulmuştur. Bu metodun kenar kirislerinin simetrik dağılıma sahip olmaması durumunu kapsayacak kadar genişlediği gösterilmiştir. Bu çalışmanın, endüstriyel açıdan ilgi çekici ilk analitik problem olduğu görülmektedir.

Hong ve Jane (2003), makalelerinde, termal titreşim altındaki tabakalı dikdörtgen platin içindeki tabaka içi gerilmeleri ve dönmeleri, kayma deformasyonu etkisini sağlayan genelleştirilmiş diferansiyel alan hesabi metodunu kullanarak saptamışlardır. Çapraz tabakalarda, gerilme ve dönme için yaklaşık çözümler termal yükün sinusoidal sıcaklık derecesinin titreşimi altında elde edilmiştir. Sayısal sonuçlar, kenar/kalınlık (a/h) oranı değerinin düşmesi ile, özellikle bu oran 20 den küçük veya eşit ise, tabakanın merkezi konumundaki maksimum sapma ve gerilmenin arttığı görülmektedir. GDQ metodu, birkaç kontrol noktası olan kayma deformasyonunu içeren sinusoidal sıcaklık derecesinin termal titreşimi etkisi altındaki çapraz tabakanın, çok tabakalı plak içindeki tabaka içi gerilmelerinin ve sapmalarının ölçümü için verimli bir metod sağlar.

Huang ve Zheng (2003), bu çalışmalarında, iki parametrelili (Pasternak-tipi) elastik temele dayanan ve başlangıç düzlem içi statik yükler ile birleşmiş enine dinamik yüklerin etkisi altındaki basit mesnetli kayma deformasyonlu tabakalı platin dogrusal olmayan titreşimini ve dinamik tepkisini sunmuşlardır. Formülasyonlar, Reddy'nin yüksek mertebeli kayma deformasyon plak teorisi ve plak-temel etkileşimini içeren von Karman-tipi denklemlerine dayanmaktadır. Düzlem içi sınır koşullarının iki durumu göz önüne alınmıştır. Hareket denklemleri, simetrik çapraz tabakalı ve antisimetrik açılı tabakalı kayma deformasyonlu tabakalı plakların dinamik tepkilerini ve lineer olmayan frekanslarını belirlemek için hareket denklemleri, karışık yöntem ile çözülmüştür. Ayrıca, genlik oranının, temel eğilmezliğin ve başlangıç düzlem içi yüklerin frekans oranları üzerindeki etkileri ve dinamik tepkileri de incelenmiştir. Sonuçlarda, temel eğilmezliğin ve başlangıç düzlem içi yüklerin, lineer olmayan frekansların lineer frekanslara oranının üzerinde, kayma deformasyonlu tabakalı plakların dinamik tepkilerinin olduğu gibi, önemli etkileri vardır.

Lee, Choi ve Kim (2003), çalışmalarında, dikdörtgen plaktan yapılmış tabakalı kompozit silindirik kabuğun serbest titreşim analizini, analitik ve deneysel metodlarla yapmışlardır. Plati içeren kabuğun titreşim frekansının denklemleri formüle edilmiştir. İki yapının birleşiminden önce serbest titreşim karakteristiklerini elde

etmek için, klasik plak teorisine dayanan Enerji Prensibi ve Love'nin ince kabuk teorisi kullanılmıştır. Genel formülasyonu geçerli kılmak için, sayısal sonuçlar, sonlu eleman analizi ile olduğu gibi deneylerden elde edilen sonuçlarla da kıyaslanmıştır. Kabugun uzunluk/yarıçap oranının ($L-S/a$) ve yarıçap/kalınlık oranının ($a/h(S)$), çapraz ve açılı katlı kompozit malzemelerin silindirik tabakalı birleşik kabugun doğal frekanslarına etkileri de burada detaylı olarak tartışılmıştır.

Li, Cheng, Yam ve Yan (2003), çalışmalarında, piezo-elektrik tarafından harekete geçirilen hasarlı platin sayısal modellemesini sunmuşlardır. Önceki çalışmalardan farklı olarak, hataların etkisi göz önüne alınmış, ayrıca eğilmezlik ve kütle azalmaları da hareket denklemlerine dahil edilmiştir. Model, hem frekans, hem de zaman alanında frekans değişimi ve enerji değişimine bağlı indisler kullanılarak gerçekleştirilmiştir. Ölçülen indislerin eğilimleri ile benzerleri arasında kıyaslamalar yapıldığında, iyi bir uyum görülmektedir. Sonuçlar, enerji göstergesinin hasara karşı olan hassasiyetinin frekans göstergesine nazaran daha fazla olduğunu göstermektedir.

Park, Mongeau ve Siegmund (2003), bu çalışmada, yapıların zorunlu titreşime karşı tepkilerinin kontrolünün ve bazı uygulamaların, mesnetlerin optimal şekilde düzenlenerek yapılmasını istemektedirler. Düzenleme, mesnetlerin içerisindeki titreşim enerjisinin dağılarak yok olmasına, yorulmanın ve yapı-taşınma gürültüsünün azalması suretiyle neden olabilir. Homojen plakların hız karşılığını minimize eden optimal mesnet eğilmezliğini bulmak için iki farklı model geliştirilmiştir. Birinci model, kenarda dalga yayılımı esaslıdır, optimal özelliklerin iyi bir kesme yaklaşımı eğilimlidir. Kenardaki en küçük yansıma için optimal viskoz ve viskoelastik mesnet eğilmezliği ölçülmüştür. Olay, dalgaların en fazla eğilimi platin karakteristik engellerine viskoz mesnet eğilmezliği uyduğu zaman meydana gelir. Rayleigh-Ritz metoduna dayanan ikinci model, sonlu dikdörtgen platin zorunlu olarak hız tepkisini en aza indirmeyi gerektiren optimal mesnet eğilmezliğinin kesin değerlendirilmelerine daha çok meyillidir. İki farklı metotla hesaplanan optimal mesnet özellikleri iyi uyum içerisindedirler. Platin mod tepkilerinin, kenarlarda dalga yansımalarından şiddetli bir şekilde etkilendiği önerilmektedir. Son olarak, mesnet özelliklerinin plaktan ses yansıması üzerindeki

etkileri bulunmuştur. Yansıyan ses kuvvetini en aza indirgeyen optimal mesnet eğilmezliği, hız tepkisini minimize eden değerden daha az bulunmuştur. Sonuçlar, hem hız tepkisinin hem de ses yansımalarının kenarlardaki titreşim enerjisi dağılımından siddetle etkilendiğini ve mesnet ayarlamasının önemli ses ve titreşim azalması eğilimine neden olacağını kanıtlamaktadır.

Perel ve Palazotto (2003), çalışmalarında, kompozit tabakalı dış levhalara sahip kalın enine sıkıştırılabilir sandviç plaga ait bir plak teorisi oluşturmak için, kalınlık yönündeki enine deformasyon bileşenlerinin dağılımı ile ilgili kolaylaştırıcı varsayımlar yapmışlardır. Üst yüzeyi üniform yük etkisi altında olan basit mesnetli plajın silindirik eğilme problemi dikkate alınmış ve plak teorisinden hesaplanan yer değiştirmeler, düzlem içi gerilmeler ve geliştirilmiş enine gerilmeler kesin elastisite çözümlerinin uygun değerleri ile kıyaslanmaktadır. Bu kıyaslamada, her iki çözüm için iyi bir uyum elde edilmiştir. Kalınlık/uzunluk oranı küçük olan silindirik eğilmede sandviç plakların sonlu eleman analizlerinde, kayma kilitlenmesi olayı meydana gelmez. Bu makalede silindirik eğilmede sunulan sandviç plajın, bir çok literatürde daha önceleri sunulan modellerden daha geniş uygulama alanı vardır. Bu, sandviç plaklarda, kalınlığın düzlem içi gerilmelere oranının geniş bir yelpazesi için, dış tabakaların hem kalın hem ince olması durumlarında (çekirdek kalınlığı ile kıyaslandığında) ve hem enine rijit, hem de enine sıkıştırılabilir dış tabakaları olan sandviç plaklara uygulanabilir.

Sofiyev (2003) bu makalesinde, zamanın kuvvet fonksiyonu şeklinde değişen dış basınca bağlı seramik ve metalden oluşmuş fonksiyonel eğimli malzemeden (FGM) meydana gelen silindirik ince kabukların formülasyonunu sunmaktadır. Özellikler, hacim parçası kuvvet kuralı dağılımına göre kalınlık doğrultusunda derecelenmektedir. Geliştirilmiş Donnell tipi dinamik stabilite ve uygunluk denklemleri, Love'nin kabuk teorisi kullanılarak elde edilmektedir. Bu denklemlere değişik başlangıç koşulları için önce Galerkin metodu, daha sonra da Ritz tipi varyasyon metodu uygulanarak ve yükleme parametrelerinin büyük değerleri dikkate alınarak, kritik parametre değerleri için analitik çözümler elde edilmektedir. Sonuçlar, kritik parametrelerin, bileşen malzemelerinin biçimi, yükleme parametresi

değişimleri ve dış basınç ifadesindeki zaman kuvveti değişimlerinin etkisinde olduğunu göstermektedir. Literatürdeki sonuçlarla karşılaştırma yapıldığında, mevcut analizin doğruluğu görülmektedir.

Sofiyev ve Aksogan (2003) çalışmalarında, geometrik lineer olmamayı dikkate alarak homojen olmayan ortotropik tabakalı ince silindirik kabukların serbest titreşimlerini incelemektedirler. Sonlu deformasyonların ve Airy gerilme fonksiyonunun dikkate alındığı Donnell-Mushtari kabuk denklemlerine dayanan hareketin temel bağıntıları ve denklemleri, elastisite modülleri kalınlık doğrultusunda parçalı sürekli olarak değişen tabakalı ince silindirik kabuklar için elde edilmektedir. Yukarıda sözü edilen denklemlere Galerkin metodu uygulanarak yer değiştirme genliği için zamana bağlı lineer olmayan diferansiyel denklem elde edilmektedir. Frekans, bu denklemden kabuk yer değiştirme genliğinin bir fonksiyonu olarak elde edilmekte ve literatürdeki mevcut sonuçlarla kıyaslanmaktadır. Son olarak, lineer olmamanın, homojen olmamanın ve tabaka sayısı ile dizilisinin frekans üzerindeki etkisi değişik mod sayıları için bulunmakta, grafik olarak sunulmakta ve diğer çalışmalarla karşılaştırılmaktadır.

Xiang ve Reddy (2003), çalışmalarında, dahili hattan menteseli dikdörtgen plakların titreşimi için kesin sonuçlar sunmuşlardır. Dikdörtgen plakta, iki paralel kenarından basit mesnetli ve kalan iki kenarında ise mesnet durumlarından her hangi bir kombinasyon geçerlidir. Dahili hat, iki basit mesnetli paralel kenarlara diktir. Lévy tipi çözüm metodu ve boşluk-durum tekniği, dahili hattan menteseli dikdörtgen plakların doğal titreşimini incelemek için birinci mertebeden kayma deformasyon plak teorisi ile bağlantıda kullanılmıştır. Özellikle, kesin titreşim frekansları, değişik oranlar ve kenar mesnetleri durumunda dikdörtgen plaklar için elde edilmektedir. Dikdörtgen plakların titreşim davranışları üzerinde dahili hat mentesinin etkisi incelenmektedir.

Wu, Chou ve Chen (2003), bu makalede, dört tane sınır koşuluna ve üç çeşit çok yoğun bulunan elemana (rijit olarak kütle noktasına, doğrusal yaylara ve elastik olarak kütle noktasına monte edilerek eklenmiş) sahip üniform dikdörtgen plajın

dinamik karakteristiklerini araştırmışlardır. İlk olarak, özel sınır koşullarına sahip dikdörtgen platin doğal frekanslar ve uygun normal mod şekilleri için kapalı formdaki çözümleri analitik olarak saptanmıştır. Daha sonra, bu doğal frekansları ve genişleme teorisi ile birleşmiş normal mod şekillerini kullanarak, “zorlanmış” platin hareket denklemleri (üç çeşit elemanı yoğun olarak taşıyan) çıkarılmaktadır. Son olarak, doğal frekansları ve “zorlanmış” platin mod şekillerini vermek için hareketin bu denkleminin çözümünde sayısal yöntemler kullanılmıştır. Daha önceki serbest titreşim analizinin sonuçlarının güvenilirliğini doğrulamak için, bir sonlu eleman analizi de verilmiştir. Yukarıda bahsi geçen her iki yaklaşımdan elde edilen sonuçların iyi bir uyum içinde olduğu görülmektedir. Geleneksel sonlu eleman yöntemi (FEM) ile karşılaştırıldığı zaman, mevcut literatürden de görüleceği gibi, bu makalede kullanılan yaklaşımın, zaman kazancı ve daha kesin bir sonuca ulaşmak konusunda avantajları vardır.

Zenkour (2003), çalışmasında, karma birinci mertebeden kayma deformasyonlu plak, ikinci mertebeden bir diferansiyel denklem sistemi ile modellenmekte ve ince plak modelini dördüncü mertebeden bir diferansiyel denkleme dönüştürmektedir. Birinci model, kalınlığın uzunluğa oranının nispeten büyük olduğu plaklarda kayma biçimsizliği için çok iyi bir analiz sağlamaz. Bununla birlikte, ikinci model daha zor fakat çok daha kesindir. Bu makalede, kayma deformasyonu sonuçlarını sağlayan klasik ince plak teorilerinin sonuçlarından elde edilen her iki bulgu arasındaki bağlantı kayma düzeltme faktörleri kullanılmadan gösterilmektedir. Sunulan kesin sonuçlar, iki zıt kenarı basit mesnetli, diğer iki zıt kenarı ise tamamen genel olan altı tip dikdörtgen platin eğilmesi içindir. Mevcut modelin kesinliği, kesin çözümlerin ve sayısal sonuçların kullanılabilir olduğunu göstermekte ve çözümler aynı zamanda araştırmacıların kendi sayısal kalın plak için sonuçlarını kontrol etmeleri için sunulmuştur.

Kitipornchai, Yang ve Liew (2004) bu çalışmalarında, homojen esaslı ve iki tabakalı fonksiyonel eğimli malzemelerden oluşan kusurlu kayma deformasyonlu tabakalı dikdörtgen plakların lineer olmayan titreşimini incelemektedirler. Sapma terimlerinde, orta yüzey dönmelerinde ve gerilme fonksiyonlarında, Reddy'nin

yüksek mertebeden kayma deformasyonlu plak teorisine dayanan teorik bir formülasyon sunulmaktadır. Tek boyutlu diferansiyel alan hesabi metodu, Galerkin tekniği ve iterasyon işlemini kullanılabilir yapan birleşik analitik metot, değişik sınır koşullarına sahip plakların titreşim frekanslarını elde etmek için kullanılmıştır. Malzeme özelliklerinin sıcaklığa bağlı olduğu varsayılmaktadır. Lineer ve lineer olmayan titreşim davranışında, sinüs tipi kusurların, sınırlandırılmış kusurların ve ayrıntılı kusurların etkilerine özel bir dikkat gösterilmektedir. Sayısal sonuçlar, eğimli silikon nitrit ve paslanmaz çelik tabakalardan oluşan tabakalı plaklar için boyutsuz çizelgeler ve boyutsuz grafikler şeklinde sunulmaktadır. Titreşim frekanslarının, titreşimin genliğine ve kusur mod ile genliğine çok fazla bağlı olduğu gösterilmektedir.

3.MATERYAL ve YÖNTEM

3.1. Enine Kayma Deformasyonlari İçeren Homojen Olmayan Ortotrop Kompozit Dikdörtgen Plagin Serbest Titresimi

3.1.1. Enine Kayma Deformasyonlari İçeren Homojen Olmayan Ortotrop Kompozit Plaklarin Temel Bagintilari

Homojen olmayan ortotrop kompozit malzemedan olusmus dikdörtgen plak göz önüne alalim. Koordinat sistemi plagin orta yüzeyinde seçilmis olsun ve x , y eksenleri ortotropi dogrultulari ile çakismis olsun. Plagi olusturan malzemenin Young modülleri ve yogunlugu kalinlik koordinatinin sürekli fonksiyonlari olsunlar. Bu durumda Young modülleri, kayma modülleri ve yogunluk z kalinlik koordinatinin sürekli fonksiyonlari olarak,

$$E_1(\bar{z}) = E_{01}[1 + \mu_1 \eta_1(\bar{z})], \quad E_2(\bar{z}) = E_{02}[1 + \mu_1 \eta_1(\bar{z})], \quad G_{12}(\bar{z}) = G_{012}[1 + \mu_1 \eta_1(\bar{z})],$$

$$G_{13}(\bar{z}) = G_{013}[1 + \mu_1 \eta_1(\bar{z})], \quad G_{23}(\bar{z}) = G_{023}[1 + \mu_1 \eta_1(\bar{z})],$$

$$\rho(\bar{z}) = \rho_0[1 + \mu_2 \eta_2(\bar{z})], \quad \bar{z} = z/h \quad (3.1.1.1)$$

sekinde yazilabilir. Burada, E_{01} , E_{02} homojen malzemenin x ve y bas dogrultularda Young modülleri, G_{012} homojen malzemenin Oxy düzleminde kayma modülü olup, x ve y dogrultulari arasindaki açinin, G_{013} homojen malzemenin Oxz düzleminde kayma modülü olup, x ve z dogrultulari arasindaki açinin, G_{023} ise homojen malzemenin Oyz düzleminde kayma modülü olup, y ve z dogrultulari arasindaki açinin degisimlerini karakterize etmektedirler. ρ_0 , homojen malzemenin yogunlugu, μ_1 ve μ_2 sirasiyla, Young modülleri ve yogunlugun degisim katsayilari olup, $0 \leq \mu_1 < 1$, $0 \leq \mu_2 < 1$ ve $\eta_i(\bar{z})$ ($i = 1, 2$) ise Young modülleri ve yogunlugun degisim fonksiyonlari olup, süreklidirler ve $|\eta_i(\bar{z})| \leq 1$ dir.

Enine kayma deformasyonlari içeren homojen olmayan ortotrop kompozit malzemelerden olusan plaklar için gerilme ve deformasyon arasindaki baginti asagidaki sekilde yazilabilmektedir:

$$\begin{aligned} \sigma_x = & B_{11}(\bar{z})\epsilon_x + B_{12}(\bar{z})\epsilon_y + J_{01}B_{11}(\bar{z})a_{55}(\bar{z})\frac{\partial\phi}{\partial x} + J_{01}B_{12}(\bar{z})a_{45}(\bar{z})\frac{\partial\phi}{\partial y} \\ & + J_{02}B_{11}(\bar{z})a_{45}(\bar{z})\frac{\partial\psi}{\partial x} + J_{02}B_{12}(\bar{z})a_{44}(\bar{z})\frac{\partial\psi}{\partial y} \end{aligned} \quad (3.1.1.2)$$

$$\begin{aligned} \sigma_y = & B_{21}(\bar{z})\epsilon_x + B_{22}(\bar{z})\epsilon_y + J_{01}B_{12}(\bar{z})a_{55}(\bar{z})\frac{\partial\phi}{\partial x} + J_{01}B_{12}(\bar{z})a_{45}(\bar{z})\frac{\partial\phi}{\partial y} \\ & + J_{02}B_{21}(\bar{z})a_{45}(\bar{z})\frac{\partial\psi}{\partial x} + J_{02}B_{22}(\bar{z})a_{44}(\bar{z})\frac{\partial\psi}{\partial y} \end{aligned} \quad (3.1.1.3)$$

$$\begin{aligned} \tau_{xy} = & B_{66}(\bar{z})\epsilon_{xy} + J_{01}B_{66}(\bar{z})a_{55}(\bar{z})\frac{\partial\phi}{\partial x} + J_{01}B_{66}(\bar{z})a_{45}(\bar{z})\frac{\partial\phi}{\partial y} \\ & + J_{02}B_{66}(\bar{z})a_{45}(\bar{z})\frac{\partial\psi}{\partial x} + J_{02}B_{66}(\bar{z})a_{44}(\bar{z})\frac{\partial\psi}{\partial y} \end{aligned} \quad (3.1.1.4)$$

$$\tau_{xz} = f_1(z)\phi(x, y) \quad (3.1.1.5)$$

$$\tau_{yz} = f_2(z)\psi(x, y) \quad (3.1.1.6)$$

Burada, ϵ_x , ϵ_y plagin her hangi bir noktasinin x ve y dogrultularinda deformasyon bileşenleri, ϵ_{xy} ise Oxy düzleminde kayma deformasyonu olup, su tanımlar geçerlidir:

$$\begin{aligned} B_{11}(\bar{z}) = & \frac{E_1(\bar{z})}{1 - \nu_1\nu_2}, \quad B_{22}(\bar{z}) = \frac{E_2(\bar{z})}{1 - \nu_1\nu_2}, \\ B_{12}(\bar{z}) = & \frac{\nu_2 E_1(\bar{z})}{1 - \nu_1\nu_2} = \frac{\nu_1 E_2(\bar{z})}{1 - \nu_1\nu_2} = B_{21}(\bar{z}), \quad B_{66}(\bar{z}) = G_{12}(\bar{z}) \end{aligned} \quad (3.1.1.7)$$

$$a_{55}(\bar{z}) = \frac{1}{G_{13}(\bar{z})}, \quad a_{44}(\bar{z}) = \frac{1}{G_{23}(\bar{z})} \quad (3.1.1.8)$$

$$J_{01} = \int_0^z f_1(z) dz, \quad J_{02} = \int_0^z f_2(z) dz \quad (3.1.1.9)$$

(3.1.1.7) ifadelerindeki Poisson oranları $\nu_1 = \nu_{yx}$, $\nu_2 = \nu_{xy}$ olarak dikkate alınmıştır.

Love tipi plak teorisine göre deformasyon bileşenleri ile yer değiştirme bileşenleri arasındaki bağıntı, aşağıdaki şekildedir:

$$\epsilon_x = e_x - z \frac{\partial^2 w}{\partial x^2}, \quad \epsilon_y = e_y - z \frac{\partial^2 w}{\partial x^2}, \quad \epsilon_{xy} = e_{xy} - 2z \frac{\partial^2 w}{\partial x^2} \quad (3.1.1.10)$$

(3.1.1.10) bağıntıları (3.1.1.2)-(3.1.1.4) ifadelerinde yerine yazıldığında, aşağıdaki bağıntılar elde edilir:

$$\begin{aligned} \sigma_x = & B_{11}(\bar{z})e_x + B_{12}(\bar{z})e_y - z \left[B_{11}(\bar{z}) \frac{\partial^2 w}{\partial x^2} + B_{12}(\bar{z}) \frac{\partial^2 w}{\partial y^2} \right] \\ & + J_{01} B_{11}(\bar{z}) a_{55} \frac{\partial \phi}{\partial x} + J_{01} B_{12}(\bar{z}) a_{45} \frac{\partial \phi}{\partial y} \\ & + J_{02} B_{11}(\bar{z}) a_{45} \frac{\partial \psi}{\partial x} + J_{02} B_{12}(\bar{z}) a_{44} \frac{\partial \psi}{\partial y} \end{aligned} \quad (3.1.1.11)$$

$$\begin{aligned} \sigma_y = & B_{21}(\bar{z})e_x + B_{22}(\bar{z})e_y - z \left[B_{21}(\bar{z}) \frac{\partial^2 w}{\partial x^2} + B_{22}(\bar{z}) \frac{\partial^2 w}{\partial y^2} \right] \\ & + J_{01} B_{12}(\bar{z}) a_{55} \frac{\partial \phi}{\partial x} + J_{01} B_{12}(\bar{z}) a_{45} \frac{\partial \phi}{\partial y} \\ & + J_{02} B_{21}(\bar{z}) a_{45} \frac{\partial \psi}{\partial x} + J_{02} B_{22}(\bar{z}) a_{44} \frac{\partial \psi}{\partial y} \end{aligned} \quad (3.1.1.12)$$

$$\begin{aligned} \tau_{xy} = & B_{66}(\bar{z})e_{xy} - 2z B_{66}(\bar{z}) \frac{\partial^2 w}{\partial x \partial y} + J_{01} B_{66}(\bar{z}) a_{45} \frac{\partial \phi}{\partial x} \\ & + J_{01} B_{66}(\bar{z}) a_{55} \frac{\partial \phi}{\partial y} + J_{02} B_{66}(\bar{z}) a_{44} \frac{\partial \psi}{\partial x} + J_{02} B_{66}(\bar{z}) a_{45} \frac{\partial \psi}{\partial y} \end{aligned} \quad (3.1.1.13)$$

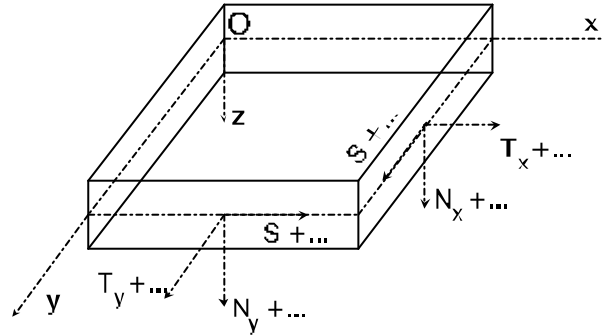
Plagin iç kuvvet ve moment bileşenleri aşağıdaki formüllerden bulunmaktadır:

$$T_x = \int_{-h/2}^{h/2} \sigma_x dz, \quad T_y = \int_{-h/2}^{h/2} \sigma_y dz, \quad S_{xy} = \int_{-h/2}^{h/2} \tau_{xy} dz, \quad (3.1.1.14)$$

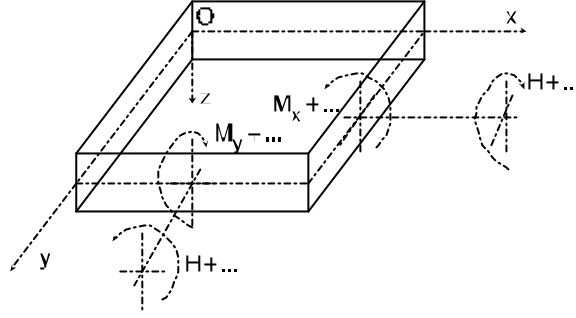
$$N_x = \int_{-h/2}^{h/2} \tau_{xz} dz, \quad N_y = \int_{-h/2}^{h/2} \tau_{yz} dz \quad (3.1.1.15)$$

$$M_x = \int_{-h/2}^{h/2} \sigma_x z dz, \quad M_y = \int_{-h/2}^{h/2} \sigma_y z dz, \quad H_{xy} = \int_{-h/2}^{h/2} \tau_{xy} z dz \quad (3.1.1.16)$$

Burada, plagin birim uzunluğa ait T_x , T_y , $S = S_{xy} = S_{yx}$ iç tanjant, N_x, N_y kesme kuvvetleri, M_x, M_y eğilme ve $H = H_{xy} = H_{yx}$ burulma momentleridir (Şekil 3.1.1.1 ve Şekil 3.1.1.2).



Şekil 3.1.1.1 Plagin iç kuvvet bileşenleri



Sekil 3.1.1.2 Plagin moment bilesenleri

(3.1.1.5), (3.1.1.6) ve (3.1.1.11)-(3.1.1.13) ifadeleri, (3.1.1.14)-(3.1.1.16) bagintilarinda yerine yazildiginda, kuvvet ve moment bilesenleri için asagidaki ifadeler elde edilir:

$$\begin{aligned} T_x = & A_{11}^0 e_x + A_{12}^0 e_y - A_{11}^1 \frac{\partial^2 w}{\partial x^2} - A_{12}^1 \frac{\partial^2 w}{\partial y^2} \\ & + A_{13}^0 \frac{\partial \phi}{\partial x} + A_{14}^0 \frac{\partial \phi}{\partial y} + A_{15}^0 \frac{\partial \psi}{\partial x} + A_{16}^0 \frac{\partial \psi}{\partial y} \end{aligned} \quad (3.1.1.17)$$

$$\begin{aligned} T_y = & A_{21}^0 e_x + A_{22}^0 e_y - A_{21}^1 \frac{\partial^2 w}{\partial x^2} - A_{22}^1 \frac{\partial^2 w}{\partial y^2} \\ & + A_{23}^0 \frac{\partial \phi}{\partial x} + A_{24}^0 \frac{\partial \phi}{\partial y} + A_{25}^0 \frac{\partial \psi}{\partial x} + A_{26}^0 \frac{\partial \psi}{\partial y} \end{aligned} \quad (3.1.1.18)$$

$$S_{xy} = A_{66}^0 e_{xy} - 2A_{66}^1 \frac{\partial^2 w}{\partial x \partial y} + A_{33}^0 \frac{\partial \phi}{\partial x} + A_{34}^0 \frac{\partial \phi}{\partial y} + A_{35}^0 \frac{\partial \psi}{\partial x} + A_{36}^0 \frac{\partial \psi}{\partial y} \quad (3.1.1.19)$$

$$N_x = I_5 \phi \quad (3.1.1.20)$$

$$N_y = I_6 \psi \quad (3.1.1.21)$$

$$\begin{aligned}
M_x &= A_{11}^1 e_x + A_{12}^1 e_y - A_{11}^2 \frac{\partial^2 w}{\partial x^2} - A_{12}^2 \frac{\partial^2 w}{\partial y^2} \\
&+ A_{13}^1 \frac{\partial \phi}{\partial x} + A_{14}^1 \frac{\partial \phi}{\partial y} + A_{15}^1 \frac{\partial \psi}{\partial x} + A_{16}^1 \frac{\partial \psi}{\partial y}
\end{aligned} \tag{3.1.1.22}$$

$$\begin{aligned}
M_y &= A_{21}^1 e_x + A_{22}^1 e_y - A_{21}^2 \frac{\partial^2 w}{\partial x^2} - A_{22}^2 \frac{\partial^2 w}{\partial y^2} \\
&+ A_{23}^1 \frac{\partial \phi}{\partial x} + A_{24}^1 \frac{\partial \phi}{\partial y} + A_{25}^1 \frac{\partial \psi}{\partial x} + A_{26}^1 \frac{\partial \psi}{\partial y}
\end{aligned} \tag{3.1.1.23}$$

$$H_{xy} = A_{66}^1 e_{xy} - 2A_{66}^2 \frac{\partial^2 w}{\partial x \partial y} + A_{33}^1 \frac{\partial \phi}{\partial x} + A_{34}^1 \frac{\partial \phi}{\partial y} + A_{35}^1 \frac{\partial \psi}{\partial x} + A_{36}^1 \frac{\partial \psi}{\partial y} \tag{3.1.1.24}$$

Burada A_{ij}^k ($k=0,1,2$) asagidaki ifadelerde gösterilmis olup, su tanimlar geçerlidir:

$$\begin{aligned}
A_{13}^0 &= \int_{-h/2}^{h/2} B_{11}(\bar{z}) a_{55}(\bar{z}) \left(\int_0^z f_1(z) dz \right) dz, \\
A_{14}^0 &= \int_{-h/2}^{h/2} B_{12}(\bar{z}) a_{45}(\bar{z}) \left(\int_0^z f_1(z) dz \right) dz, \\
A_{15}^0 &= \int_{-h/2}^{h/2} B_{11}(\bar{z}) a_{45}(\bar{z}) \left(\int_0^z f_2(z) dz \right) dz, \\
A_{16}^0 &= \int_{-h/2}^{h/2} B_{12}(\bar{z}) a_{44}(\bar{z}) \left(\int_0^z f_2(z) dz \right) dz. \\
A_{23}^0 &= \int_{-h/2}^{h/2} B_{21}(\bar{z}) a_{55}(\bar{z}) \left(\int_0^z f_1(z) dz \right) dz, \\
A_{24}^0 &= \int_{-h/2}^{h/2} B_{22}(\bar{z}) a_{45}(\bar{z}) \left(\int_0^z f_1(z) dz \right) dz,
\end{aligned} \tag{3.1.1.25}$$

$$\begin{aligned}
A_{25}^0 &= \int_{-h/2}^{h/2} \mathbf{B}_{21}(\bar{z}) \mathbf{a}_{45}(\bar{z}) \left(\int_0^z f_2(z) dz \right) dz, \\
A_{26}^0 &= \int_{-h/2}^{h/2} \mathbf{B}_{22}(\bar{z}) \mathbf{a}_{44}(\bar{z}) \left(\int_0^z f_2(z) dz \right) dz.
\end{aligned} \tag{3.1.1.26}$$

$$\begin{aligned}
A_{33}^0 &= \int_{-h/2}^{h/2} \mathbf{B}_{66}(\bar{z}) \mathbf{a}_{55}(\bar{z}) \left(\int_0^z f_1(z) dz \right) dz, \\
A_{34}^0 &= \int_{-h/2}^{h/2} \mathbf{B}_{66}(\bar{z}) \mathbf{a}_{45}(\bar{z}) \left(\int_0^z f_1(z) dz \right) dz, \\
A_{35}^0 &= \int_{-h/2}^{h/2} \mathbf{B}_{66}(\bar{z}) \mathbf{a}_{45}(\bar{z}) \left(\int_0^z f_2(z) dz \right) dz, \\
A_{36}^0 &= \int_{-h/2}^{h/2} \mathbf{B}_{66}(\bar{z}) \mathbf{a}_{44}(\bar{z}) \left(\int_0^z f_2(z) dz \right) dz.
\end{aligned} \tag{3.1.1.27}$$

$$\begin{aligned}
A_{13}^1 &= \int_{-h/2}^{h/2} z \mathbf{B}_{11}(\bar{z}) \mathbf{a}_{55}(\bar{z}) \left(\int_0^z f_1(z) dz \right) dz, \\
A_{14}^1 &= \int_{-h/2}^{h/2} z \mathbf{B}_{12}(\bar{z}) \mathbf{a}_{45}(\bar{z}) \left(\int_0^z f_1(z) dz \right) dz, \\
A_{15}^1 &= \int_{-h/2}^{h/2} z \mathbf{B}_{11}(\bar{z}) \mathbf{a}_{45}(\bar{z}) \left(\int_0^z f_2(z) dz \right) dz, \\
A_{16}^1 &= \int_{-h/2}^{h/2} z \mathbf{B}_{12}(\bar{z}) \mathbf{a}_{44}(\bar{z}) \left(\int_0^z f_2(z) dz \right) dz.
\end{aligned} \tag{3.1.1.28}$$

$$\begin{aligned}
A_{23}^1 &= \int_{-h/2}^{h/2} z \mathbf{B}_{21}(\bar{z}) \mathbf{a}_{55}(\bar{z}) \left(\int_0^z f_1(z) dz \right) dz, \\
A_{24}^1 &= \int_{-h/2}^{h/2} z \mathbf{B}_{22}(\bar{z}) \mathbf{a}_{45}(\bar{z}) \left(\int_0^z f_1(z) dz \right) dz, \\
A_{25}^1 &= \int_{-h/2}^{h/2} z \mathbf{B}_{21}(\bar{z}) \mathbf{a}_{45}(\bar{z}) \left(\int_0^z f_2(z) dz \right) dz,
\end{aligned}$$

$$A_{26}^1 = \int_{-h/2}^{h/2} zB_{22}(\bar{z})a_{44}(\bar{z}) \left(\int_0^z f_2(z) dz \right) dz. \quad (3.1.1.29)$$

$$A_{33}^1 = \int_{-h/2}^{h/2} zB_{66}(\bar{z})a_{55}(\bar{z}) \left(\int_0^z f_1(z) dz \right) dz,$$

$$A_{34}^1 = \int_{-h/2}^{h/2} zB_{66}(\bar{z})a_{45}(\bar{z}) \left(\int_0^z f_1(z) dz \right) dz,$$

$$A_{35}^1 = \int_{-h/2}^{h/2} zB_{66}(\bar{z})a_{45}(\bar{z}) \left(\int_0^z f_2(z) dz \right) dz,$$

$$A_{36}^1 = \int_{-h/2}^{h/2} zB_{66}(\bar{z})a_{44}(\bar{z}) \left(\int_0^z f_2(z) dz \right) dz. \quad (3.1.1.30)$$

$$A_{11}^k = \int_{-h/2}^{h/2} \frac{E_1(\bar{z})z^k}{1-\nu_1\nu_2} dz, \quad A_{12}^k = \int_{-h/2}^{h/2} \frac{\nu_1 E_2(\bar{z})z^k}{1-\nu_1\nu_2} dz = \int_{-h/2}^{h/2} \frac{\nu_2 E_1(\bar{z})z^k}{1-\nu_1\nu_2} dz,$$

$$A_{22}^k = \int_{-h/2}^{h/2} \frac{E_2(\bar{z})z^k}{1-\nu_1\nu_2} dz, \quad A_{66}^k = \int_{-h/2}^{h/2} G_{12}(\bar{z})z^k dz, \quad k = 0,1,2 \quad (3.1.1.31)$$

$$I_5 = \int_{-h/2}^{h/2} f_1(z) dz, \quad I_6 = \int_{-h/2}^{h/2} f_2(z) dz \quad (3.1.1.32)$$

Burada I_5 ve I_6 , (3.1.1.32) şeklinde ifade edilmistir.

3.1.2. Enine Kayma Deformasyonlari İçeren Homojen Olmayan Ortotrop Kompozit Plakların Dinamik Stabilite ve Deformasyon Uygunluk Denklemlerinin Çıkarılması

(3.1.1.17)-(3.1.1.19) denklemlerinden, orta düzlemdeki deformasyon bileşenleri şu şekilde bulunur:

$$e_x = b_{11}T_x + b_{12}T_y - b_{13}\frac{\partial^2 w}{\partial x^2} - b_{14}\frac{\partial^2 w}{\partial y^2} + b_{15}\frac{\partial \phi}{\partial x} + b_{16}\frac{\partial \phi}{\partial y} + b_{17}\frac{\partial \psi}{\partial x} + b_{18}\frac{\partial \psi}{\partial y} \quad (3.1.2.1)$$

$$e_y = b_{21}T_x + b_{22}T_y - b_{23}\frac{\partial^2 w}{\partial x^2} - b_{24}\frac{\partial^2 w}{\partial y^2} + b_{25}\frac{\partial \phi}{\partial x} + b_{26}\frac{\partial \phi}{\partial y} + b_{27}\frac{\partial \psi}{\partial x} + b_{28}\frac{\partial \psi}{\partial y} \quad (3.1.2.2)$$

$$e_{xy} = b_{31}S_{xy} - b_{32}\frac{\partial^2 w}{\partial x \partial y} - b_{35}\frac{\partial \phi}{\partial x} - b_{36}\frac{\partial \phi}{\partial y} - b_{37}\frac{\partial \psi}{\partial x} - b_{38}\frac{\partial \psi}{\partial y} \quad (3.1.2.3)$$

Burada b_{ij} ve Δ , kabuk ve malzeme sabitlerini içeren semboller olup, aşağıdaki ifadelerde tanımlanmıştır:

$$b_{11} = \frac{A_{22}^0}{\Delta}, \quad b_{12} = -\frac{A_{12}^0}{\Delta}, \quad b_{13} = \frac{A_{12}^0 A_{21}^1 - A_{11}^1 A_{22}^0}{\Delta}, \quad b_{14} = \frac{A_{12}^0 A_{22}^1 - A_{12}^1 A_{22}^0}{\Delta}$$

$$b_{15} = \frac{A_{23}^0 A_{12}^0 - A_{13}^0 A_{22}^0}{\Delta}, \quad b_{16} = \frac{A_{24}^0 A_{12}^0 - A_{14}^0 A_{22}^0}{\Delta}, \quad b_{17} = \frac{A_{25}^0 A_{12}^0 - A_{15}^0 A_{22}^0}{\Delta}$$

$$b_{18} = \frac{A_{26}^0 A_{12}^0 - A_{16}^0 A_{22}^0}{\Delta} \quad (3.1.2.4a)$$

$$\begin{aligned}
b_{21} &= -\frac{A_{21}^0}{\Delta}, \quad b_{22} = \frac{A_{11}^0}{\Delta}, \quad b_{23} = \frac{A_{11}^1 A_{21}^0 - A_{21}^1 A_{11}^0}{\Delta}, \quad b_{24} = \frac{A_{12}^1 A_{21}^0 - A_{22}^1 A_{11}^0}{\Delta}, \\
b_{25} &= \frac{A_{13}^0 A_{21}^0 - A_{23}^0 A_{11}^0}{\Delta}, \quad b_{26} = \frac{A_{14}^0 A_{21}^0 - A_{24}^0 A_{11}^0}{\Delta}, \quad b_{27} = \frac{A_{15}^0 A_{21}^0 - A_{25}^0 A_{11}^0}{\Delta}, \\
b_{28} &= \frac{A_{16}^0 A_{21}^0 - A_{26}^0 A_{11}^0}{\Delta}, \quad \Delta = A_{11}^0 A_{22}^0 - A_{12}^0 A_{21}^0
\end{aligned} \tag{3.1.2.4b}$$

$$\begin{aligned}
b_{31} &= \frac{1}{A_{66}^0}, \quad b_{32} = -\frac{2A_{66}^1}{A_{66}^0}, \quad b_{35} = \frac{A_{33}^0}{A_{66}^0}, \\
b_{36} &= \frac{A_{34}^0}{A_{66}^0}, \quad b_{37} = \frac{A_{35}^0}{A_{66}^0}, \quad b_{38} = \frac{A_{36}^0}{A_{66}^0}
\end{aligned} \tag{3.1.2.4c}$$

(3.1.2.1)-(3.1.2.3) ifadeleri (3.1.1.22) – (3.1.1.24) bağıntılarında yerine yazıldığında, moment bileşenleri için aşağıdaki ifadeler elde edilir:

$$\begin{aligned}
M_x &= c_{11} T_x + c_{12} T_y - c_{13} \frac{\partial^2 w}{\partial x^2} - c_{14} \frac{\partial^2 w}{\partial y^2} \\
&+ c_{15} \frac{\partial \phi}{\partial x} + c_{16} \frac{\partial \phi}{\partial y} + c_{17} \frac{\partial \psi}{\partial x} + c_{18} \frac{\partial \psi}{\partial y}
\end{aligned} \tag{3.1.2.5}$$

$$\begin{aligned}
M_y &= c_{21} T_x + c_{22} T_y - c_{23} \frac{\partial^2 w}{\partial x^2} - c_{24} \frac{\partial^2 w}{\partial y^2} \\
&+ c_{25} \frac{\partial \phi}{\partial x} + c_{26} \frac{\partial \phi}{\partial y} + c_{27} \frac{\partial \psi}{\partial x} + c_{28} \frac{\partial \psi}{\partial y}
\end{aligned} \tag{3.1.2.6}$$

$$H_{xy} = c_{31} S_{xy} - c_{32} \frac{\partial^2 w}{\partial x \partial y} + c_{35} \frac{\partial \phi}{\partial x} + c_{36} \frac{\partial \phi}{\partial y} + c_{37} \frac{\partial \psi}{\partial x} + c_{28} \frac{\partial \psi}{\partial y} \tag{3.1.2.7}$$

Burada c_{ij} , kabuk ve malzeme sabitlerini içeren semboller olup, tanımları aşağıda gösterildiği gibidir:

$$c_{11} = A_{11}^1 b_{11} + A_{12}^1 b_{21}, \quad c_{12} = A_{11}^1 b_{12} + A_{12}^1 b_{12}, \quad c_{13} = A_{11}^1 b_{13} + A_{12}^1 b_{23} + A_{11}^2$$

$$c_{14} = A_{11}^1 b_{14} + A_{12}^1 b_{24} + A_{12}^2, \quad c_{15} = A_{11}^1 b_{15} + A_{12}^1 b_{25} + A_{13}^1, \quad c_{16} = A_{11}^1 b_{16} + A_{12}^1 b_{26} + A_{14}^1$$

$$c_{17} = A_{11}^1 b_{17} + A_{12}^1 b_{27} + A_{15}^1, \quad c_{18} = A_{11}^1 b_{18} + A_{12}^1 b_{28} + A_{16}^1 \quad (3.1.2.8a)$$

$$c_{21} = A_{21}^1 b_{11} + A_{22}^1 b_{21}, \quad c_{22} = A_{21}^1 b_{12} + A_{22}^1 b_{22}, \quad c_{23} = A_{21}^1 b_{13} + A_{22}^1 b_{23} + A_{21}^2,$$

$$c_{24} = A_{21}^1 b_{14} + A_{22}^1 b_{24} + A_{22}^2, \quad c_{25} = A_{21}^1 b_{15} + A_{22}^1 b_{25} + A_{23}^1,$$

$$c_{26} = A_{21}^1 b_{16} + A_{22}^1 b_{26} + A_{24}^1,$$

$$c_{27} = A_{21}^1 b_{17} + A_{22}^1 b_{27} + A_{25}^1, \quad c_{28} = A_{21}^1 b_{18} + A_{22}^1 b_{28} + A_{26}^1 \quad (3.1.2.8b)$$

$$c_{31} = A_{66}^1 b_{31}, \quad c_{32} = A_{66}^1 b_{32} + 2A_{66}^2, \quad c_{35} = A_{33}^1 - A_{66}^1 b_{33}, \quad c_{36} = A_{34}^1 - A_{66}^1 b_{34},$$

$$c_{37} = A_{35}^1 - A_{66}^1 b_{35}, \quad c_{38} = A_{36}^1 - A_{66}^1 b_{36} \quad (3.1.2.8c)$$

Plakların dinamik stabilite ve deformasyon uygunluk denklemleri, aşağıdaki şekildedir:

$$\frac{\partial^2 e_x}{\partial y^2} + \frac{\partial^2 e_y}{\partial x^2} - 2 \frac{\partial^2 e_{xy}}{\partial x \partial y} = 0 \quad (3.1.2.9)$$

$$\frac{\partial M_x}{\partial x} + \frac{\partial H_{xy}}{\partial y} - N_x = -\rho_1 h^3 \frac{\partial^3 w}{\partial x \partial t^2} + \rho_2 h^5 \frac{\partial^2 \varphi}{\partial t^2} \quad (3.1.2.10)$$

$$\frac{\partial H_{xy}}{\partial x} + \frac{\partial M_y}{\partial y} - N_y = -\rho_1 h^3 \frac{\partial^3 w}{\partial y \partial t^2} + \rho_3 h^5 \frac{\partial^2 \psi}{\partial t^2} \quad (3.1.2.11)$$

$$\frac{\partial N_x}{\partial x} + \frac{\partial N_y}{\partial y} = \rho_t h \frac{\partial^2 w}{\partial t^2} \quad (3.1.2.12)$$

Burada, su tanımlar geçerlidir:

$$\rho_1 = \rho_0 \int_{-1/2}^{1/2} \bar{z}^2 [1 + \mu\eta_2(\bar{z})] d\bar{z}, \quad \rho_2 = \rho_0 \int_{-1/2}^{1/2} \bar{z} a_{55}(\bar{z}) [1 + \mu\eta_2(\bar{z})] \left(\int_0^z f_1(z) dz \right) d\bar{z},$$

$$\rho_3 = \rho_0 \int_{-1/2}^{1/2} \bar{z} a_{44}(\bar{z}) [1 + \mu\eta_2(\bar{z})] \left(\int_0^z f_1(z) dz \right) d\bar{z}, \quad \rho_t = \rho_0 \int_{-1/2}^{1/2} [1 + \mu\eta_2(\bar{z})] d\bar{z} \quad (3.1.2.13)$$

Orta düzlemde bulunan deformasyonlar için (3.1.2.1)-(3.1.2.3) ifadeleri (3.1.2.9) deformasyon uygunluk denkleminde yerine yazıldığında aşağıdaki denklem elde edilir:

$$\begin{aligned} & b_{11} \frac{\partial^2 T_x}{\partial y^2} + b_{12} \frac{\partial^2 T_y}{\partial y^2} + b_{21} \frac{\partial^2 T_x}{\partial x^2} + b_{22} \frac{\partial^2 T_y}{\partial x^2} - 2b_{31} \frac{\partial^2 S_{xy}}{\partial x \partial y} \\ & - b_{23} \frac{\partial^4 w}{\partial x^4} - (b_{24} + b_{13} - 2b_{32}) \frac{\partial^4 w}{\partial x^2 \partial y^2} - b_{14} \frac{\partial^4 w}{\partial y^4} + b_{25} \frac{\partial^3 \phi}{\partial x^3} \\ & + (b_{15} + 2b_{36}) \frac{\partial^3 \phi}{\partial x \partial y^2} + (b_{26} + 2b_{35}) \frac{\partial^3 \phi}{\partial x^2 \partial y} + b_{16} \frac{\partial^3 \phi}{\partial y^3} + b_{27} \frac{\partial^3 \psi}{\partial x^3} + \\ & (b_{28} + 2b_{37}) \frac{\partial^3 \psi}{\partial x^2 \partial y} + (b_{17} + 2b_{38}) \frac{\partial^3 \psi}{\partial x \partial y^2} + b_{18} \frac{\partial^3 \psi}{\partial y^3} = 0 \end{aligned} \quad (3.1.2.14)$$

Moment bileşenleri için (3.1.2.5)-(3.1.2.7) ifadeleri (3.1.2.10)-(3.1.2.11) denklemlerinde yerine yazıldığında, aşağıdaki denklemler elde edilir:

$$\begin{aligned} & c_{11} \frac{\partial T_x}{\partial x} + c_{12} \frac{\partial T_y}{\partial x} + c_{31} \frac{\partial S_{xy}}{\partial y} - c_{13} \frac{\partial^3 w}{\partial x^3} - (c_{14} + c_{32}) \frac{\partial^3 w}{\partial x \partial y^2} + \\ & c_{15} \frac{\partial^2 \phi}{\partial x^2} + (c_{35} + c_{16}) \frac{\partial^2 \phi}{\partial x \partial y} + c_{36} \frac{\partial^2 \phi}{\partial y^2} + c_{17} \frac{\partial^2 \psi}{\partial x^2} + \\ & (c_{18} + c_{37}) \frac{\partial^2 \psi}{\partial x \partial y} + c_{38} \frac{\partial^2 \psi}{\partial y^2} - I_5 \phi = -\rho_1 h^3 \frac{\partial^3 w}{\partial x \partial t^2} + \rho_2 h^5 \frac{\partial^2 \phi}{\partial t^2} \end{aligned} \quad (3.1.2.15)$$

$$\begin{aligned}
& c_{21} \frac{\partial \Gamma_x}{\partial y} + c_{22} \frac{\partial \Gamma_y}{\partial y} + c_{31} \frac{\partial S_{xy}}{\partial x} - (c_{32} + c_{23}) \frac{\partial^3 w}{\partial x^2 \partial y} - c_{24} \frac{\partial^3 w}{\partial y^3} + \\
& c_{35} \frac{\partial^2 \phi}{\partial x^2} + (c_{36} + c_{25}) \frac{\partial^2 \phi}{\partial x \partial y} + c_{26} \frac{\partial^2 \phi}{\partial y^2} + c_{37} \frac{\partial^2 \psi}{\partial x^2} + \\
& (c_{38} + c_{27}) \frac{\partial^2 \psi}{\partial x \partial y} + c_{28} \frac{\partial^2 \psi}{\partial y^2} - I_6 \psi = -\rho_1 h^3 \frac{\partial^3 w}{\partial y \partial t^2} + \rho_3 h^5 \frac{\partial^2 \psi}{\partial t^2}
\end{aligned} \tag{3.1.2.16}$$

Kesme kuvvetleri için (3.1.1.12)-(3.1.1.13) ifadeleri (3.1.2.12) denkleminde yerine yazıldığında, aşağıdaki denklem elde edilir:

$$I_5 \frac{\partial \phi}{\partial x} + I_6 \frac{\partial \psi}{\partial y} = \rho_t h \frac{\partial^2 w}{\partial t^2} \tag{3.1.2.17}$$

İç kuvvetler ve Airy gerilme fonksiyonları arasındaki bağıntı şu şekildedir:

$$T_x = \frac{\partial^2 \phi}{\partial y^2}, \quad S_{xy} = -\frac{\partial^2 \phi}{\partial x \partial y}, \quad T_y = \frac{\partial^2 \phi}{\partial x^2} \tag{3.1.2.18}$$

(3.1.2.18) ifadeleri (3.1.2.14), (3.1.2.15) ve (3.1.2.16) denklemlerinde yerine yazıldığında, sırasıyla aşağıdaki denklemler elde edilir:

$$\begin{aligned}
& b_{22} \frac{\partial^4 \phi}{\partial x^4} + (b_{12} + b_{21} - 2b_{31}) \frac{\partial^4 \phi}{\partial x^2 \partial y^2} + b_{11} \frac{\partial^4 \phi}{\partial y^4} - b_{23} \frac{\partial^4 \phi}{\partial y^4} - \\
& (b_{24} + b_{13} - 2b_{32}) \frac{\partial^4 w}{\partial x^2 \partial y^2} - b_{14} \frac{\partial^4 w}{\partial y^4} + b_{25} \frac{\partial^3 \phi}{\partial x^3} + (b_{15} + 2b_{36}) \frac{\partial^3 \phi}{\partial x \partial y^2} + \\
& (b_{26} + 2b_{35}) \frac{\partial^3 \phi}{\partial x^2 \partial y} + b_{16} \frac{\partial^3 \phi}{\partial y^3} + b_{27} \frac{\partial^3 \psi}{\partial x^3} + \\
& (b_{28} + 2b_{37}) \frac{\partial^3 \psi}{\partial x^2 \partial y} + (b_{17} + 2b_{38}) \frac{\partial^3 \psi}{\partial x \partial y^2} + b_{18} \frac{\partial^3 \psi}{\partial y^3} = 0
\end{aligned} \tag{3.1.2.19}$$

$$\begin{aligned}
& (c_{11} - c_{31}) \frac{\partial^3 \phi}{\partial x \partial y^2} + c_{12} \frac{\partial^3 \phi}{\partial x^3} - c_{13} \frac{\partial^3 w}{\partial x^3} - (c_{14} + c_{32}) \frac{\partial^3 w}{\partial x \partial y^2} + c_{15} \frac{\partial^2 \phi}{\partial x^2} + \\
& (c_{35} + c_{16}) \frac{\partial^2 \phi}{\partial x \partial y} + c_{36} \frac{\partial^2 \phi}{\partial y^2} + c_{17} \frac{\partial^2 \psi}{\partial x^2} + (c_{18} + c_{37}) \frac{\partial^2 \psi}{\partial x \partial y} + \\
& c_{38} \frac{\partial^2 \psi}{\partial y^2} - I_5 \phi = -\rho_1 h^3 \frac{\partial^3 w}{\partial x \partial t^2} + \rho_2 h^5 \frac{\partial^2 \phi}{\partial t^2}
\end{aligned} \tag{3.1.2.20}$$

$$\begin{aligned}
& c_{21} \frac{\partial^3 \phi}{\partial y^3} + (c_{22} - c_{31}) \frac{\partial^3 \phi}{\partial x^2 \partial y} - (c_{32} + c_{23}) \frac{\partial^3 w}{\partial x^2 \partial y} - c_{24} \frac{\partial^3 w}{\partial y^3} + c_{35} \frac{\partial^2 \phi}{\partial x^2} + \\
& + (c_{36} + c_{25}) \frac{\partial^2 \phi}{\partial x \partial y} + c_{26} \frac{\partial^2 \phi}{\partial y^2} + c_{37} \frac{\partial^2 \psi}{\partial x^2} + (c_{38} + c_{27}) \frac{\partial^2 \psi}{\partial x \partial y} + \\
& c_{28} \frac{\partial^2 \psi}{\partial y^2} - I_6 \psi = -\rho_1 h^3 \frac{\partial^3 w}{\partial y \partial t^2} + \rho_3 h^5 \frac{\partial^2 \psi}{\partial t^2}
\end{aligned} \tag{3.1.2.21}$$

(1.3.3.1) ve (1.3.3.2) bağıntılarına göre $I_5 = I_6$ olduğundan (3.1.2.17) denklemi aşağıdaki şekle dönüşür:

$$\frac{\partial \phi}{\partial x} + \frac{\partial \psi}{\partial y} = \frac{\rho_1 h}{I_5} \frac{\partial^2 w}{\partial t^2} \tag{3.1.2.22}$$

Somut problemlerin çözümü için (3.1.2.19)-(3.1.2.22) diferansiyel denklemlerine sınır ve başlangıç koşulları ilave edilmelidir.

4.ARASTIRMA BULGULARI

4.1. Tüm Kenarlari Mafsalli Olan Enine Kayma Deformasyonlari İçeren Homojen Olmayan Ortotrop Kompozit Dikdörtgen Plaklari Serbest Titresim Frekanslarinin Bulunmasi

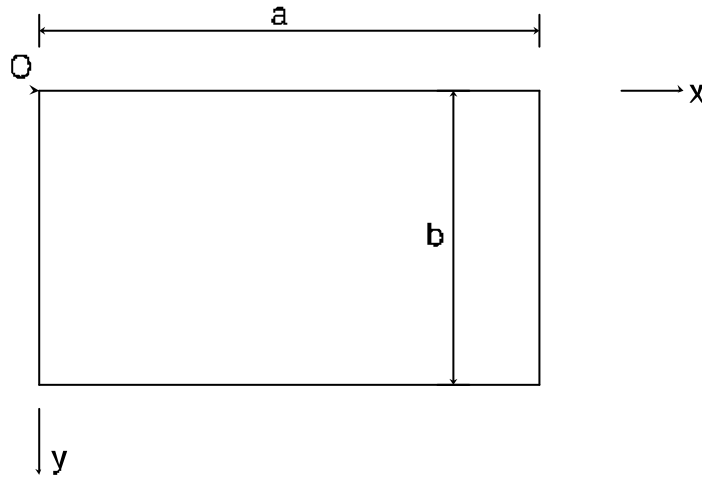
Tüm kenarlari mafsalli ($x=0$, $x=a$ ve $y=0$, $y=b$) dikdörtgen ($a \times b$) homojen olmayan malzemelerden olusan ortotrop plak ele alalim. Plak, kenarlarindan mafsalli oldugu için (3.1.2.19)-(3.1.2.22) denklemler sistemine asagidaki sinir kosullari ilave edilir:

$x=0$, $x=a$ oldugunda,

$$w = 0, \quad M_x = 0, \quad \psi = 0; \quad \frac{\partial^2 \phi}{\partial y^2} = 0; \quad \int_a^b \frac{\partial^2 \phi}{\partial x \partial y} dy = 0 \quad (4.1.1)$$

$y=0$, $y=b$ oldugunda,

$$w = 0, \quad M_y = 0, \quad \phi = 0; \quad \frac{\partial^2 \phi}{\partial x^2} = 0; \quad \int_a^b \frac{\partial^2 \phi}{\partial x \partial y} dx = 0 \quad (4.1.2)$$



Sekil 4.1.1. Dikdörtgen ($a \times b$) plakta koordinat sistemi

(4.1.1) ve (4.1.2) başlangıç koşulları sağlayan (4.1.19)-(4.1.22) denklemlerinin çözümü, aşağıdaki şekilde aranmaktadır:

$$\phi = \phi_{mn}(t) \sin \lambda x \sin \mu y \quad (4.1.3)$$

$$w = f_{mn}(t) \sin \lambda x \sin \mu y \quad (4.1.4)$$

$$\varphi = \varphi_{mn}(t) \cos \lambda x \sin \mu y \quad (4.1.5)$$

$$\psi = \psi_{mn}(t) \sin \lambda x \cos \mu y \quad (4.1.6)$$

Burada, $\phi_{mn}(t)$, $f_{mn}(t)$, $\varphi_{mn}(t)$ ve $\psi_{mn}(t)$ zamana bağlı genlikler olup, şu tanımlar geçerlidir:

$$\lambda = \frac{m\pi x}{a}, \quad \mu = \frac{n\pi y}{b} \quad (4.1.7)$$

(3.1.2.20) ve (3.1.2.21) denklemlerinin sol tarafından sırasıyla x ve y göre türev alıp, elde edilen denklemlere, (3.1.2.19) ve (3.1.2.22) denklemlerine Galerkin yöntemi uygulandığında, aşağıdaki denklemler elde edilir:

$$\begin{aligned} & \int_0^a \int_0^b \left\{ b_{22} \frac{\partial^4 \phi}{\partial x^4} + (b_{12} + b_{21} - 2b_{31}) \frac{\partial^4 \phi}{\partial x^2 \partial y^2} + b_{11} \frac{\partial^4 \phi}{\partial y^4} - b_{23} \frac{\partial^4 \phi}{\partial y^4} - \right. \\ & (b_{24} + b_{13} - 2b_{32}) \frac{\partial^4 w}{\partial x^2 \partial y^2} - b_{14} \frac{\partial^4 w}{\partial y^4} + b_{25} \frac{\partial^3 \phi}{\partial x^3} + (b_{15} + 2b_{36}) \frac{\partial^3 \phi}{\partial x \partial y^2} + \\ & (b_{26} + 2b_{35}) \frac{\partial^3 \phi}{\partial x^2 \partial y} + b_{16} \frac{\partial^3 \phi}{\partial y^3} + b_{27} \frac{\partial^3 \psi}{\partial x^3} + (b_{28} + 2b_{37}) \frac{\partial^3 \psi}{\partial x^2 \partial y} + \\ & \left. (b_{17} + 2b_{38}) \frac{\partial^3 \psi}{\partial x \partial y^2} + b_{18} \frac{\partial^3 \psi}{\partial y^3} \right\} \sin \lambda x \sin \mu y dx dy = 0 \end{aligned} \quad (4.1.8)$$

$$\begin{aligned}
& \int_0^a \int_0^b \left\{ (c_{11} - c_{31}) \frac{\partial^4 \phi}{\partial x^2 \partial y^2} + c_{12} \frac{\partial^4 \phi}{\partial x^4} - c_{13} \frac{\partial^4 w}{\partial x^4} - (c_{14} + c_{32}) \frac{\partial^4 w}{\partial x^2 \partial y^2} + c_{15} \frac{\partial^3 \phi}{\partial x^3} + \right. \\
& (c_{35} + c_{16}) \frac{\partial^3 \phi}{\partial x^2 \partial y} + c_{36} \frac{\partial^3 \phi}{\partial x \partial y^2} + c_{17} \frac{\partial^3 \psi}{\partial x^3} + (c_{18} + c_{37}) \frac{\partial^3 \psi}{\partial x^2 \partial y} + \\
& \left. c_{38} \frac{\partial^3 \psi}{\partial x \partial y^2} - I_5 \frac{\partial \phi}{\partial x} + \rho_1 h^3 \frac{\partial^4 w}{\partial x^2 \partial t^2} - \rho_2 h^5 \frac{\partial^3 \phi}{\partial x \partial t^2} \right\} \sin \lambda x \sin \mu y dx dy = 0
\end{aligned} \tag{4.1.9}$$

$$\begin{aligned}
& \int_0^a \int_0^b \left\{ c_{21} \frac{\partial^4 \phi}{\partial y^4} + (c_{22} - c_{31}) \frac{\partial^4 \phi}{\partial x^2 \partial y^2} - (c_{32} + c_{23}) \frac{\partial^4 w}{\partial x^2 \partial y^2} - c_{24} \frac{\partial^4 w}{\partial y^4} + \right. \\
& c_{35} \frac{\partial^3 \phi}{\partial x^2 \partial y} + (c_{36} + c_{25}) \frac{\partial^3 \phi}{\partial x \partial y^2} + c_{26} \frac{\partial^3 \phi}{\partial y^3} + c_{37} \frac{\partial^3 \psi}{\partial y \partial x^2} + (c_{38} + c_{27}) \frac{\partial^3 \psi}{\partial x \partial y^2} + \\
& \left. c_{28} \frac{\partial^3 \psi}{\partial y^3} - I_6 \frac{\partial \psi}{\partial y} + \rho_1 h^3 \frac{\partial^4 w}{\partial y^2 \partial t^2} - \rho_3 h^5 \frac{\partial^3 \psi}{\partial y \partial t^2} \right\} \sin \lambda x \sin \mu y dx dy = 0
\end{aligned} \tag{4.1.10}$$

$$\int_0^a \int_0^b \left\{ \frac{\partial \phi}{\partial x} + \frac{\partial \psi}{\partial y} - \frac{\rho_t h}{I_5} \frac{\partial^2 w}{\partial t^2} \right\} \sin \lambda x \sin \mu y dx dy = 0 \tag{4.1.11}$$

(4.1.3)-(4.1.6) yaklasim fonksiyonlari, (4.1.8)-(4.1.11) denklemlerinde yerine yazildiginda, integrasyondan sonra sirasiyla asagidaki denklemler elde edilir:

$$\begin{aligned}
& [b_{22} \lambda^4 + (b_{12} + b_{21} - 2b_{31}) \lambda^2 \mu^2 + b_{11} \mu^4] \phi_{mn}(t) - \\
& - [b_{23} \lambda^4 + (b_{24} + b_{13} - 2b_{32}) \lambda^2 \mu^2 + b_{14} \mu^4] f_{mn}(t) + \\
& + [b_{25} \lambda^3 + (b_{15} + 2b_{36}) \lambda \mu^2 + b_{14} \mu^4] \phi_{mn}(t) + \\
& + [(b_{28} + 2b_{37}) \lambda^2 \mu + b_{18} \mu^3] \psi_{mn}(t) =
\end{aligned} \tag{4.1.12}$$

$$\begin{aligned}
& [(c_{11} - c_{31}) \lambda^2 \mu^2 + c_{12} \lambda^4] \phi_{mn}(t) - [c_{13} \lambda^4 + (c_{14} + c_{32}) \lambda^2 \mu^2] f_{mn}(t) + \\
& + [c_{15} \lambda^3 + c_{36} \lambda \mu^2] \phi_{mn}(t) + [(c_{18} + c_{37}) \lambda^2 \mu] \psi_{mn}(t) = 0
\end{aligned} \tag{4.1.13}$$

$$\phi_{mn}(t)[c_{21}\lambda^4 + (c_{22} - c_{31})\lambda^2\mu^2] - [(c_{32} + c_{23})\lambda^2\mu^2 + c_{24}\mu^4]f_{mn}(t) + \quad (4.1.14)$$

$$+ [(c_{36} + c_{25})\lambda\mu^2]\phi_{mn}(t) + [c_{37}\lambda^2\mu + c_{28}\mu^3]\psi_{mn}(t) = 0$$

$$- \phi_{mn}(t)\lambda - \psi_{mn}(t)\mu = \frac{\rho_t h}{I_5} f_{mn}''(t) \quad (4.1.15)$$

(4.1.2)- (4.1.15) denklemleri, asagidaki sekle dönüştürülür:

$$Q_{11}\phi_{mn}(t) - Q_{12}f_{mn}(t) + Q_{13}\phi_{mn}(t) + Q_{14}\psi_{mn}(t) = 0 \quad (4.1.16)$$

$$Q_{21}\phi_{mn}(t) - Q_{22}f_{mn}(t) + Q_{23}\phi_{mn}(t) + Q_{24}\psi_{mn}(t) = 0 \quad (4.1.17)$$

$$Q_{31}\phi_{mn}(t) - Q_{32}f_{mn}(t) + Q_{33}\phi_{mn}(t) + Q_{34}\psi_{mn}(t) = 0 \quad (4.1.18)$$

$$- \phi_{mn}(t)\lambda - \psi_{mn}(t)\mu = \frac{\rho_t h}{I_5} f_{mn}''(t) \quad (4.1.19)$$

Burada, su tanımlar geçerlidir:

$$Q_{11} = b_{22}\lambda^4 + (b_{12} + b_{21} - 2b_{31})\lambda^2\mu^2 + b_{11}\mu^4$$

$$Q_{12} = b_{23}\lambda^4 + (b_{24} + b_{13} - 2b_{32})\lambda^2\mu^2 + b_{14}\mu^4$$

$$Q_{13} = b_{25}\lambda^3 + (b_{15} + 2b_{36})\lambda\mu^2 + b_{11}\mu^4$$

$$Q_{14} = (b_{28} + 2b_{37})\lambda^2\mu + b_{18}\mu^3 \quad (4.1.20)$$

$$Q_{21} = (c_{11} - c_{31})\lambda^2\mu^2 + c_{12}\lambda^4$$

$$Q_{22} = (c_{14} + c_{32})\lambda^2\mu^2 + c_{13}\lambda^4$$

$$Q_{23} = c_{15}\lambda^3 + c_{36}\lambda\mu^2 + I_5\lambda$$

$$Q_{24} = (c_{18} + c_{37})\lambda^2\mu$$

$$Q_{25} = \lambda^2\rho_1h^3 \quad (4.1.21)$$

$$Q_{26} = \lambda\rho_2h^5$$

$$Q_{31} = c_{21}\mu^4 + (c_{22} - c_{31})\lambda^2\mu^2$$

$$Q_{32} = (c_{32} + c_{23})\lambda^2\mu^2 + c_{24}\mu^4$$

$$Q_{33} = (c_{36} + c_{25})\lambda\mu^2$$

$$Q_{34} = c_{37}\lambda^2\mu + c_{28}\mu^3 + I_6\mu \quad (4.1.22)$$

$$Q_{35} = \mu^2\rho_1h^3$$

$$Q_{36} = \mu\rho_2h^5$$

(4.1.16) denkleminde,

$$\phi_{mn}(t) = \frac{Q_{12}}{Q_{11}}f_{mn}(t) - \frac{Q_{13}}{Q_{11}}\phi_{mn}(t) - \frac{Q_{14}}{Q_{11}}\psi_{mn}(t) \quad (4.1.23)$$

elde edilir. (4.1.23) ifadesi (4.1.17) ve (4.1.18) denklemlerinde yerine yazıldığında,

$$-x_{11}f_{mn}(t) + x_{12}\phi_{mn}(t) + x_{13}\psi_{mn}(t) + x_{14}f_{mn}''(t) = 0 \quad (4.1.24)$$

$$-x_{21}f_{mn}(t) + x_{22}\phi_{mn}(t) + x_{23}\psi_{mn}(t) + x_{24}f_{mn}''(t) = 0 \quad (4.1.25)$$

denklemleri elde edilir. Burada, su tanımlar geçerlidir:

$$\begin{aligned} x_{11} &= Q_{22} - \frac{Q_{21}Q_{12}}{Q_{11}}, & x_{12} &= Q_{23} - \frac{Q_{21}Q_{13}}{Q_{11}}, \\ x_{13} &= Q_{24} - \frac{Q_{21}Q_{14}}{Q_{11}}, & x_{14} &= \lambda^2 \rho_1 h^3 \end{aligned} \quad (4.1.26)$$

$$\begin{aligned} x_{21} &= Q_{32} - \frac{Q_{31}Q_{12}}{Q_{11}}, & x_{22} &= Q_{33} - \frac{Q_{31}Q_{13}}{Q_{11}}, \\ x_{23} &= Q_{34} - \frac{Q_{31}Q_{14}}{Q_{11}}, & x_{24} &= \mu^2 \rho_1 h^3 \end{aligned} \quad (4.1.27)$$

(4.1.24) denkleminden,

$$\phi_{mn}(t) = y_1 f_{mn}(t) - y_2 \psi_{mn}(t) - \frac{x_{14}}{x_{12}} f_{mn}''(t) \quad (4.1.28)$$

elde edilir. Burada, su tanımlar geçerlidir:

$$y_1 = \frac{x_{11}}{x_{12}}, \quad y_2 = \frac{x_{13}}{x_{12}} \quad (4.1.29)$$

(4.1.28) ifadesi (4.1.25) denklemlerinde yerine yazıldığında,

$$y_3 f_{mn}(t) - y_4 \psi_{mn}(t) = \frac{x_{22}x_{14}}{x_{12}} f_{mn}''(t) - x_{24} f_{mn}''(t) \quad (4.1.30)$$

veya

$$\Psi_{mn}(t) = \frac{y_3}{y_4} f_{mn}(t) - y_5 f''_{mn}(t) \quad (4.1.31)$$

denklemini elde edilir. Burada, şu tanımlar geçerlidir:

$$y_3 = \frac{x_{11}x_{22}}{x_{12}} - x_{21}, \quad y_4 = \frac{x_{13}x_{22}}{x_{12}} - x_{23}, \quad y_5 = \frac{x_{22}x_{14}}{x_{12}y_4} - \frac{x_{24}}{y_4} \quad (4.1.32)$$

(4.1.31) ifadesi (4.1.28) denkleminde yerine yazıldığında,

$$\Phi_{mn}(t) = \left(y_1 - \frac{y_2 y_3}{y_4} \right) f_{mn}(t) - y_2 y_5 f''_{mn}(t) \quad (4.1.33)$$

elde edilir. (4.1.31) ve (4.1.33) ifadeleri (4.1.15) denkleminde yerine yazıldığında, bazı dönüşümlerden sonra homojen olmayan ortotrop dikdörtgen platin serbest titreşim frekansının diferansiyel denklemi aşağıdaki şekle dönüşür:

$$-\left(y_1 - \frac{y_2 y_3}{y_4} \right) \lambda f_{mn}(t) + \frac{y_3}{y_4} \mu f_{mn}(t) = \left(\frac{\rho_t h}{I_5} - y_2 y_5 \lambda - y_5 \mu \right) f''_{mn}(t) \quad (4.1.34)$$

veya

$$f''_{mn}(t) + \frac{I_5}{\rho_t h - I_5 (y_2 y_5 \lambda + y_5 \mu)} \left[\left(y_1 - \frac{y_2 y_3}{y_4} \right) \lambda + \frac{y_3}{y_4} \mu \right] f_{mn}(t) = 0 \quad (4.1.35)$$

(4.1.35) diferansiyel denkleminin genel çözümü,

$$f_{mn}(t) = A_{mn} e^{qt} \quad (4.1.36)$$

sekinde aranir. Burada, A_{mn} genliktir. (4.1.30) ifadesi (4.1.29) denkleminde yerine yazildiginda, serbest titresim frekansi için asagidaki formül kolayca elde edilmektedir:

$$\omega_{1mn} = \sqrt{\frac{I_5}{\rho_t h - I_5 (y_2 y_5 \lambda + y_5 \mu)} \left[\left(y_1 - \frac{y_2 y_3}{y_4} \right) \lambda + \frac{y_3}{y_4} \mu \right]} \quad (4.1.37)$$

Burada, ω_{1mn} sembolü KDPT kullanildiginda ve homojen olmamanin etkisi dikkate alindiginda elde edilen serbest titresim frekansini göstermektedir.

(4.1.37) formülünde $\mu_1 = \mu_2 = 0$ oldugunda homojen durum için KDPT kullanildiginda serbest titresim frekansinin ifadesi asagidaki gibi olur:

$$\omega_{1mn}^0 = \sqrt{\frac{I_5}{\rho_0 h - I_5 (y_2^0 y_5^0 \lambda + y_5^0 \mu)} \left[\left(y_1^0 - \frac{y_2^0 y_3^0}{y_4^0} \right) \lambda + \frac{y_3^0}{y_4^0} \mu \right]} \quad (4.1.38)$$

Burada, ω_{1mn}^0 sembolü homojen durum için KDPT kullanildiginda elde edilen serbest titresim frekansini göstermekte olup, (4.1.38) ifadesinde üzerinde 0 bulunan terimler, (4.1.37) ifadesindeki ayni indise sahip olan terimlerin $\mu_1 = \mu_2 = 0$ göz önüne alindiginda elde edilen karsiligidir.

Enine kayma deformasyonu dikkate alınmadiginda, homojen olmayan ortotrop kompozit plagin serbest titresim frekansi asagidaki sekli alır:

$$\omega_{2mn} = \sqrt{\frac{1}{\rho_t h} \left(\frac{U_1 U_2}{U_3} - U_4 \right)} \quad (4.1.39)$$

Burada, ω_{2mn} sembolü KPT kullanildiginda ve homojen olmamanin etkisi dikkate alindiginda elde edilen serbest titresim frekansini göstermekte olup, asagidaki tanımlar geçerlidir:

$$\begin{aligned}
U_1 &= C_{12}\lambda^4 + (c_{11} + c_{22} - 2c_{31})\lambda^2\mu^2 + c_{21}\mu^4 \\
U_2 &= b_{23}\lambda^4 + (b_{24} + b_{13} - 2b_{32})\lambda^2\mu^2 + b_{14}\mu^4 \\
U_3 &= b_{22}\lambda^4 + (b_{12} - 2b_{31} + b_{21})\lambda^2\mu^2 + b_{11}\mu^4 \\
U_4 &= C_{13}\lambda^4 + (c_{14} + c_{23} + 2c_{32})\lambda^2\mu^2 + c_{24}\mu^4
\end{aligned} \tag{4.1.40}$$

(4.1.39) ifadesinde $\mu_1 = \mu_2 = 0$ olduğunda (4.1.38) ifadesinden homojen ortotrop kompozit plajin serbest titreşim frekansı için aşağıdaki ifade elde edilir:

$$\omega_{2mn}^0 = \pi^2 \sqrt{\frac{1}{\rho_0 h}} \left[D_{11} \frac{m^4}{a^4} + D_{22} \frac{n^4}{b^4} + 2(D_{12} + 2D_{66}) \frac{m^2 n^2}{a^2 b^2} \right]^{1/2} \tag{4.1.41}$$

Burada, ω_{2mn}^0 sembolü homojen durumda KPT kullanıldığında elde edilen serbest titreşim frekansını göstermekte olup, aşağıdaki tanımlar geçerlidir:

$$\begin{aligned}
D_{11} &= \frac{E_{01} h^3}{12(1 - \nu_1 \nu_2)}, & D_{22} &= \frac{E_{02} h^3}{12(1 - \nu_1 \nu_2)}, \\
D_{12} &= \frac{\nu_2 E_{01} h^3}{12(1 - \nu_1 \nu_2)}, & D_{66} &= \frac{G_{012} h^3}{12}
\end{aligned} \tag{4.1.42}$$

(4.1.41) ifadesi, Ambartsumyan (1964) çalışmasında elde edilen ifade ile çakışmaktadır.

(4.1.40) ifadesinin her tarafı $(a^2/h)\sqrt{\rho_0/E_{02}}$ ifadesi ile çarpıldığında, KPT kullanıldığında ortotrop plajin titreşim frekansı parametresi için aşağıdaki ifade elde edilir:

$$\bar{\omega}_{2mn}^0 = \pi^2 a^2 \sqrt{\frac{1}{h^3 E_{02}}} \left[D_{11} \frac{m^4}{a^4} + D_{22} \frac{n^4}{b^4} + 2(D_{12} + 2D_{66}) \frac{m^2 n^2}{a^2 b^2} \right]^{1/2} \tag{4.1.43}$$

Burada, $\bar{\omega}_{2mn}^0$ KPT kullanıldığında ortotrop kompozit platin serbest titreşim frekansı parametresi olup aşağıdaki tanım geçerlidir:

$$\bar{\omega}_{2mn}^0 = \omega_{2mn}^0 (a^2 / h) \sqrt{\rho_0 / E_{02}} \quad (4.1.44)$$

Enine kayma deformasyonu dikkate alınmadığında (4.1.41) ifadesinde homojen izotrop platin serbest titreşim frekansı için aşağıdaki ifade elde edilir:

$$\omega_{3mn}^0 = \pi^2 \sqrt{\frac{D}{\rho_0 h}} \left[\frac{m^2}{a^2} + \frac{n^2}{b^2} \right] \quad (4.1.45)$$

Burada, ω_{3mn}^0 sembolü homojen durumda KPT kullanıldığında elde edilen serbest titreşim frekansını göstermekte olup, aşağıdaki tanımlar geçerlidir:

$$D = \frac{E_0 h^3}{12(1 - \nu^2)} \quad (4.1.46)$$

ω_{3mn}^0 izotrop malzeme için serbest titreşim frekansı ifadesidir.

(3.3.45) ifadesinin her tarafı $(\rho_0 h a^4 / D)^{1/2}$ ifadesi ile çarpıldığında aşağıdaki ifade elde edilir:

$$\bar{\omega}_{3mn}^0 = \pi^2 \left[m^2 + \frac{a^2 n^2}{b^2} \right] \quad (4.1.47)$$

Burada, $\bar{\omega}_{3mn}^0$ izotrop malzemedeki oluşan platin serbest titreşim frekansı parametresi olup, aşağıdaki tanım geçerlidir:

$$\bar{\omega}_{3mn}^0 = \omega_{3mn}^0 \times (\rho_0 h a^4 / D)^{1/2} \quad (4.1.48)$$

Ambartsumyan (1964) çalışmasında, üç tane yer değiştirme bileşeni kullanıldığında enine kayma deformasyonu içeren homojen ortotrop kompozit platin serbest titreşim frekansı için aşağıdaki ifade elde edilmektedir:

$$\omega_{1mn}^0 = \omega_{2mn}^0 \sqrt{1-d} \quad (4.1.49)$$

Burada, ω_{1mn}^0 sembolü homojen durumda KDPT kullanıldığında elde edilen serbest titreşim frekansını göstermekte olup, aşağıdaki tanımlar geçerlidir:

$$d = \frac{B-A}{1+B} \quad (4.1.50)$$

$$A = \frac{\pi^2 h^2}{10} \left(a_{44} \frac{m^2}{a^2} + a_{55} \frac{n^2}{b^2} \right) \times$$

$$\frac{\left(B_{11} \frac{m^2}{a^2} + B_{66} \frac{n^2}{b^2} \right) \left(B_{66} \frac{m^2}{a^2} + B_{22} \frac{n^2}{b^2} \right) - (B_{12} + B_{66})^2 \frac{m^2 n^2}{a^2 b^2}}{B_{11} \frac{m^4}{a^4} + 2(B_{12} + 2B_{66}) \frac{m^2 n^2}{a^2 b^2} + B_{22} \frac{n^4}{b^4}} \quad (4.1.51)$$

$$B = \frac{\pi^2 h^2}{10} \left[a_{55} \left(B_{11} \frac{m^2}{a^2} + B_{66} \frac{n^2}{b^2} \right) + a_{44} \left(B_{66} \frac{m^2}{a^2} + B_{22} \frac{n^2}{b^2} \right) \right] +$$

$$a_{44} a_{55} \frac{\pi^4 h^4}{100} \left[\left(B_{11} \frac{m^2}{a^2} + B_{66} \frac{n^2}{b^2} \right) \left(B_{66} \frac{m^2}{a^2} + B_{22} \frac{n^2}{b^2} \right) - (B_{12} + B_{66})^2 \frac{m^2 n^2}{a^2 b^2} \right] \quad (4.1.52)$$

Bu tanımların içerdiği parametreler, aşağıdaki şekilde verilmektedir:

$$B_{11} = \frac{E_1}{1-\nu_1\nu_2}, \quad B_{22} = \frac{E_2}{1-\nu_1\nu_2}, \quad B_{12} = \frac{\nu_2 E_1}{1-\nu_1\nu_2} = \frac{\nu_1 E_2}{1-\nu_1\nu_2} = B_{21} \quad (4.1.53)$$

$$B_{66} = G_{12}, \quad a_{55} = \frac{1}{G_{13}}, \quad a_{44} = \frac{1}{G_{23}} \quad (4.1.54)$$

4.2. Sayısal Hesaplar ve Analiz

Bu bölümde, KDPT ve KPT kullanılarak homojen ve homojen olmayan malzemeden oluşan dikdörtgen plakların titreşim frekansının değerleri sayısal olarak bulunmaktadır. Karşılaştırma yapılan çizelgelerin dışında (Çizelge 4.2.30-4.2.31) tüm çizelge ve şekillerde kayma deformasyonunun değişim kuralını karakterize

eden fonksiyon $f(\bar{z}) = f_1(\bar{z}) = f_2(\bar{z}) = \frac{1}{2} \left(\frac{h^2}{4} - z^2 \right)$ şeklinde seçilmiştir. Burada,

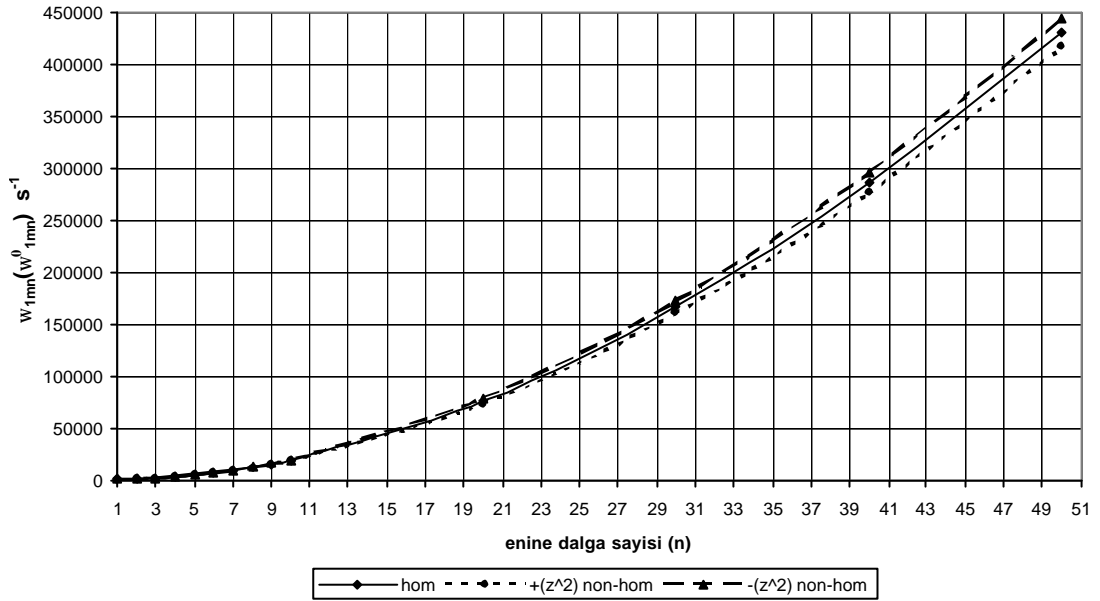
dikdörtgen plagi oluşturan ortotrop malzeme sabitlerine, $\eta_1(\bar{z})$ Young modüllerinin değişim fonksiyonuna, $\eta_2(\bar{z})$ yoğunluğun değişim fonksiyonuna, plagin uzunluk, genişlik, ve kalınlığına bağlı elde edilen sayısal hesaplar, çizelgeler halinde sunulmaktadır.

Sayısal hesaplarda, Young modülleri ve yoğunluğun değişim fonksiyonlarının parabolik ve üstel şekilde değişimleri dikkate alınmıştır. Hesaplar yapıldığında, Young modülleri ve yoğunluğun lineer ve kübik değişimlerinin titreşim frekansı değerlerine etkisinin az olduğu görüldüğünden, çalışmaya konulmamıştır.

Dikdörtgen plakta kullanılan malzeme sabitleri SI birim sistemine göre, $E_{01} = 152.7 \times 10^9 \text{ Pa}$, $E_{02} = 8.832 \times 10^9 \text{ Pa}$, $G_{12} = G_{13} = 5.274 \times 10^9 \text{ Pa}$, $G_{23} = 4.605 \times 10^9 \text{ Pa}$, $\nu_{12} = 0.297$, $\nu_{21} = 0.0172$, $\rho = 1.56 \times 10^3 \text{ kg/cm}^3$, plak ölçüleri $a=0.3411 \text{ m}$, $b=0.3522 \text{ m}$, $h=0.00353 \text{ m}$ olarak alınmaktadır.

Çizelge 4.2.1'de, KDPT ve KPT kullanıldığında, ortotrop plagin Young modülleri ve yoğunluğu aynı anda kalınlık koordinatına göre parabolik, yani $\eta_i(\bar{z}) = \pm \bar{z}^2$, ($i = 1, 2$) şeklinde değiştiğinde, $m=1$ ve enine dalga sayısının değişik değerleri için titreşim frekansının değerleri sunulmaktadır. Çizelge 4.2.1. esas alınarak, Şekil 4.2.1, 4.2.2 eğrileri elde edilmiştir.

Klasik teori ve kayma deformasyonlu plak teorisinin parabolik kayma deformasyonlu versiyonu kullanıldığı durumlarda, n dalga sayısı arttığında, serbest titreşim frekansı değerlerinin arttığı Çizelge 4.2.1 ve Şekil 4.2.1’ den görülmektedir. Serbest titreşim frekansı değerlerinin değişimini gösteren şekillerde, dikey eksende parantez içinde gösterilen ω_{1mn}^0 , homojen durumda KDPT kullanılarak elde edilen serbest titreşim frekansı ifadesi, ω_{2mn}^0 ise, homojen durumda KPT kullanılarak elde edilen serbest titreşim frekansı ifadesidir .



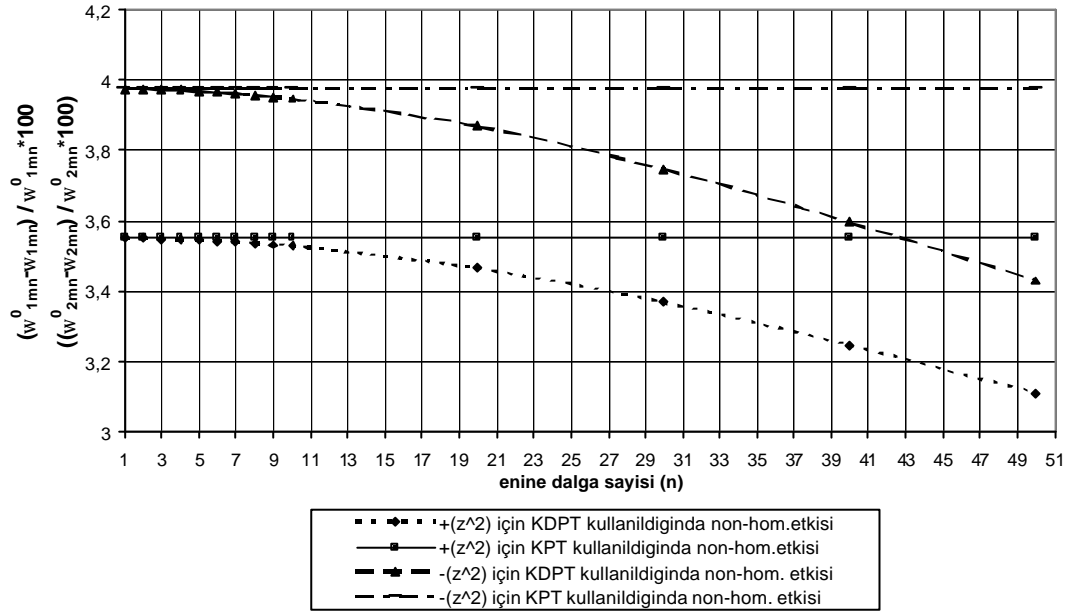
Şekil 4.2.1. $(m,n)=(1,n)$ için KDPT dikkate alındığında homojen ortotrop plak ve Young modülleri ve yoğunluğu aynı anda parabolik değişen ortotrop plak için serbest titreşim frekansı değerlerinin değişimi

Çizelge 4.2.1’ den görüldüğü gibi, homojen malzemeden oluşan ortotrop plak için, kayma deformasyonlu plak teorisinin parabolik kayma deformasyonlu versiyonu kullanılarak bulunan sonuçlar, klasik teori kullanılarak bulunan sonuçlar ile kıyaslandığında ortaya çıkan etki, $n=1$ için % 0.136 olup, $n=3$ değerine kadar azalma göstererek burada minimum etki % 0.0746 olmakta, daha sonra ise bu etki, $n=50$ için % 11.301 oranına kadar artmaktadır. Ortotrop kompozit dikdörtgen platin Young modülleri ve yoğunluğu $\eta_1(\bar{z}) = +\bar{z}^2$ fonksiyonu ile değiştiğinde, enine kayma

deformasyonunun serbest titreşim frekansı değerlerine etkisi $n=1$ için % 0.136 olup, $n=3$ değerine kadar bu etki azalmakta ve % 0.0725 minimum değerine sahip olmaktadır. $n=4$ için etki % 0.0912 olup, buradan itibaren kayma deformasyonunun serbest titreşim frekansına etkisi artmakta ve $n=50$ olduğunda % 10.896 oranına ulaşmaktadır. Ortotrop kompozit platin Young modülleri ve yoğunluğu $\eta_1(\bar{z}) = -\bar{z}^2$ fonksiyonu ile değiştiğinde ise, enine kayma deformasyonunun serbest titreşim frekansı değerlerine etkisi $n=1$ için % 0.137 olup, $n=3$ değerine kadar bu etki azalmakta ve % 0.0770 minimum değerine sahip olmaktadır. $n=4$ için etki % 0.0991 olup, buradan itibaren kayma deformasyonunun serbest titreşim frekansına etkisi artmakta ve $n=50$ olduğunda % 11.765 oranına ulaşmaktadır. Buradan görüldüğü gibi, homojen durumda ve Young modülleri ile yoğunluğu $\eta_1(\bar{z}) = \pm\bar{z}^2$ fonksiyonu şeklinde değişen ortotrop plaklar için dalga sayısı $n \geq 4$ olduğunda enine kayma deformasyonunun serbest titreşim frekansı değerlerine etkisi artmakta ve dalga sayısının büyük değerlerinde bu etki daha da önemli olmaktadır. Enine kayma deformasyonunun serbest titreşim frekansı değerlerine etkisinin değişimini gösteren şekillerde, dikey ekseninde parantez içinde gösterilen $(\omega_{1mn}^0 - \omega_{2mn}^0 / \omega_{1mn}^0) * 100$, homojen durumda elde edilen enine kayma deformasyonunun serbest titreşim frekansı değerlerine etkisinin değişimini gösteren ifadedir.

Çizelge 4.2.1 ve Şekil 4.2.2'den görüldüğü gibi, plagi oluşturan malzemenin Young modülleri ve yoğunluğu $\eta_1(\bar{z}) = +\bar{z}^2$ şeklinde değiştiğinde, homojen plaga göre serbest titreşim frekansı % 3.55 kadar küçük değer almaktadır. Plagi oluşturan malzemenin Young modülleri ve yoğunluğu $\eta_1(\bar{z}) = -\bar{z}^2$ şeklinde değiştiğinde ise, homojen plaga kıyasla serbest titreşim frekansı % 4 kadar büyük değer almaktadır. Ayrıca, homojen olmamanın etkisinin, kayma deformasyonu etkisine ve dalga sayısının değişimine bağlı olmadığı görülmektedir. Kayma deformasyonlu plak teorisinin parabolik kayma deformasyonlu versiyonu dikkate alındığında ise homojen olmamanın titreşim frekansına etkisi, plagi oluşturan malzemenin Young modülleri ve yoğunluğu $\eta_1(\bar{z}) = +\bar{z}^2$ şeklinde değiştiğinde, $(m,n)=(1,1)$ için % 3.551 oranına sahipken, $(m,n)=(1,50)$ için bu oran % 3.111'e düşmektedir. Buradan, homojen olmamanın titreşim frekansına etkisinin enine dalga sayısının değişimine bağlı

oldugu gözlenmektedir. Plagi olusturan malzemenin Young modülleri ve yogunlugu $\eta_1(\bar{z}) = -\bar{z}^2$ seklinde degistiginde ise, $(m,n)=(1,1)$ için % 3.975 oranina, $(m,n)=(1,50)$ için ise % 3.431 oranina sahiptir. Burada da, homojen olmamanin titresim frekansina etkisinin enine dalga sayisinin degisimine bagli oldugu görülebilir. Homojen olmamanin serbest titresim frekansi degerlerine etkisinin degisimini gösteren sekillerde, düsey eksende parantez içinde gösterilen $(\omega_{2mn}^0 - \omega_{2mn}) / \omega_{2mn}^0 * 100$ ifadesi, KPT kullanildiginda homojen olmamayi gösteren ifadedir.



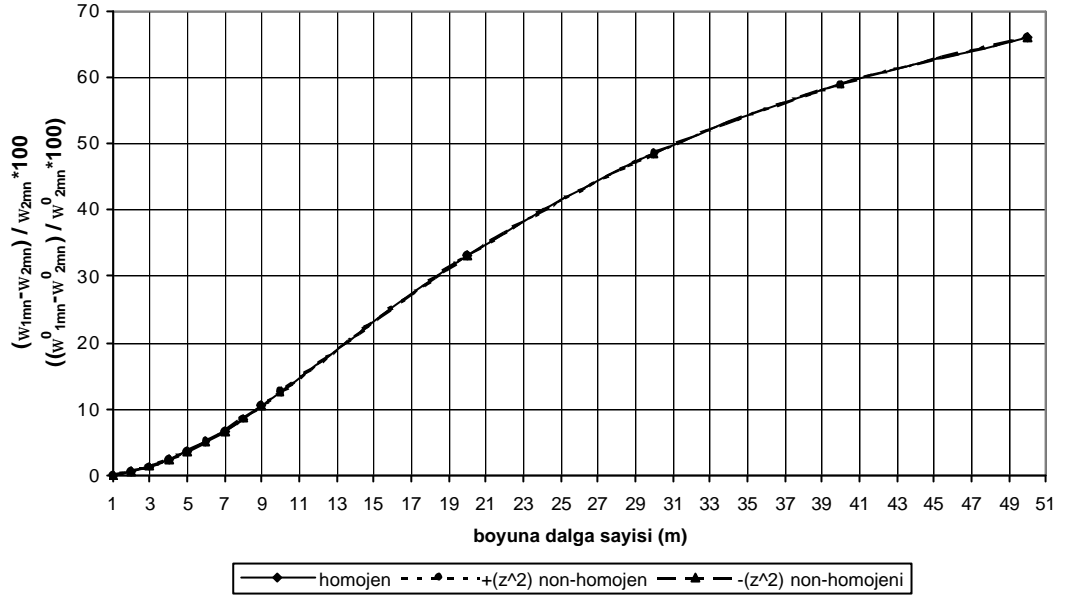
Sekil 4.2.2. $(m,n)=(1,n)$ için KDPT ve KPT kullanildiginda homojen ortotrop plak ve Young modülleri ve yogunlugu ayni anda parabolik degisen ortotrop plak için homojen olmamanin serbest titresim frekansi degerlerine etkisinin degisimi

Çizelge 4.2.1. KDPT ve KPT kullanıldığında ortotrop platin Young modülleri ve yoğunluğu aynı anda kalınlık koordinatına göre parabolik, yani $\eta_i(\bar{z}) = \pm \bar{z}^2$, ($i = 1, 2$) şeklinde değiştiğinde, $m=1$ ve enine dalga sayısının değişimine göre titreşim frekansının değişimi

(m,n)	$\mu_1 = \mu_2 = 0$		$\eta_1(\bar{z}) = +\bar{z}^2, \mu_1 = \mu_2 = 0.9$	
	ω_{1mn}^0	ω_{2mn}^0	ω_{1mn}	ω_{2mn}
(1,1)	942.666	943.952	909.191	910.429
(1,2)	1343.262	1344.477	1295.570	1296.730
(1,3)	2196.444	2198.084	2118.485	2120.022
(1,4)	3490.597	3493.911	3366.757	3369.830
(1,5)	5196.510	5203.599	5012.252	5018.801
(1,6)	7299.067	7313.123	7040.434	7053.408
(1,7)	9790.662	9816.226	9444.022	9467.617
(1,8)	12666.731	12709.947	12218.682	12258.571
(1,9)	15923.919	15992.767	15361.248	15424.807
(1,10)	19559.315	19663.855	18868.999	18965.522
(1,20)	76048.686	77675.410	73412.848	74916.881
(1,30)	166455.153	174379.356	160848.116	168186.527
(1,40)	285962.766	309767.282	276678.303	298766.348
(1,50)	429159.054	483838.134	415807.791	466655.327
(m,n)	$\mu_1 = \mu_2 = 0$		$\eta_1(\bar{z}) = -\bar{z}^2, \mu_1 = \mu_2 = 0.9$	
(1,1)	942.666	943.952	980.134	981.474
(1,2)	1343.262	1344.477	1396.641	1397.919
(1,3)	2196.444	2198.084	2283.697	2285.457
(1,4)	3490.597	3493.911	3629.191	3632.793
(1,5)	5196.510	5203.599	5402.708	5410.440
(1,6)	7299.067	7313.123	7588.473	7603.817
(1,7)	9790.662	9816.226	10178.508	10206.418
(1,8)	12666.731	12709.947	13167.987	13215.162
(1,9)	15923.919	15992.767	16553.327	16628.473
(1,10)	19559.315	19663.855	20331.401	20445.486
(1,20)	76048.686	77675.410	78990.490	80762.978
(1,30)	166455.153	174379.356	172692.674	181310.869
(1,40)	285962.766	309767.282	296249.396	322080.413
(1,50)	429159.054	483838.134	443884.993	503070.514

Çizelge 4.2.2, enine kayma deformasyonlarının etkisinin dikkate alınması ve alınmaması durumlarında, m dalga sayısının artmasına bağlı olarak, serbest titreşim frekansının değerlerinin arttığını göstermektedir. Bütün şekillerde, ω_{1mn}^0 , homojen durumda KDPT kullanılarak elde edilen serbest titreşim frekansı ifadesi, ω_{2mn}^0 ise, homojen durumda KPT kullanılarak elde edilen serbest titreşim frekansı ifadesidir.

Sekil 4.2.3'de görüldüğü gibi, homojen malzemeden oluşan ortotrop dikdörtgen plak için, kayma deformasyonlu plak teorisinin parabolik kayma deformasyonlu versiyonu kullanılarak elde edilen sonuçlar, klasik teori kullanılarak elde edilen sonuçlar ile karşılaştırıldığında meydana gelen etki, $m=1$ için % 0.136 olup, boyuna dalga sayısının artan değerlerine göre artis göstererek $m=50$ için % 66.073 oranına kadar ulaşmaktadır. Ortotrop kompozit plagin Young modülleri ve yoğunluğu $\eta_1(\bar{z}) = +\bar{z}^2$ fonksiyonu şeklinde değiştiğinde enine kayma deformasyonunun serbest titreşim frekanslarına etkisi $m=1$ için % 0.136 olup, boyuna dalga sayısının artan değerlerine göre düzenli olarak artmakta ve $m=50$ değerinde % 66.073 oranına kadar ulaşmaktadır. Plagin Young modülleri ve yoğunluğu $\eta_1(\bar{z}) = -\bar{z}^2$ fonksiyonu ile değiştiğinde ise, sonuçlar klasik teori kullanılarak elde edildiğinde meydana gelen etki $m=1$ için % 0.137 olup, boyuna dalga sayısının değişimine göre artis göstererek $m=50$ için % 66.073 değerine kadar çıkmıştır. Homojen ve Young modülleri ile yoğunluğu $\eta_1(\bar{z}) = \pm\bar{z}^2$ fonksiyonu ile değişen ortotrop dikdörtgen plaklar için dalga sayısının artmasına bağlı olarak enine kayma deformasyonunun serbest titreşim frekansı değerine etkisinin arttığı ve dalga sayısının büyük değerlerinde bu etkinin daha da önem kazandığı burada görülmektedir.



Sekil 4.2.3. $(m,n)=(m,1)$ için KDPT ve KPT kullanıldığında homojen ortotrop plak ve Young modülleri ve yoğunluğu aynı anda parabolik değişen ortotrop plak için enine kayma deformasyonunun serbest titreşim frekansı değerlerine etkisinin değişimi

Çizelge 4.2.2' ye bakıldığında, plagi oluşturan malzemenin Young modülleri ve yoğunluğu $\eta_1(\bar{z}) = +\bar{z}^2$ şeklinde değiştiğinde homojen plaga kıyasla serbest titreşim frekansı % 3.55 kadar küçük değer aldığı, plagi oluşturan malzemenin Young modülleri ve yoğunluğu $\eta_1(\bar{z}) = -\bar{z}^2$ şeklinde değiştiğinde ise, homojen plaga kıyasla serbest titreşim frekansının % 4 kadar büyük değer aldığı görülmektedir. Kayma deformasyonlu plak teorisinin parabolik kayma deformasyonlu versiyonu göz önüne alındığında ise, homojen olmamanın titreşim frekansına etkisi, plagi oluşturan malzemenin Young modülleri ve yoğunluğu $\eta_1(\bar{z}) = +\bar{z}^2$ şeklinde değiştiğinde, % 3.55 oranına sahiptir. Dikdörtgen plagi oluşturan malzemenin Young modülleri ve yoğunluğu $\eta_1(\bar{z}) = -\bar{z}^2$ şeklinde değiştiğinde ise, bu etki % 4 oranına sahip olmaktadır. Burada, homojen olmamanın titreşim frekansına etkisinin m boyuna dalga sayısının değişimine bağlı olmadığı görülmektedir. Ayrıca, bu oran, dalga sayısının değişimine ve enine kayma deformasyonu etkisinin göz önüne alınmamasına bağlı değildir.

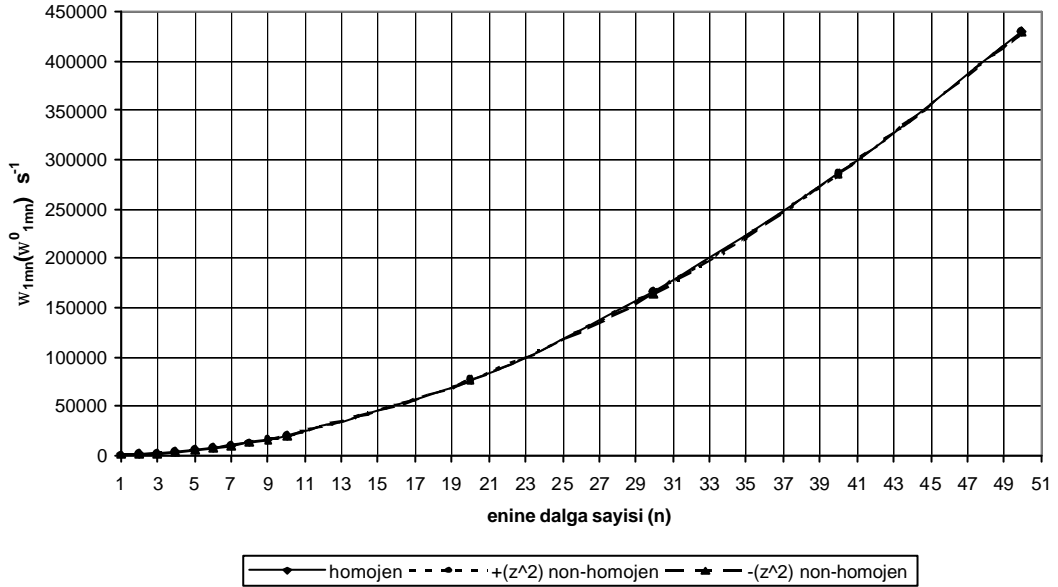
Çizelge 4.2.1 ve Çizelge 4.2.2 karşılaştırıldığında, $n=1$ ve boyuna dalga sayısının değişimine göre kayma deformasyonlu plak teorisinin parabolik kayma deformasyonlu versiyonu ve klasik teori dikkate alındığında, serbest titreşim frekansı değerlerinde meydana gelen artışların ve enine kayma deformasyonunun serbest titreşim frekansı değerlerine olan etkilerinde meydana gelen artışların $m=1$ ve enine dalga sayısının değişimine göre meydana gelen artışlara nazaran çok daha yüksek olduğu, ayrıca daha düzenli bir artış gösterdiği gözlenmektedir. Dolayısıyla, boyuna dalga sayısının değişimi, titreşim frekansının değerine daha büyük etki gösterdiği için bu duruma proje ve yapım esnasında daha fazla dikkat gösterilmesi gerekmektedir.

Çizelge 4.2.2. KDPT ve KPT kullanıldığında ortotrop platin Young modülleri ve yoğunluğu aynı anda kalınlık koordinatına göre parabolik, yani $\eta_i(\bar{z}) = \pm \bar{z}^2$, ($i = 1, 2$) şeklinde değiştiğinde, $n=1$ ve enine dalga sayısının değişimine göre titreşim frekansının değişimi

(m,n)	$\mu_1 = \mu_2 = 0$		$\eta_1(\bar{z}) = +\bar{z}^2, \mu_1 = \mu_2 = 0.9$	
	ω_{1mn}^0	ω_{2mn}^0	ω_{1mn}	ω_{2mn}
(1,1)	942.666	943.952	909.191	910.429
(2,1)	3482.567	3503.403	3358.896	3378.894
(3,1)	7683.384	7787.899	7410.537	7511.323
(4,1)	13463.474	13788.873	12985.368	13299.182
(5,1)	20725.977	21505.160	19989.971	20741.435
(6,1)	29357.881	30936.464	28315.344	29837.801
(7,1)	39235.284	42082.685	37841.987	40588.180
(8,1)	50229.008	54943.779	48445.309	52992.531
(9,1)	62209.646	69519.726	60000.500	67050.835
(10,1)	75051.716	85810.516	72386.531	82763.081
(20,1)	229720.525	343034.074	221562.847	330851.718
(30,1)	397598.287	771740.214	383479.048	744332.984
(40,1)	563849.043	1371928.84	543826.021	1323206.782
(50,1)	727250.529	2143599.94	701424.905	2067473.103
(m,n)	$\mu_1 = \mu_2 = 0$		$\eta_1(\bar{z}) = -\bar{z}^2, \mu_1 = \mu_2 = 0.9$	
(1,1)	942.666	943.952	980.134	981.474
(2,1)	3482.567	3503.403	3620.988	3642.662
(3,1)	7683.384	7787.899	7988.774	8097.465
(4,1)	13463.474	13788.873	13998.604	14336.976
(5,1)	20725.977	21505.160	21549.769	22359.982
(6,1)	29357.881	30936.464	30524.764	32166.177
(7,1)	39235.284	42082.685	40794.762	43755.455
(8,1)	50229.008	54943.779	52225.451	57127.773
(9,1)	62209.646	69519.726	64682.282	72283.109
(10,1)	75051.716	85810.516	78034.784	89221.451
(20,1)	229720.525	343034.074	238851.187	356669.546
(30,1)	397598.287	771740.214	413401.556	802416.591
(40,1)	563849.043	1371928.84	586260.252	1426462.481
(50,1)	727250.529	2143599.94	756156.427	2228807.207

Çizelge 4.2.3, KDPT ve KPT kullanıldığında ortotrop platin yoğunluğunun sabit $\eta_2(\bar{z})=0$, Young modüllerinin ise kalınlık koordinatına göre parabolik, yani $\eta_1(\bar{z})=\pm\bar{z}^2$ şeklinde değişmesi durumunda, $m=1$ ve enine dalga sayısının değişik değerleri için titreşim frekansının değerlerini sunmaktadır. Çizelge 4.2.3. esas alınarak, Şekil 4.2.4 eğrisi elde edilmiştir.

Çizelge 4.2.3 ve Şekil 4.2.4'den görüldüğü gibi, hem kayma deformasyonlu plak teorisinin parabolik kayma deformasyonlu versiyonunun, hem de klasik teorisinin kullanılması durumlarında, n dalga sayısı arttığında serbest titreşim frekansı değerleri artmaktadır.



Şekil 4.2.4. $(m,n)=(1,n)$ için KDPT dikkate alındığında homojen ortotrop plak ve yoğunluğu sabit ($\eta_2(\bar{z})=0$), Young modülleri parabolik değişen ($\eta_1(\bar{z})=\pm\bar{z}^2$) ortotrop plak için serbest titreşim frekansı değerlerinin değişimi

Çizelge 4.2.3'den görüldüğü gibi, ortotrop plati oluşturan malzemenin sadece Young modülleri kalınlık koordinatına göre $\eta_1(\bar{z})=\pm\bar{z}^2$ şeklinde değiştiğinde, kayma deformasyonlu plak teorisinin parabolik kayma deformasyonlu versiyonu kullanılarak elde edilen sonuçlar, klasik teori kullanılarak elde edilen sonuçlar ile

kiyaslandığı zaman ortaya çıkan etki, $n=1$ için % 0.136 olup, $n=3$ değerine kadar azalma göstererek burada minimum etki % 0.0746 olmakta, daha sonra ise bu etki, $n=50$ için % 11.301 oranına kadar artmaktadır. Sadece Young modülleri kalınlık koordinatına göre $\eta_1(\bar{z}) = -\bar{z}^2$ şeklinde değişen ortotrop plak için, kayma deformasyonlu plak teorisinin parabolik kayma deformasyonlu versiyonu kullanılarak elde edilen sonuçlar, klasik teori kullanılarak elde edilen sonuçlar ile kiyaslandığı zaman ortaya çıkan etki, $n=1$ için % 0.136 olup, $n=3$ değerine kadar azalmakta göstererek burada minimum etki % 0.0746 olmakta, daha sonra ise bu etki, $n=50$ için % 11.301 oranına kadar ulaşmaktadır. Buradan görüldüğü gibi, homojen ve homojen olmayan durumda, Young modülleri $\eta_1(\bar{z}) = \pm\bar{z}^2$ fonksiyonu şeklinde değişen ortotrop plaklar için dalga sayısı $n \geq 4$ olduğunda enine kayma deformasyonunun serbest titreşim frekansı değerlerine etkisi artmakta ve dalga sayısının büyük değerlerinde bu etki daha da önemli olmaktadır.

Plagi oluşturan malzemenin sadece Young modülleri $\eta_1(\bar{z}) = \pm\bar{z}^2$ şeklinde değiştiğinde, homojen plaga kıyasla serbest titreşim frekansı değerlerine etkisi 0'dir. Burada, homojen olmamanın etkisinin, kayma deformasyonu etkisine ve dalga sayısının değişimine bağlı olmadığı görülmektedir. Enine kayma etkisinin göz önüne alındığı durumda ise, homojen olmamanın titreşim frekansına etkisi, plagi oluşturan malzemenin yoğunluğu sabit, Young modülleri ise $\eta_1(\bar{z}) = \pm\bar{z}^2$ şeklinde değiştiğinde, yine 0 olmaktadır. Burada, Young modülünün değişiminin serbest titreşim frekansı değerlerinde homojen olmamayı etkilemediği gözlenmektedir.

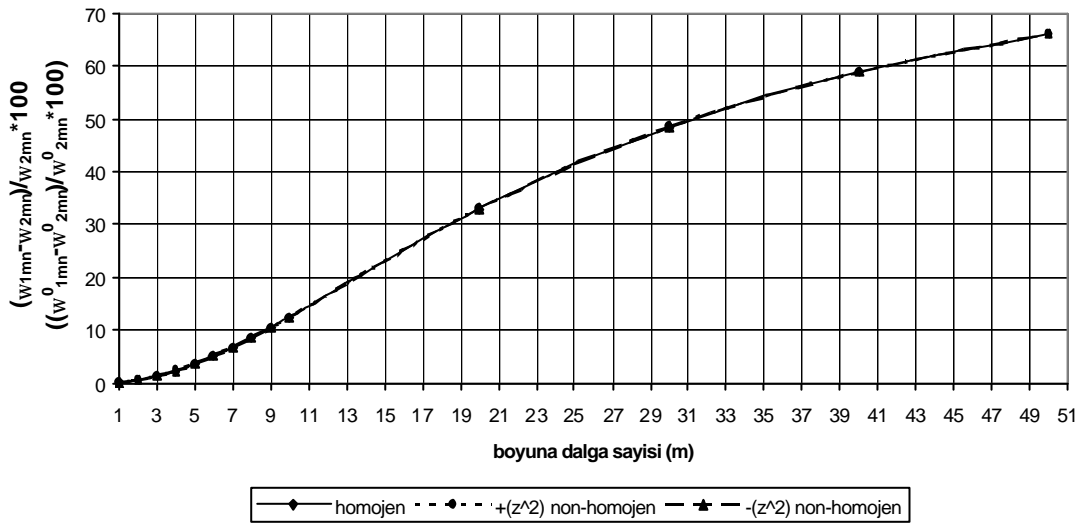
Çizelge 4.2.3. KDPT ve KPT kullanıldığında ortotrop platinin yoğunluğu sabit ($\eta_2(\bar{z})=0$), Young modülleri ise kalınlık koordinatına göre parabolik değiştiğinde ($\eta_1(\bar{z})=\pm\bar{z}^2$), $m=1$ ve enine dalga sayısının değişimine göre titreşim frekansının değişimi

(m,n)	$\mu_1 = \mu_2 = 0$		$\eta_1(\bar{z}) = +\bar{z}^2, \mu_1 = 0.9, \mu_2 = 0$	
	ω_{1mn}^0	ω_{2mn}^0	ω_{1mn}	ω_{2mn}
(1,1)	942.666	943.952	942.667	943.953
(1,2)	1343.262	1344.477	1343.263	1344.478
(1,3)	2196.444	2198.084	2196.446	2198.086
(1,4)	3490.597	3493.911	3490.599	3493.914
(1,5)	5196.510	5203.599	5196.514	5203.604
(1,6)	7299.067	7313.123	7299.074	7313.129
(1,7)	9790.662	9816.226	9790.670	9816.235
(1,8)	12666.731	12709.947	12666.742	12709.957
(1,9)	15923.919	15992.767	15923.932	15992.781
(1,10)	19559.315	19663.855	19559.331	19663.871
(1,20)	76048.686	77675.410	76048.750	77675.476
(1,30)	166455.153	174379.356	166455.293	174379.503
(1,40)	285962.766	309767.282	285963.007	309767.543
(1,50)	429159.054	483838.134	429159.415	483838.541
(m,n)	$\mu_1 = \mu_2 = 0$		$\eta_1(\bar{z}) = -\bar{z}^2, \mu_1 = 0.9, \mu_2 = 0$	
(1,1)	942.666	943.952	942.666	943.952
(1,2)	1343.262	1344.477	1343.261	1344.476
(1,3)	2196.444	2198.084	2196.442	2198.082
(1,4)	3490.597	3493.911	3490.594	3493.908
(1,5)	5196.510	5203.599	5196.506	5203.595
(1,6)	7299.067	7313.123	7299.061	7313.117
(1,7)	9790.662	9816.226	9790.654	9816.218
(1,8)	12666.731	12709.947	12666.721	12709.936
(1,9)	15923.919	15992.767	15923.905	15992.754
(1,10)	19559.315	19663.855	19559.299	19663.838
(1,20)	76048.686	77675.410	76048.622	77675.345
(1,30)	166455.153	174379.356	166455.013	174379.210
(1,40)	285962.766	309767.282	285962.525	309767.022
(1,50)	429159.054	483838.134	429158.693	483837.727

KDPT ve KPT kullanıldığında ortotrop platinin yoğunluğunun sabit $\eta_2(\bar{z})=0$, Young modüllerinin ise kalınlık koordinatına göre parabolik, yani $\eta_1(\bar{z})=\pm\bar{z}^2$ şeklinde değişmesi durumunda, $n=1$ ve boyuna dalga sayısının değişik değerleri için titreşim frekansının değerleri Çizelge 4.2.4'de görülmektedir. Çizelge 4.2.4 esas alınarak, Şekil 4.2.5 eğrisi elde edilmiştir.

Kayma deformasyonlu plak teorisinin parabolik kayma deformasyonlu versiyonu ve klasik teori kullanıldığı durumlarda, m dalga sayısı arttığında serbest titreşim frekansı değerlerinin arttığı Çizelge 4.2.4'den görülmektedir.

Sekil 4.2.5'den görüldüğü gibi, ortotrop plagi oluşturan malzemenin sadece Young modülleri kalınlık koordinatinin fonksiyonu olduğunda, kayma deformasyonlu plak teorisinin parabolik kayma deformasyonlu versiyonu ile elde edilen sonuçlar, klasik teori kullanılarak elde edilen sonuçlar ile kıyaslandığında ortaya çıkan etki, n=1 için % 0.136 olup, n=50 olduğunda % 66.073 oranına kadar artmaktadır. Ortotrop plagi oluşturan malzemenin sadece Young modülleri $\eta_1(\bar{z}) = -\bar{z}^2$ şeklinde değiştiğinde, kayma deformasyonlu plak teorisinin parabolik kayma deformasyonlu versiyonu ile elde edilen sonuçlar, klasik teori kullanılarak elde edilen sonuçlar ile kıyaslandığı zaman ortaya çıkan etki, n=1 için % 0.136 olup, enine dalga sayısındaki artışa bağlı olarak artmakta ve n=50 için % 66.073 oranına kadar ulaşmaktadır.



Sekil 4.2.5. (m,n)=(m,1) için KDPT ve KPT kullanıldığında homojen ortotrop plak ve yoğunluğu sabit ($\eta_2(\bar{z})=0$), Young modülleri parabolik ($\eta_1(\bar{z}) = \pm\bar{z}^2$) değişen ortotrop plak için enine kayma deformasyonunun serbest titreşim frekansı değerlerine etkisinin değişimi

Ortotrop plagi olusturan malzemenin yogunlugu sabit, Young modülleri ise kalinalik koordinatina göre $\eta_1(\bar{z}) = \pm \bar{z}^2$ seklinde degistiginde homojen olmamanin etkisi 0'dir. Burada, homojen olmamanin etkisi, kayma deformasyonu etkisine ve dalga sayisinin degisimine bagli degildir. Enine kayma etkisi göz önüne alindiginda ise, homojen olmamanin etkisi, plagi olusturan malzemenin Young modülleri $\eta_1(\bar{z}) = \pm \bar{z}^2$ seklinde degistiginde, yine 0 olmaktadır. Buradan, elastisite modülünün degisiminin serbest titresim frekansi degerlerinde homojen olmamayi etkilemedigi sonucuna varilabilir.

Çizelge 4.2.4. KDPT ve KPT kullanildiginda ortotrop plagin yogunlugu sabit ($\eta_2(\bar{z}) = 0$), Young modülleri ise kalinalik koordinatina göre parabolik degistiginde ($\eta_1(\bar{z}) = \pm \bar{z}^2$), $n=1$ ve boyuna dalga sayisinin degisimine göre titresim frekansinin degisimi

(m,n)	$\mu_1 = \mu_2 = 0$		$\eta_1(\bar{z}) = +\bar{z}^2, \mu_1 = 0.9, \mu_2 = 0$	
	ω_{1mn}^0	ω_{2mn}^0	ω_{1mn}	ω_{2mn}
(1,1)	942.666	943.952	942.667	943.953
(2,1)	3482.567	3503.403	3482.570	3503.406
(3,1)	7683.384	7787.899	7683.391	7787.906
(4,1)	13463.474	13788.873	13463.485	13788.885
(5,1)	20725.977	21505.160	20725.995	21505.178
(6,1)	29357.881	30936.464	29357.906	30936.490
(7,1)	39235.284	42082.685	39235.317	42082.720
(8,1)	50229.008	54943.779	50229.050	54943.825
(9,1)	62209.646	69519.726	62209.698	69519.785
(10,1)	75051.716	85810.516	75051.779	85810.588
(20,1)	229720.525	343034.074	229720.718	343034.362
(30,1)	397598.287	771740.214	397598.621	771740.863
(40,1)	563849.043	1371928.840	563849.517	1371929.991
(50,1)	727250.529	2143599.94	727251.140	2143601.737
(m,n)	$\eta_1(\bar{z}) = -\bar{z}^2$		$\eta_1(\bar{z}) = -\bar{z}^2, \mu_1 = 0.9, \mu_2 = 0$	
(1,1)	942.666	943.952	942.666	943.952
(2,1)	3482.567	3503.403	3482.564	3503.400
(3,1)	7683.384	7787.899	7683.378	7787.893
(4,1)	13463.474	13788.873	13463.462	13788.862
(5,1)	20725.977	21505.160	20725.960	21505.142
(6,1)	29357.881	30936.464	29357.856	30936.438
(7,1)	39235.284	42082.685	39235.251	42082.649
(8,1)	50229.008	54943.779	50228.965	54943.733
(9,1)	62209.646	69519.726	62209.594	69519.668
(10,1)	75051.716	85810.516	75051.653	85810.444
(20,1)	229720.525	343034.074	229720.332	343033.785
(30,1)	397598.287	771740.214	397597.952	771739.565
(40,1)	563849.043	1371928.84	563848.569	1371927.684
(50,1)	727250.529	2143599.94	727249.917	2143598.131

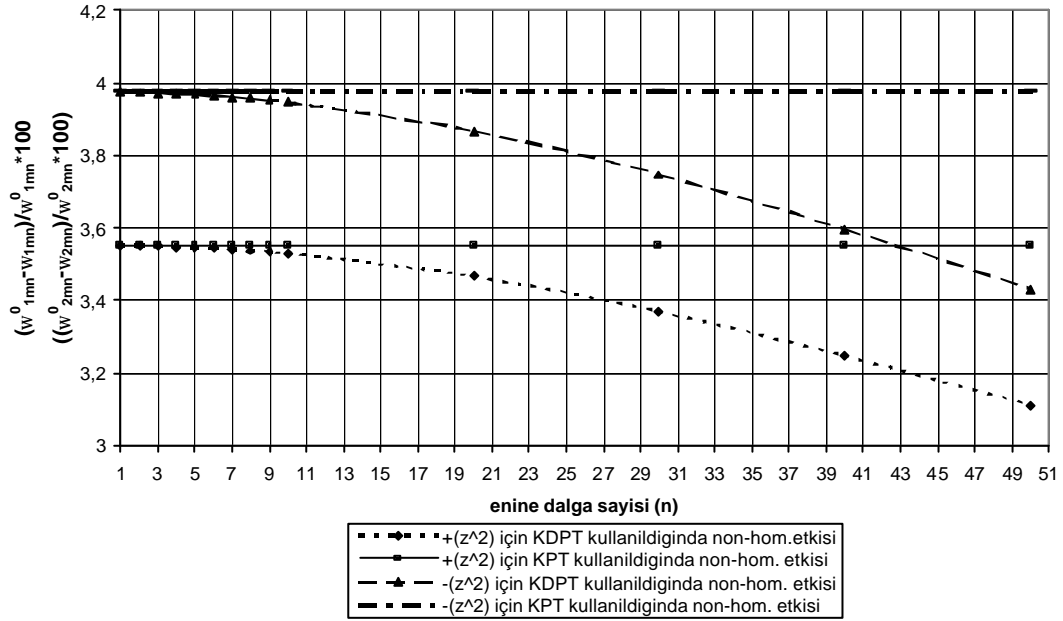
Çizelge 4.2.5, KDPT ve KPT kullanıldığında ortotrop platin Young modüllerinin sabit $\eta_1(\bar{z})=0$, yoğunluğunun ise kalınlık koordinatına göre parabolik, yani $\eta_2(\bar{z})=\pm\bar{z}^2$ şeklinde değişmesi durumunda, $m=1$ ve enine dalga sayısının değişik değerleri için titreşim frekansının değerlerini göstermektedir. Çizelge 4.2.5. esas alınarak, Şekil 4.2.6 elde edilmiştir.

Çizelge 4.2.5'den görüldüğü gibi, kayma deformasyonlu plak teorisinin parabolik kayma deformasyonlu versiyonunun ve klasik teorisinin kullanıldığı durumlar dikkate alındığında, enine dalga sayısının artmasına bağlı olarak, serbest titreşim frekansı değerleri de artmaktadır.

Çizelge 4.2.5'den görüldüğü gibi, sadece yoğunluğu kalınlık koordinatına göre değişen malzemeden oluşan ortotrop plak için, kayma deformasyonlu plak teorisinin parabolik kayma deformasyonlu versiyonu kullanılarak bulunan sonuçlar ve klasik teori kullanılarak bulunan sonuçlar kıyaslandığında ortaya çıkan etki, $n=1$ için % 0.136 olup, $n=3$ değerine kadar azalarak burada minimum etki % 0.0725 olmakta, daha sonra ise bu etki, $n=50$ için % 10.896 oranına kadar artmaktadır. Sadece yoğunluğu kalınlık koordinatına göre $\eta_2(\bar{z})=-\bar{z}^2$ şeklinde değişen malzemeden oluşan ortotrop plak için, kayma deformasyonlu plak teorisinin parabolik kayma deformasyonlu versiyonu kullanılarak elde edilen sonuçlar, klasik teori kullanılarak elde edilen sonuçlar ile karşılaştırıldığında ortaya çıkan etki, $n=1$ için % 0.137 olup, $n=3$ değerine kadar azalmakta ve burada minimum etki % 0.0770 olmaktadır. Daha sonra ise bu etki, $n=50$ için % 11.765 oranına çıkmaktadır.

Şekil 4.2.6'dan görüldüğü gibi, kayma deformasyonlu plak teorisinin parabolik kayma deformasyonlu versiyonu kullanılarak alınan neticelere göre, plagi oluşturan malzemenin Young modülleri sabit tutulup, yoğunluğu $\eta_2(\bar{z})=+\bar{z}^2$ şeklinde değiştiğinde homojen plaga göre serbest titreşim frekansı değerlerine etkisi $(m,n)=(1,1)$ olduğunda % 3.55, enine dalga sayısı arttıkça bu oran azalarak $(m,n)=(1,50)$ olduğunda % 3.11 olmaktadır. Malzemenin Young modülleri sabit tutulup, yoğunluğunun $\eta_2(\bar{z})=-\bar{z}^2$ şeklinde değişmesi durumunda ise, homojen

plaga göre serbest titreşim frekansı değerlerine etkisi $(m,n)=(1,1)$ olduğunda % 3.97, enine dalga sayısı arttıkça bu oran azalarak $(m,n)=(1,50)$ için % 3.43 olmaktadır. Burada, yoğunluktaki değişimin homojen olmama üzerinde bir etkisi olduğu ancak bu etkinin enine dalga sayısı arttıkça enine kayma deformasyonu etkisine bağlı olarak azaldığı görülmektedir. Neticeler klasik teori kullanılarak alındığında ve plagi oluşturan malzemenin Young modülleri sabit, yoğunluğu ise $\eta_2(\bar{z}) = +\bar{z}^2$ şeklinde değiştiğinde, homojen olmamanın titreşim frekansına etkisi, $m=1$ ve enine dalga sayısının bütün değerlerinde % 3.55 olmaktadır. Plagi oluşturan malzemenin yoğunluğu $\eta_2(\bar{z}) = -\bar{z}^2$ şeklinde değiştiğinde ise, homojen olmamanın titreşim frekansına etkisi, $m=1$ ve n dalga sayısının bütün değerlerinde % 3.98 olmaktadır. Burada, yoğunluktaki değişimin homojen olmama üzerinde bir etkisi olduğu ve enine kayma deformasyonu burada dikkate alınmadığı için bu etkinin sabit kaldığı gözlenmektedir.



Sekil 4.2.6. $(m,n)=(1,n)$ için KDPT ve KPT kullanıldığında homojen ortotrop plak ve Young modülleri sabit ($\eta_1(\bar{z}) = 0$), yoğunluğu parabolik ($\eta_2(\bar{z}) = \pm \bar{z}^2$) değişen ortotrop plak için homojen olmamanın serbest titreşim frekansı değerlerine etkisinin değişimi

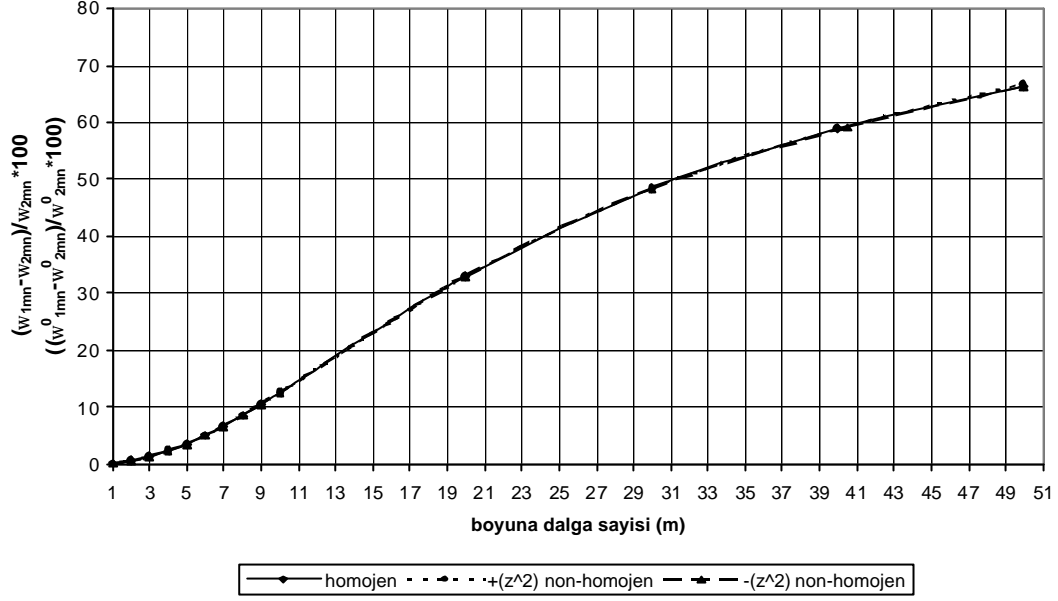
Çizelge 4.2.5. KDPT ve KPT kullanıldığında ortotrop plagin Young modülleri sabit ($\eta_1(\bar{z})=0$), yoğunluğu ise kalınlık koordinatına göre parabolik değiştiğinde ($\eta_2(\bar{z})=\pm\bar{z}^2$), $m=1$ ve enine dalga sayısının değişimine göre titreşim frekansının değişimi

(m,n)	$\eta_1(\bar{z}) = +\bar{z}^2$		$\eta_1(\bar{z}) = +\bar{z}^2, \mu_1 = 0, \mu_2 = 0.9$	
	ω_{1mn}^0	ω_{2mn}^0	ω_{1mn}	ω_{2mn}
(1,1)	942.666	943.952	909.190	910.429
(1,2)	1343.262	1344.477	1295.569	1296.729
(1,3)	2196.444	2198.084	2118.483	2120.020
(1,4)	3490.597	3493.911	3366.754	3369.827
(1,5)	5196.510	5203.599	5012.247	5018.797
(1,6)	7299.067	7313.123	7040.428	7053.402
(1,7)	9790.662	9816.226	9444.014	9467.609
(1,8)	12666.731	12709.947	12218.671	12258.561
(1,9)	15923.919	15992.767	15361.235	15424.794
(1,10)	19559.315	19663.855	18868.983	18965.506
(1,20)	76048.686	77675.410	73412.786	74916.818
(1,30)	166455.153	174379.356	160847.981	168186.386
(1,40)	285962.766	309767.282	276678.071	298766.097
(1,50)	429159.054	483838.134	415807.441	466654.934
(m,n)	$\eta_1(\bar{z}) = -\bar{z}^2$		$\eta_1(\bar{z}) = -\bar{z}^2, \mu_1 = 0, \mu_2 = 0.9$	
(1,1)	942.666	943.952	980.135	981.475
(1,2)	1343.262	1344.477	1396.642	1397.920
(1,3)	2196.444	2198.084	2283.699	2285.459
(1,4)	3490.597	3493.911	3629.194	3632.796
(1,5)	5196.510	5203.599	5402.713	5410.445
(1,6)	7299.067	7313.123	7588.480	7603.823
(1,7)	9790.662	9816.226	10178.516	10206.426
(1,8)	12666.731	12709.947	13167.998	13215.173
(1,9)	15923.919	15992.767	16553.341	16628.487
(1,10)	19559.315	19663.855	20331.418	20445.503
(1,20)	76048.686	77675.410	78990.556	80763.046
(1,30)	166455.153	174379.356	172692.819	181311.021
(1,40)	285962.766	309767.282	296249.645	322080.684
(1,50)	429159.054	483838.134	443885.366	503070.936

KDPT ve KPT kullanıldığında ortotrop plagin Young modüllerinin sabit $\eta_1(\bar{z})=0$, yoğunluğunun ise kalınlık koordinatına göre parabolik, yani $\eta_2(\bar{z})=\pm\bar{z}^2$ şeklinde değişmesi durumunda, $n=1$ ve boyuna dalga sayısının değişik değerleri için titreşim frekansının değerleri Çizelge 4.2.6'da sunulmaktadır. Çizelge 4.2.6 esas alınarak, Şekil 4.2.7 elde edilmiştir.

Çizelge 4.2.6'dan görüldüğü gibi, kayma deformasyonlu plak teorisinin parabolik kayma deformasyonlu versiyonu ve klasik teorisinin kullanıldığı durumlar göz önüne alındığında, m dalga sayısının artması ile serbest titreşim frekansı değerleri artmaktadır.

Sekil 4.2.7'den görüldüğü gibi, sadece yoğunluğu kalınlık koordinatına göre $\eta_2(\bar{z}) = +\bar{z}^2$ şeklinde değişen malzemedен oluşan ortotrop plak için, kayma deformasyonlu plak teorisinin parabolik kayma deformasyonlu versiyonu ile elde edilen neticeler, klasik teori kullanılarak elde edilen neticeler ile kıyaslandığında ortaya çıkan etki, m=1 için % 0.136 olup, boyuna dalga sayısı değerlerinin artmasına bağlı olarak bu etki de artmakta ve m=50 olduğunda % 66.073 oranına kadar ulaşmaktadır. Young modülleri sabit tutulup, yoğunluğu $\eta_2(\bar{z}) = -\bar{z}^2$ şeklinde değişen malzemedен oluşan ortotrop dikdörtgen plak için, kayma deformasyonlu plak teorisinin parabolik kayma deformasyonlu versiyonu, klasik teori kullanılarak alınan sonuçlar ile karşılaştırıldığında ortaya çıkan etki, m=1 için % 0.137 olup, boyuna dalga sayısının artmasına bağlı olarak bu etki, n=50 için % 66.073 oranına ulaşmaktadır.



Sekil 4.2.7. $(m,n)=(m,1)$ için KDPT ve KPT kullanıldığında homojen ortotrop plak ve Young modülleri sabit ($\eta_1(\bar{z})=0$), yoğunluğu parabolik ($\eta_2(\bar{z})=\pm\bar{z}^2$)değişen ortotrop plak için enine kayma deformasyonunun serbest titreşim frekansı değerlerine etkisinin değişimi

Çizelge 4.2.6'dan görüldüğü gibi, hem kayma deformasyonlu plak teorisinin parabolik kayma deformasyonlu versiyonu kullanılarak hem de klasik teori kullanılarak elde edilen sonuçlara göre, plagi oluşturan malzemenin Young modülleri sabit, fakat yoğunluğu $\eta_2(\bar{z})=+\bar{z}^2$ şeklinde değiştiğinde, homojen plaga göre serbest titreşim frekansı değerlerine etkisi $n=1$ ve boyuna dalga sayısının tüm değerleri için % 3.55 olmaktadır. Burada enine kayma deformasyonu etkisinin homojen olmamayı etkilemediği sonucuna varılabilir. Sonuçlar, kayma deformasyonlu plak teorisinin parabolik kayma deformasyonlu versiyonu ve klasik teori kullanılarak bulunduğu, plagi oluşturan malzemenin Young modüllerinin sabit tutularak yoğunluğunun $\eta_2(\bar{z})=+\bar{z}^2$ şeklinde değişmesi durumunda homojen plaga göre serbest titreşim frekansı değerlerine etkisi $n=1$ ve boyuna dalga sayısının artan değerleri için % 3.97 oranına sahip olmaktadır. Burada da, enine kayma deformasyonu etkisinin homojen olmamayı etkilemediği görülmektedir.

Çizelge 4.2.5 ve Çizelge 4.2.6 arasında bir karşılaştırma yapılacak olursa, Çizelge 4.2.5’de enine dalga sayısı değiştiğinde, enine kayma deformasyonunun homojen olmamanın etkisini azalttığı, ancak Çizelge 4.2.6’da değişim boyuna dalga sayısında olduğundan, enine kayma deformasyonu etkisinin homojen olmamayı etkilemediği açıkça görülmektedir.

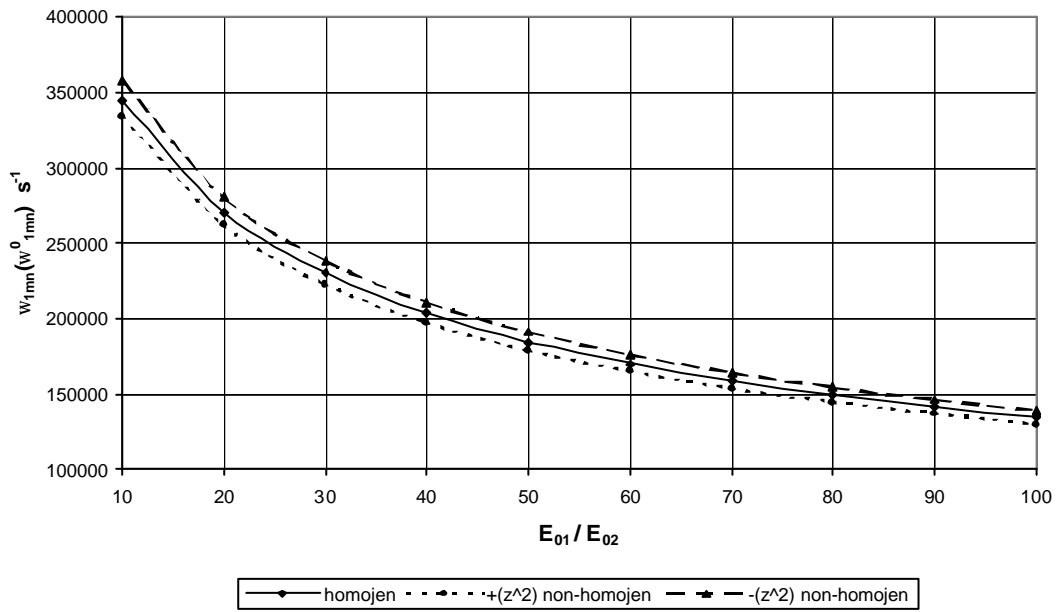
Çizelge 4.2.6. KDPT ve KPT kullanıldığında ortotrop platin Young modülleri sabit ($\eta_1(\bar{z})=0$), yoğunluğu ise kalınlık koordinatına göre parabolik değiştiğinde ($\eta_2(\bar{z})=\pm\bar{z}^2$), $n=1$ ve boyuna dalga sayısının değişimine göre titreşim frekansının değişimi

(m,n)	$\eta_1(\bar{z}) = +\bar{z}^2$		$\eta_1(\bar{z}) = +\bar{z}^2, \mu_1 = 0, \mu_2 = 0.9$	
	ω_{1mn}^0	ω_{2mn}^0	ω_{1mn}	ω_{2mn}
(1,1)	942.666	943.952	909.190	910.429
(2,1)	3482.567	3503.403	3358.894	3378.982
(3,1)	7683.384	7787.899	7410.531	7511.317
(4,1)	13463.474	13788.873	12985.357	13299.171
(5,1)	20725.977	21505.160	19989.954	20741.418
(6,1)	29357.881	30936.464	28315.320	29837.776
(7,1)	39235.284	42082.685	37841.956	40588.145
(8,1)	50229.008	54943.779	48445.269	52992.486
(9,1)	62209.646	69519.726	60000.449	67050.778
(10,1)	75051.716	85810.516	72386.470	82763.011
(20,1)	229720.525	343034.074	221562.660	330851.440
(30,1)	397598.287	771740.214	383478.726	744332.358
(40,1)	563849.043	1371928.840	543825.564	1323205.669
(50,1)	727250.529	2143599.94	701424.315	2067471.364
(m,n)	$\eta_1(\bar{z}) = -\bar{z}^2$		$\eta_1(\bar{z}) = -\bar{z}^2, \mu_1 = 0, \mu_2 = 0.9$	
(1,1)	942.666	943.952	980.135	981.475
(2,1)	3482.567	3503.403	3620.991	3642.665
(3,1)	7683.384	7787.899	7988.781	8097.472
(4,1)	13463.474	13788.873	13998.616	14336.988
(5,1)	20725.977	21505.160	21549.787	22360.001
(6,1)	29357.881	30936.464	30524.789	32166.204
(7,1)	39235.284	42082.685	40794.797	43755.492
(8,1)	50229.008	54943.779	52225.495	57127.821
(9,1)	62209.646	69519.726	64682.337	72283.170
(10,1)	75051.716	85810.516	78034.850	89221.526
(20,1)	229720.525	343034.074	238851.388	356669.846
(30,1)	397598.287	771740.214	413401.904	802417.266
(40,1)	563849.043	1371928.84	586260.745	1426463.681
(50,1)	727250.529	2143599.94	756157.064	2228809.082

(m,n) deęisiminden baęimsiz olarak, Young modülleri ve yoğunluęun deęisim fonksiyonu $\eta_2(\bar{z}) = \pm \bar{z}^2$ seklinde deęistiginde, Young modüllerinin tek basına deęisiminin serbest titreşim frekansı deęerlerine etkisi çok az, yoğunluęun tek basına deęisiminin titreşim frekansı deęerlerine etkisi ise, fazla olmakta ve Young modülleri ile yoğunluęun birlikte deęistigi durumdaki serbest titreşim frekansına olan etki ile aynı olmaktadır.

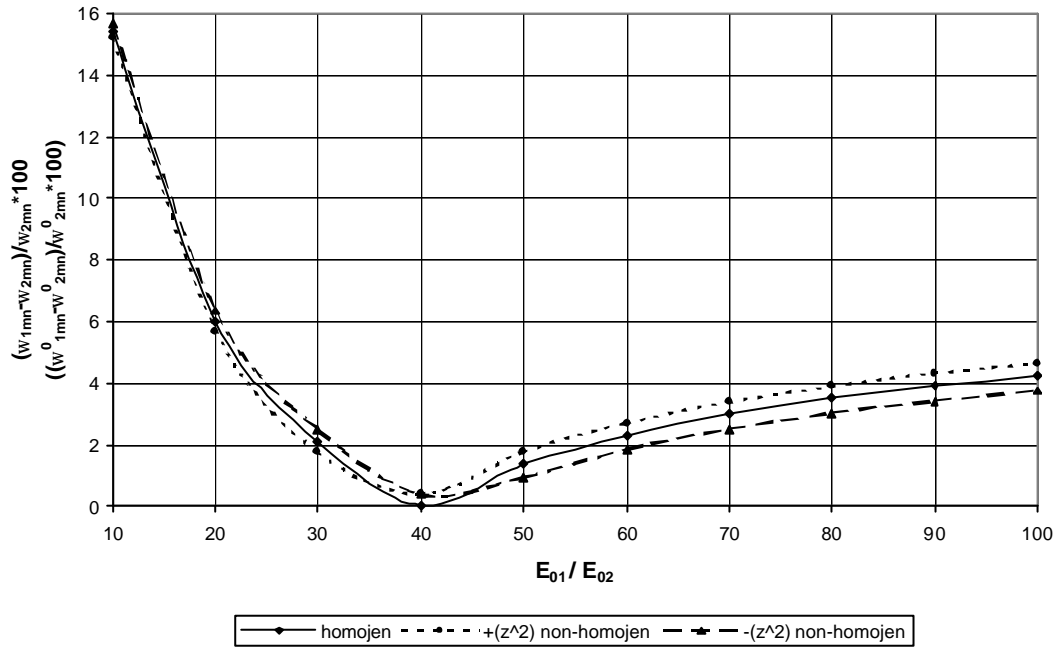
Çizelge 4.2.7, KDPT ve KPT kullanıldığında, ortotrop platin Young modülleri ve yoğunluęu aynı anda kalınlık koordinatına göre parabolik, yani $\eta_i(\bar{z}) = \pm \bar{z}^2$, (i = 1,2) seklinde deęistiginde ve dalga sayıları (m,n)=(1,40) olduğunda E_{01}/E_{02} oranının deęisimine göre serbest titreşim frekansı deęerlerinin deęisimini göstermektedir. Çizelge 4.2.7. esas alınarak, Sekil 4.2.8-4.2.10 eęrileri elde edilmiştir.

Enine kayma deęormasyonlarının etkisi göz önüne alındığı ve alınmadığı durumlarda, E_{01}/E_{02} oranı arttığında serbest titreşim frekansı deęerlerinin azaldığı Çizelge 4.2.7 ve Sekil 4.2.8’de görülmektedir.



Sekil 4.2.8. (m,n)=(1,40) ve E_{01}/E_{02} oranı için KDPT dikkate alındığında homojen ortotrop plak ve Young modülleri ve yoğunluęu aynı anda parabolik deęisen ortotrop plak için serbest titreşim frekansı deęerlerinin deęisimi

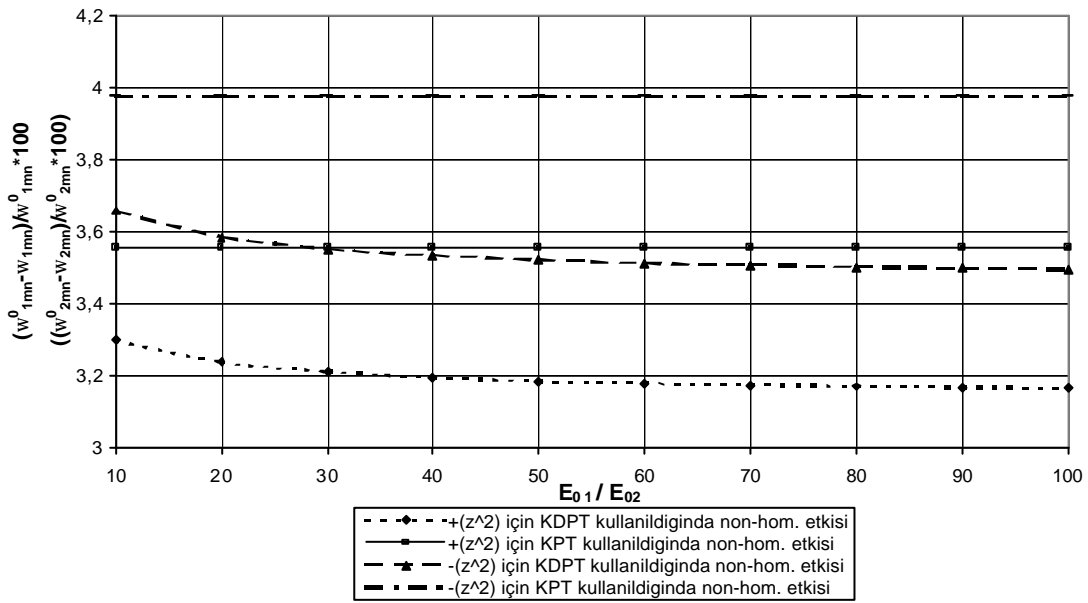
Sekil 4.2.9'dan görüldüğü gibi, homojen malzemeden oluşan ve yoğunluğu ile Young modülleri kalınlik koordinatında $\eta_1(\bar{z}) = \mp \bar{z}^2$ şeklinde değişen ortotrop plaklar için, $(m,n)=(1,40)$ olduğunda enine kayma deformasyonunun serbest titreşim frekansının değerlerine etkisi $E_{01}/E_{02}=10$ için yaklaşık olarak % 15, $E_{01}/E_{02}=20$ için % 6, $E_{01}/E_{02}=30$ için % 2 ve $E_{01}/E_{02}=40$ için ise % 0.4 olup, minimum değerini almaktadır. $E_{01}/E_{02}=40$ değerinden sonra söz konusu etki sürekli, düzgün, fakat yavaş bir artış göstermekte ve $E_{01}/E_{02}=50$ değerinde yaklaşık % 1.4, $E_{01}/E_{02}=100$ olduğunda ise bu etki oranı % 4 olmaktadır.



Sekil 4.2.9. $(m,n)=(1,40)$ ve E_{01}/E_{02} oranı için KDPT ve KPT kullanıldığında homojen ortotrop plak ve Young modülleri ve yoğunluğu aynı anda parabolik değişen ortotrop plak için enine kayma deformasyonunun serbest titreşim frekansı değerlerine etkisinin değişimi

Sekil 4.2.10'dan görüldüğü gibi, ortotrop plagi oluşturan malzemenin Young modülleri ve yoğunluğu $\eta_1(\bar{z}) = +\bar{z}^2$ şeklinde değiştiğinde homojen plaga kıyasla serbest titreşim frekansı % 3.55 kadar küçük değer almaktadır. Plagi oluşturan malzemenin Young modülleri ve yoğunluğu $\eta_1(\bar{z}) = -\bar{z}^2$ şeklinde değiştiğinde ise,

homojen plaga kıyasla serbest titreşim frekansı % 4 kadar büyük değer almaktadır. Ayrıca, bu etki oranı, dalga sayısının değişimine ve E_{01}/E_{02} oranının değişimine bağlı değildir. Homojen olmamanın titreşim frekansına etkisi, kayma deformasyonlu plak teorisinin parabolik kayma deformasyonlu versiyonu göz önüne alındığında, klasik teorisin kullanıldığı duruma kıyasla küçük olup, aynı zamanda E_{01}/E_{02} oranının artmasına göre azalmaktadır. Örneğin, kayma deformasyonu etkisi dikkate alındığında $\eta_1(\bar{z}) = +\bar{z}^2$ ve $E_{01}/E_{02}=10$ olduğunda, homojen olmamanın etkisi 3.296 iken, $E_{01}/E_{02}=100$ olduğunda bu etki 3.162 değerine düşmektedir. $\eta_1(\bar{z}) = -\bar{z}^2$ ve $E_{01}/E_{02}=10$ olduğunda, homojen olmamanın etkisi 3.658 iken, $E_{01}/E_{02}=100$ olduğunda bu etki 3.494 değerine düşmektedir. Dikkat edildiğinde, $\eta_1(\bar{z}) = -\bar{z}^2$ için ortaya çıkan etkinin, $\eta_1(\bar{z}) = +\bar{z}^2$ için olan etkiden daha büyük olduğu görülmektedir. $n=1$ ve boyuna dalga sayısının artan değerleri için elde edilen sonuçlar aynı seyirde devam etmektedir. Ancak $(n,m)=(1,40)$ değerleri, sonuçlar daha net görüldüğü için seçilmiştir.



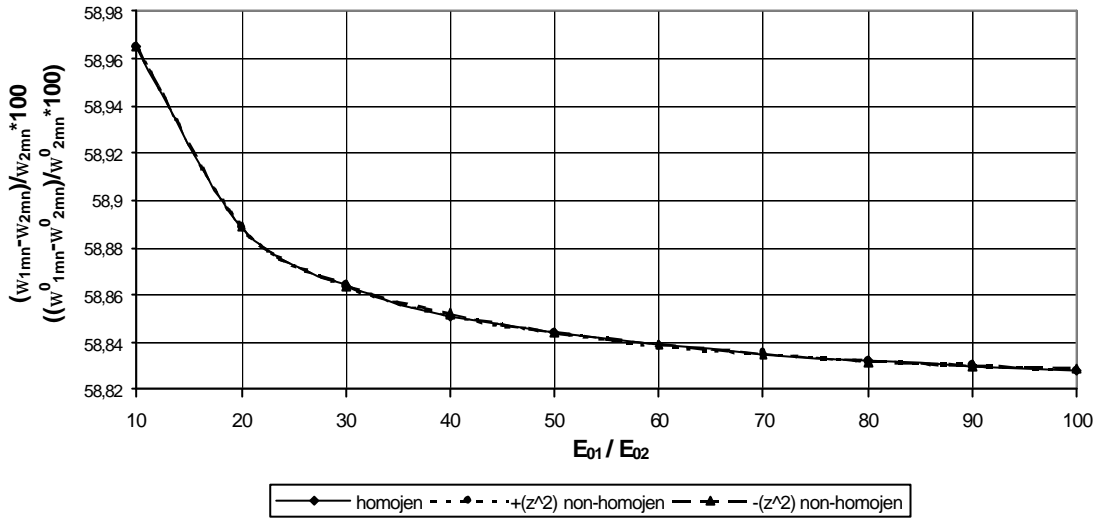
Sekil 4.2.10. $(m,n)=(1,40)$ ve E_{01}/E_{02} oranı için KDPT ve KPT kullanıldığında homojen ortotrop plak ve Young modülleri ve yoğunluğu aynı anda parabolik değişen ortotrop plak için homojen olmamanın serbest titreşim frekansı değerlerine etkisinin değişimi

Çizelge 4.2.7. KDPT ve KPT kullanıldığında ortotrop platin Young modülleri ve yoğunluğu aynı anda kalınlık koordinatına göre parabolik, yani $\eta_i(\bar{z}) = \pm \bar{z}^2$, ($i = 1, 2$) şeklinde değiştiğinde, $(m, n) = (1, 40)$ için E_{01}/E_{02} oranının değişimine göre titreşim frekansının değişimi

(m,n)=(1,40)	$\mu_1 = \mu_2 = 0$		$\eta_1(\bar{z}) = +\bar{z}^2, \mu_1 = \mu_2 = 0.9$	
E_{01}/E_{02}	ω_{1mn}^0	ω_{2mn}^0	ω_{1mn}	ω_{2mn}
10	344980.388	407935.142	333610.127	393447.919
20	270663.283	287946.983	261906.024	277720.965
30	230092.891	235042.722	222710.109	226695.522
40	203629.433	203571.767	197126.694	196342.212
50	184630.188	182123.728	178752.207	175655.869
60	170140.854	166307.458	164735.745	160401.291
70	158621.315	154025.366	153590.122	148555.379
80	149179.577	144132.338	144453.603	139013.687
90	141258.597	135943.285	136787.863	131115.457
100	134490.192	129019.915	130236.999	124437.960
E_{01}/E_{02}	$\mu_1 = \mu_2 = 0$		$\eta_1(\bar{z}) = -\bar{z}^2, \mu_1 = \mu_2 = 0.9$	
10	344980.388	407935.142	357598.597	424150.407
20	270663.283	287946.983	280362.171	299392.765
30	230092.891	235042.722	238262.214	244385.580
40	203629.433	203571.767	210821.327	211663.667
50	184630.188	182123.728	191129.005	189363.076
60	170140.854	166307.458	176115.503	172918.116
70	158621.315	154025.366	164181.724	160147.815
80	149179.577	144132.338	154401.994	149861.544
90	141258.597	135943.285	146198.462	141346.979
100	134490.192	129019.915	139189.303	134148.407

Çizelge 4.2.8, KDPT ve KPT kullanıldığında, ortotrop platin Young modülleri ve yoğunluğu aynı anda kalınlık koordinatına göre parabolik, yani $\eta_i(\bar{z}) = \pm \bar{z}^2$, ($i = 1, 2$) şeklinde değiştiğinde ve dalga sayıları $(m, n) = (40, 1)$ olduğunda E_{01}/E_{02} oranının değişimine göre serbest titreşim frekansı değerlerinin değişimini göstermektedir. Çizelge 4.2.8. esas alınarak, Şekil 4.2.11 eğrisi elde edilmiştir.

Çizelge 4.2.8’ den görüldüğü gibi, kayma deformasyonlu plak teorisinin parabolik kayma deformasyonlu versiyonu ve klasik teori kullanıldığı durumlarda, E_{01}/E_{02} oranı arttığında serbest titreşim frekansı değerleri değişmemektedir. Şekil 4.2.11’den görüldüğü gibi, homojen malzemenin oluşan ve Young Modülleri ile yoğunluk fonksiyonu $\eta_1(\bar{z}) = \mp \bar{z}^2$ şeklinde değişen ortotrop plaklar için $(m,n)=(40,1)$ olduğunda enine kayma deformasyonunun serbest titreşim frekansının değerlerine etkisi E_{01}/E_{02} oranının bütün değerlerinde yaklaşık olarak % 58 civarındadır.



Şekil 4.2.11. $(m,n)=(40,1)$ ve E_{01}/E_{02} oranı için KDPT ve KPT kullanıldığında homojen ortotrop plak ve Young modülleri ve yoğunluğu aynı anda parabolik değişen ortotrop plak için enine kayma deformasyonunun serbest titreşim frekansı değerlerine etkisinin değişimi

Çizelge 4.2.8’den görüldüğü gibi, plagi oluşturan malzemenin Young modülleri ve yoğunluğu $\eta_1(\bar{z}) = +\bar{z}^2$ şeklinde değiştiğinde, homojen plaga kıyasla serbest titreşim frekansı, önceki durumlarda olduğu gibi, % 3.55 kadar küçük değer almaktadır. Plagi oluşturan malzemenin Young modülleri ve yoğunluğu $\eta_1(\bar{z}) = -\bar{z}^2$ şeklinde olduğunda ise, homojen plaga kıyasla serbest titreşim frekansı daha önceki durumda da gözlemlendiği gibi, % 4 kadar büyük değer almaktadır. Ayrıca, bu etki oranı, dalga sayısının değişimine ve E_{01}/E_{02} oranının değişimine bağlı değildir. Homojen olmamanın titreşim frekansına etkisi enine kayma deformasyonu etkisinin göz önüne

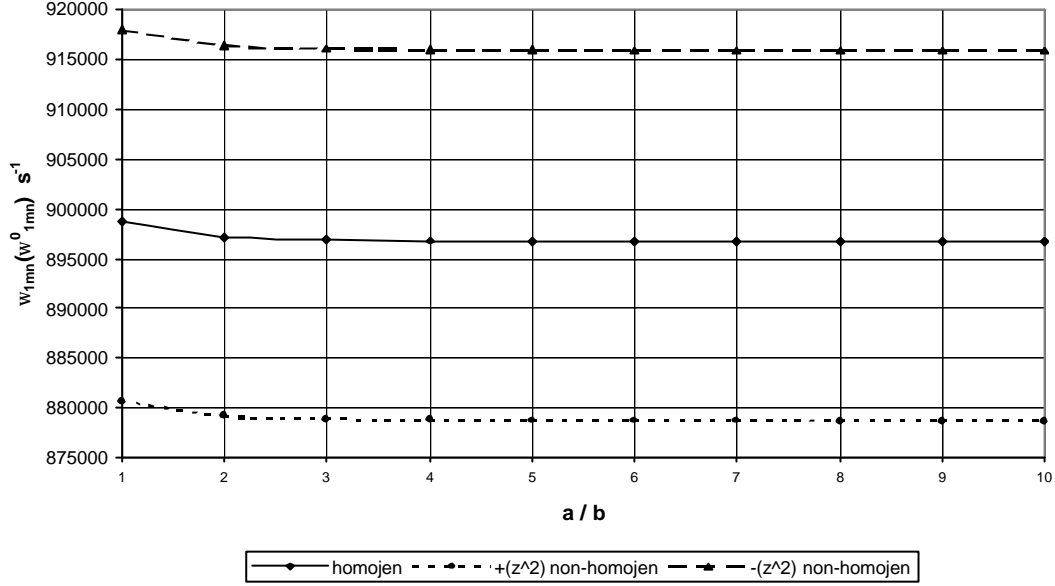
alindigi ve alınmadigi durumlarda ayni olup, E_{01}/E_{02} oraninin artisina göre de degisim göstermemektedir. $n=1$ ve boyuna dalga sayisinin artan degerleri için elde edilen sonuçlar ayni seyirde devam etmektedir. Ancak $(n,m)=(1,40)$ degerleri, sonuçlar daha net görüldüğü için seçilmiştir.

Çizelge 4.2.8. KDPT ve KPT kullanildiginda ortotrop plagin Young modülleri ve yogunlugu ayni anda kalinlik koordinatina göre parabolik, yani $\eta_i(\bar{z}) = \pm \bar{z}^2$, ($i = 1,2$) seklinde degistiginde, $(m,n)=(40,1)$ için E_{01}/E_{02} oraninin degisimine göre titresim frekansinin degisimi

(m,n)=(40,1)	$\mu_1 = \mu_2 = 0$		$\eta_1(\bar{z}) = +\bar{z}^2$, $\mu_1 = \mu_2 = 0.9$	
E_{01}/E_{02}	ω_{1mn}^0	ω_{2mn}^0	ω_{1mn}	ω_{2mn}
10	564029.952	1374505.626	544000.506	1325692.059
20	563815.028	1371446.019	543793.214	1322741.110
30	563743.423	1370430.659	543724.151	1321761.809
40	563707.627	1369923.820	543689.626	1321272.970
50	563686.151	1369619.985	543668.913	1320979.925
60	563671.836	1369417.539	543655.105	1320784.670
70	563661.610	1369272.990	543645.243	1320645.253
80	563653.941	1369164.608	543637.846	1320540.721
90	563647.977	1369080.330	543632.093	1320459.434
100	563643.206	1369012.917	543627.491	1320394.416
E_{01}/E_{02}	$\mu_1 = \mu_2 = 0$		$\eta_1(\bar{z}) = -\bar{z}^2$, $\mu_1 = \mu_2 = 0.9$	
10	564029.952	1374505.626	586448.349	1429141.696
20	563815.028	1371446.019	586224.886	1425960.471
30	563743.423	1370430.659	586150.435	1424904.751
40	563707.627	1369923.820	586113.216	1424377.764
50	563686.151	1369619.985	586090.888	1424061.852
60	563671.836	1369417.539	586076.003	1423851.360
70	563661.610	1369272.990	586065.371	1423701.066
80	563653.941	1369164.608	586057.398	1423588.375
90	563647.977	1369080.330	586051.196	1423500.746
100	563643.206	1369012.917	586046.235	1423430.654

Çizelge 4.2.9, KDPT ve KPT kullanildiginda, ortotrop plagin Young modülleri ve yogunlugu ayni anda kalinlik koordinatina göre parabolik, yani $\eta_i(\bar{z}) = \pm \bar{z}^2$, ($i = 1,2$) seklinde degistiginde, $h=0.01$ m ve dalga sayilari $(m,n)=(1,40)$ oldugunda a/b oraninin degisimine göre serbest titresim frekansi degerlerinin degisimini göstermektedir. Çizelge 4.2.9. esas alinarak, Sekil 4.2.12 egrileri elde edilmiştir.

Çizelge 4.2.9 ve Sekil 4.2.12'den görüldüğü gibi, enine kayma deformasyonlarının etkisi göz önüne alındığı ve alınmadığı durumlarda, a/b oranı arttığında serbest titreşim frekansı değerleri yavaş fakat düzenli bir azalma göstermektedir.



Sekil 4.2.12. $(m,n)=(1,40)$, $h=0.01$ m ve a/b oranı için KDPT dikkate alındığında homojen ortotrop plak ve Young modülleri ve yoğunluğu aynı anda parabolik değişen ortotrop plak için serbest titreşim frekansı değerlerinin değişimi

Çizelge 4.2.9'dan görüldüğü gibi, homojen malzemeden oluşan ortotrop plak için, kayma deformasyonlu plak teorisinin parabolik kayma deformasyonlu versiyonu ile elde edilen sonuçlar, klasik teori kullanılarak elde edilen sonuçlar ile karşılaştırıldığında ortaya çıkan etki, $(m,n)=(1,40)$ ve $a/b=1$ için % 48.396 olup, $a/b=10$ için % 48.464 olmaktadır. $a/b=1$ özel hal olup, ortotrop kompozit kare plaktır. Ortotrop kompozit platin Young modülleri ve yoğunluğu $\eta_1(\bar{z}) = +\bar{z}^2$ fonksiyonu ile değiştiğinde, enine kayma deformasyonunun serbest titreşim frekansı değerlerine etkisi $(m,n)=(1,40)$ ve $a/b=1$ için % 47.571 olup, $a/b=10$ için % 47.640 olmaktadır. Ortotrop kompozit platin Young modülleri ve yoğunluğu $\eta_1(\bar{z}) = -\bar{z}^2$ fonksiyonu ile değiştiğinde ise, enine kayma deformasyonunun serbest titreşim frekansı değerlerine etkisi $(m,n)=(1,40)$ ve $a/b=1$ için % 49.308, $a/b=10$ için ise %

49.374 olmaktadır. Homojen ve Young modülleri ile yoğunlugun $\eta_1(\bar{z}) = \pm \bar{z}^2$ şeklinde degistigi durumlarda, a/b oranındaki artisin, (m,n)=(1,40) için enine kayma deformasyonunun serbest titresim frekansi degerlerine olan etkisini neredeyse degistirmedigi açıkça görülmektedir.

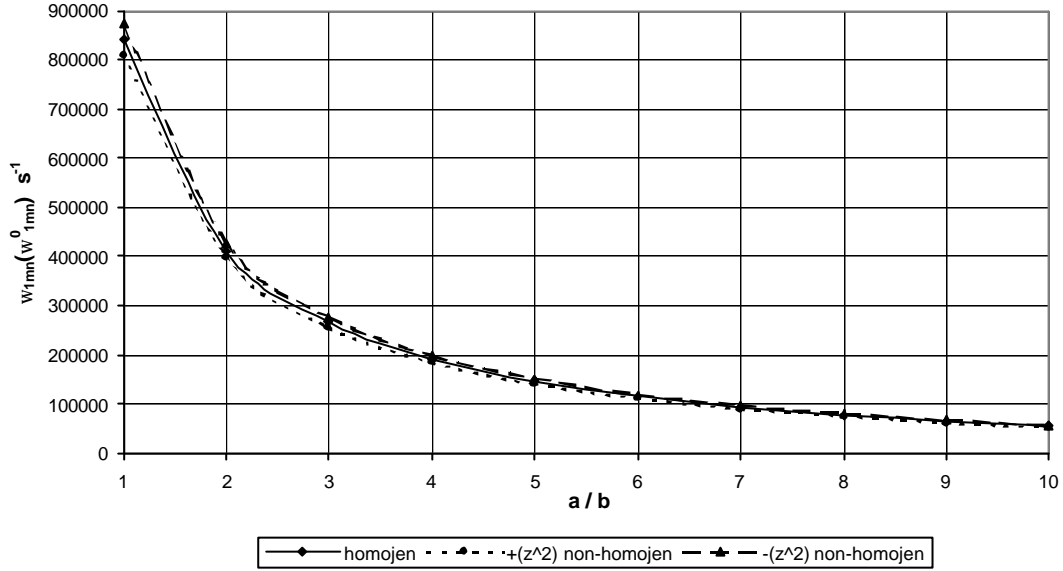
Çizelge 4.2.9'dan görüldüğü gibi, klasik teori kullanılarak bulunan sonuçlara göre, plagi olusturan malzemenin Young modülleri ve yoğunlugu $\eta_1(\bar{z}) = +\bar{z}^2$ şeklinde degistiginde homojen plaga kiyasla serbest titresim frekansi % 3.55 kadar küçük deger almaktadır. Plagi olusturan malzemenin Young modülleri ve yoğunlugu $\eta_1(\bar{z}) = -\bar{z}^2$ şeklinde degistiginde ise, homojen plaga göre serbest titresim frekansi % 3.97 kadar büyük deger almaktadır. Kayma deformasyonlu plak teorisinin parabolik kayma deformasyonlu versiyonunun göz önüne alindigi durumda ise, homojen olmamanin titresim frekansina etkisi, (m,n)=(1,40) için plagi olusturan malzemenin Young modülleri ve yoğunlugu $\eta_1(\bar{z}) = +\bar{z}^2$ şeklinde degistiginde % 2.01, plagi olusturan malzemenin Young modülleri ve yoğunlugu $\eta_1(\bar{z}) = -\bar{z}^2$ şeklinde degistiginde ise % 2.14 oranina sahiptir. Burada, homojen olmamanin titresim frekansina etkisinin a/b oraninin degisimine bagli olmadigi görülmektedir.

Çizelge 4.2.9. KDPT ve KPT kullanıldığında ortotrop plajın Young modülleri ve yoğunluğu aynı anda kalınlık koordinatına göre parabolik, yani $\eta_i(\bar{z}) = \pm \bar{z}^2$, ($i = 1, 2$) şeklinde değıstiginde, $(m, n) = (1, 40)$ ve $h = 0.01\text{m}$ için a/b oranının değısimine göre titresim frekansinin değısimi

(m,n)=(1,40)	$\mu_1 = \mu_2 = 0$		$\eta_1(\bar{z}) = +\bar{z}^2, \mu_1 = \mu_2 = 0.9$	
a/b	ω_{1mn}^0	ω_{2mn}^0	ω_{1mn}	ω_{2mn}
1	898703.547	1741537.016	880651.066	1679698.789
2	897192.104	1740320.760	879165.133	1678525.719
3	896904.625	1740096.159	878882.495	1678309.093
4	896803.423	1740017.595	878782.996	1678233.320
5	896756.478	1739981.240	878736.840	1678198.255
6	896730.949	1739961.493	878711.741	1678179.210
7	896715.547	1739949.587	878696.598	1678167.726
8	896705.546	1739941.861	878686.766	1678160.274
9	896698.688	1739936.563	878680.022	1678155.164
10	896693.782	1739932.774	878675.199	1678151.510
a/b	$\mu_1 = \mu_2 = 0$		$\eta_1(\bar{z}) = -\bar{z}^2, \mu_1 = \mu_2 = 0.9$	
1	898703.547	1741537.016	917914.287	1810751.743
2	897192.104	1740320.760	916376.028	1809487.148
3	896904.625	1740096.159	916083.462	1809253.621
4	896803.423	1740017.595	915980.471	1809171.935
5	896756.478	1739981.240	915932.696	1809134.135
6	896730.949	1739961.493	915906.715	1809113.603
7	896715.547	1739949.587	915891.041	1809101.224
8	896705.546	1739941.861	915880.864	1809093.190
9	896698.688	1739936.563	915873.884	1809087.683
10	896693.782	1739932.774	915868.891	1809083.743

Çizelge 4.2.10, KDPT ve KPT kullanıldığında, ortotrop plajın Young modülleri ve yoğunluğu aynı anda kalınlık koordinatına göre parabolik, yani $\eta_i(\bar{z}) = \pm \bar{z}^2$, ($i = 1, 2$) şeklinde değıstiginde, $h = 0.01\text{ m}$ ve dalga sayıları $(m, n) = (40, 1)$ olduğunda a/b oranının değısimine göre serbest titresim frekansı değıslerinin değısimini göstermektedir. Çizelge 4.2.10. esas alınarak, Sekil 4.2.13-4.2.14 egrileri elde edilmiştir.

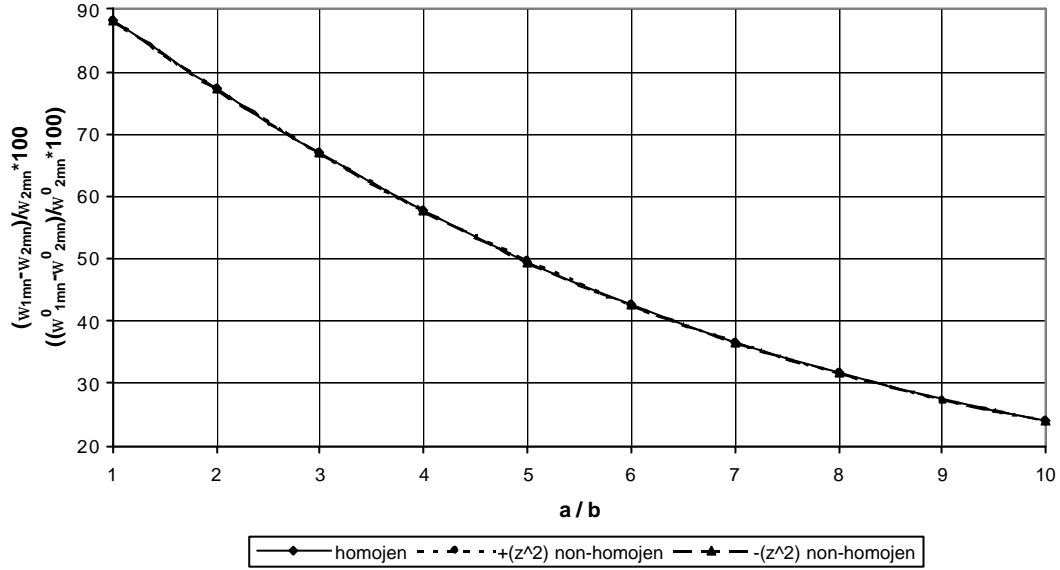
Kayma deformasyonlu plak teorisinin parabolik kayma deformasyonlu versiyonu ve klasik teori dikkate alındığında, a/b oranı arttığında serbest titreşim frekansı değerlerinin düzenli bir azalma gösterdiği Çizelge 4.2.10 ve Şekil 4.2.13’de görülmektedir.



Şekil 4.2.13. $(m,n)=(40,1)$, $h=0.01$ m ve a/b oranı için KDPT dikkate alındığında homojen ortotrop plak ve Young modülleri ve yoğunluğu aynı anda parabolik değişen ortotrop plak için serbest titreşim frekansı değerlerinin değişimi

Homojen malzemeden oluşan ortotrop plak için, kayma deformasyonlu plak teorisinin parabolik kayma deformasyonlu versiyonu ile elde edilen sonuçlar, klasik teori kullanılarak elde edilen sonuçlar ile kıyaslandığı zaman ortaya çıkan etki, $(m,n)=(40,1)$ için $a/b=1$ olduğunda % 88.391, $a/b=10$ için ise % 23.917 olmaktadır. Young modülleri ve yoğunluğu $\eta_1(\bar{z}) = +\bar{z}^2$ fonksiyonu ile değişen ortotrop kompozit platin enine kayma deformasyonunun serbest titreşim frekansı değerlerine etkisi $(m,n)=(40,1)$ olduğunda $a/b=1$ için % 88.391 oranına sahipken, $a/b=10$ için ise % 23.914 olmaktadır. Ortotrop kompozit platin Young modülleri ve yoğunluğu $\eta_1(\bar{z}) = -\bar{z}^2$ fonksiyonu ile değiştiğinde ise, enine kayma deformasyonunun serbest titreşim frekansı değerlerine etkisi $(m,n)=(40,1)$ olduğunda ve $a/b=1$ için % 88.392, $a/b=10$ için % 23.920 oranına sahip olmaktadır. Homojen ve

ortotrop kompozit plagin Young modülleri ile yogunlugu $\eta_1(\bar{z}) = -\bar{z}^2$ fonksiyonu ile degistiginde, a/b oraninin artmasinin, $(m,n)=(40,1)$ için enine kayma deformasyonunun serbest titresim frekansi degerlerine olan etkisini azalttigi açıkça görülmektedir (Sekil 4.2.14).



Sekil 4.2.14. $(m,n)=(40,1)$, $h=0.01$ m ve a/b orani için KDPT ve KPT kullanildiginda homojen ortotrop plak ve Young modülleri ve yogunlugu ayni anda parabolik degisen ortotrop plak için enine kayma deformasyonunun serbest titresim frekansi degerlerine etkisinin degisimi

Klasik teori kullanilarak elde edilen sonuçlar dikkate alindiginda, plagi olusturan malzemenin Young modülleri ve yogunlugu $\eta_1(\bar{z}) = +\bar{z}^2$ seklinde degistiginde homojen plaga kiyasla serbest titresim frekanslarinin % 3.55 kadar küçük degerler aldigı görülmektedir. Plagi olusturan malzemenin Young modüllerinin ve yogunlugunun $\eta_1(\bar{z}) = -\bar{z}^2$ seklinde degismesi durumunda ise, homojen plaga kiyasla serbest titresim frekanslari % 3.97 kadar büyük deger almaktadır. Kayma deformasyonlu plak teorisinin parabolik kayma deformasyonlu versiyonu dikkate alindiginda, homojen olmamanin titresim frekansina etkisi, plagi olusturan

malzemenin Young modülleri ve yoğunluğu $\eta_1(\bar{z}) = +\bar{z}^2$ şeklinde degistiginde, $(m,n)=(40,1)$ olduğunda % 3.55 oranına sahiptir. Plagi oluşturan malzemenin Young modülleri ve yoğunluğu $\eta_1(\bar{z}) = -\bar{z}^2$ şeklinde degistiginde ise, % 3.97 oranına sahiptir. Burada, homojen olmamanın titreşim frekansına etkisinin a/b oranının degisimine bağlı olmadığı, ayrıca enine kayma deformasyonu etkisinin homojen olmamayı etkilemediği görülmektedir (Çizelge 4.2.10).

Çizelge 4.2.9 ve Çizelge 4.2.10 arasında bir karşılaştırma yapılacak olursa, Çizelge 4.2.9'da $(m,n)=(1,40)$ için a/b oranı enine kayma deformasyonu etkisini fazla degistirmeyenken, Çizelge 4.2.10'da $(m,n)=(40,1)$ için a/b oranının enine kayma deformasyonu etkisini degistirdiği gözlenebilir.

Çizelge 4.2.10. KDPT ve KPT kullanıldığında ortotrop platin Young modülleri ve yoğunluğu aynı anda kalınlık koordinatına göre parabolik, yani $\eta_i(\bar{z}) = \pm\bar{z}^2, (i = 1,2)$ şeklinde degistiginde, $(m,n)=(40,1)$ ve $h=0.01m$ için a/b oranının degisimine göre titreşim frekansının degisimi

(m,n)=(40,1)	$\mu_1 = \mu_2 = 0$		$\eta_1(\bar{z}) = +\bar{z}^2, \mu_1 = \mu_2 = 0.9$	
	ω_{1mn}^0	ω_{2mn}^0	ω_{1mn}	ω_{2mn}
1	839909.252	7235053.526	810115.649	6978152.364
2	411816.342	1809055.001	397208.224	1744819.356
3	266169.950	804240.776	256728.260	775683.919
4	191737.517	452556.171	184936.124	436486.876
5	146288.470	289776.849	141099.263	279487.497
6	115693.164	201353.947	111589.247	194204.302
7	93824.456	148038.178	90496.275	142781.661
8	77554.259	113434.657	74803.221	109406.837
9	65096.009	89711.071	62786.894	86525.624
10	55344.626	72742.210	53381.417	70159.291
a/b	$\mu_1 = \mu_2 = 0$		$\eta_1(\bar{z}) = -\bar{z}^2, \mu_1 = \mu_2 = 0.9$	
1	839909.252	7235053.526	873252.876	7522599.670
2	411816.342	1809055.001	428165.073	1880953.127
3	266169.950	804240.776	276736.654	836204.096
4	191737.517	452556.171	199349.323	470542.324
5	146288.470	289776.849	152095.991	301293.586
6	115693.164	201353.947	120286.079	209356.452
7	93824.456	148038.178	97549.204	153921.729
8	77554.259	113434.657	80633.095	117942.944
9	65096.009	89711.071	67680.263	93276.500
10	55344.626	72742.210	57541.759	75633.238

Çizelge 4.2.11, KDPT ve KPT kullanıldığında, ortotrop plagin Young modülleri ve yoğunluğu aynı anda kalınlık koordinatına göre parabolik, yani $\eta_i(\bar{z}) = \pm \bar{z}^2$, ($i = 1, 2$) şeklinde değiştiğinde, $h=0.02$ m ve dalga sayıları $(m,n)=(1,40)$ olduğunda a/b oranının değişimine göre serbest titreşim frekansı değerlerinin değişimini göstermektedir.

Çizelge 4.2.11'de, kayma deformasyonlu plak teorisinin parabolik kayma deformasyonlu versiyonu ve klasik teori dikkate alındığında, a/b oranı arttığında serbest titreşim frekansı değerlerinin yavaş fakat düzenli bir azalma gösterdiği görülmektedir.

Çizelge 4.2.11'den görüldüğü gibi, homojen malzemeden oluşan ortotrop plak için, kayma deformasyonlu plak teorisinin parabolik kayma deformasyonlu versiyonu kullanılarak elde edilen titreşim frekansı sonuçları ile klasik teori kullanılarak elde edilen titreşim frekansı sonuçları kıyaslandığı zaman ortaya çıkan etki, $h=0.02$, $(m,n)=(1,40)$ ve $a/b=1$ için % 71.065, $a/b=10$ için ise % 71.204 olmaktadır. Ortotrop kompozit dikdörtgen plagin Young modülleri ve yoğunluğu $\eta_1(\bar{z}) = +\bar{z}^2$ fonksiyonu ile değiştiğinde enine kayma deformasyonunun serbest titreşim frekansı değerlerine etkisi $(m,n)=(1,40)$ ve $a/b=1$ için % 70.483 olurken, $a/b=10$ için % 70.626 olmaktadır. Plagin Young modüllerinin ve yoğunluğunun $\eta_1(\bar{z}) = -\bar{z}^2$ fonksiyonu ile değişmesi durumunda ise, enine kayma deformasyonunun serbest titreşim frekansı değerlerine etkisi $(m,n)=(1,40)$ ve $a/b=1$ için % 71.701 olurken, $a/b=10$ için % 71.835 olmaktadır. Homojen veya homojen olmayan durumda, a/b oranının artmasının, $h=0.02$ ve $(m,n)=(1,40)$ için enine kayma deformasyonunun serbest titreşim frekansı değerlerine olan etkisini neredeyse değiştirmedigi açıkça görülmektedir.

Sonuçlar klasik teori kullanılarak elde edildiğinde, plagi oluşturan malzemenin Young modülleri ve yoğunluğu $\eta_1(\bar{z}) = +\bar{z}^2$ şeklinde değiştiğinde homojen plaga kıyasla serbest titreşim frekansı % 3.55 kadar küçük değer almaktadır. Dikdörtgen plagi oluşturan malzemenin Young modülleri ve yoğunluğu $\eta_1(\bar{z}) = -\bar{z}^2$ şeklinde

degistiginde ise, homojen plaga kiyasla serbest titresim frekansi % 3.97 kadar büyük deger almaktadır. Kayma deformasyonlu plak teorisinin parabolik kayma deformasyonlu versiyonu göz önüne alındiginda ise, homojen olmamanin titresim frekansina etkisi, plagi olusturan malzemenin Young modülleri ve yogunlugu $\eta_1(\bar{z}) = +\bar{z}^2$ seklinde degistiginde, (m,n)=(1,40) için % 1.61 oranina sahiptir. Plagi olusturan malzemenin Young modülleri ve yogunlugu $\eta_1(\bar{z}) = -\bar{z}^2$ seklinde degistiginde ise, (m,n)=(1,40) için % 1.69 oranina sahiptir. Burada, homojen olmamanin titresim frekansina etkisinin a/b oraninin degisimine bagli olmadigi görülmektedir (Çizelge 4.2.11).

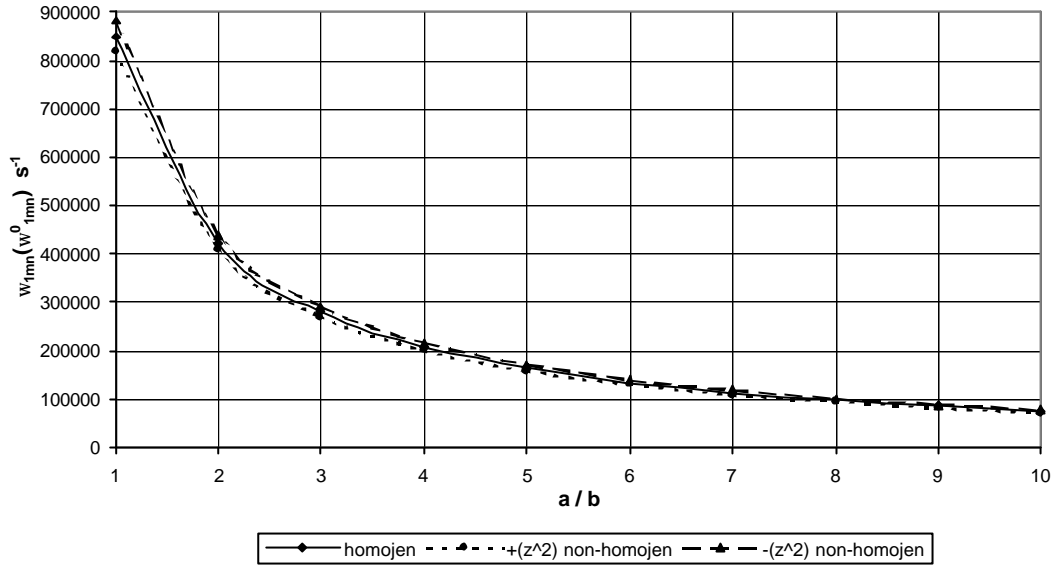
Çizelge 4.2.9 ve Çizelge 4.2.11 arasında bir kiyaslama yapılacak olursa, h=0.02 oldugunda alinan serbest titresim frekansi degerleri ile enine kayma deformasyonunun etkileri h=0.01 oldugunda alinan degerler ile enine kayma deformasyonunun etkilerinden daha büyüktür. Ayrica h degerinin degismesi, homojen olmamanin klasik teori ile alinan titresim frekansi degerleri üzerindeki etkisini degistirmezken, kayma deformasyonlu plak teorisinin parabolik kayma deformasyonlu versiyonu ile elde edilen neticeler üzerindeki etkisini azaltmaktadır.

Çizelge 4.2.11. KDPT ve KPT kullanıldığında ortotrop platin Young modülleri ve yoğunluğu aynı anda kalınlık koordinatına göre parabolik, yani $\eta_i(\bar{z}) = \pm \bar{z}^2$, ($i = 1, 2$) şeklinde değiştiğinde, $(m, n) = (1, 40)$ ve $h = 0.02\text{m}$ için a/b oranının değişimine göre titreşim frekansının değişimi

(m,n)=(1,40)	$\mu_1 = \mu_2 = 0$		$\eta_1(\bar{z}) = +\bar{z}^2, \mu_1 = \mu_2 = 0.9$	
a/b	ω_{1mn}^0	ω_{2mn}^0	ω_{1mn}	ω_{2mn}
1	1007810.329	3483074.033	991598.725	3359465.603
2	1003625.438	3480641.518	987453.408	3357119.417
3	1002741.364	3480192.317	986577.596	3356686.158
4	1002422.499	3480035.189	986261.703	3356534.606
5	1002273.188	3479962.480	986113.783	3356464.476
6	1002191.617	3479922.986	986032.972	3356426.384
7	1002142.274	3479899.174	985984.088	3356403.417
8	1002110.185	3479883.721	985952.297	3356388.511
9	1002088.154	3479873.126	985930.471	3356378.292
10	1002072.382	3479865.548	985914.845	3356370.984
a/b	$\mu_1 = \mu_2 = 0$		$\eta_1(\bar{z}) = -\bar{z}^2, \mu_1 = \mu_2 = 0.9$	
1	1007810.329	3483074.033	1024845.866	3621430.148
2	1003625.438	3480641.518	1020620.869	3618901.010
3	1002741.364	3480192.317	1019728.433	3618433.965
4	1002422.499	3480035.189	1019406.560	3618270.597
5	1002273.188	3479962.480	1019255.842	3618194.998
6	1002191.617	3479922.986	1019173.503	3618153.935
7	1002142.274	3479899.174	1019123.696	3618129.178
8	1002110.185	3479883.721	1019091.304	3618113.110
9	1002088.154	3479873.126	1019069.066	3618102.095
10	1002072.382	3479865.548	1019053.145	3618094.215

Çizelge 4.2.12, KDPT ve KPT kullanıldığında, ortotrop platin Young modülleri ve yoğunluğu aynı anda kalınlık koordinatına göre parabolik, yani $\eta_i(\bar{z}) = \pm \bar{z}^2$, ($i = 1, 2$) şeklinde değiştiğinde, $h = 0.02\text{ m}$ ve dalga sayıları $(m, n) = (40, 1)$ olduğunda a/b oranının değişimine göre serbest titreşim frekansı değerlerinin değişimini göstermektedir. Çizelge 4.2.12 esas alınarak, Şekil 4.2.15-4.2.16 eğrileri elde edilmiştir.

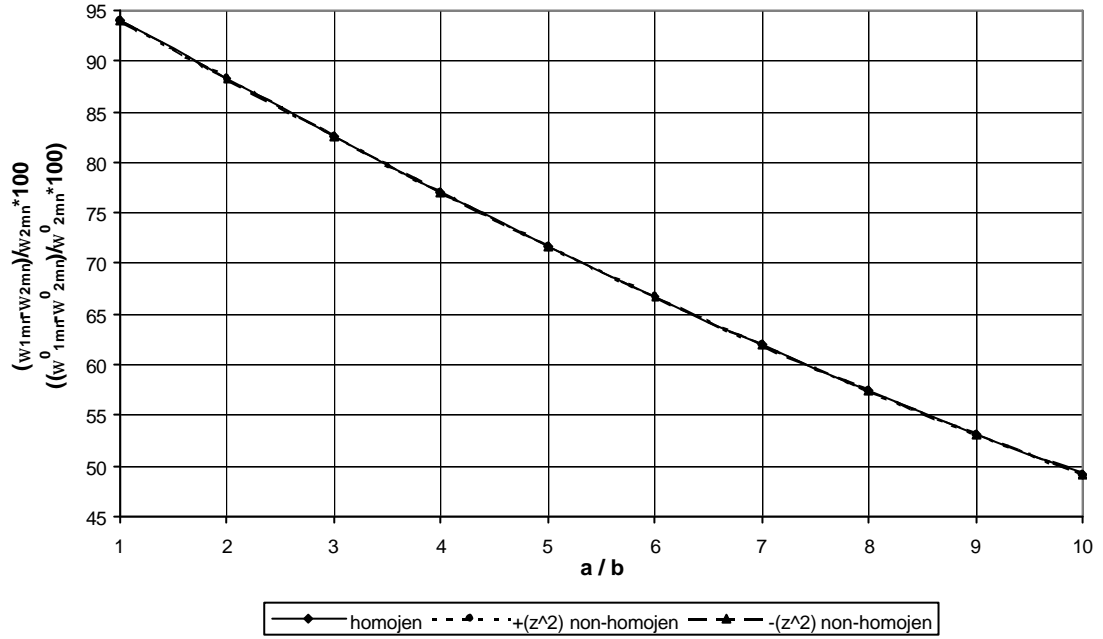
Kayma deformasyonlu plak teorisinin parabolik kayma deformasyonlu versiyonu ve klasik teori dikkate alındığında, a/b oranının artışına bağlı olarak serbest titreşim frekansı değerlerinin düzenli bir azalma gösterdiği Çizelge 4.2.12 ve Şekil 4.2.15' den görülebilmektedir.



Sekil 4.2.15. $(m,n)=(40,1)$, $h=0.02$ m ve a/b oranı için KDPT dikkate alındığında homojen ortotrop plak ve Young modülleri ve yoğunluğu aynı anda parabolik değişen ortotrop plak için serbest titreşim frekansı değerlerinin değişimi

Homojen malzemeden oluşan ortotrop plak için, kayma deformasyonlu plak teorisinin parabolik kayma deformasyonlu versiyonu kullanılarak bulunan sonuçlar, klasik teori kullanılarak bulunan sonuçlar ile kıyaslandığında ortaya çıkan etki, $(m,n)=(40,1)$ için $a/b=1$ olduğunda % 94.128, $a/b=10$ için ise % 49.178 olmaktadır. Young modülleri ve yoğunluğu $\eta_1(\bar{z}) = +\bar{z}^2$ fonksiyonu ile değişen homojen olmayan ortotrop kompozit platin enine kayma deformasyonunun serbest titreşim frekansı değerlerine etkisi $(m,n)=(40,1)$ olduğunda $a/b=1$ için % 94.127, $a/b=10$ için ise % 49.171 oranına sahip olmaktadır. Homojen olmayan ortotrop kompozit platin Young modülleri ve yoğunluğu $\eta_1(\bar{z}) = -\bar{z}^2$ fonksiyonu ile değiştiğinde ise, enine kayma deformasyonunun serbest titreşim frekansı değerlerine etkisi $(m,n)=(40,1)$ olduğunda ve $a/b=1$ için % 94.129, $a/b=10$ için ise % 49.187 oranına sahip olmaktadır.

Burada, homojen ve Young modülleri ile yoğunluğu $\eta_1(\bar{z}) = \pm \bar{z}^2$ şeklinde değişen homojen olmayan durumlarda, a/b oranındaki artışı, (m,n)=(40,1) için enine kayma deformasyonunun serbest titreşim frekansı değerlerine olan etkisini azalttığı görülebilmektedir (Şekil 4.2.16).



Şekil 4.2.16. (m,n)=(40,1), h=0.02 m ve a/b oranı için KDPT ve KPT kullanıldığında homojen ortotrop plak ve Young modülleri ve yoğunluğu aynı anda parabolik değişen ortotrop plak için enine kayma deformasyonunun serbest titreşim frekansı değerlerine etkisinin değişimi

Klasik teori kullanılarak elde edilen sonuçlar göz önüne alındığında, dikdörtgen plagi oluşturan malzemenin Young modüllerinin ve yoğunluğunun $\eta_1(\bar{z}) = +\bar{z}^2$ şeklinde değişmesi durumunda homojen plaga kıyasla serbest titreşim frekansı % 3.55 kadar küçük değer almaktadır. Plagi oluşturan malzemenin Young modüllerinin ve yoğunluğunun $\eta_1(\bar{z}) = -\bar{z}^2$ şeklinde değişmesi durumunda ise, homojen plaga göre serbest titreşim frekansı % 3.97 kadar büyük olmaktadır. Kayma deformasyonlu plak teorisinin parabolik kayma deformasyonlu versiyonunun dikkate alındığı durumda ise, homojen olmamanın titreşim frekansına etkisi, plagi oluşturan malzemenin

Young modülleri ve yoğunluğu $\eta_1(\bar{z}) = +\bar{z}^2$ şeklinde degistiginde, $(m,n)=(40,1)$ olduğunda % 3.53 oranına sahiptir. Bu oran, plagi olusturan malzemenin Young modülleri ve yoğunluğu $\eta_1(\bar{z}) = -\bar{z}^2$ şeklinde degistiginde ise, % 3.95 olmaktadır. Burada, homojen olmamanin titresim frekansina etkisinin a/b oraninin degisimine bagli olmadigi görülebilir (Çizelge 4.2.12).

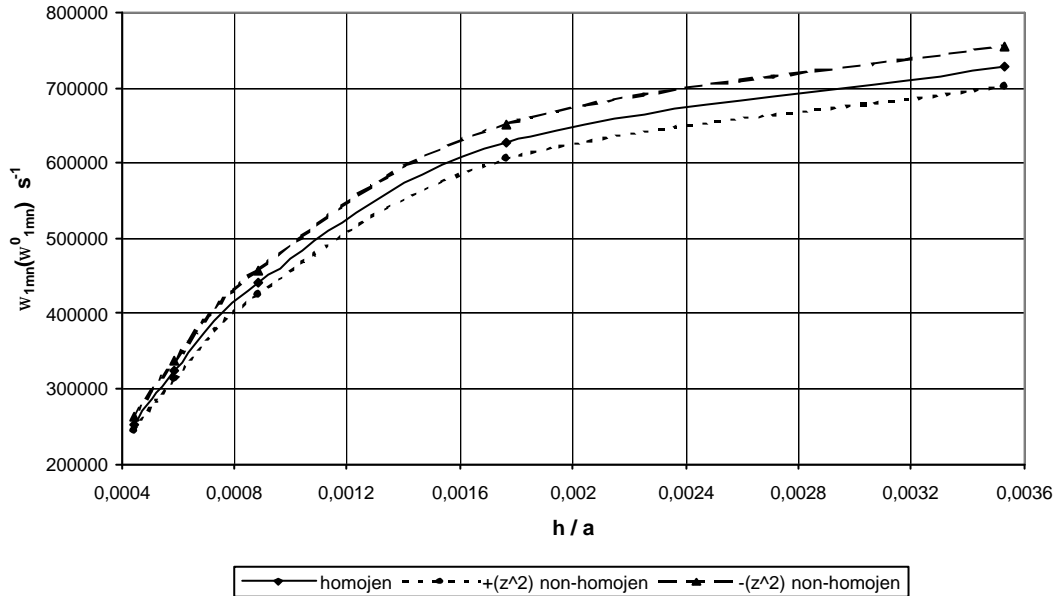
Çizelge 4.2.11 ve Çizelge 4.2.12 kiyaslanacak olursa, Çizelge 4.2.11'de $(m,n)=(1,40)$ için a/b oranine kayma deformasyonu etkisini fazla degistirmezken, Çizelge 4.2.12'de $(m,n)=(40,1)$ için a/b oraninin enine kayma deformasyonu etkisini degistirdigi görülebilir.

Çizelge 4.2.12. KDPT ve KPT kullanildiginda ortotrop plagin Young modülleri ve yoğunluğu ayni anda kalinalik koordinatina göre parabolik, yani $\eta_i(\bar{z}) = \pm\bar{z}^2$, $(i = 1,2)$ şeklinde degistiginde, $(m,n)=(40,1)$ ve $h=0.02m$ için a/b oraninin degisimine göre titresim frekansinin degisimi

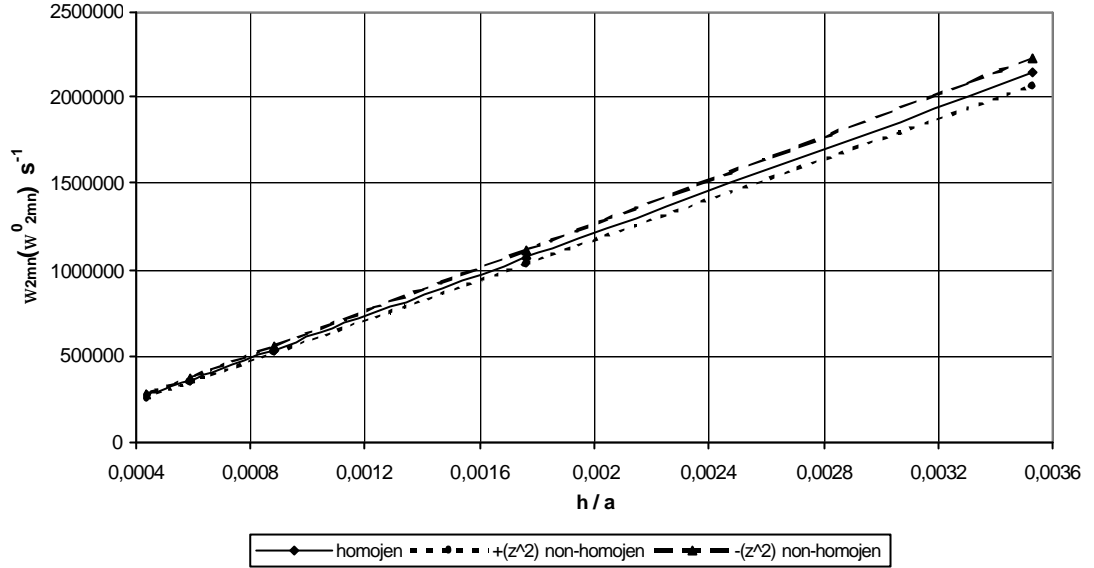
$(m,n)=(1,40)$	$\mu_1 = \mu_2 = 0$		$\eta_1(\bar{z}) = +\bar{z}^2, \mu_1 = \mu_2 = 0.9$	
a/b	ω_{1mn}^0	ω_{2mn}^0	ω_{1mn}	ω_{2mn}
1	849670.679	14470107.05	819637.151	13956587.34
2	422763.051	3618110.001	407819.536	3489709.375
3	279585.863	1608481.550	269703.268	1551399.252
4	207390.490	905112.341	200059.802	872991.430
5	163638.591	579553.697	157854.412	558986.313
6	134157.224	402707.894	129415.130	388416.470
7	112875.211	296076.355	108885.377	285569.105
8	96757.403	226869.314	93337.289	218818.104
9	84116.417	179422.141	81143.127	173054.752
10	73937.675	145484.421	71324.176	140321.424
a/b	$\mu_1 = \mu_2 = 0$		$\eta_1(\bar{z}) = +\bar{z}^2, \mu_1 = \mu_2 = 0.9$	
1	849670.679	14470107.05	883271.572	15044894.66
2	422763.051	3618110.001	439481.549	3761830.072
3	279585.863	1608481.550	290642.308	1672374.324
4	207390.490	905112.341	215591.913	941065.590
5	163638.591	579553.697	170109.812	602574.970
6	134157.224	402707.894	139462.582	418704.425
7	112875.211	296076.355	117338.955	307837.224
8	96757.403	226869.314	100583.756	235881.111
9	84116.417	179422.141	87442.873	186549.222
10	73937.675	145484.421	76861.605	151263.413

Çizelge 4.2.13, KDPT ve KPT kullanıldığında, ortotrop platin Young modülleri ve yoğunluğu aynı anda kalınlık koordinatına göre parabolik, yani $\eta_i(\bar{z}) = \pm \bar{z}^2$, ($i = 1, 2$) şeklinde değiştiğinde, dalga sayıları $(m, n) = (50, 1)$ olduğunda h/a oranının değişimine göre serbest titreşim frekansı değerlerinin değişimini göstermektedir. Çizelge 4.2.13 esas alınarak, Şekil 4.2.17-4.2.19 eğrileri elde edilmiştir.

Kayma deformasyonlu plak teorisinin parabolik kayma deformasyonlu versiyonu ve klasik teori dikkate alındığında, h/a oranının artışına bağlı olarak serbest titreşim frekansı değerlerinin düzenli bir artış gösterdiği Çizelge 4.2.13, Şekil 4.2.17 ve Şekil 4.2.18' den görülebilmektedir.



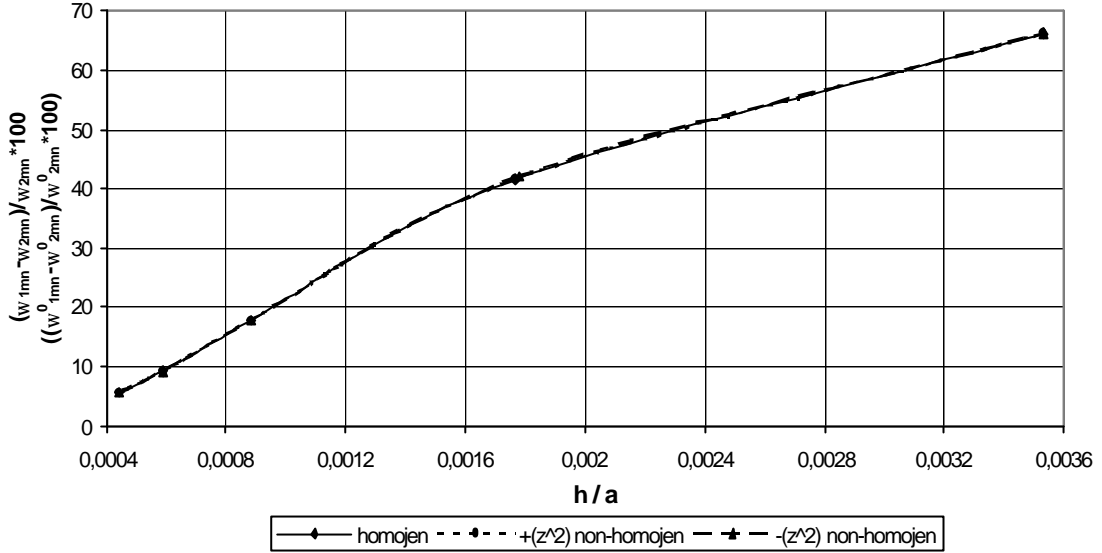
Şekil 4.2.17. $(m, n) = (50, 1)$ ve h/a oranı için KDPT dikkate alındığında homojen ortotrop plak ve Young modülleri ve yoğunluğu aynı anda parabolik değişen ortotrop plak için serbest titreşim frekansı değerlerinin değişimi



Sekil 4.2.18. (m,n)=(50,1) ve h/a oranı için KPT dikkate alındığında homojen ortotrop plak ve Young modülleri ve yoğunluğu aynı anda parabolik değişen ortotrop plak için serbest titreşim frekansı değerlerinin değişimi

Çizelge 4.2.13'den görüldüğü gibi, sonuçlar klasik teori kullanılarak elde edildiğinde, homojen olmamanın titreşim frekansına etkisi $\eta_1(\bar{z}) = +\bar{z}^2$ olduğunda % 3.155, $\eta_1(\bar{z}) = -\bar{z}^2$ olduğunda ise, yaklaşık % 4 oranında olup, h/a oranının değişimine bağlı değildir. Kayma deformasyonlu plak teorisinin parabolik kayma deformasyonlu versiyonunun dikkate alındığı durumda ise, homojen olmamanın titreşim frekansına etkisi $\eta_1(\bar{z}) = +\bar{z}^2$ olduğunda % 3.551, $\eta_1(\bar{z}) = -\bar{z}^2$ olduğunda ise, yaklaşık % 4 oranında olup, h/a oranının değişimine bağlı değildir.

Homojen ve Young modülleri ile yoğunluğu $\eta_1(\bar{z}) = \pm\bar{z}^2$ şeklinde değişen ortotrop dikdörtgen plaklar için, kayma deformasyonu etkisi aynı olup, h/a oranının artması ile bu etki artmakta ve (m,n)=(50,1) yaklaşık olarak % 66 oranına çıkmaktadır. Bu etkinin, m'nin artması ile artacağı açıkça görülmektedir (Sekil 4.2.19).



Sekil 4.2.19. $(m,n)=(50,1)$ ve h/a oranı için KDPT ve KPT kullanıldığında homojen ortotrop plak ve Young modülleri ve yoğunluğu aynı anda parabolik değişen ortotrop plak için enine kayma deformasyonunun serbest titreşim frekansı değerlerine etkisinin değişimi

Çizelge 4.2.13. KDPT ve KPT kullanıldığında ortotrop platin Young modülleri ve yoğunluğu aynı anda kalınlık koordinatına göre parabolik, yani $\eta_i(\bar{z}) = \pm \bar{z}^2$, $(i = 1,2)$ şeklinde değiştiğinde, $(m,n)=(50,1)$ için h/a oranının değişimine göre titreşim frekansının değişimi

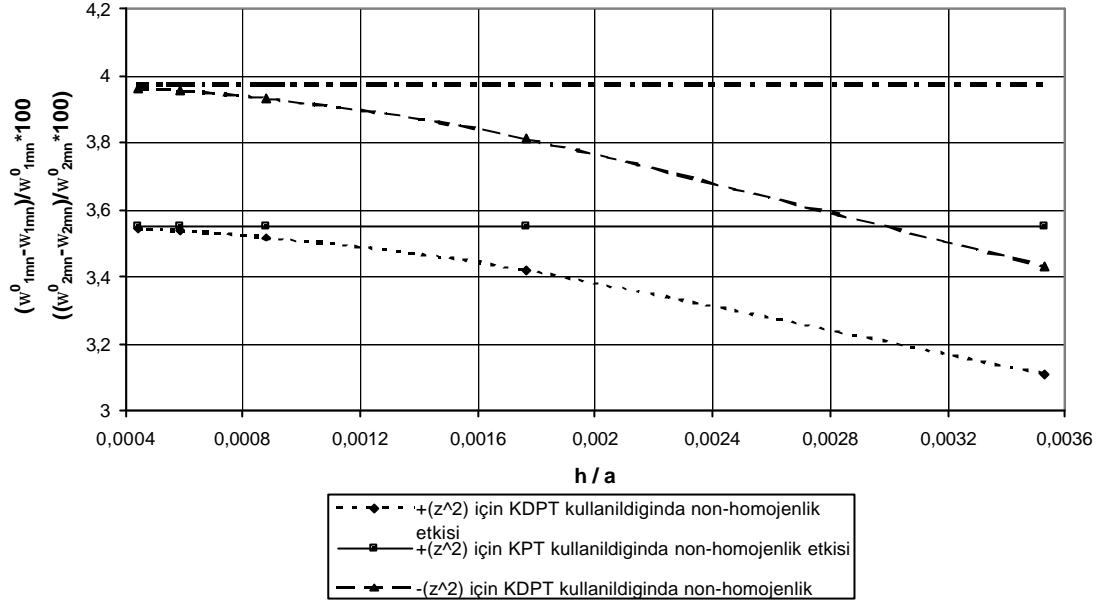
h/a	$\mu_1 = \mu_2 = 0$		$\eta_1(\bar{z}) = +\bar{z}^2, \mu_1 = \mu_2 = 0.9$	
	ω_{1mn}^0	ω_{2mn}^0	ω_{1mn}	ω_{2mn}
$(m,n)=(50,1)$				
0.00044125	253171.126	267949.992	244179.929	258433.924
0.00058833	324304.068	357266.656	312786.645	344578.569
0.0008825	440414.186	535899.984	424773.244	516867.868
0.001765	626966.157	1071799.967	604700.334	1033735.900
0.00353	727250.529	2143599.935	701424.905	2067473.103
$(m,n)=(50,1)$	$\mu_1 = \mu_2 = 0$		$\eta_1(\bar{z}) = -\bar{z}^2, \mu_1 = \mu_2 = 0.9$	
0.00044125	253171.126	267949.992	263234.788	278601.132
0.00058833	324304.068	357266.656	337195.280	371468.172
0.0008825	440414.186	535899.984	457920.766	557202.241
0.001765	626966.157	1071799.967	651887.794	1114404.307
0.00353	727250.529	2143599.935	756156.427	2228807.207

Çizelge 4.2.14, KDPT ve KPT kullanıldığında, ortotrop plajın Young modülleri ve yoğunluğu aynı anda kalınlık koordinatına göre parabolik, yani $\eta_i(\bar{z}) = \pm \bar{z}^2$, ($i = 1,2$) şeklinde değıstiginde, dalga sayıları $(m,n)=(1,50)$ olduğunda h/a oranının değısimine göre serbest titreşim frekansı değıerlerinin değısimini göstermektedir. Çizelge 4.2.14. esas alınarak, Sekil 4.2.20 elde edilmiştir.

Kayma deformasyonlu plak teorisinin parabolik kayma deformasyonlu versiyonu ve klasik teori dikkate alındığında, h/a oranının artisına bağılı olarak serbest titreşim frekansı değıerlerinin düzenli bir artis gösterdiği Çizelge 4.2.14' den görülebilmektedir.

Çizelge 4.2.14'den görüldüğü gibi, homojen ve Young modülleri ile yoğunluğun $\eta_1(\bar{z}) = \pm \bar{z}^2$ şeklinde değısmesi durumlarında, kayma deformasyonu etkisi yaklaşık aynı olup, h/a oranının artması ile bu etki artmakta ve $(m,n)=(1,50)$ için %11 oranına çıkmaktadır. Bu etkinin, m 'nin artması ile artacağı açıkça görülmektedir.

Klasik teori kullanıldığında, homojen olmamanın titreşim frekansına etkisi $\eta_1(\bar{z}) = +\bar{z}^2$ olduğunda % 3.155, $\eta_1(\bar{z}) = -\bar{z}^2$ olduğunda ise, % 4 oranında olup, h/a oranının değısimine bağılı değildir. Kayma deformasyonlu plak teorisinin parabolik kayma deformasyonlu versiyonu göz önüne alındığında ise, homojen olmamanın titreşim frekansına etkisi $\eta_1(\bar{z}) = +\bar{z}^2$ olduğunda $h/a=0.00044125$ için %3.543 oranını alır ve h/a oranı arttıkça bu oran azalarak $h/a=0.00353$ için % 3.111 olur. $\eta_1(\bar{z}) = -\bar{z}^2$ olduğunda ise, $h/a=0.00044125$ için %3.964 oranını almakta, ve h/a oranı arttıkça bu oran azalarak $h/a=0.00353$ için % 3.431 olmaktadır (Sekil 4.2.20).

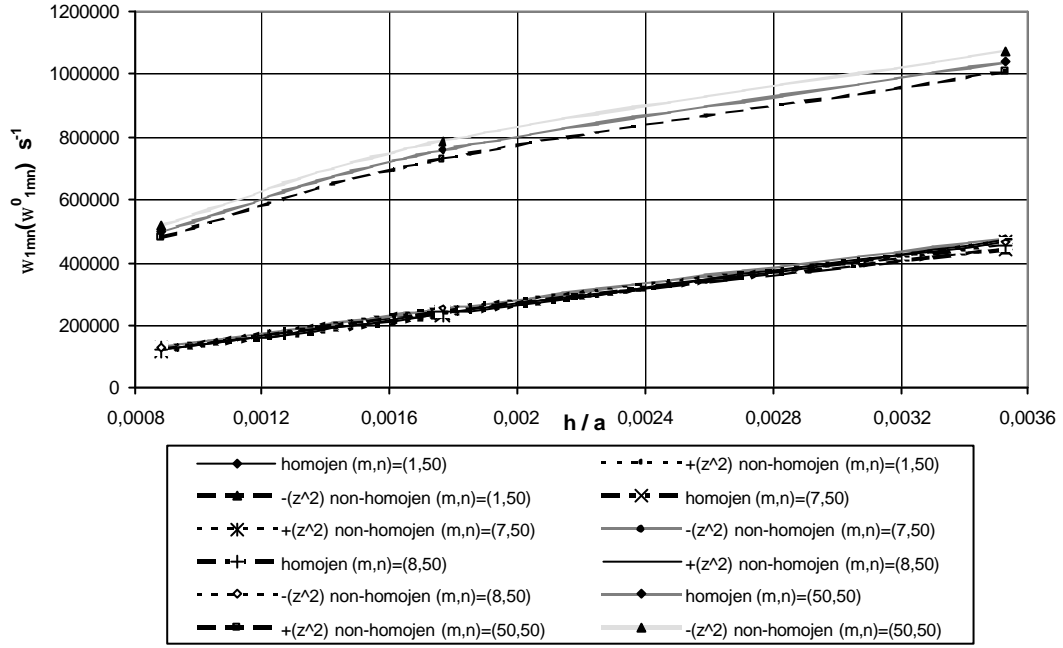


Sekil 4.2.20. $(m,n)=(1,50)$ ve h/a oranı için KDPT ve KPT kullanıldığında homojen ortotrop plak ve Young modülleri ve yoğunluğu aynı anda parabolik değişen ortotrop plak için homojen olmamanın serbest titreşim frekansı değerlerine etkisinin değişimi

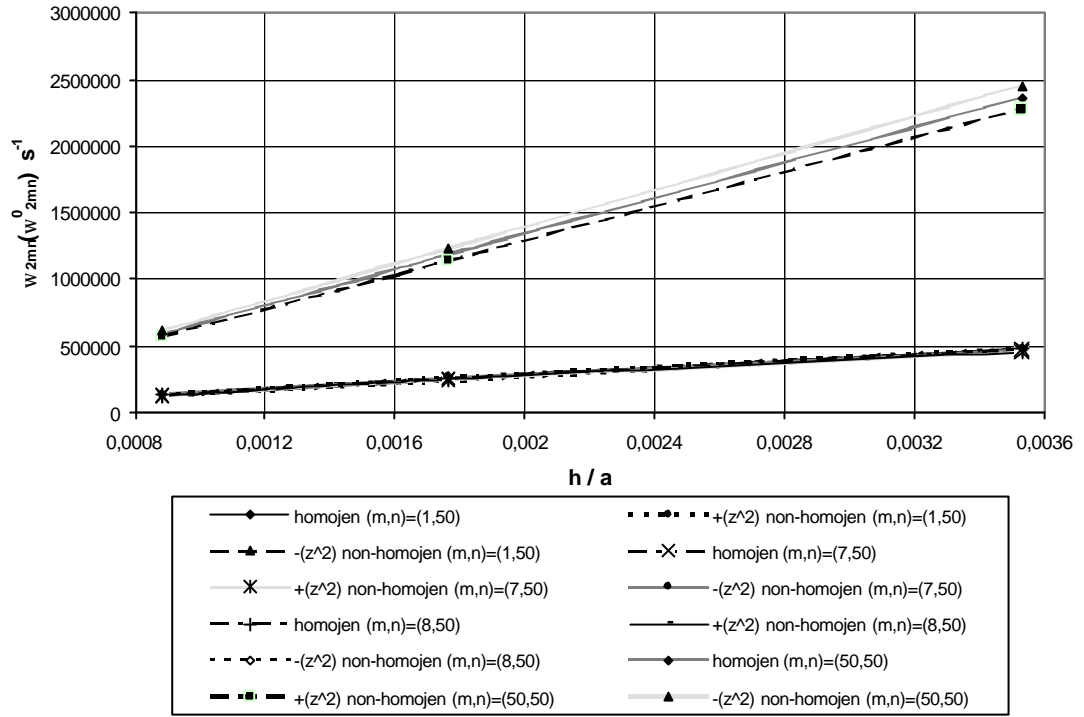
Çizelge 4.2.14. KDPT ve KPT kullanıldığında ortotrop platin Young modülleri ve yoğunluğu aynı anda kalınlık koordinatına göre parabolik, yani $\eta_i(\bar{z}) = \pm \bar{z}^2$, $(i=1,2)$ şeklinde değiştiğinde, $(m,n)=(1,50)$ için h/a oranının değişimine göre titreşim frekansının değişimi

h/a	$\mu_1 = \mu_2 = 0$		$\eta_1(\bar{z}) = +\bar{z}^2, \mu_1 = \mu_2 = 0.9$	
	ω_{1mn}^0	ω_{2mn}^0	ω_{1mn}	ω_{2mn}
$(m,n)=(1,50)$				
0.00044125	60352.076	60479.767	58213.933	58331.868
0.00058833	80337.758	80639.689	77496.933	77775.824
0.0008825	119947.613	120959.533	115728.762	116663.740
0.001765	234115.743	241919.067	226106.667	233327.516
0.00353	429159.0535	483838.134	415807.791	466655.327
$(m,n)=(1,50)$	$\mu_1 = \mu_2 = 0$		$\eta_1(\bar{z}) = -\bar{z}^2, \mu_1 = \mu_2 = 0.9$	
0.00044125	60352.076	60479.767	62744.560	62883.866
0.00058833	80337.758	80639.689	83515.798	83845.154
0.0008825	119947.613	120959.533	124664.268	125767.726
0.001765	234115.743	241919.067	243041.024	251535.415
0.00353	429159.054	483838.134	443884.993	503070.514

KDPT ve KPT kullanıldığında, ortotrop platin Young modülleri ve yoğunluğu aynı anda kalınlık koordinatına göre parabolik, yani $\eta_i(\bar{z}) = \pm \bar{z}^2$, ($i = 1, 2$) şeklinde değiştiğinde, dalga sayıları $(m,n)=(1,50)$, $(m,n)=(7,50)$, $(m,n)=(8,50)$, $(m,n)=(50,50)$ olduğunda h/a oranının değişimine göre serbest titreşim frekansı değerlerinin değişimi Çizelge 4.2.15, Sekil 4.2.21 ve Sekil 4.2.24’de görülmektedir.

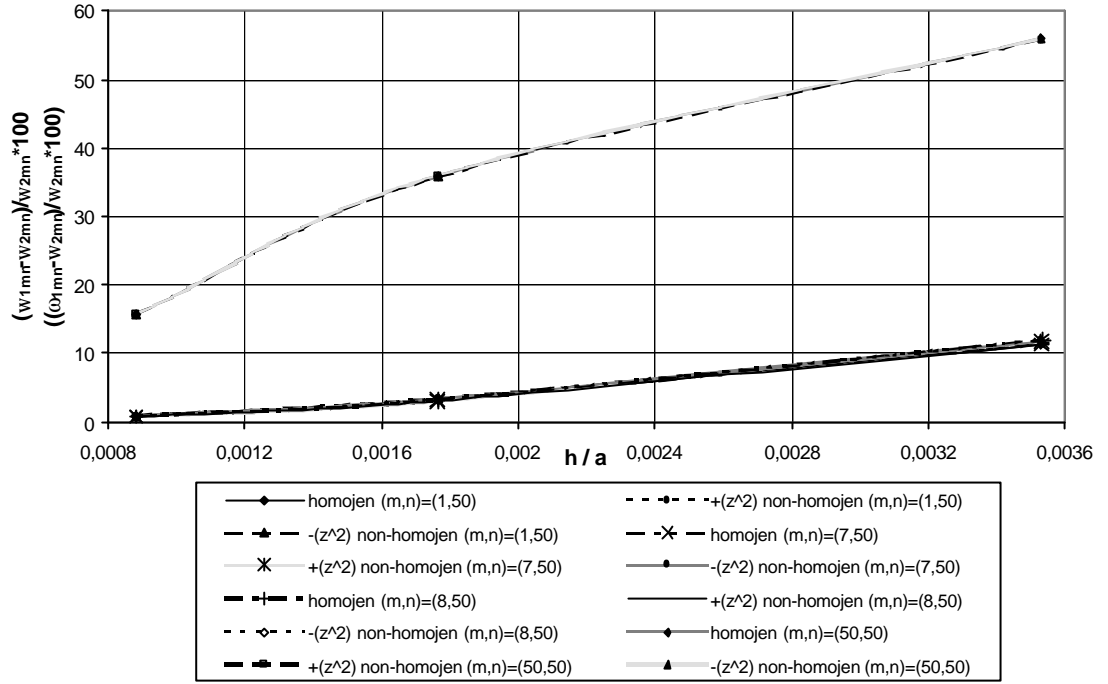


Sekil 4.2.21. $(m,n)=(m,50)$ ve h/a oranı için KDPT dikkate alındığında homojen ortotrop plak ve Young modülleri ve yoğunluğu aynı anda parabolik değişen ortotrop plak için serbest titreşim frekansı değerlerinin değişimi



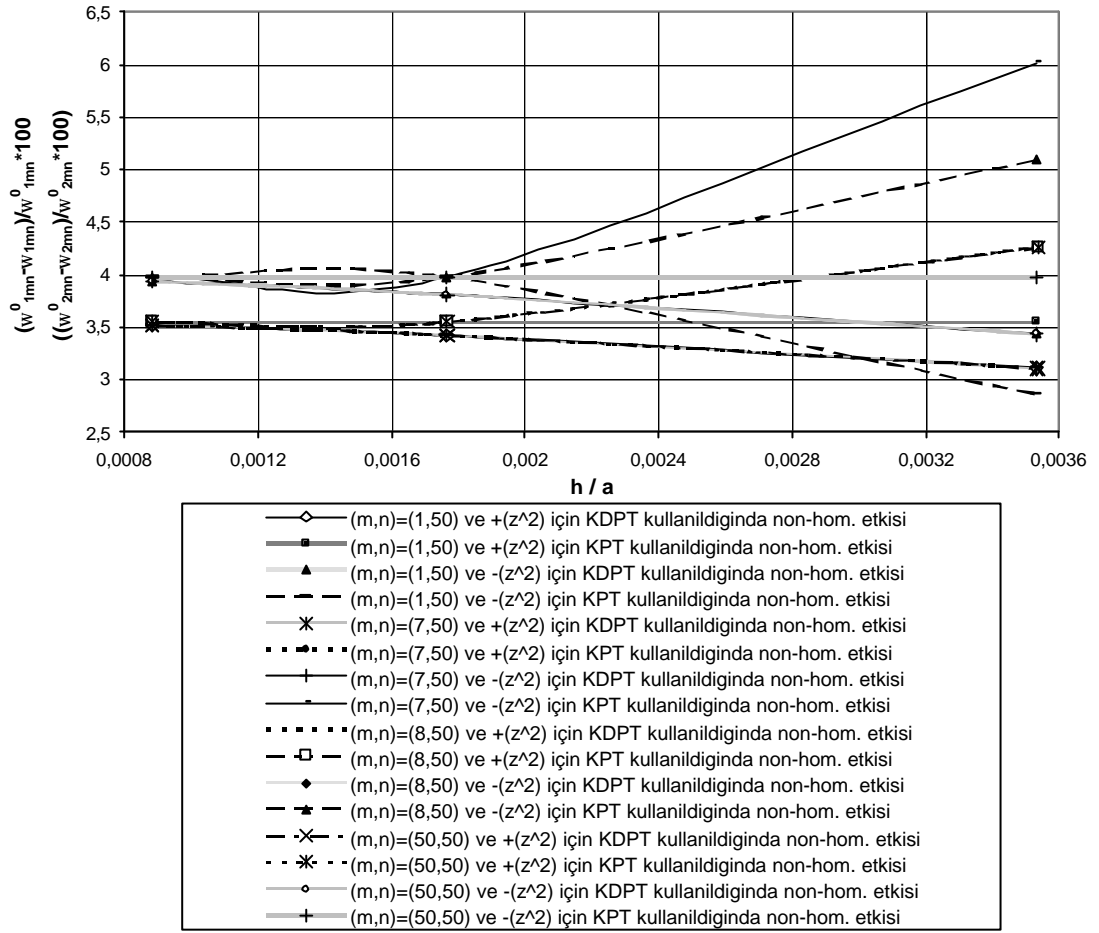
Sekil 4.2.22. (m,n)=(m,50) ve h/a oranı için KPT dikkate alındığında homojen ortotrop plak ve Young modülleri ve yoğunluğu aynı anda parabolik değişen ortotrop plak için serbest titreşim frekansı değerlerinin değişimi

Homojen ve Young modülleri ile yoğunluğun $\eta_1(\bar{z}) = \pm \bar{z}^2$ şeklinde değiştiği durumlarda, kayma deformasyonunun titreşim frekansı değerlerine etkisi, h/a oranının artması ile artmaktadır. Bu etki, dalga sayıları (m,n)=(1,50) için %11.7, (m,n)=(7,50) için % 11.5, (m,n)=(8,50) için % 11.6, (m,n)=(50,50) için ise % 56 oranlarına sahip olmaktadır. Burada (m,n)=(7,50) için etki oranı minimum değere sahip olup, m'nin sonraki artışına bağlı olarak artmaktadır (Sekil 4.2.23).



Sekil 4.2.23. $(m,n)=(m,50)$ ve h/a oranı için KDPT ve KPT kullanıldığında homojen ortotrop plak ve Young modülleri ve yoğunluğu aynı anda parabolik değişen ortotrop plak için enine kayma deformasyonunun serbest titreşim frekansı değerlerine etkisinin değişimi

Klasik teori kullanılarak alınan sonuçlar dikkate alındığında, homojen olmamanın titreşim frekansına etkisi $\eta_1(\bar{z}) = +\bar{z}^2$ olduğunda % 3.155, $\eta_1(\bar{z}) = -\bar{z}^2$ olduğunda ise, % 4 oranında olup, h/a oranının değişimine bağlı değildir. Kayma deformasyonlu plak teorisinin parabolik kayma deformasyonlu versiyonu dikkate alındığında ise, homojen olmamanın titreşim frekansına etkisi $\eta_1(\bar{z}) = +\bar{z}^2$ olduğunda $h/a=0.00044125$ için %3.543 oranını alır ve h/a oranı arttıkça bu oran azalarak $h/a=0.00353$ için % 3.111 olur. $\eta_1(\bar{z}) = -\bar{z}^2$ olduğunda ise, $h/a=0.00044125$ için %3.964 oranını almakta, ve h/a oranı arttıkça bu oran azalarak $h/a=0.00353$ için % 3.431 olmaktadır. Burada, homojen olmamanın titreşim frekansına etkisinin h/a oranına bağlı olarak değiştiği görülmektedir (Sekil 4.2.24).



Sekil 4.2.24. $(m,n)=(m,50)$ ve h/a oranı için KDPT ve KPT kullanıldığında homojen ortotrop plak ve Young modülleri ve yoğunluğu aynı anda parabolik değişen ortotrop plak için homojen olmamanın serbest titreşim frekansı değerlerine etkisinin değişimi

Çizelge 4.2.15. KDPT ve KPT kullanıldığında ortotrop platin Young modülleri ve yoğunluğu aynı anda kalınlık koordinatına göre parabolik, yani $\eta_i(\bar{z}) = \pm \bar{z}^2$, ($i = 1, 2$) şeklinde değiştiğinde, $(m, n) = (m, 50)$ için h/a oranının değişimine göre titreşim frekansının değişimi

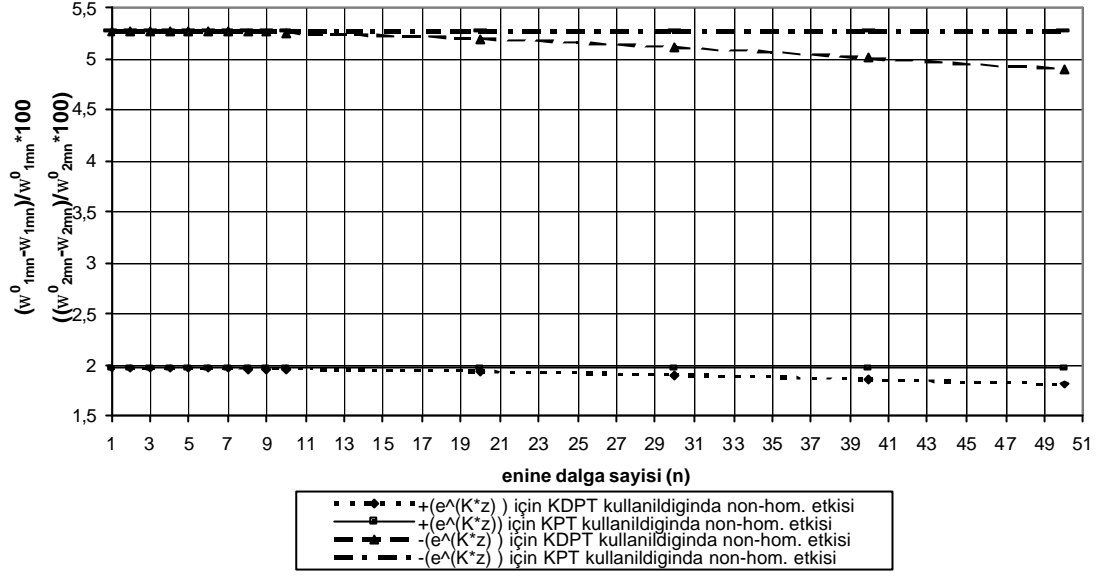
h/a	$\mu_1 = \mu_2 = 0$		$\eta_1(\bar{z}) = +\bar{z}^2, \mu_1 = \mu_2 = 0.9$	
(m,n)=(1,50)	ω_{1mn}^0	ω_{2mn}^0	ω_{1mn}	ω_{2mn}
0.0008825	119947.613	120959.533	115728.762	116663.740
0.001765	234115.743	241919.067	226106.667	233327.516
0.00353	429159.0535	483838.134	415807.791	466655.327
(m,n)=(1,50)	$\mu_1 = \mu_2 = 0$		$\eta_1(\bar{z}) = -\bar{z}^2, \mu_1 = \mu_2 = 0.9$	
0.0008825	119947.613	120959.533	124664.268	125767.726
0.001765	234115.743	241919.067	243041.024	251535.415
0.00353	429159.054	483838.134	443884.993	503070.514
(m,n)=(7,50)	$\mu_1 = \mu_2 = 0$		$\eta_1(\bar{z}) = +\bar{z}^2, \mu_1 = \mu_2 = 0.9$	
0.0008825	123991.110	125020.385	119630.040	120580.373
0.001765	242103.716	250040.771	233821.408	241160.785
0.00353	444456.928	500081.541	430630.954	482321.873
(m,n)=(7,50)	$\mu_1 = \mu_2 = 0$		$\eta_1(\bar{z}) = -\bar{z}^2, \mu_1 = \mu_2 = 0.9$	
0.0008825	123991.110	125020.385	128866.765	129990.000
0.001765	242103.716	250040.771	251333.480	259979.959
0.00353	444456.928	500081.541	459706.319	519959.590
(m,n)=(8,50)	$\mu_1 = \mu_2 = 0$		$\eta_1(\bar{z}) = +\bar{z}^2, \mu_1 = \mu_2 = 0.9$	
0.0008825	125391.623	126434.447	120981.294	121944.216
0.001765	244827.286	252868.894	236451.817	243888.469
0.00353	449376.574	505737.788	435397.878	487777.247
(m,n)=(8,50)	$\mu_1 = \mu_2 = 0$		$\eta_1(\bar{z}) = -\bar{z}^2, \mu_1 = \mu_2 = 0.9$	
0.0008825	125391.623	126434.447	130322.349	131460.271
0.001765	244827.286	252868.894	254160.868	262920.501
0.00353	449376.574	505737.788	464794.375	525840.671
(m,n)=(50,50)	$\mu_1 = \mu_2 = 0$		$\eta_1(\bar{z}) = +\bar{z}^2, \mu_1 = \mu_2 = 0.9$	
0.0008825	497538.362	589970.286	480038.864	569017.902
0.001765	756821.036	1179940.573	730932.204	1138035.983
0.00353	1038047.280	2359881.145	1005771.631	2276073.401
(m,n)=(50,50)	$\mu_1 = \mu_2 = 0$		$\eta_1(\bar{z}) = -\bar{z}^2, \mu_1 = \mu_2 = 0.9$	
0.0008825	497538.362	589970.286	517102.699	613421.862
0.001765	756821.036	1179940.573	785671.196	1226843.530
0.00353	1038047.280	2359881.145	1073644.024	2453685.513

Çizelge 4.2.16, KDPT ve KPT kullanıldığında, ortotrop platin Young modülleri ve yoğunluğu aynı anda kalınlık koordinatına göre üstel, yani $\eta_i(\bar{z}) = \pm e^{K^*|\bar{z}|}$, ($i = 1, 2$) şeklinde değiştiğinde, $K = -0.5$, $m = 1$ ve enine dalga sayısının değişik değerleri için titreşim frekansının değerlerini sunmaktadır. Çizelge 4.2.16 esas alınarak, Şekil 4.2.25 elde edilmiştir.

Çizelge 4.2.16' dan görüldüğü gibi, enine kayma deformasyonlarının etkisinin göz önüne alındığı ve alınmadığı durumlarda, n dalga sayısı arttığında serbest titreşim frekansı değerleri artmaktadır.

Çizelge 4.2.16' dan görüldüğü gibi, homojen malzemeden oluşan ortotrop plak için, kayma deformasyonlu plak teorisinin parabolik kayma deformasyonlu versiyonu kullanılarak bulunan sonuçlar, klasik teori kullanılarak bulunan sonuçlar ile kıyaslandığında ortaya çıkan etki, $n = 1$ için % 0.136 olup, $n = 3$ değerine kadar azalma göstererek burada minimum etki % 0.0746 olmakta, daha sonra ise bu etki, $n = 50$ için % 11.301 oranına kadar artmaktadır. Ortotrop kompozit dikdörtgen platin Young modülleri ve yoğunluğu $\eta_1(\bar{z}) = +e^{K^*|\bar{z}|}$ fonksiyonu ile değiştiğinde, enine kayma deformasyonunun serbest titreşim frekansı değerlerine etkisi $n = 1$ için % 0.136 olup, $n = 3$ değerine kadar bu etki azalmakta ve % 0.0753 minimum değerine sahip olmaktadır. $n = 4$ için etki % 0.0961 olup, buradan itibaren kayma deformasyonunun serbest titreşim frekansına etkisi artmakta ve $n = 50$ olduğunda % 11.438 oranına ulaşmaktadır. Ortotrop kompozit platin Young modülleri ve yoğunluğu $\eta_1(\bar{z}) = -e^{K^*|\bar{z}|}$ fonksiyonu ile değiştiğinde ise, enine kayma deformasyonunun serbest titreşim frekansı değerlerine etkisi $n = 1$ için % 0.136 olup, $n = 3$ değerine kadar bu etki azalmakta ve % 0.0728 minimum değerine sahip olmaktadır. $n = 4$ için etki % 0.0991 olup, buradan itibaren kayma deformasyonunun serbest titreşim frekansına etkisi artmakta ve $n = 50$ olduğunda % 10.945 oranına ulaşmaktadır. Buradan görüldüğü gibi, homojen durumda ve Young modülleri ile yoğunluğu $\eta_1(\bar{z}) = \pm e^{K^*|\bar{z}|}$ fonksiyonu şeklinde değişen ortotrop plaklar için dalga sayısı $n \geq 4$ olduğunda enine kayma deformasyonunun serbest titreşim frekansı değerlerine etkisi artmakta ve dalga sayısının büyük değerlerinde bu etki daha da önemli olmaktadır.

Kayma deformasyonlu plak teorisinin parabolik kayma deformasyonlu versiyonu göz önüne alındığında, plagi olusturan malzemenin Young modülleri ve yogunlugu $\eta_1(\bar{z}) = +e^{K*|\bar{z}|}$ seklinde degistiginde homojen plaga kiyasla serbest titresim frekansi, $(m,n)=(1,1)$ için % 1.97 kadar küçük deger almakta ve enine dalga sayisinin degisimine bagli olarak $(m,n)=(1,50)$ oldugunda bu oran % 1.81 olmaktadır., $\eta_1(\bar{z}) = -e^{K*|\bar{z}|}$ seklinde degistiginde ise, homojen plaga kiyasla serbest titresim frekansi $(m,n)=(1,1)$ için % 5.27 kadar büyük deger almakta ve enine dalga sayisinin degisimine bagli olarak bu oran azalmakta ve $(m,n)=(1,50)$ oldugunda % 4.89 olmaktadır.Burada, homojen olmamanin etkisinin, dalga sayisinin degisimine bagli oldugu görülmektedir.Klasik teori kullanildiginda ise, homojen olmamanin titresim frekansina etkisi, plagi olusturan malzemenin Young modülleri ve yogunlugu $\eta_1(\bar{z}) = +e^{K*|\bar{z}|}$ seklinde degistiginde, $m=1$ ve enine dalga sayisinin tüm degerleri için % 1.97 oranina sahip olmaktadır. Plagi olusturan malzemenin Young modülleri ve yogunlugu $\eta_1(\bar{z}) = -e^{K*|\bar{z}|}$ seklinde degistiginde ise, homojen olmamanin titresim frekansina etkisi, $m=1$ ve enine dalga sayisinin tüm degerleri için % 5.27 oranina sahip olmaktadır. Burada, $\eta_1(\bar{z}) = \pm e^{K*|\bar{z}|}$ ve enine kayma etkisinin göz önüne alınmadigi durumda, homojen olmamanin titresim frekansina etkisinin n enine dalga sayisinin degisimine bagli olmadigi görülebilir (Sekil 4.2.25).



Sekil 4.2.25. $(m,n)=(1,n)$ için KDPT ve KPT kullanıldığında homojen ortotrop plak ve Young modülleri ve yoğunluğu aynı anda üstel değişen ortotrop plak için homojen olmamanın serbest titreşim frekansı değerlerine etkisinin değişimi

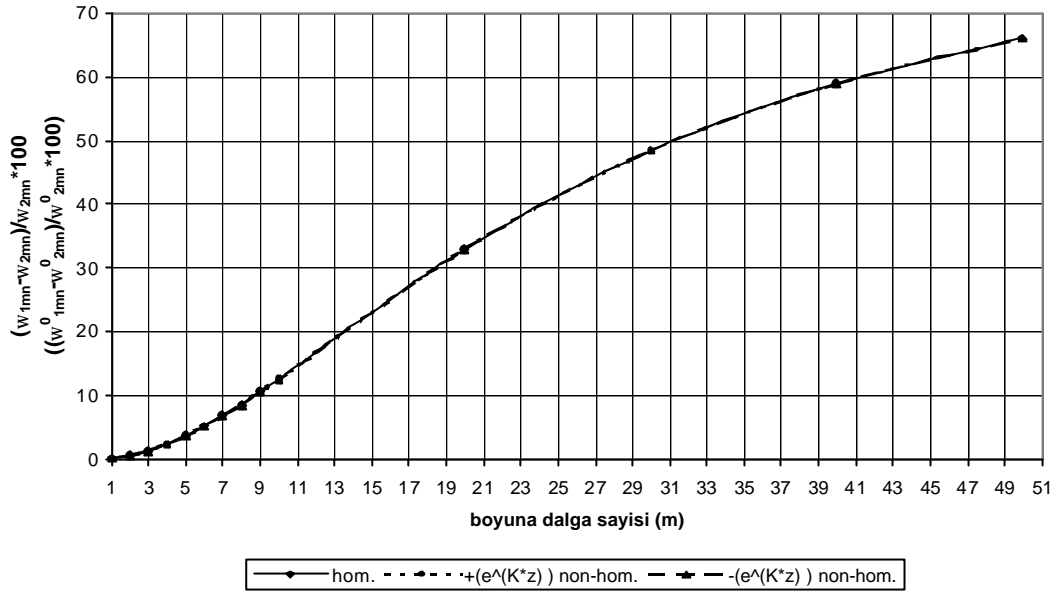
Çizelge 4.2.16. KDPT ve KPT kullanıldığında ortotrop platin Young modülleri ve yoğunluğu aynı anda kalınlık koordinatına göre üstel, yani $\eta_i(\bar{z}) = \pm e^{K^*|\bar{z}|}$, ($i = 1, 2$) şeklinde değiştiğinde, $K = -0.5$, $m = 1$ ve enine dalga sayısının değişimine göre titreşim frekansının değişimi

K=-0.5	$\mu_1 = \mu_2 = 0$		$\eta_1(\bar{z}) = +e^{K^* \bar{z} }, \mu_1 = \mu_2 = 0.5$	
(m,n)	ω_{1mn}^0	ω_{2mn}^0	ω_{1mn}	ω_{2mn}
(1,1)	942.666	943.952	961.198	962.510
(1,2)	1343.262	1344.477	1369.665	1370.908
(1,3)	2196.444	2198.084	2239.609	2241.297
(1,4)	3490.597	3493.911	3559.175	3562.599
(1,5)	5196.510	5203.599	5298.566	5305.899
(1,6)	7299.067	7313.123	7442.353	7456.895
(1,7)	9790.662	9816.226	9982.758	10009.207
(1,8)	12666.731	12709.947	12915.107	12959.816
(1,9)	15923.919	15992.767	16235.950	16307.175
(1,10)	19559.315	19663.855	19942.291	20050.434
(1,20)	76048.686	77675.410	77520.445	79202.460
(1,30)	166455.153	174379.356	169618.487	177807.544
(1,40)	285962.766	309767.282	291273.259	315857.110
(1,50)	429159.054	483838.134	436922.510	493350.084
(m,n)	$\mu_1 = \mu_2 = 0$		$\eta_1(\bar{z}) = -e^{K^* \bar{z} }, \mu_1 = \mu_2 = 0.5$	
(1,1)	942.666	943.952	892.947	894.163
(1,2)	1343.262	1344.477	1272.421	1273.562
(1,3)	2196.444	2198.084	2080.630	2082.145
(1,4)	3490.597	3493.911	3306.590	3309.623
(1,5)	5196.510	5203.599	4922.666	4929.132
(1,6)	7299.067	7313.123	6914.577	6927.388
(1,7)	9790.662	9816.226	9275.165	9298.464
(1,8)	12666.731	12709.947	12000.165	12039.553
(1,9)	15923.919	15992.767	15086.461	15149.219
(1,10)	19559.315	19663.855	18531.368	18626.673
(1,20)	76048.686	77675.410	72093.561	73578.375
(1,30)	166455.153	174379.356	157938.389	165181.614
(1,40)	285962.766	309767.282	271632.029	293428.424
(1,50)	429159.054	483838.134	408154.910	458317.806

Çizelge 4.2.17, KDPT ve KPT kullanıldığında, ortotrop platin Young modülleri ve yoğunluğu aynı anda kalınlık koordinatına göre üstel, yani $\eta_i(\bar{z}) = \pm e^{K^*|\bar{z}|}$, ($i = 1, 2$) şeklinde değiştiğinde, $K = -0.5$, $n = 1$ ve boyuna dalga sayısının değişik değerleri için titreşim frekansının değerlerini sunmaktadır. Çizelge 4.2.17 esas alınarak, Şekil 4.2.26 elde edilmiştir.

Çizelge 4.2.17'den görüldüğü gibi, kayma deformasyonlu plak teorisinin parabolik kayma deformasyonlu versiyonu ve klasik teori kullanıldığında, m dalga sayısının artmasına bağlı olarak, serbest titreşim frekansının değerleri de artmaktadır.

Çizelge 4.2.17 ve Şekil 4.2.26'dan görüldüğü gibi, homojen malzemeden oluşan ortotrop plak için, kayma deformasyonlu plak teorisinin parabolik kayma deformasyonlu versiyonu kullanılarak bulunan sonuçlar, klasik teori kullanılarak bulunan sonuçlar ile kıyaslandığında ortaya çıkan etki, n=1 için % 0.136 olup, enine dalga sayısındaki artışa bağlı olarak bu etki artmakta ve n=50 olduğunda % 66.073 oranına kadar ulaşmaktadır. Ortotrop kompozit dikdörtgen platin Young modülleri ve yoğunluğu $\eta_1(\bar{z}) = +e^{K*|\bar{z}|}$ fonksiyonu ile değiştiğinde, enine kayma deformasyonunun serbest titreşim frekansı değerlerine etkisi n=1 için % 0.136 olup, enine dalga sayısının artışına bağlı olarak serbest titreşim frekansına etkisi artmakta ve n=50 olduğunda % 66.073 oranına ulaşmaktadır. Ortotrop kompozit platin Young modülleri ve yoğunluğu $\eta_1(\bar{z}) = -e^{K*|\bar{z}|}$ fonksiyonu ile değiştiğinde ise, enine kayma deformasyonunun serbest titreşim frekansı değerlerine etkisi n=1 için % 0.136 olup, enine dalga sayısındaki artışa bağlı olarak artmakta ve n=50 olduğunda % 66.073 oranına ulaşmaktadır. Buradan görüldüğü gibi, homojen durumda ve Young modülleri ile yoğunluğu $\eta_1(\bar{z}) = \pm e^{K*|\bar{z}|}$ fonksiyonu şeklinde değişen ortotrop plaklar için enine dalga sayısı arttıkça, enine kayma deformasyonunun serbest titreşim frekansı değerlerine etkisi düzenli olarak artmakta ve dalga sayısının büyük değerlerinde bu etki daha da önemli olmaktadır.



Sekil 4.2.26. $(m,n)=(m,1)$ için KDPT ve KPT kullanıldığında homojen ortotrop plak ve Young modülleri ve yoğunluğu aynı anda üstel değişen ortotrop plak için enine kayma deformasyonunun serbest titreşim frekansı değerlerine etkisinin değişimi

Çizelge 4.2.17'den görüldüğü gibi, kayma deformasyonlu plak teorisinin parabolik kayma deformasyonlu versiyonu dikkate alındığında, plagi oluşturan malzemenin Young modülleri ve yoğunluğu $\eta_1(\bar{z}) = +e^{K*|\bar{z}|}$ şeklinde değiştiğinde, homojen plaga kıyasla, serbest titreşim frekansı % 1.97 kadar büyük değer almaktadır. Plagi oluşturan malzemenin Young modülleri ve yoğunluğu $\eta_1(\bar{z}) = -e^{K*|\bar{z}|}$ şeklinde değiştiğinde ise, homojen plaga kıyasla serbest titreşim frekansı % 5.27 kadar küçük değer almaktadır. Ayrıca, bu etki oranı, dalga sayısının değişimine ve enine kayma deformasyonu etkisinin göz önüne alınıp alınmamasına bağlı değildir. Klasik teorisinin kullanıldığı durumda ise, homojen olmamanın titreşim frekansına etkisi, plagi oluşturan malzemenin Young modülleri ve yoğunluğu $\eta_1(\bar{z}) = +e^{K*|\bar{z}|}$ şeklinde değiştiğinde, % 1.97 oranına sahiptir. Plagi oluşturan malzemenin Young modülleri ve yoğunluğu $\eta_1(\bar{z}) = -e^{K*|\bar{z}|}$ şeklinde değiştiğinde ise, bu etki yine % 5.27 oranına sahip olmaktadır. Burada, homojen olmamanın titreşim frekansına etkisinin m boyuna dalga sayısının değişimine bağlı olmadığı görülebilir.

Çizelge 4.2.16 ve Çizelge 4.2.17 arasında kıyaslama yapılacak olursa, $n=1$ ve boyuna

dalga sayisinin degisimine göre enine kayma deformasyonlarının dikkate alınması ve alınmaması durumlarında, hem serbest titreşim frekansı değerlerinde meydana gelen artıların, hem de etkilerde meydana gelen artıların $m=1$ ve enine dalga sayisinin degisimine göre meydana gelen artılara nazaran daha yüksek olduğu, ayrıca bu artının daha düzenli olduğu gözlenmektedir. Dolayısıyla, boyuna dalga sayisinin degisimi, titreşim frekansının değerine daha büyük etki gösterdiği için bu duruma proje ve yapım esnasında daha fazla dikkat gösterilmesi gerekmektedir.

Çizelge 4.2.17. KDPT ve KPT kullanıldığında ortotrop platin Young modülleri ve yoğunluğu aynı anda kalınlık koordinatına göre üstel, yani $\eta_i(\bar{z}) = \pm e^{K|\bar{z}|}$, ($i = 1, 2$) şeklinde değıstiginde, $K = -0.5$, $n = 1$ ve boyuna dalga sayisinin degisimine göre titreşim frekansının değısimi

$K = -0.5$	$\mu_1 = \mu_2 = 0$		$\eta_1(\bar{z}) = +e^{K \bar{z} }, \mu_1 = \mu_2 = 0.5$	
(m,n)	ω_{1mn}^0	ω_{2mn}^0	ω_{1mn}	ω_{2mn}
(1,1)	942.666	943.952	961.198	962.510
(2,1)	3482.567	3503.403	3551.029	3572.277
(3,1)	7683.384	7787.899	7834.429	7941.004
(4,1)	13463.474	13788.873	13728.146	14059.954
(5,1)	20725.977	21505.160	21133.420	21927.938
(6,1)	29357.881	30936.464	29935.015	31544.655
(7,1)	39235.284	42082.685	40006.593	42910.004
(8,1)	50229.008	54943.779	51216.438	56023.939
(9,1)	62209.646	69519.726	63432.598	70886.440
(10,1)	75051.716	85810.516	76527.125	87497.496
(20,1)	229720.525	343034.074	234236.501	349777.906
(30,1)	397598.287	771740.214	405414.498	786912.136
(40,1)	563849.043	1371928.838	574933.505	1398900.086
(50,1)	727250.529	2143599.935	741547.228	2185741.746
(m,n)	$\mu_1 = \mu_2 = 0$		$\eta_1(\bar{z}) = -e^{K \bar{z} }, \mu_1 = \mu_2 = 0.5$	
(1,1)	942.666	943.952	892.947	894.163
(2,1)	3482.567	3503.403	3298.884	3318.614
(3,1)	7683.384	7787.899	7278.134	7377.122
(4,1)	13463.474	13788.873	12753.361	13061.571
(5,1)	20725.977	21505.160	19632.813	20370.858
(6,1)	29357.881	30936.464	27809.439	29304.702
(7,1)	39235.284	42082.685	37165.871	39863.009
(8,1)	50229.008	54943.779	47579.746	52045.737
(9,1)	62209.646	69519.726	58928.481	65852.867
(10,1)	75051.716	85810.516	71093.214	81284.390
(20,1)	229720.525	343034.074	217604.223	324940.539
(30,1)	397598.287	771740.214	376627.496	731034.321
(40,1)	563849.043	1371928.838	534109.579	1299565.642
(50,1)	727250.529	2143599.935	688892.671	2030534.490

Çizelge 4.2.18, KDPT ve KPT kullanıldığında, ortotrop plagin Young modülleri ve yoğunluğu aynı anda kalınlık koordinatına göre üstel, yani $\eta_i(\bar{z}) = \pm e^{K^*|\bar{z}|}$, ($i = 1, 2$) şeklinde değiştiğinde, $-0.5 \leq K \leq -0.1$ ve $(m, n) = (1, 50)$ için titreşim frekansının değerlerini sunmaktadır.

Çizelge 4.2.18' den görüldüğü gibi, homojen malzemeden oluşmuş ve Young modülleri ile yoğunluğu $\eta_i(\bar{z}) = \pm e^{K^*|\bar{z}|}$, ($i = 1, 2$) fonksiyonu şeklinde değişen ortotrop plak için enine kayma deformasyonlarının etkisinin dikkate alınması ve alınmaması durumlarında, $(m, n) = (1, 50)$ için K 'nin bütün değerlerinde sabit kalmaktadır. Dolayısıyla, enine kayma deformasyonunun serbest titreşim frekansı değerleri de K 'nin bütün değerleri için % 11.301 olmaktadır. Homojen olmayan ortotrop kompozit plagin Young modülleri ve yoğunluğu $\eta_1(\bar{z}) = +e^{K^*|\bar{z}|}$ fonksiyonu şeklinde değiştiğinde, enine kayma deformasyonunun serbest titreşim frekanslarına etkisi, $K = -0.1$ için % 11.331 olup, K değerinin azalmasına bağlı olarak düzenli fakat yavaş bir artış göstermekte ve $K = -0.5$ olduğunda bu etki % 11.438 olmaktadır. Homojen olmayan ortotrop kompozit plagin Young modülleri ve yoğunluğu $\eta_1(\bar{z}) = -e^{K^*|\bar{z}|}$ ile değiştiğinde, kayma deformasyonlu plak teorisinin parabolik kayma deformasyonlu versiyonu ile elde edilen neticeler, klasik teori kullanılarak elde edilen neticelerle karşılaştırıldığında ortaya çıkan etki, $K = -0.1$ için % 11.215 olup, K değerinin azalmasına bağlı olarak düzenli fakat yavaş bir azalma göstermekte ve $K = -0.5$ olduğunda bu etki % 10.945 olmaktadır.

Enine kayma etkisinin göz önüne alındığı durumda, plagi oluşturan malzemenin Young modülleri ve yoğunluğu $\eta_1(\bar{z}) = +e^{K^*|\bar{z}|}$ şeklinde değiştiğinde, homojen plaga kıyasla, serbest titreşim frekansı oranları, K değerinin değişimine bağlı olarak değişmekte, $K = -0.1$ için % 0.38 kadar büyük değer alırken, $K = -0.5$ olduğunda, % 1.81 kadar büyük değer almaktadır. Klasik teorisinin kullanıldığı durumda ise, homojen olmamanın titreşim frekansına etkisi, plagi oluşturan malzemenin Young modülleri ve yoğunluğu $\eta_1(\bar{z}) = +e^{K^*|\bar{z}|}$ şeklinde değiştiğinde, enine kayma etkisinin göz önüne alındığı durumdaki oranlara yakın değerler almakta, K değerinin değişimine bağlı

olarak, homojen plaga kiyasla $K=-0.1$ için % 0.41 kadar büyük deger alirken, $K=-0.5$ oldugunda, % 1.97 kadar büyük deger almaktadır. Kayma deformasyonlu plak teorisinin parabolik kayma deformasyonlu versiyonu dikkate alindigi zaman, plagi olusturan malzemenin Young modülleri ve yogunlugu $\eta_1(\bar{z}) = -e^{K|\bar{z}|}$ seklinde degistiginde, homojen plaga kiyasla, serbest titresim frekansi oranlari, K degerinin degisimine bagli olarak degismekte, $K=-0.1$ için % 1.11 kadar küçük deger alirken, $K=-0.5$ oldugunda, % 4.89 kadar büyük deger almaktadır. Enine kayma etkisinin göz önüne alinmadigi durumda ise, homojen olmamanin titresim frekansina etkisi, plagi olusturan malzemenin Young modülleri ve yogunlugu $\eta_1(\bar{z}) = -e^{K|\bar{z}|}$ seklinde degistiginde, enine kayma etkisinin göz önüne alindigi durumdaki oranlara yakin degerler almakta, K degerinin degisimine bagli olarak, homojen plaga kiyasla $K=-0.1$ için % 1.20 kadar küçük deger alirken, $K=-0.5$ oldugunda, % 5.27 kadar küçük deger almaktadır.

Çizelge 4.2.18. KDPT ve KPT kullanildiginda ortotrop plagin Young modülleri ve yogunlugu ayni anda kalinalik koordinatina göre üstel, yani $\eta_i(\bar{z}) = \pm e^{K|\bar{z}|}$, ($i=1,2$) seklinde degistiginde, $(m,n)=(1,50)$ ve farkli K degerleri için titresim frekansinin degisimi

$(m,n)=(1,50)$	$\mu_1 = \mu_2 = 0$		$\eta_1(\bar{z}) = +e^{K \bar{z} }, \mu_1 = \mu_2 = 0.5$	
K	ω_{1mn}^0	ω_{2mn}^0	ω_{1mn}	ω_{2mn}
-0.1	429159.054	483838.134	430776.022	485822.496
-0.2	429159.054	483838.134	432360.385	487765.310
-0.3	429159.054	483838.134	433912.605	489667.130
-0.4	429159.054	483838.134	435433.153	491528.526
-0.5	429159.054	483838.134	436922.510	493350.084
K	$\mu_1 = \mu_2 = 0$		$\eta_1(\bar{z}) = -e^{K \bar{z} }, \mu_1 = \mu_2 = 0.5$	
-0.1	429159.054	483838.134	424416.078	478028.840
-0.2	429159.054	483838.134	419968.689	472606.195
-0.3	429159.054	483838.134	415790.917	467534.008
-0.4	429159.054	483838.134	411859.792	462780.536
-0.5	429159.054	483838.134	408154.910	458317.806

Çizelge 4.2.19, KDPT ve KPT kullanıldığında, ortotrop plagin Young modülleri ve yoğunluğu aynı anda kalınlık koordinatına göre üstel, yani $\eta_i(\bar{z}) = \pm e^{K^*|\bar{z}|}$, ($i = 1, 2$) şeklinde değiştiğinde, $-0.5 \leq K \leq -0.1$ ve $(m, n) = (50, 1)$ için titreşim frekansının değerlerini sunmaktadır.

Çizelge 4.2.19'den görüldüğü gibi, homojen malzemeden oluşmuş ve Young modülleri ile yoğunluğu $\eta_1(\bar{z}) = \pm e^{K^*|\bar{z}|}$ fonksiyonu şeklinde değişen ortotrop plak için serbest titreşim frekansı değerleri, kayma deformasyonlu plak teorisinin parabolik kayma deformasyonlu versiyonu ve klasik teori dikkate alındığında, $(m, n) = (50, 1)$ için K 'nin bütün değerlerinde sabit kalmaktadır. Dolayısıyla, enine kayma deformasyonunun serbest titreşim frekansı değerlerine etkisi de, K 'nin bütün değerleri için % 66.073 olmaktadır. Ancak, homojen olmayan malzemeden oluşmuş ve Young modülleri ile yoğunluğu $\eta_1(\bar{z}) = +e^{K^*|\bar{z}|}$ fonksiyonu şeklinde değişen ortotrop plak için enine kayma deformasyonunun etkisinin dikkate alındığı ve alınmadığı durumlarda, serbest titreşim frekansı değerleri yavaş fakat düzenli olarak artmakta, ancak enine kayma deformasyonunun serbest titreşim frekansı değerlerine etkisi, K 'nin bütün değerlerinde % 66.073 olarak sabit kalmaktadır. Young modülleri ile yoğunluğu $\eta_1(\bar{z}) = -e^{K^*|\bar{z}|}$ fonksiyonu şeklinde değişen ortotrop plak için ise, enine kayma deformasyonunun etkisinin dikkate alındığı ve alınmadığı durumlarda, serbest titreşim frekansı değerleri yavaş fakat düzenli olarak azalmakta, ancak enine kayma deformasyonunun serbest titreşim frekansı değerlerine etkisi, K 'nin bütün değerlerinde % 66.073 olarak sabit kalmaktadır.

Enine kayma etkisinin göz önüne alındığı ve alınmadığı durumlarda, plagi oluşturan malzemenin Young modülleri ve yoğunluğu $\eta_1(\bar{z}) = +e^{K^*|\bar{z}|}$ şeklinde değiştiği durumlarda, homojen plaga kıyasla, serbest titreşim frekansı oranları, K değerinin değişimine bağlı olarak değişmekte, $K = -0.1$ için % 0.41 kadar büyük değer alırken, $K = -0.5$ olduğunda, % 1.97 kadar büyük değer almaktadır. Plagi oluşturan malzemenin Young modülleri ve yoğunluğu $\eta_1(\bar{z}) = +e^{K^*|\bar{z}|}$ şeklinde değiştiğinde, kayma deformasyonlu plak teorisinin parabolik kayma deformasyonlu versiyonu ve

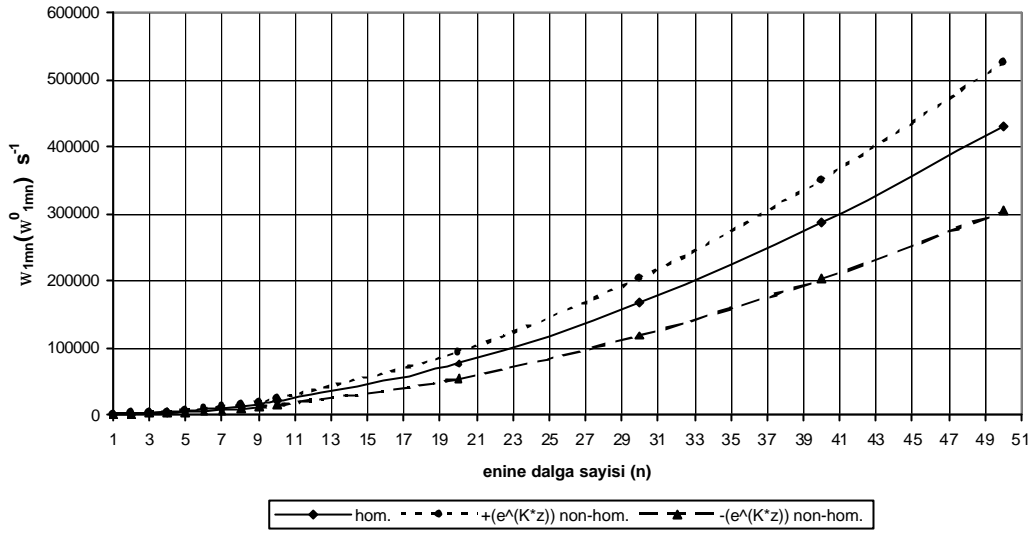
klasik teoremin kullanılması durumlarında, homojen plaga kıyasla, serbest titreşim frekansı oranları, K değerine bağlı olarak değişmekte, $K=-0.1$ için % 1.20 kadar büyük değer alırken, $K=-0.5$ olduğunda, % 5.27 kadar büyük değer almaktadır.

Çizelge 4.2.19. KDPT ve KPT kullanıldığında ortotrop platin Young modülleri ve yoğunluğu aynı anda kalınlık koordinatına göre üstel, yani $\eta_i(\bar{z}) = \pm e^{K^*|z|}$, ($i = 1,2$) şeklinde değiştiğinde, $(m,n)=(50,1)$ ve farklı K değerleri için titreşim frekansının değişimi

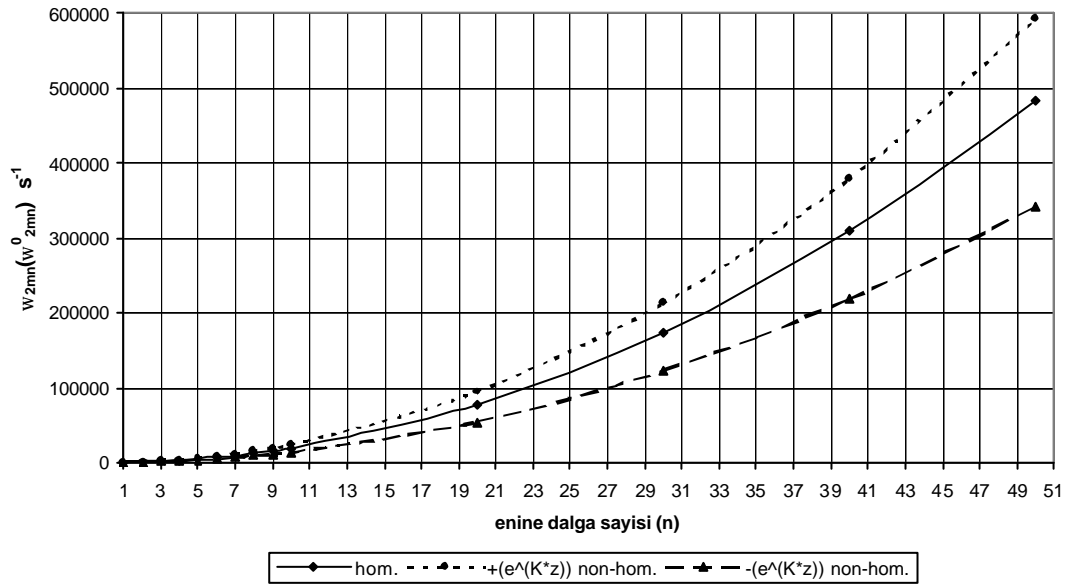
$(m,n)=(50,1)$	$\mu_1 = \mu_2 = 0$		$\eta_1(\bar{z}) = +e^{K^* z }, \mu_1 = \mu_2 = 0.5$	
K	ω_{1mn}^0	ω_{2mn}^0	ω_{1mn}	ω_{2mn}
-0.1	727250.529	2143599.935	730233.073	2152391.468
-0.2	727250.529	2143599.935	733153.170	2160998.924
-0.3	727250.529	2143599.935	736011.653	2169424.760
-0.4	727250.529	2143599.935	738809.379	2177671.503
-0.5	727250.529	2143599.935	741547.228	2185741.746
K	$\mu_1 = \mu_2 = 0$		$\eta_1(\bar{z}) = -e^{K^* z }, \mu_1 = \mu_2 = 0.5$	
-0.1	727250.529	2143599.935	718519.011	2117862.398
-0.2	727250.529	2143599.935	710368.618	2093837.872
-0.3	727250.529	2143599.935	702744.959	2071366.019
-0.4	727250.529	2143599.935	695600.323	2050306.202
-0.5	727250.529	2143599.935	688892.671	2030534.490

Çizelge 4.2.20, KDPT ve KPT kullanıldığında ortotrop platin yoğunluğunun sabit $\eta_2(\bar{z})=0$, Young modüllerinin ise kalınlık koordinatına göre üstel, yani $\eta_1(\bar{z}) = \pm e^{K^*|z|}$ şeklinde değişmesi durumunda, $K=-0.5$, $m=1$ ve enine dalga sayısının değişik değerleri için titreşim frekansının değerlerini sunmaktadır. Çizelge 4.2.20 esas alınarak, Şekil 4.2.27 ve Şekil 4.2.28 eğrileri elde edilmiştir.

Enine kayma deformasyonlarının etkisi göz önüne alındığı ve alınmadığı durumlarda, n dalga sayısı arttığında serbest titreşim frekansı değerlerinin arttığı, Çizelge 4.2.20, Şekil 4.2.27 ve Şekil 4.2.28'den görülmektedir.



Sekil 4.2.27. $(m,n)=(1,n)$ için KDPT dikkate alındığında homojen ortotrop plak ve yoğunluğu sabit ($\eta_2(\bar{z})=0$), Young modülleri üstel değişen ($\eta_1(\bar{z})=\pm e^{K|z|}$) ortotrop plak için serbest titreşim frekansı değerlerinin değişimi



Sekil 4.2.28. $(m,n)=(1,n)$ için KPT dikkate alındığında homojen ortotrop plak ve yoğunluğu sabit ($\eta_2(\bar{z})=0$), Young modülleri üstel değişen ($\eta_1(\bar{z})=\pm e^{K|z|}$) ortotrop plak için serbest titreşim frekansı değerlerinin değişimi

Ortotrop plagi olusturan malzemenin sadece Young modülleri kalınlik koordinatina göre degistiginde, kayma deformasyonlu plak teorisinin parabolik kayma deformasyonlu versiyonu ile elde edilen sonuçlar, klasik teori kullanılarak elde edilen sonuçlar ile karsilastirildiginda ortaya çikan etki, $n=1$ için % 0.136 olup, $n=3$ degerine kadar azalma göstererek burada minimum etki % 0.0746 olmakta, daha sonra ise bu etki, $n=50$ için % 11.301 oranina kadar artmaktadır. Plagi olusturan malzemenin yogunlugu sabit, Young modülleri ise $\eta_1(\bar{z}) = -e^{K^*|\bar{z}|}$ seklinde degistiginde, kayma deformasyonlu plak teorisinin parabolik kayma deformasyonlu versiyonu ile elde edilen neticelerle klasik teori kullanılarak elde edilen neticeler karsilastirildiginda ortaya çikan etki, $n=1$ için % 0.136 olup, $n=3$ degerine kadar azalarak burada minimum etki % 0.0746 olmakta, daha sonra ise bu etki, $n=50$ için % 11.301 oranini sahip olmaktadır. Buradan görüldüğü gibi, homojen ve yogunluk sabit, Young modülleri ise $\eta_1(\bar{z}) = \pm e^{K^*|\bar{z}|}$ fonksiyonu seklinde degisen ortotrop plaklar için dalga sayisi $n \geq 4$ oldugunda enine kayma deformasyonunun serbest titresim frekansi degerlerine etkisi artmakta ve dalga sayisinin büyük degerlerinde bu etki önem kazanmaktadır (Çizelge 4.2.20).

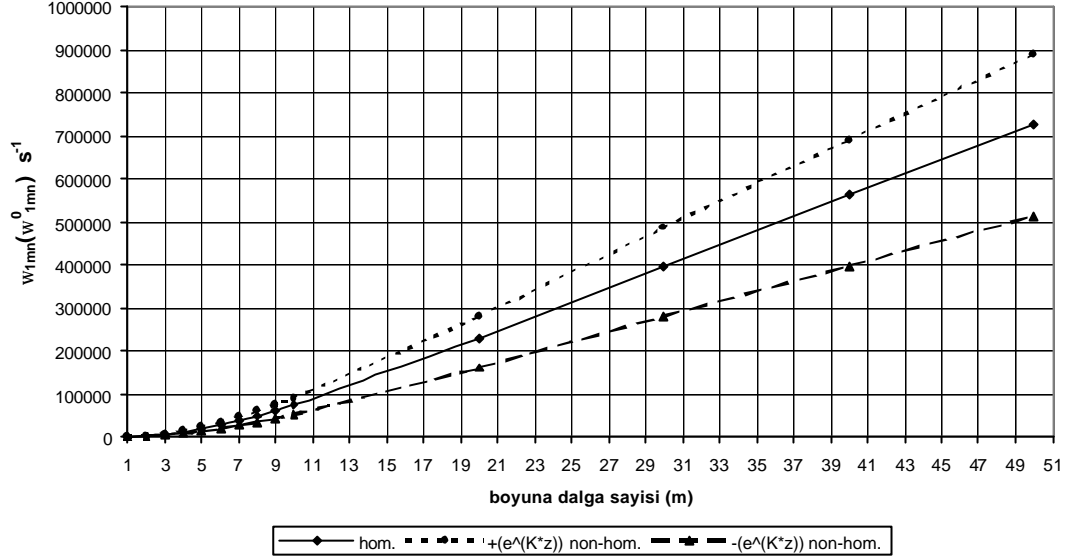
Kayma deformasyonlu plak teorisinin parabolik kayma deformasyonlu versiyonu kullanılarak bulunan sonuçlarda, plagi olusturan malzemenin sadece Young modülleri $\eta_1(\bar{z}) = +e^{K^*|\bar{z}|}$ seklinde degistiginde, homojen plaga kiyasla serbest titresim frekansi degerlerine etkisi % 22.46, plagi olusturan malzemenin Young modülleri $\eta_1(\bar{z}) = -e^{K^*|\bar{z}|}$ seklinde degistiginde ise, homojen plaga kiyasla serbest titresim frekansi degerlerine etkisi % 29.27 olmaktadır. Sonuçlar klasik teori kullanılarak elde edildiginde ise, plagi olusturan malzemenin yogunlugu sabit, Young modülleri ise $\eta_1(\bar{z}) = +e^{K^*|\bar{z}|}$ seklinde degistiginde homojen plaga kiyasla serbest titresim frekansi degerlerine etkisi % 22.46, plagi olusturan malzemenin Young modülleri $\eta_1(\bar{z}) = -e^{K^*|\bar{z}|}$ seklinde degistiginde ise homojen plaga göre serbest titresim frekansi degerlerine etkisi % 29.27 olmaktadır. Burada, homojen olmamanin etkisinin, kayma deformasyonu etkisine ve dalga sayisinin degisimine bagli olmadigi görülmektedir (Çizelge 4.2.20).

Çizelge 4.2.20. KDPT ve KPT kullanıldığında ortotrop plagin yoğunluğu sabit ($\eta_2(\bar{z})=0$), Young modülleri ise kalınlık koordinatına göre üstel değiştiğinde ($\eta_2(\bar{z}) = \pm e^{K^*|\bar{z}|}$), $K=-0.5$, $m=1$ ve enine dalga sayısının değişimine göre titreşim frekansının değişimi

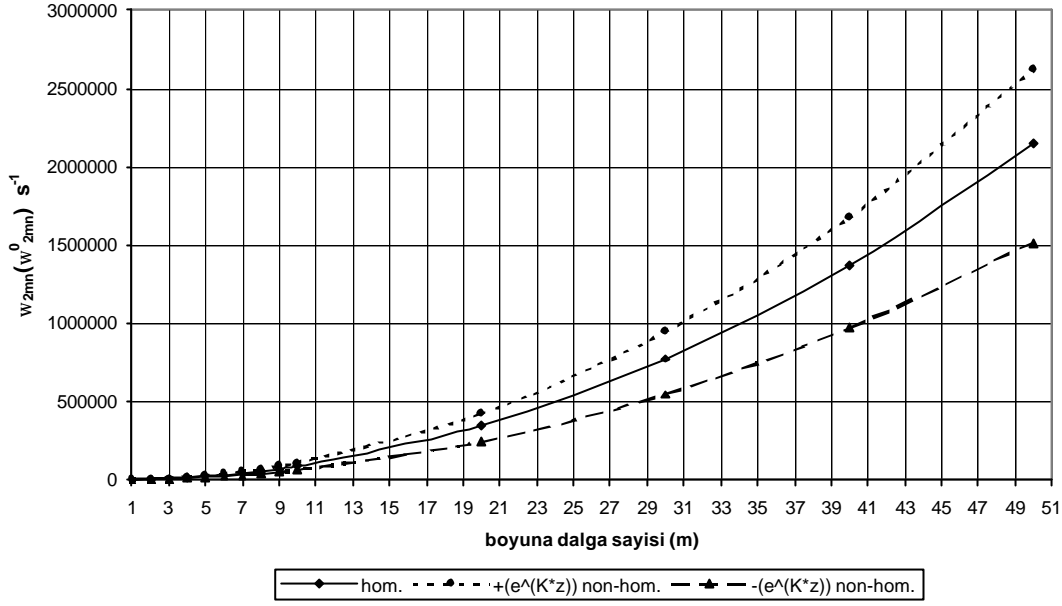
K=-0.5	$\mu_1 = \mu_2 = 0$		$\eta_1(\bar{z}) = +e^{K^* \bar{z} }, \mu_1 = 0.5, \mu_2 = 0$	
(m,n)	ω_{1mn}^0	ω_{2mn}^0	ω_{1mn}	ω_{2mn}
(1,1)	942.666	943.952	1154.399	1155.973
(1,2)	1343.262	1344.477	1644.971	1646.459
(1,3)	2196.444	2198.084	2689.787	2691.795
(1,4)	3490.597	3493.911	4274.619	4278.678
(1,5)	5196.510	5203.599	6363.697	6372.379
(1,6)	7299.067	7313.123	8938.510	8955.722
(1,7)	9790.662	9816.226	11989.741	12021.047
(1,8)	12666.731	12709.947	15511.803	15564.725
(1,9)	15923.919	15992.767	19500.587	19584.899
(1,10)	19559.315	19663.855	23952.529	24080.550
(1,20)	76048.686	77675.410	93129.967	95122.069
(1,30)	166455.153	174379.356	203842.612	213546.670
(1,40)	285962.766	309767.282	350192.808	379344.052
(1,50)	429159.054	483838.134	525552.386	592512.924
(m,n)	$\mu_1 = \mu_2 = 0$		$\eta_1(\bar{z}) = -e^{K^* \bar{z} }, \mu_1 = 0.5, \mu_2 = 0$	
(1,1)	942.666	943.952	666.786	667.696
(1,2)	1343.262	1344.477	950.144	951.003
(1,3)	2196.444	2198.084	1553.634	1554.794
(1,4)	3490.597	3493.911	2469.041	2471.385
(1,5)	5196.510	5203.599	3675.703	3680.717
(1,6)	7299.067	7313.123	5162.927	5172.869
(1,7)	9790.662	9816.226	6925.333	6943.416
(1,8)	12666.731	12709.947	8959.694	8990.262
(1,9)	15923.919	15992.767	11263.635	11312.335
(1,10)	19559.315	19663.855	13835.099	13909.044
(1,20)	76048.686	77675.410	53792.329	54942.977
(1,30)	166455.153	174379.356	117740.499	123345.611
(1,40)	285962.766	309767.282	202273.094	219110.997
(1,50)	429159.054	483838.134	303561.652	342238.389

Çizelge 4.2.21, KDPT ve KPT kullanıldığında ortotrop plagin yoğunluğunun sabit $\eta_2(\bar{z})=0$, Young modüllerinin ise kalınlık koordinatına göre üstel, yani $\eta_1(\bar{z}) = \pm e^{K^*|\bar{z}|}$ şeklinde değişmesi durumunda, $K=-0.5$, $n=1$ ve boyuna dalga sayısının değişik değerleri için titreşim frekansının değerlerini sunmaktadır. Çizelge 4.2.21 esas alınarak, Şekil 4.2.29 ve Şekil 4.2.30 eğrileri elde edilmiştir.

Kayma deformasyonlu plak teorisinin parabolik kayma deformasyonlu versiyonunun ve klasik teorisin kullanıldığı durumlarda, m dalga sayısı arttığında serbest titreşim frekansı değerlerindeki artış, Çizelge 4.2.21, Şekil 4.2.29 ve Şekil 4.2.30'dan izlenebilmektedir.



Şekil 4.2.29. $(m,n)=(m,1)$ için KDPT dikkate alındığında homojen ortotrop plak ve yoğunluğu sabit ($\eta_2(\bar{z})=0$), Young modülleri üstel değişen ($\eta_1(\bar{z})=\pm e^{K^*|z|}$) ortotrop plak için serbest titreşim frekansı değerlerinin değişimi



Sekil 4.2.30. $(m,n)=(m,1)$ için KPT dikkate alındığında homojen ortotrop plak ve yoğunluğu sabit ($\eta_2(\bar{z})=0$), Young modülleri üstel değişen ($\eta_1(\bar{z})=\pm e^{K^*|z|}$) ortotrop plak için serbest titreşim frekansı değerlerinin değişimi

Çizelge 4.2.21'den görüldüğü gibi, sadece Young modülleri kalınlik koordinatına göre değişen ortotrop plak için, kayma deformasyonlu plak teorisinin parabolik kayma deformasyonlu versiyonu kullanılarak elde edilen sonuçlar, klasik teori kullanılarak elde edilen sonuçlar ile kıyaslandığında ortaya çıkan etki, $n=1$ için % 0.136 olup, $n=50$ olduğunda % 66.073 oranına kadar artmaktadır. Sadece Young modülleri kalınlik koordinatına göre değişen ortotrop plak için, yoğunluk sabit, Young modülleri ise $\eta_1(\bar{z})=-e^{K^*|z|}$ şeklinde değiştiğinde kayma deformasyonlu plak teorisinin parabolik kayma deformasyonlu versiyonu kullanılarak elde edilen neticeler, klasik teori kullanılarak elde edilen neticelerle karşılaştırıldığında ortaya çıkan etki yine aynı şekilde, $n=1$ için % 0.136 olurken, enine dalga sayısının artmasına bağlı olarak artmakta ve $n=50$ için % 66.073 oranına sahip olmaktadır.

Kayma deformasyonlu plak teorisinin parabolik kayma deformasyonlu versiyonu kullanıldığında, plagi oluşturan malzemenin yoğunluğu sabit, Young modülleri ise $\eta_1(\bar{z})=+e^{K^*|z|}$ şeklinde değiştiğinde homojen plaga kıyasla serbest titreşim frekansı değerlerine etkisi % 22.46, plagi oluşturan malzemenin Young modülleri

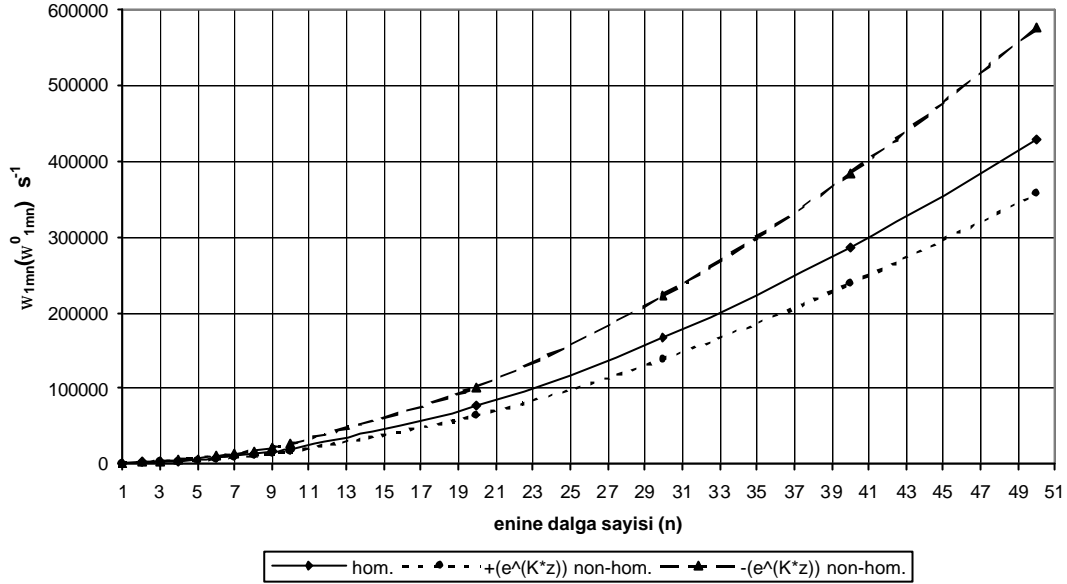
$\eta_1(\bar{z}) = -e^{K^*|\bar{z}|}$ şeklinde degistiginde ise homojen plaga kiyasla serbest titresim frekansi degerlerine etkisi % 29.27 olmaktadır.Klasik teori kullanilarak elde edilen sonuçlara göre ise, plagi olusturan malzemenin yogunlugu sabit, Young modülleri ise $\eta_1(\bar{z}) = +e^{K^*|\bar{z}|}$ şeklinde degistiginde homojen plaga kiyasla serbest titresim frekansi degerlerine etkisi % 22.46, plagi olusturan malzemenin Young modülleri kalinalik koordinatina göre $\eta_1(\bar{z}) = -e^{K^*|\bar{z}|}$ şeklinde degistiginde ise homojen plaga göre serbest titresim frekansi degerlerine etkisi % 29.27 olmaktadır.Burada, homojen olmamanin etkisinin, kayma deformasyonu etkisine ve dalga sayisinin degisimine bagli olmadigi görölmektedir.Ayrıca, homojen olmamanin etkisinin, enine veya boyuna dalga sayisinin degisimine de bagli olmadigi açıkça görölebilmektedir (Çizelge 4.2.21).

Çizelge 4.2.21. KDPT ve KPT kullanıldığında ortotrop platin yoğunluğu sabit ($\eta_2(\bar{z})=0$), Young modülleri ise kalınlık koordinatına göre üstel değiştiğinde ($\eta_2(\bar{z}) = \pm e^{K^*|\bar{z}|}$), $K=-0.5$, $n=1$ ve boyuna dalga sayısının değişimine göre titreşim frekansının değişimi

K=-0.5	$\mu_1 = \mu_2 = 0$		$\eta_1(\bar{z}) = +e^{K^* \bar{z} }, \mu_1 = 0.5, \mu_2 = 0$	
(m,n)	ω_{1mn}^0	ω_{2mn}^0	ω_{1mn}	ω_{2mn}
(1,1)	942.666	943.952	1154.399	1155.973
(2,1)	3482.567	3503.403	4264.786	4290.301
(3,1)	7683.384	7787.899	9409.148	9537.138
(4,1)	13463.474	13788.873	16487.502	16885.990
(5,1)	20725.977	21505.160	25381.235	26335.430
(6,1)	29357.881	30936.464	35951.949	37885.097
(7,1)	39235.284	42082.685	48047.914	51534.869
(8,1)	50229.008	54943.779	61510.935	67284.691
(9,1)	62209.646	69519.726	76182.543	85134.539
(10,1)	75051.716	85810.516	91909.068	105084.400
(20,1)	229720.525	343034.074	281318.008	420082.891
(30,1)	397598.287	771740.214	486902.761	945080.635
(40,1)	563849.043	1371928.838	690495.068	1680077.509
(50,1)	727250.529	2143599.935	890598.129	2625073.502
(m,n)	$\mu_1 = \mu_2 = 0$		$\eta_1(\bar{z}) = -e^{K^* \bar{z} }, \mu_1 = 0.5, \mu_2 = 0$	
(1,1)	942.666	943.952	666.786	667.696
(2,1)	3482.567	3503.403	2463.361	2478.099
(3,1)	7683.384	7787.899	5434.770	5508.698
(4,1)	13463.474	13788.873	9523.262	9753.431
(5,1)	20725.977	21505.160	14660.327	15211.474
(6,1)	29357.881	30936.464	20766.023	21882.619
(7,1)	39235.284	42082.685	27752.712	29766.794
(8,1)	50229.008	54943.779	35529.020	38863.969
(9,1)	62209.646	69519.726	44003.413	49174.130
(10,1)	75051.716	85810.516	53087.131	60697.268
(20,1)	229720.525	343034.074	162490.670	242641.951
(30,1)	397598.287	771740.214	281237.438	545883.239
(40,1)	563849.043	1371928.838	398833.359	970421.061
(50,1)	727250.529	2143599.935	514413.874	1516255.409

Çizelge 4.2.22, KDPT ve KPT kullanıldığında ortotrop platin Young modüllerinin sabit $\eta_1(\bar{z})=0$, yoğunluğunun ise kalınlık koordinatına göre üstel, yani $\eta_2(\bar{z}) = \pm e^{K^*|\bar{z}|}$ şeklinde değişmesi durumunda, $K=-0.5$, $m=1$ ve enine dalga sayısının değişik değerleri için titreşim frekansının değerlerini göstermektedir. Çizelge 4.2.22 esas alınarak, Şekil 4.2.31 eğrileri elde edilmiştir.

Kayma deformasyonlu plak teorisinin parabolik kayma deformasyonlu versiyonunun ve klasik teorisinin kullanılması durumlarında, n dalga sayısı arttığında serbest titreşim frekansı değerlerinin arttığı Çizelge 4.2.22 ve Sekil 4.2.31’de görülebilmektedir.



Sekil 4.2.31. (m,n)=(1,n) için KDPT dikkate alındığında homojen ortotrop plak ve Young modülleri sabit ($\eta_1(\bar{z})=0$), yoğunluğu üstel değişen ($\eta_2(\bar{z}) = \pm e^{K|z|}$) ortotrop plak için serbest titreşim frekansı değerlerinin değişimi

Çizelge 4.2.22’den görüldüğü gibi, sadece yoğunluğu kalınlık koordinatına göre değişen malzemeden oluşan ortotrop plak için, kayma deformasyonlu plak teorisinin parabolik kayma deformasyonlu versiyonu, klasik teori kullanılarak alınan sonuçlar ile kıyaslandığı zaman ortaya çıkan etki, n=1 için % 0.136 olup, n=3 değerine kadar azalma göstererek burada minimum etki % 0.0753 olmakta, daha sonra ise bu etki, n=50 için % 11.438 oranına kadar artmaktadır. Sadece yoğunluğu kalınlık koordinatına göre $\eta_1(\bar{z}) = -e^{K|z|}$ şeklinde değişen malzemeden oluşan ortotrop plak için, kayma deformasyonlu plak teorisinin parabolik kayma deformasyonlu versiyonu ve klasik teori kullanılarak elde edilen sonuçlar kıyaslandığında ortaya çıkan etki, n=1 için % 0.136 olup, n=3 değerine kadar azalmakta ve burada minimum

etki % 0.0728 olmaktadır. Daha sonra bu etki, $n=50$ için % 10.945 oranına kadar ulaşmaktadır.

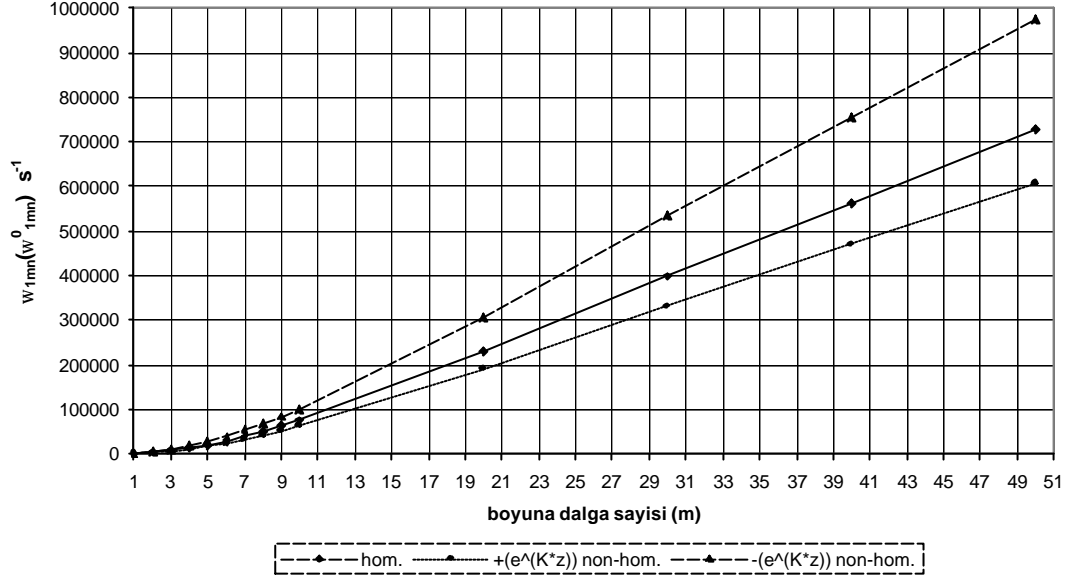
Kayma deformasyonlu plak teorisinin parabolik kayma deformasyonlu versiyonu kullanılarak alınan neticelere göre, plagi oluşturan malzemenin sadece yoğunluğu $\eta_1(\bar{z}) = +e^{K^*|\bar{z}|}$ şeklinde degistiginde, homojen plaga göre serbest titresim frekansi degerlerine etkisi $(m,n)=(1,1)$ oldugunda % 16.74, enine dalga sayisi arttikça bu oran da artarak $(m,n)=(1,50)$ oldugunda % 16.86 olmaktadır. Malzemenin yoğunluğu $\eta_1(\bar{z}) = -e^{K^*|\bar{z}|}$ şeklinde degistiginde ise, homojen plaga göre serbest titresim frekansi degerlerine etkisi $(m,n)=(1,1)$ oldugunda % 33.92, enine dalga sayisi arttikça bu oran artarak $(m,n)=(1,50)$ oldugunda % 34.46 olmaktadır. Burada, yogunluk degisiminin homojen olmama üzerinde etkisinin oldugu ve bu etkinin enine dalga sayisi arttikça enine kayma deformasyonu etkisine bagli olarak arttigi görülmektedir. Klasik teori kullanılarak elde edilen sonuçlara göre, plagi oluşturan malzemenin Young modülleri sabit, yogunluk ise $\eta_1(\bar{z}) = +e^{K^*|\bar{z}|}$ şeklinde degistiginde, homojen olmamanin titresim frekansina etkisi, $m=1$ ve enine dalga sayisinin bütün degerlerinde % 16.74 olmaktadır. Plagi oluşturan malzemenin yogunlugu $\eta_1(\bar{z}) = -e^{K^*|\bar{z}|}$ şeklinde degistiginde ise, homojen olmamanin titresim frekansina etkisi, $m=1$ ve enine dalga sayisinin bütün degerlerinde % 33.92 olmaktadır. Burada, yogunluktaki degisimin homojen olmama üzerinde etkisinin oldugu gözlenmektedir (Çizelge 4.2.22).

Çizelge 4.2.22. KDPT ve KPT kullanıldığında ortotrop plajin Young modülleri sabit ($\eta_1(\bar{z})=0$), yoğunluğu kalınlık koordinatına göre üstel ($\eta_2(\bar{z})=\pm e^{K^*|\bar{z}|}$) değiştiğinde ($\eta_2(\bar{z})=\pm e^{K^*|\bar{z}|}$), $K=-0.5$, $m=1$ ve enine dalga sayısının değişimine göre titreşim frekansının değişimi

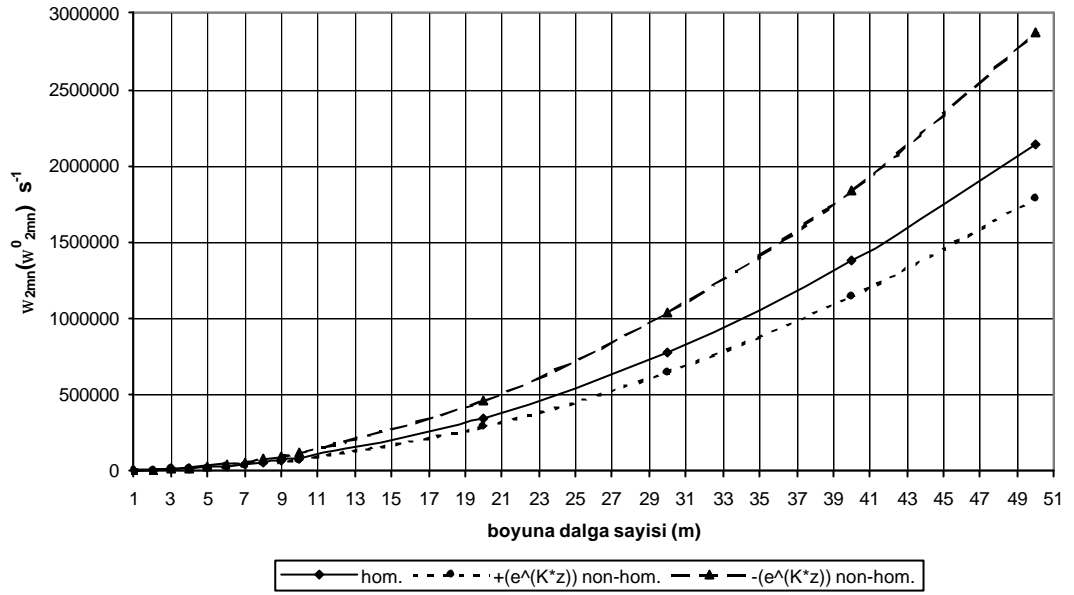
(m,n)	$\mu_1 = \mu_2 = 0$		$\eta_1(\bar{z}) = +e^{K^* \bar{z} }, \mu_1 = 0, \mu_2 = 0.5$	
	ω_{1mn}^0	ω_{2mn}^0	ω_{1mn}	ω_{2mn}
(1,1)	942.666	943.952	784.901	785.973
(1,2)	1343.262	1344.477	1118.450	1119.465
(1,3)	2196.444	2198.084	1828.835	1830.213
(1,4)	3490.597	3493.911	2906.375	2909.171
(1,5)	5196.510	5203.599	4326.738	4332.726
(1,6)	7299.067	7313.123	6077.326	6089.200
(1,7)	9790.662	9816.226	8151.787	8173.385
(1,8)	12666.731	12709.947	10546.304	10582.813
(1,9)	15923.919	15992.767	13258.060	13316.221
(1,10)	19559.315	19663.855	16284.608	16372.916
(1,20)	76048.686	77675.410	63302.159	64675.670
(1,30)	166455.153	174379.356	138508.189	145195.264
(1,40)	285962.766	309767.282	237849.850	257924.694
(1,50)	429159.054	483838.134	356785.081	402863.084
(m,n)	$\mu_1 = \mu_2 = 0$		$\eta_1(\bar{z}) = -e^{K^* \bar{z} }, \mu_1 = 0, \mu_2 = 0.5$	
	ω_{1mn}^0	ω_{2mn}^0	ω_{1mn}	ω_{2mn}
(1,1)	942.666	943.952	1262.400	1264.119
(1,2)	1343.262	1344.477	1798.880	1800.493
(1,3)	2196.444	2198.084	2941.482	2943.623
(1,4)	3490.597	3493.911	4674.678	4678.965
(1,5)	5196.510	5203.599	6959.399	6968.541
(1,6)	7299.067	7313.123	9775.455	9793.567
(1,7)	9790.662	9816.226	13112.727	13145.665
(1,8)	12666.731	12709.947	16965.185	17020.869
(1,9)	15923.919	15992.767	21328.422	21417.147
(1,10)	19559.315	19663.855	26198.646	26333.384
(1,20)	76048.686	77675.410	101921.979	104021.129
(1,30)	166455.153	174379.356	223284.756	233524.837
(1,40)	285962.766	309767.282	384018.679	414833.245
(1,50)	429159.054	483838.134	577027.348	647944.939

Çizelge 4.2.23, KDPT ve KPT kullanıldığında ortotrop plajin Young modüllerinin sabit $\eta_1(\bar{z})=0$, yoğunluğunun ise kalınlık koordinatına göre üstel, yani $\eta_2(\bar{z})=\pm e^{K^*|\bar{z}|}$ şeklinde değişmesi durumunda, $K=-0.5$, $n=1$ ve boyuna dalga sayısının değişik değerleri için titreşim frekansının değerlerini göstermektedir. Çizelge 4.2.23 esas alınarak, Şekil 4.2.32 ve 4.2.33 eğrileri elde edilmiştir.

Çizelge 4.2.23, Sekil 4.2.32 ve Sekil 4.2.33'den görüldüğü gibi, kayma deformasyonlu plak teorisinin parabolik kayma deformasyonlu versiyonu ve klasik teori kullanıldığı durumlar dikkate alındığında, m dalga sayısı arttığında serbest titreşim frekansı değerleri artmaktadır.



Sekil 4.2.32. (m,n)=(m,1) için KDPT dikkate alındığında homojen ortotrop plak ve Young modülleri sabit ($\eta_1(\bar{z})=0$), yoğunluğu üstel değişen ($\eta_2(\bar{z})=\pm e^{K|z|}$) ortotrop plak için serbest titreşim frekansları değerlerinin değişimi



Sekil 4.2.33. $(m,n)=(m,1)$ için KPT dikkate alındığında homojen ortotrop plak ve Young modülleri sabit ($\eta_1(\bar{z})=0$), yoğunluğu üstel değişen ($\eta_2(\bar{z})=\pm e^{K^*|\bar{z}|}$) ortotrop plak için serbest titreşim frekansı değerlerinin değişimi

Sadece yoğunluğu kalınlık koordinatına göre değişen ortotrop plak için, kayma deformasyonlu plak teorisinin parabolik kayma deformasyonlu versiyonu kullanılarak elde edilen sonuçlar, klasik teori kullanılarak elde edilen sonuçlar ile karşılaştırıldığında ortaya çıkan etki, $m=1$ için % 0.136 olup, boyuna dalga sayısı değerlerinin artmasına bağlı olarak bu etki artmakta ve $m=50$ olduğunda % 66.073 oranına kadar ulaşmaktadır. Sadece yoğunluğu $\eta_1(\bar{z})=-e^{K^*|\bar{z}|}$ şeklinde kalınlık koordinatına göre değişen, Young modülleri ise sabit tutulan ortotrop plak için, kayma deformasyonlu plak teorisinin parabolik kayma deformasyonlu versiyonu ile elde edilen neticeler klasik teori kullanılarak elde edilen neticeler ile kıyaslandığında ortaya çıkan etki, $m=1$ için % 0.136 olup, boyuna dalga sayısının artması ile bu etki, $n=50$ için % 66.073 oranına kadar ulaşmaktadır (Çizelge 4.2.23).

Kayma deformasyonlu plak teorisinin parabolik kayma deformasyonlu versiyonu ve klasik teori kullanılarak elde edilen neticelere göre, plagi oluşturan malzemenin Young modülleri sabit, yoğunluğu ise $\eta_1(\bar{z})=+e^{K^*|\bar{z}|}$ şeklinde değiştiğinde, homojen

plaga göre serbest titreşim frekansı değerlerine etkisi $n=1$ ve boyuna dalga sayısının tüm değerleri için % 16.74 olmaktadır. Sonuçlar, kayma deformasyonlu plak teorisinin parabolik kayma deformasyonlu versiyonu ve klasik teori kullanılarak elde edildiğinde, yoğunluğu $\eta_1(\bar{z}) = -e^{K*|\bar{z}|}$ şeklinde değişen homojen olmayan ortotrop dikdörtgen plagin homojen plaga göre serbest titreşim frekansı değerlerine etkisi, $n=1$ ve boyuna dalga sayısının artan değerleri için % 33.92 oranına sahip olmaktadır. Burada da, enine kayma deformasyonu etkisinin homojen olmamayı etkilemediği görülmektedir (Çizelge 4.2.23).

Çizelge 4.2.22 ve Çizelge 4.2.23 arasında bir karşılaştırma yapılacak olursa, Çizelge 4.2.22'de enine dalga sayısı değiştiğinde, enine kayma deformasyonunun homojen olmamanın etkisini azalttığı, ancak Çizelge 4.2.23'de değişim boyuna dalga sayısında olduğunda ise, enine kayma deformasyonu etkisinin homojen olmamayı etkilemediği açıkça görülmektedir.

Çizelge 4.2.23. KDPT ve KPT kullanıldığında ortotrop platin Young modülleri sabit ($\eta_1(\bar{z})=0$), yoğunluğu kalınlık koordinatına göre üstel ($\eta_2(\bar{z})=\pm e^{K^*|z|}$) değiştiğinde ($\eta_2(\bar{z})=\pm e^{K^*|z|}$), $K=-0.5$, $n=1$ ve boyuna dalga sayısının değişimine göre titreşim frekansının değişimi

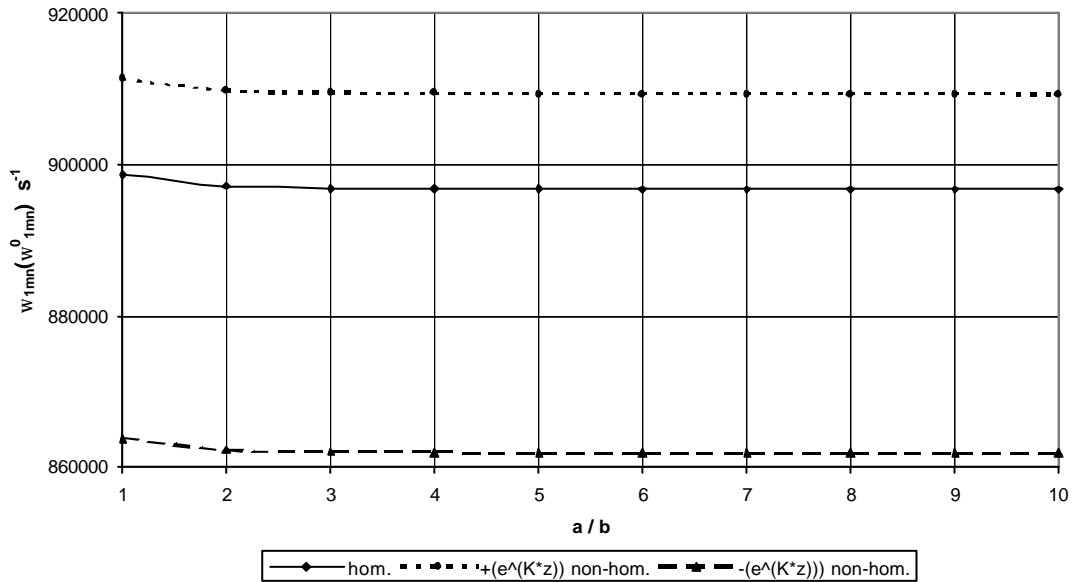
(m,n)	$\mu_1 = \mu_2 = 0$		$\eta_1(\bar{z}) = +e^{K^* z }, \mu_1 = 0, \mu_2 = 0.5$	
	ω_{1mn}^0	ω_{2mn}^0	ω_{1mn}	ω_{2mn}
(1,1)	942.666	943.952	784.901	785.973
(2,1)	3482.567	3503.403	2899.723	2917.074
(3,1)	7683.384	7787.899	6397.490	6484.518
(4,1)	13463.474	13788.873	11210.221	11481.170
(5,1)	20725.977	21505.160	17257.269	17906.061
(6,1)	29357.881	30936.464	24444.533	25758.944
(7,1)	39235.284	42082.685	32668.850	35039.735
(8,1)	50229.008	54943.779	41822.659	45748.400
(9,1)	62209.646	69519.726	51798.212	57884.919
(10,1)	75051.716	85810.516	62491.028	71449.286
(20,1)	229720.525	343034.074	191274.396	285623.963
(30,1)	397598.287	771740.214	331056.060	642581.932
(40,1)	563849.043	1371928.838	469483.016	1142323.112
(50,1)	727250.529	2143599.935	605537.555	1784847.495
(m,n)	$\mu_1 = \mu_2 = 0$		$\eta_1(\bar{z}) = -e^{K^* z }, \mu_1 = 0, \mu_2 = 0.5$	
(1,1)	942.666	943.952	1262.400	1264.119
(2,1)	3482.567	3503.403	4663.783	4691.677
(3,1)	7683.384	7787.899	10289.433	10429.376
(4,1)	13463.474	13788.873	18030.012	18465.743
(5,1)	20725.977	21505.160	27755.810	28799.217
(6,1)	29357.881	30936.464	39315.481	41429.404
(7,1)	39235.284	42082.685	52543.100	56356.167
(8,1)	50229.008	54943.779	67265.672	73579.450
(9,1)	62209.646	69519.726	83309.901	93099.224
(10,1)	75051.716	85810.516	100507.742	114915.477
(20,1)	229720.525	343034.074	307637.087	459383.369
(30,1)	397598.287	771740.214	532455.595	1033496.806
(40,1)	563849.043	1371928.838	755095.250	1837255.654
(50,1)	727250.529	2143599.935	973919.219	2870659.900

Young modülleri ve yoğunluğun değişim fonksiyonu pozitif ve üstel olarak değiştiğinde, Young modüllerinin tek basına değişiminin serbest titreşim frekansı değerlerine etkisi yoğunluğun tek basına değişiminin ve Young modülleri ile yoğunluğun aynı anda değişimlerinin titreşim frekansı değerlerine etkisinden daha büyük olmaktadır. En küçük etki ise, Young modülleri ve yoğunluk aynı anda değiştiği durumda meydana gelmektedir.

Young modülleri ve yoğunlugun degisim fonksiyonu negatif ve üstel olarak degistiginde, serbest titresim frekansi degerlerine en büyük etki yoğunlugun tek basina degisiminde meydana gelmekte, en küçük etki ise, Young modülleri ve yoğunluk ayni anda degistigi durumda meydana gelmektedir. Ayrıca, Young modüllerinin tek basina degisiminin de etkisi önemli derecede olmaktadır.

Çizelge 4.2.24, KDPT ve KPT kullanildiginda ortotrop plagin Young modülleri ve yoğunlugu ayni anda kalinlik koordinatina göre üstel, yani $\eta_i(\bar{z}) = \pm e^{K^*|\bar{z}|}$, ($i = 1,2$) seklinde degistiginde, $K = -0.5$, $h = 0.01$ m ve dalga sayilari $(m,n) = (1,40)$ oldugunda a/b oraninin degisimine göre serbest titresim frekansi degerlerinin degisimini göstermektedir. Çizelge 4.2.24 esas alınarak, Sekil 4.2.34 elde edilmiştir.

Kayma deformasyonlu plak teorisinin parabolik kayma deformasyonlu versiyonunun ve klasik teorisinin kullanildigi durumlarda, a/b orani arttiginda serbest titresim frekansi degerlerinin yavas fakat düzenli bir azalma gösterdigi Çizelge 4.2.24'den görülmektedir.



Sekil 4.2.34. $(m,n) = (1,40)$ ve $h = 0.01$ m için KDPT dikkate alındığında homojen ortotrop plak ve Young modülleri ve yoğunlugu ayni anda üstel degisen ortotrop plak için serbest titresim frekansi degerlerinin degisimi

Çizelge 4.2.24'den görüldüğü gibi, homojen ortotrop kompozit plagin enine kayma deformasyonunun serbest titreşim frekansı değerlerine etkisi $(m,n)=(1,40)$ ve $a/b=1$ için % 48.396 olup, $a/b=10$ için % 48.464 olmaktadır. Homojen olmayan ortotrop kompozit plagin Young modülleri ve yoğunluğu $\eta_1(\bar{z}) = +e^{K*|\bar{z}|}$ fonksiyonu ile değiştiğinde enine kayma deformasyonunun serbest titreşim frekansı değerlerine etkisi $(m,n)=(1,40)$ ve $a/b=1$ için % 48.668 olup, $a/b=10$ için % 48.735 olmaktadır. $(m,n)=(1,40)$ için homojen olmayan ortotrop kompozit plagin Young modülleri ve yoğunluğu $\eta_1(\bar{z}) = -e^{K*|\bar{z}|}$ fonksiyonu ile değiştiğinde, enine kayma deformasyonunun serbest titreşim frekansı değerlerine etkisi $a/b=1$ için % 47.672 oranına sahipken, $a/b=10$ için % 47.741 oranına sahip olmaktadır. Homojen veya homojen olmayan durumda, a/b oranındaki artışın, $(m,n)=(1,40)$ için enine kayma deformasyonunun serbest titreşim frekansı değerlerine olan etkisini neredeyse değiştirmedigi görülebilmektedir.

Klasik teori kullanılarak elde edilen neticelere göre, plagi oluşturan malzemenin Young modülleri ve yoğunluğu $\eta_1(\bar{z}) = +e^{K*|\bar{z}|}$ şeklinde değiştiğinde homojen plaga göre serbest titreşim frekansı % 1.95 kadar küçük değer almaktadır. Plagi oluşturan malzemenin Young modüllerinin ve yoğunluğunun $\eta_1(\bar{z}) = -e^{K*|\bar{z}|}$ şeklinde değişmesi durumunda ise, homojen plaga göre serbest titreşim frekansı % 5.22 kadar küçük değer almaktadır. Kayma deformasyonlu plak teorisinin parabolik kayma deformasyonlu versiyonunun göz önüne alındığı durumda ise, homojen olmamanın titreşim frekansına etkisi, $(m,n)=(1,40)$ için plagi oluşturan malzemenin Young modülleri ve yoğunluğu $\eta_1(\bar{z}) = +e^{K*|\bar{z}|}$ şeklinde değiştiğinde % 1.41, plagi oluşturan malzemenin Young modülleri ve yoğunluğu $\eta_1(\bar{z}) = -e^{K*|\bar{z}|}$ şeklinde değiştiğinde ise % 3.89 oranına sahip olmaktadır. Burada, homojen olmamanın titreşim frekansına etkisinin a/b oranının değişimine bağlı olmadığı görülmektedir (Çizelge 4.2.24).

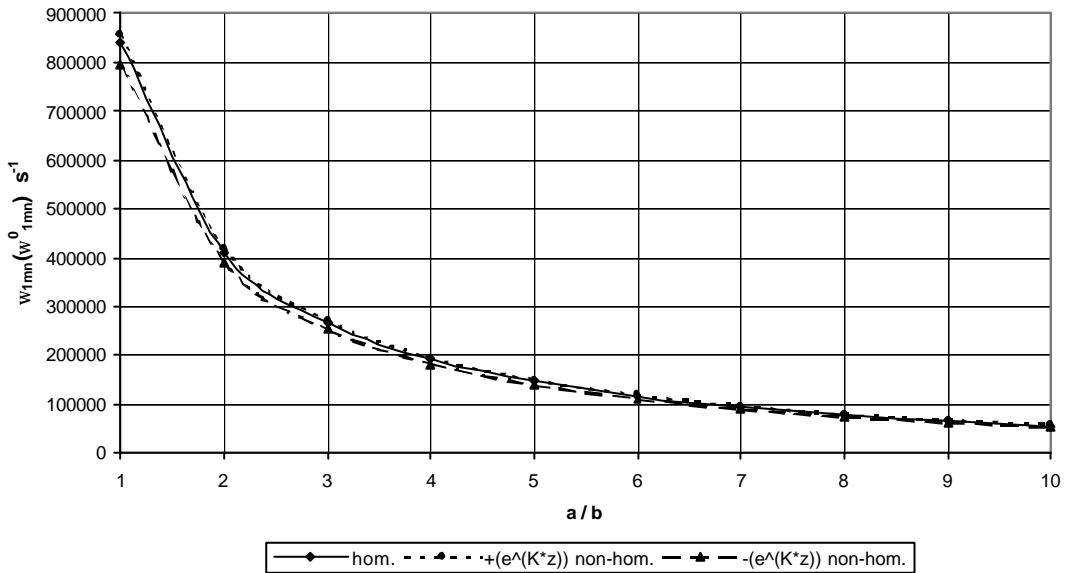
Çizelge 4.2.24. KDPT ve KPT kullanıldığında ortotrop platin Young modülleri ve yoğunluğu aynı anda kalınlık koordinatına göre üstel, yani $\eta_i(\bar{z}) = \pm e^{K^*|\bar{z}|}$, ($i = 1, 2$) şeklinde değiştiğinde, $(m, n) = (1, 40)$ ve $h = 0.01m$ için a/b oranının değişimine göre titreşim frekansının değişimi

(m,n)=(1,40)	$\mu_1 = \mu_2 = 0$		$\eta_1(\bar{z}) = +e^{K^* \bar{z} }, \mu_1 = \mu_2 = 0.5$	
a/b	ω_{1mn}^0	ω_{2mn}^0	ω_{1mn}	ω_{2mn}
1	898703.547	1741537.016	911357.989	1775415.857
2	897192.104	1740320.760	909826.902	1774175.941
3	896904.625	1740096.159	909535.690	1773946.970
4	896803.423	1740017.595	909433.175	1773866.879
5	896756.478	1739981.240	909385.620	1773829.816
6	896730.949	1739961.493	909359.760	1773809.685
7	896715.547	1739949.587	909344.158	1773797.548
8	896705.546	1739941.861	909334.027	1773789.670
9	896698.688	1739936.563	909327.080	1773784.270
10	896693.782	1739932.774	909322.110	1773780.407
a/b	$\mu_1 = \mu_2 = 0$		$\eta_1(\bar{z}) = -e^{K^* \bar{z} }, \mu_1 = \mu_2 = 0.5$	
1	898703.547	1741537.016	863767.986	1650676.937
2	897192.104	1740320.760	862311.127	1649524.135
3	896904.625	1740096.159	862034.019	1649311.252
4	896803.423	1740017.595	861936.468	1649236.787
5	896756.478	1739981.240	861891.216	1649202.329
6	896730.949	1739961.493	861866.608	1649183.612
7	896715.547	1739949.587	861851.761	1649172.328
8	896705.546	1739941.861	861842.121	1649165.004
9	896698.688	1739936.563	861835.511	1649159.983
10	896693.782	1739932.774	861830.781	1649156.391

Young modülleri ve yoğunluğun değişim fonksiyonu pozitif ve üstel olarak değiştiğinde, Young modüllerinin tek basına değişiminin serbest titreşim frekansı değerlerine etkisi yoğunluğun tek basına değişiminin ve Young modülleri ile yoğunluğun aynı anda değişimlerinin titreşim frekansı değerlerine etkisinden daha büyük olmaktadır. En küçük etki ise, Young modülleri ve yoğunluk aynı anda değiştiği durumda meydana gelmektedir.

Çizelge 4.2.25, KDPT ve KPT kullanıldığında ortotrop platin Young modülleri ve yoğunluğu aynı anda kalınlık koordinatına göre üstel, yani $\eta_i(\bar{z}) = \pm e^{K^*|\bar{z}|}$, ($i = 1, 2$) şeklinde değiştiğinde, $K = -0.5$, $h = 0.01$ m ve dalga sayıları $(m, n) = (40, 1)$ olduğunda a/b oranının değişimine göre serbest titreşim frekansı değerlerinin değişimini göstermektedir. Çizelge 4.2.25 esas alınarak, Şekil 4.2.35 ve Şekil 4.2.36 eğrileri elde edilmiştir.

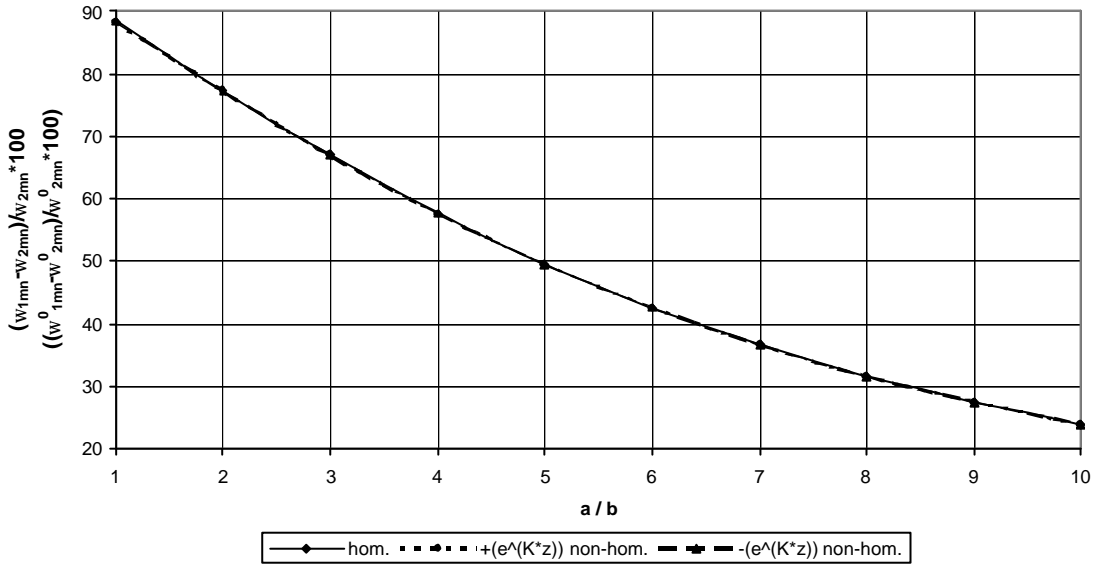
Enine kayma deformasyonlarının etkisi göz önüne alındığı ve alınmadığı durumlarda, a/b oranı arttığında serbest titreşim frekansı değerlerinin düzenli bir azalma gösterdiği Çizelge 4.2.25 ve Şekil 4.2.35'den gözlenmektedir. Burada, $a/b = 1$ olması özel hal olup, kare plagi göstermektedir.



Şekil 4.2.35. $(m, n) = (40, 1)$ ve $h = 0.01$ m için KDPT dikkate alındığında homojen ortotrop plak ve Young modülleri ve yoğunluğu aynı anda üstel değişen ortotrop plak için serbest titreşim frekansı değerlerinin değişimi

Young modülleri ve yoğunluğu $\eta_1(\bar{z}) = +e^{K^*|\bar{z}|}$ fonksiyonu ile değişen homojen olmayan ortotrop kompozit platin enine kayma deformasyonunun serbest titreşim frekansı değerlerine etkisi $(m, n) = (40, 1)$ olduğunda $a/b = 1$ için % 88.391 olurken, $a/b = 10$ için ise % 23.918 olmaktadır. $(m, n) = (40, 1)$ olduğunda, homojen olmayan

ortotrop kompozit plagin Young modüllerinin ve yoğunlugunun $\eta_1(\bar{z}) = -e^{K^*|\bar{z}|}$ fonksiyonu ile degismesi durumunda ise, enine kayma deformasyonunun serbest titresim frekansi degerlerine etkisi $a/b=1$ için % 88.391 oranina sahip olurken, $a/b=10$ için % 23.914 olmaktadır.Homojen veya homojen olmayan ortotrop kompozit dikdörtgen plagin Young modüllerinin ve yoğunlugunun $\eta_1(\bar{z}) = -e^{K^*|\bar{z}|}$ fonksiyonu ile degismesi durumunda, a/b oranindaki artis, $(m,n)=(40,1)$ için enine kayma deformasyonunun serbest titresim frekansi degerlerine olan etkisini azalttigi açiktir (Sekil 4.2.36).



Sekil 4.2.36. $(m,n)=(40,1)$ ve $h=0.01m$ için KDPT ve KPT dikkate alindiginda homojen ortotrop plak ve Young modülleri ve yoğunlugu ayni anda üstel degisen ortotrop plak için enine kayma deformasyonunun serbest titresim frekansi degerlerine etkisinin degisimi

Çizelge 4.2.25'den görüldüğü gibi, klasik teori kullanılarak elde edilen sonuçlar göz önünde bulundurulduğunda, plagi olusturan malzemenin Young modülleri ve yoğunlugu $\eta_1(\bar{z}) = +e^{K^*|\bar{z}|}$ seklinde degistiginde homojen plaga göre serbest titresim frekansi % 1.94 kadar büyük deger almaktadır.Plagi olusturan malzemenin Young modüllerinin ve yoğunlugunun $\eta_1(\bar{z}) = -e^{K^*|\bar{z}|}$ seklinde degismesi durumunda ise,

homojen plaga kiyasla serbest titreşim frekansı % 5.22 kadar küçük değeri almaktadır. $(m,n)=(40,1)$ olduğunda, kayma deformasyonlu plak teorisinin parabolik kayma deformasyonlu versiyonunun göz önüne alınması durumunda ise, plagi oluşturan malzemenin Young modülleri ve yoğunluğu $\eta_1(\bar{z}) = +e^{K|\bar{z}|}$ şeklinde değiştiğinde homojen olmamanın titreşim frekansına etkisi % 1.94, plagi oluşturan malzemenin Young modülleri ve yoğunluğu $\eta_1(\bar{z}) = -\bar{z}^2$ şeklinde değiştiğinde ise, % 5.22 oranına sahiptir. Burada, homojen olmamanın titreşim frekansına etkisinin a/b oranının değişimine bağlı olmadığı, ayrıca enine kayma deformasyonu etkisinin homojen olmamayı etkilemediği açıkça görülmektedir.

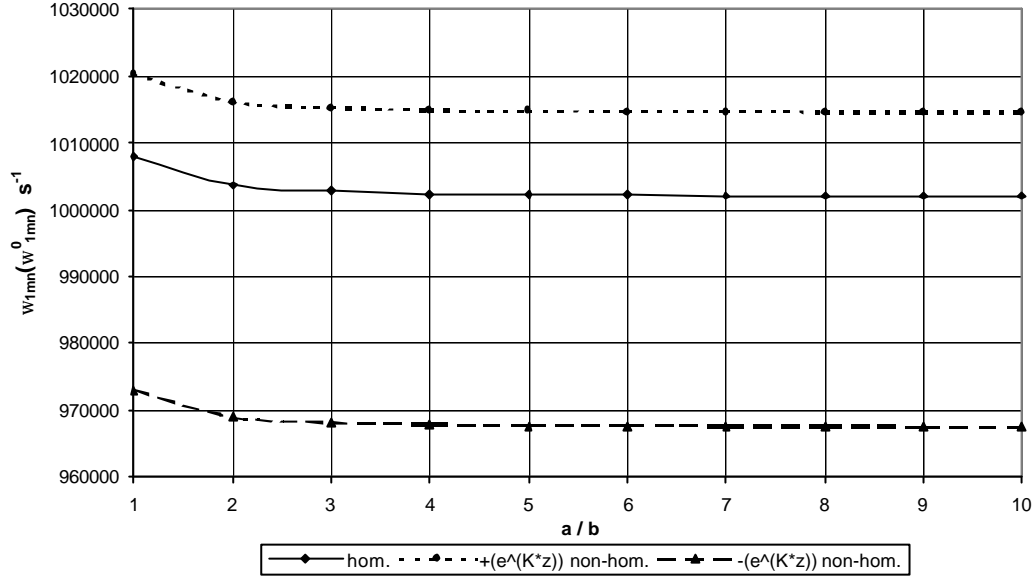
Çizelge 4.2.24 ve Çizelge 4.2.25 karşılaştırılacak olursa, $(m,n)=(1,40)$ için Çizelge 4.2.24'da a/b oranı enine kayma deformasyonu etkisini fazla değiştirmezken, Çizelge 4.2.25'de a/b oranının enine kayma deformasyonu etkisini değiştirdiği görülmektedir.

Çizelge 4.2.25. KDPT ve KPT kullanıldığında ortotrop platin Young modülleri ve yoğunluğu aynı anda kalınlık koordinatına göre üstel, yani $\eta_i(\bar{z}) = \pm e^{K^*|\bar{z}|}$, ($i = 1, 2$) şeklinde değiştiğinde, $(m, n) = (40, 1)$ ve $h = 0.01$ m için a/b oranının değişimine göre titreşim frekansının değişimi

(m,n)=(40,1)	$\mu_1 = \mu_2 = 0$		$\eta_1(\bar{z}) = +e^{K^* \bar{z} }, \mu_1 = \mu_2 = 0.9$	
a/b	ω_{1mn}^0	ω_{2mn}^0	ω_{1mn}	ω_{2mn}
1	839909.252	7235053.526	856237.651	7375800.020
2	411816.342	1809055.001	419822.328	1844247.297
3	266169.950	804240.776	271344.473	819886.004
4	191737.517	452556.171	195465.024	461359.934
5	146288.470	289776.849	149132.417	295413.997
6	115693.164	201353.947	117942.318	205270.969
7	93824.456	148038.178	95648.468	150918.026
8	77554.259	113434.657	79061.967	115641.348
9	65096.009	89711.071	66361.519	91456.257
10	55344.626	72742.210	56420.563	74157.295
a/b	$\mu_1 = \mu_2 = 0$		$\eta_1(\bar{z}) = -e^{K^* \bar{z} }, \mu_1 = \mu_2 = 0.9$	
1	839909.252	7235053.526	796114.955	6857583.775
2	411816.342	1809055.001	390343.537	1714672.349
3	266169.950	804240.776	252291.395	762281.644
4	191737.517	452556.171	181739.995	428945.252
5	146288.470	289776.849	138660.739	274658.509
6	115693.164	201353.947	109660.724	190848.838
7	93824.456	148038.178	88932.288	140314.678
8	77554.259	113434.657	73510.446	107516.504
9	65096.009	89711.071	61701.790	85030.633
10	55344.626	72742.210	52458.861	68947.078

Çizelge 4.2.26, KDPT ve KPT kullanıldığında ortotrop platin Young modülleri ve yoğunluğu aynı anda kalınlık koordinatına göre üstel, yani $\eta_i(\bar{z}) = \pm e^{K^*|\bar{z}|}$, ($i = 1, 2$) şeklinde değiştiğinde, $K = -0.5$, $h = 0.02$ m ve dalga sayıları $(m, n) = (1, 40)$ olduğunda a/b oranının değişimine göre serbest titreşim frekansı değerlerinin değişimini göstermektedir. Çizelge 4.2.26 esas alınarak, Şekil 4.2.37 elde edilmiştir.

Çizelge 4.2.26'dan, enine kayma deformasyonlarının etkisi göz önüne alındığı ve alınmadığı durumlarda, a/b oranı arttığında serbest titreşim frekansı değerlerinin yavaş fakat düzenli bir azalma gösterdiği gözlemlenmektedir.



Sekil 4.2.37. $(m,n)=(1,40)$ ve $h=0.02m$ için KDPT dikkate alındığında homojen ortotrop plak ve Young modülleri ve yoğunluğu aynı anda üstel değişen ortotrop plak için serbest titreşim frekansı değerlerinin değişimi

Homojen olmayan ortotrop kompozit platin Young modülleri ve yoğunluğu $\eta_1(\bar{z}) = +e^{K|\bar{z}|}$ fonksiyonu ile değiştiğinde, enine kayma deformasyonunun serbest titreşim frekansı değerlerine etkisi $(m,n)=(1,40)$ ve $a/b=1$ için % 71.256, $a/b=10$ için ise % 71.393 olmaktadır. Homojen olmayan ortotrop kompozit platin Young modüllerinin ve yoğunluğunun $\eta_1(\bar{z}) = -e^{K|\bar{z}|}$ fonksiyonu ile değişmesi durumunda ise, enine kayma deformasyonunun serbest titreşim frekansı değerlerine etkisi $(m,n)=(1,40)$ ve $a/b=1$ için % 70.555 olurken, $a/b=10$ için % 70.697 olmaktadır. Homojen veya homojen olmayan durumda, a/b oranının artması ile, $h=0.02$ ve $(m,n)=(1,40)$ için enine kayma deformasyonunun serbest titreşim frekansı değerlerinin neredeyse değişmediği açıkça görülmektedir (Çizelge 4.2.26).

Çizelge 4.2.26' dan görüldüğü gibi, sonuçlar klasik teori kullanılarak elde edildiğinde, plagi oluşturan malzemenin Young modüllerinin ve yoğunluğunun $\eta_1(\bar{z}) = +e^{K^*|\bar{z}|}$ şeklinde değişmesi durumunda homojen plaga kıyasla serbest titreşim frekansı % 1.91 kadar büyük değer almaktadır. Plagi oluşturan malzemenin Young modülleri ve yoğunluğu $\eta_1(\bar{z}) = -e^{K^*|\bar{z}|}$ şeklinde değiştiğinde ise, homojen plaga göre serbest titreşim frekansı % 5.13 kadar küçük değer almaktadır. $(m,n)=(1,40)$ için kayma deformasyonlu plak teorisinin parabolik kayma deformasyonlu versiyonu göz önüne alındığında ise, homojen olmamanın titreşim frekansına etkisi, plagi oluşturan malzemenin Young modülleri ve yoğunluğu $\eta_1(\bar{z}) = +e^{K^*|\bar{z}|}$ şeklinde değiştiğinde, % 1.24 oranına sahipken, plagi oluşturan malzemenin Young modülleri ve yoğunluğu $\eta_1(\bar{z}) = -e^{K^*|\bar{z}|}$ şeklinde değiştiğinde ise, % 3.46 oranına sahiptir. Burada, homojen olmamanın titreşim frekansına etkisinin a/b oranının değişimine bağlı olmadığı görülmektedir.

Çizelge 4.2.24 ve Çizelge 4.2.26 karşılaştırılacak olursa, $h=0.02$ olduğunda alınan serbest titreşim frekansı değerleri ile enine kayma deformasyonunun etkileri, $h=0.01$ olduğunda alınan değerlerden daha büyüktür.

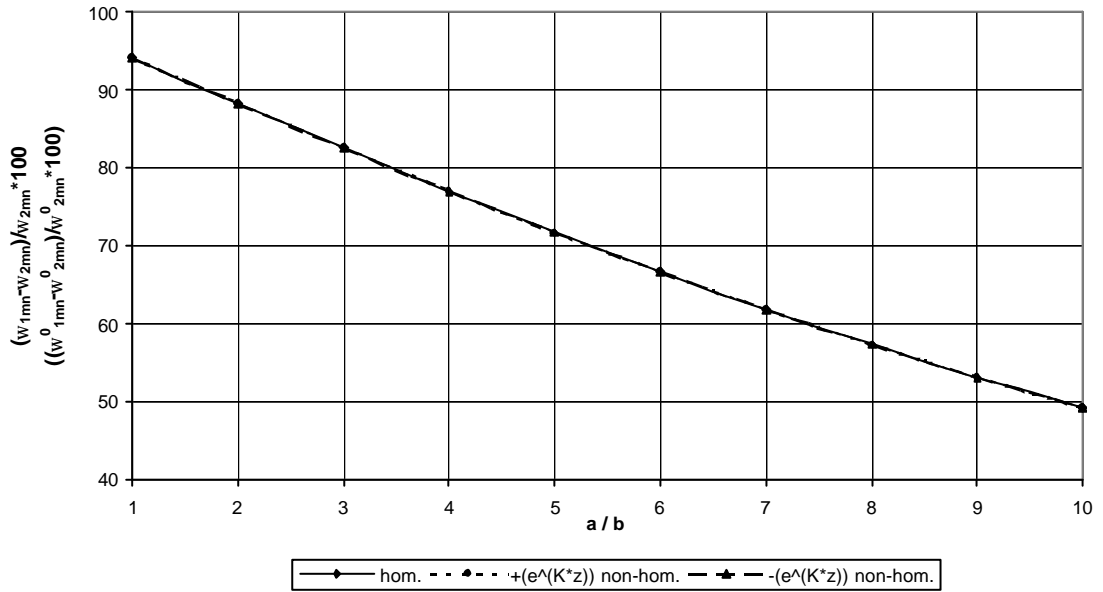
Çizelge 4.2.26. KDPT ve KPT kullanıldığında ortotrop platin Young modülleri ve yoğunluğu aynı anda kalınlık koordinatına göre üstel, yani $\eta_i(\bar{z}) = \pm e^{K^*|\bar{z}|}$, ($i = 1,2$) şeklinde değiştiğinde, $(m,n)=(1,40)$ ve $h=0.02m$ için a/b oranının değişimine göre titreşim frekansının değişimi

(m,n)=(1,40)	$\mu_1 = \mu_2 = 0$		$\eta_1(\bar{z}) = +e^{K^* \bar{z} }, \mu_1 = \mu_2 = 0.9$	
a/b	ω_{1mn}^0	ω_{2mn}^0	ω_{1mn}	ω_{2mn}
1	1007810.329	3483074.033	1020339.413	3549724.539
2	1003625.438	3480641.518	1016111.706	3547245.478
3	1002741.364	3480192.317	1015218.620	3546787.682
4	1002422.499	3480035.189	1014896.507	3546627.547
5	1002273.188	3479962.480	1014745.677	3546553.445
6	1002191.617	3479922.986	1014663.275	3546513.196
7	1002142.274	3479899.174	1014613.430	3546488.929
8	1002110.185	3479883.721	1014581.013	3546473.179
9	1002088.154	3479873.126	1014558.759	3546462.381
10	1002072.382	3479865.548	1014542.826	3546454.658
a/b	$\mu_1 = \mu_2 = 0$		$\eta_1(\bar{z}) = -e^{K^* \bar{z} }, \mu_1 = \mu_2 = 0.9$	
1	1007810.329	3483074.033	972987.719	3304432.417
2	1003625.438	3480641.518	968923.583	3302124.665
3	1002741.364	3480192.317	968064.935	3301698.501
4	1002422.499	3480035.189	967755.233	3301549.433
5	1002273.188	3479962.480	967610.214	3301480.451
6	1002191.617	3479922.986	967530.987	3301442.985
7	1002142.274	3479899.174	967483.061	3301420.394
8	1002110.185	3479883.721	967451.892	3301405.732
9	1002088.154	3479873.126	967430.495	3301395.681
10	1002072.382	3479865.548	967415.176	3301388.491

Çizelge 4.2.27, KDPT ve KPT kullanıldığında ortotrop platin Young modülleri ve yoğunluğu aynı anda kalınlık koordinatına göre üstel, yani $\eta_i(\bar{z}) = \pm e^{K^*|\bar{z}|}$, ($i = 1,2$) şeklinde değiştiğinde, $K=-0.5$, $h=0.02 m$ ve dalga sayıları $(m,n)=(40,1)$ olduğunda a/b oranının değişimine göre serbest titreşim frekansı değerlerinin değişimini göstermektedir. Çizelge 4.2.27 esas alınarak, Şekil 4.2.38 eğrisi elde edilmiştir.

Enine kayma deformasyonlarının etkisinin göz önüne alındığı ve alınmadığı durumlarda, a/b oranı arttığında serbest titreşim frekansı değerlerinin düzenli bir azalma gösterdiği Çizelge 4.2.27'den görülebilmektedir.

Sekil 4.2.38'den görüldüğü gibi, Young modülleri ve yoğunluğu $\eta_1(\bar{z}) = +e^{K*|\bar{z}|}$ fonksiyonu ile değişen homojen olmayan ortotrop kompozit platin enine kayma deformasyonunun serbest titreşim frekansı değerlerine etkisi $(m,n)=(40,1)$ olduğunda $a/b=1$ için % 94.128, $a/b=10$ için ise % 49.181 oranına sahip olmaktadır. Homojen olmayan ortotrop kompozit platin Young modülleri ve yoğunluğu $\eta_1(\bar{z}) = -e^{K*|\bar{z}|}$ fonksiyonu ile değiştiğinde, enine kayma deformasyonunun serbest titreşim frekansı değerlerine etkisi $(m,n)=(40,1)$ olduğunda, $a/b=1$ için % 94.127, $a/b=10$ için ise % 49.172 olmaktadır. Burada, homojen veya homojen olmayan ortotrop kompozit platin Young modüllerinin ve yoğunluğunun kalınlık koordinatına göre değişmesi durumunda, a/b oranının artmasının, $(m,n)=(40,1)$ için enine kayma deformasyonunun serbest titreşim frekansı değerlerine olan etkisini azalttığı görülmektedir.



Sekil 4.2.38. $(m,n)=(40,1)$ ve $h=0.02m$ için KDPT ve KPT dikkate alındığında homojen ortotrop plak ve Young modülleri ve yoğunluğu aynı anda üstel değişen ortotrop plak için enine kayma deformasyonunun serbest titreşim frekansı değerlerine etkisinin değişimi

Çizelge 4.2.27'den görüldüğü gibi, klasik teori kullanılarak elde edilen sonuçlar göz önüne alındığında, plagi oluşturan malzemenin Young modüllerinin ve yoğunluğunun $\eta_1(\bar{z}) = +e^{K*|\bar{z}|}$ şeklinde değişmesi durumunda, homojen plaga kıyasla serbest titreşim frekansı % 1.91 kadar büyük değer almaktadır. Plagi oluşturan malzemenin Young modüllerinin ve yoğunluğunun $\eta_1(\bar{z}) = -e^{K*|\bar{z}|}$ şeklinde değişmesi durumunda ise, homojen plaga göre serbest titreşim frekansı % 5.1 kadar küçük olmaktadır. $(m,n)=(40,1)$ olduğunda kayma deformasyonlu plak teorisinin parabolik kayma deformasyonlu versiyonu dikkate alındığında ise, homojen olmamanın titreşim frekansına etkisi, plagi oluşturan malzemenin Young modülleri ve yoğunluğu $\eta_1(\bar{z}) = +e^{K*|\bar{z}|}$ şeklinde değiştiğinde % 1.91 oranına sahipken, plagi oluşturan malzemenin Young modülleri ve yoğunluğu $\eta_1(\bar{z}) = -e^{K*|\bar{z}|}$ şeklinde değiştiğinde % 5.1 olmaktadır. Burada, homojen olmamanın titreşim frekansına etkisinin a/b oranının değişimine bağlı olmadığı görülebilir.

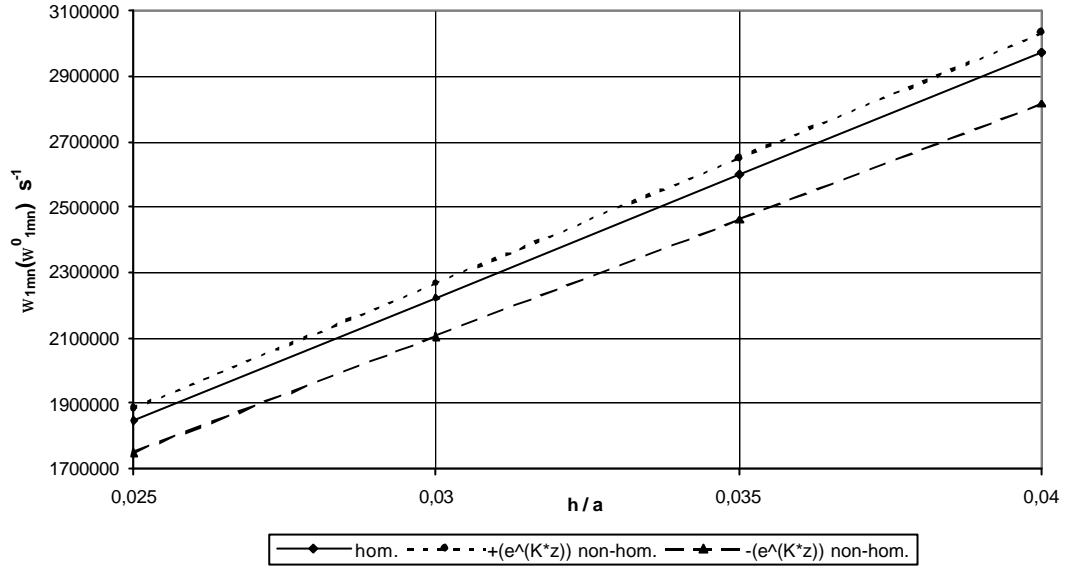
Çizelge 4.2.26 ve Çizelge 4.2.27 arasında karşılaştırma yapılacak olursa, $(m,n)=(1,40)$ için Çizelge 4.2.26'da a/b oranı enine kayma deformasyonu etkisini fazla değiştirmezken, Çizelge 4.2.27'de a/b oranının enine kayma deformasyonu etkisini değiştirdiği görülebilir.

Çizelge 4.2.27. KDPT ve KPT kullanıldığında ortotrop platin Young modülleri ve yoğunluğu aynı anda kalınlık koordinatına göre üstel, yani $\eta_i(\bar{z}) = \pm e^{K^*|\bar{z}|}$, ($i = 1, 2$) şeklinde değiştiğinde, $(m, n) = (40, 1)$ ve $h = 0.02m$ için a/b oranının değişimine göre titreşim frekansının değişimi

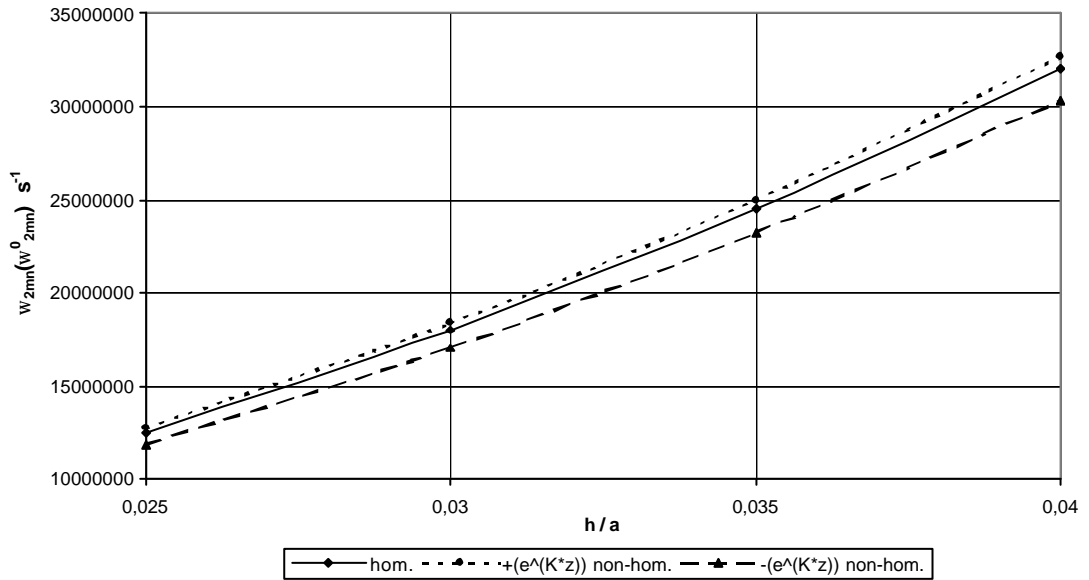
(m,n)=(40,1)	$\mu_1 = \mu_2 = 0$		$\eta_1(\bar{z}) = +e^{K^* \bar{z} }, \mu_1 = \mu_2 = 0.9$	
a/b	ω_{1mn}^0	ω_{2mn}^0	ω_{1mn}	ω_{2mn}
1	849670.679	14470107.05	865886.512	14747000.380
2	422763.051	3618110.001	430831.419	3687344.494
3	279585.863	1608481.550	284921.716	1639260.716
4	207390.490	905112.341	211348.506	922432.156
5	163638.591	579553.697	166761.609	590643.771
6	134157.224	402707.894	136717.595	410413.928
7	112875.211	296076.355	115029.418	301741.937
8	96757.403	226869.314	98604.005	231210.581
9	84116.417	179422.141	85721.767	182855.481
10	73937.675	145484.421	75348.766	148268.344
a/b	$\mu_1 = \mu_2 = 0$		$\eta_1(\bar{z}) = -e^{K^* \bar{z} }, \mu_1 = \mu_2 = 0.9$	
1	849670.679	14470107.05	806196.105	13727957.08
2	422763.051	3618110.001	401131.795	3432542.594
3	279585.863	1608481.550	265280.464	1525984.958
4	207390.490	905112.341	196779.067	858690.495
5	163638.591	579553.697	155265.794	549829.262
6	134157.224	402707.894	127292.881	382053.614
7	112875.211	296076.355	107099.791	280891.046
8	96757.403	226869.314	91806.673	215233.529
9	84116.417	179422.141	79812.480	170219.850
10	73937.675	145484.421	70154.548	138022.744

Çizelge 4.2.28, KDPT ve KPT kullanıldığında ortotrop platin Young modülleri ve yoğunluğu aynı anda kalınlık koordinatına göre üstel, yani $\eta_i(\bar{z}) = \pm e^{K^*|\bar{z}|}$, ($i = 1, 2$) şeklinde değiştiğinde, dalga sayıları $(m, n) = (50, 1)$ olduğunda h/a oranının değişimine göre serbest titreşim frekansı değerlerinin değişimini göstermektedir. Çizelge 4.2.28 esas alınarak, Şekil 4.2.39-4.2.40 eğrileri elde edilmiştir.

Enine kayma deformasyonlarının etkisinin göz önüne alındığı ve alınmadığı durumlarda, h/a oranı arttığında serbest titreşim frekansı değerlerinin de arttığı Çizelge 4.2.28, Şekil 4.2.39 ve Şekil 4.2.40'dan görülebilmektedir.

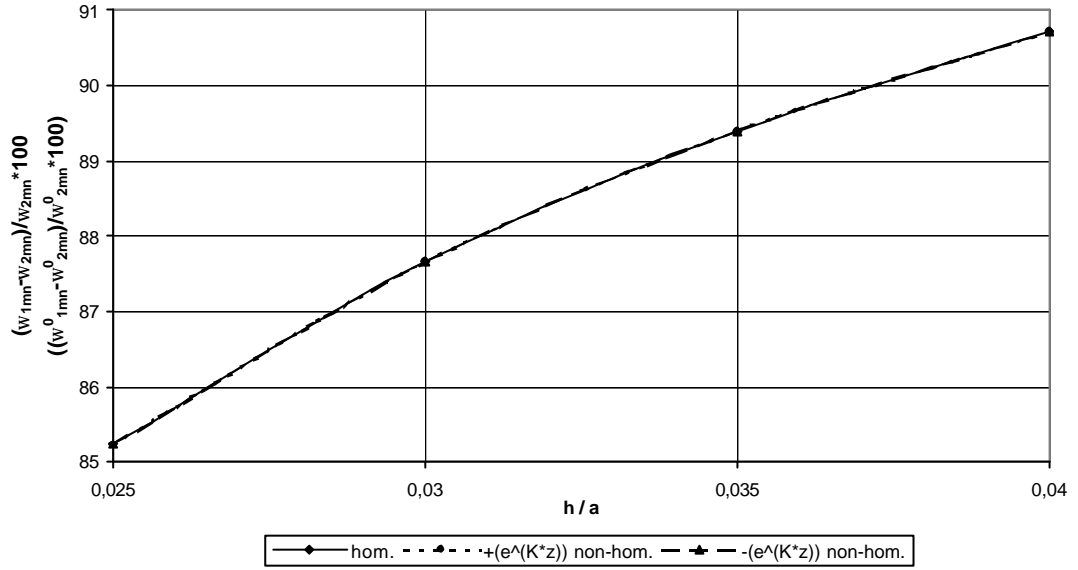


Sekil 4.2.39. $(m,n)=(50,1)$ ve h/a oranı için KDPT dikkate alındığında homojen ortotrop plak ve Young modülleri ve yoğunluğu aynı anda üstel değişen ortotrop plak için serbest titreşim frekansı değerlerinin değişimi



Sekil 4.2.40. $(m,n)=(50,1)$ ve h/a oranı için KPT dikkate alındığında homojen ortotrop plak ve Young modülleri ve yoğunluğu aynı anda üstel değişen ortotrop plak için serbest titreşim frekansı değerlerinin değişimi

Homojen ve homojen olmayan durumlarda, kayma deformasyonu etkisi aynı olup, h/a oranının artması ile bu etki artmakta ve $(m,n)=(50,1)$ yaklaşık olarak % 91 oranına çıkmaktadır. Yapılan hesaplar neticesinde bu etkinin, m 'nin artmasına bağlı olarak artacağı açıkça görüldüğünden en büyük etkiyi elde etmek için burada $(m,n)=(50,1)$ seçilmiştir (Şekil 4.2.41).



Şekil 4.2.41. $(m,n)=(50,1)$ ve h/a oranı için KDPT ve KPT dikkate alındığında homojen ortotrop plak ve Young modülleri ve yoğunluğu aynı anda üstel değişen ortotrop plak için enine kayma deformasyonunun serbest titreşim frekansı değerlerine etkisinin değişimi

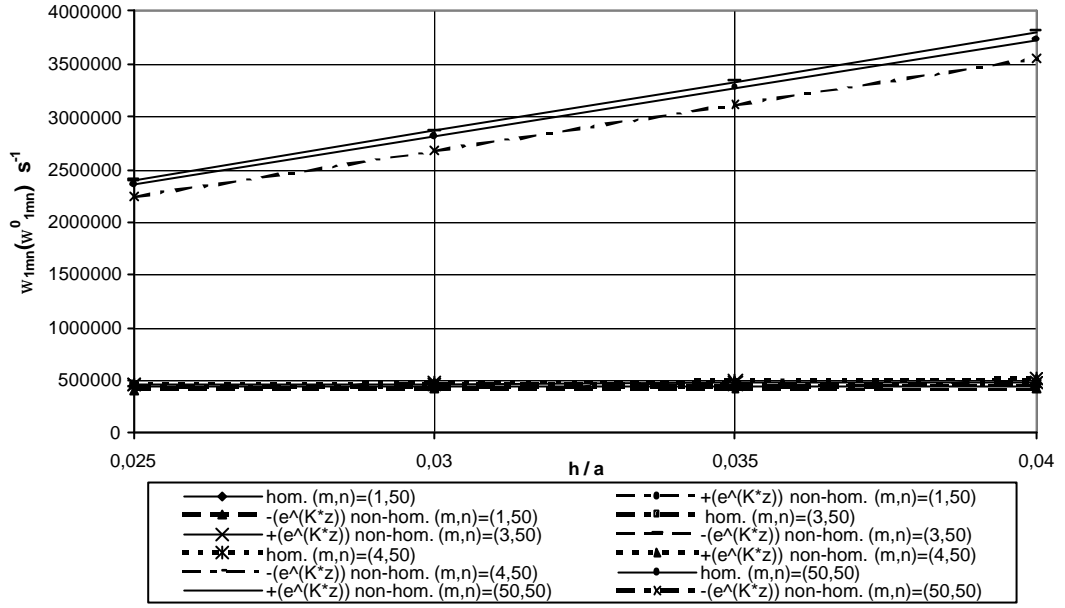
Çizelge 4.2.28'den görüldüğü gibi, $\eta_i(\bar{z}) = +e^{K|\bar{z}|}$, $(i=1,2)$ için enine kayma deformasyonu etkisinin dikkate alındığı ve alınmadığı durumlarda, homojen olmamanın titreşim frekansına etkisi, h/a oranının bütün değerleri için % 1.97 olmaktadır. $\eta_i(\bar{z}) = -e^{K|\bar{z}|}$, $(i=1,2)$ için kayma deformasyonlu plak teorisinin parabolik kayma deformasyonlu versiyonu ve klasik teori dikkate alındığı durumlarda, h/a oranının bütün değerleri için % 5.27 oranına sahip olmaktadır. Burada, homojen olmamanın titreşim frekansına etkisinin h/a oranının artmasına bağlı olmadığı açıkça görülmektedir.

Çizelge 4.2.28. KDPT ve KPT kullanıldığında ortotrop platin Young modülleri ve yoğunluğu aynı anda kalınlık koordinatına göre üstel, yani $\eta_i(\bar{z}) = \pm e^{K^*|\bar{z}|}$, ($i = 1,2$) şeklinde değiştiğinde, $(m,n)=(50,1)$ ve a/b oranının değişimine göre titreşim frekansının değişimi

$(m,n)=(50,1)$	$\mu_1 = \mu_2 = 0$		$\eta_1(\bar{z}) = +e^{K^* \bar{z} }, \mu_1 = \mu_2 = 0.9$	
h/a	ω_{1mn}^0	ω_{2mn}^0	ω_{1mn}	ω_{2mn}
0.025	1847053.674	12509103.31	1883364.093	12755024.32
0.030	2223878.599	18013078.35	2267596.854	18367204.01
0.035	2599782.808	24517776.12	2650890.800	24999780.01
0.040	2975099.972	32023196.69	3033586.159	32652752.38
h/a	$\mu_1 = \mu_2 = 0$		$\eta_1(\bar{z}) = -e^{K^* \bar{z} }, \mu_1 = \mu_2 = 0.9$	
0.025	1847053.674	12509103.31	1749633.295	11849303.28
0.030	2223878.599	18013078.35	2106583.093	17062967.90
0.035	2599782.808	24517776.12	2462660.737	23224571.56
0.040	2975099.972	32023196.69	2818182.298	30334114.29

KDPT ve KPT kullanıldığında ortotrop platin Young modülleri ve yoğunluğu aynı anda kalınlık koordinatına göre üstel, yani $\eta_i(\bar{z}) = \pm e^{K^*|\bar{z}|}$, ($i = 1,2$) şeklinde değiştiğinde, dalga sayıları $(m,n)=(1,50)$, $(m,n)=(3,50)$, $(m,n)=(4,50)$, $(m,n)=(50,50)$ olduğunda h/a oranının değişimine göre serbest titreşim frekansı değerlerinin değişimi Çizelge 4.2.29'da sunulmaktadır. Çizelge 4.2.29 esas alınarak, Şekil 4.2.42 elde edilmiştir.

Enine kayma deformasyonlarının etkisinin göz önüne alındığı ve alınmadığı durumlarda, h/a oranı arttığında serbest titreşim frekansı değerlerinin değişimi Çizelge 4.2.29 ve Şekil 4.2.42'den görülebilmektedir.



Sekil 4.2.42. (m,n)=(m,50) ve h/a oranı için KDPT dikkate alındığında homojen ortotrop plak ve Young modülleri ve yoğunluğu aynı anda üstel değişen ortotrop plak için serbest titreşim frekansı değerlerinin değişimi

Homojen ve homojen olmayan durumlarda, kayma deformasyonunun titreşim frekansı değerlerine etkisi, (m,n)=(1,50) için h/a oranının artması ile azalmakta, fakat (m,n)=(3,50) değerlerinden itibaren ise h/a oranının artması ile artmaktadır. Burada (m,n)=(3,50) için etki oranı minimum değere sahip olup, m'nin sonraki artışına bağlı olarak artmaktadır (Çizelge 4.2.29).

Çizelge 4.2.29'da görüldüğü gibi, (m,n)=(m,50) için kayma deformasyonlu plak teorisinin parabolik kayma deformasyonlu versiyonu dikkate alındığında, homojen olmamanın titreşim frekansına etkisi $\eta_1(\bar{z}) = +e^{K^*|\bar{z}|}$ olduğunda h/a oranının bütün değerleri için % 1.81 oranını almaktadır. $\eta_1(\bar{z}) = -e^{K^*|\bar{z}|}$ olduğunda ise, h/a oranının bütün değerleri için % 4.89 oranına sahip olmaktadır. Klasik teorisinin kullanıldığı durumda ise, homojen olmamanın titreşim frekansına etkisi $\eta_1(\bar{z}) = +e^{K^*|\bar{z}|}$ olduğunda h/a oranının bütün değerleri için % 1.97, $\eta_1(\bar{z}) = -e^{K^*|\bar{z}|}$ olduğunda ise, % 5.27 olmaktadır. Burada, homojen olmamanın titreşim frekansına etkisinin h/a oranına ve boyuna dalga sayısına bağlı olarak değişmediği görülmektedir.

Çizelge 4.2.29. KDPT ve KPT kullanıldığında ortotrop platin Young modülleri ve yoğunluğu aynı anda kalınlık koordinatına göre üstel, yani $\eta_i(\bar{z}) = \pm e^{K^*|\bar{z}|}$, ($i = 1, 2$) şeklinde değiştiğinde, $(m, n) = (m, 50)$ ve h/a oranının değişimine göre titreşim frekansının değişimi

h/a	$\mu_1 = \mu_2 = 0$		$\eta_1(\bar{z}) = +e^{K^* \bar{z} }, \mu_1 = \mu_2 = 0.9$	
(m,n)=(1,50)	ω_{1mn}^0	ω_{2mn}^0	ω_{1mn}	ω_{2mn}
0.025	430658.245	485341.120	438448.774	494882.618
0.030	431458.972	486151.675	439263.961	495709.108
0.035	432409.244	487120.694	440231.395	496697.177
0.040	433510.797	488253.631	441352.841	497852.387
(m,n)=(1,50)	$\mu_1 = \mu_2 = 0$		$\eta_1(\bar{z}) = -e^{K^* \bar{z} }, \mu_1 = \mu_2 = 0.9$	
0.025	430658.245	485341.120	409580.844	459741.517
0.030	431458.972	486151.675	410342.441	460509.318
0.035	432409.244	487120.694	411246.276	461427.225
0.040	433510.797	488253.631	412293.995	462500.405
(m,n)=(3,50)	$\mu_1 = \mu_2 = 0$		$\eta_1(\bar{z}) = +e^{K^* \bar{z} }, \mu_1 = \mu_2 = 0.9$	
0.025	445607.593	501385.512	453668.147	511242.433
0.030	453219.511	510303.577	461417.589	520335.821
0.035	462309.187	521617.496	470671.580	531872.164
0.040	472856.410	535648.033	481409.332	546178.533
(m,n)=(3,50)	$\mu_1 = \mu_2 = 0$		$\eta_1(\bar{z}) = -e^{K^* \bar{z} }, \mu_1 = \mu_2 = 0.9$	
0.025	445607.593	501385.512	423799.528	474939.638
0.030	453219.511	510303.577	431039.325	483387.314
0.035	462309.187	521617.496	439684.589	494104.474
0.040	472856.410	535648.033	449716.087	507394.962
(m,n)=(4,50)	$\mu_1 = \mu_2 = 0$		$\eta_1(\bar{z}) = +e^{K^* \bar{z} }, \mu_1 = \mu_2 = 0.9$	
0.025	459115.784	517560.362	467420.401	527735.269
0.030	472856.410	535648.033	481409.332	546178.533
0.035	489103.672	559135.096	497950.234	570127.337
0.040	507691.481	588734.403	516874.015	600308.548
(m,n)=(4,50)	$\mu_1 = \mu_2 = 0$		$\eta_1(\bar{z}) = -e^{K^* \bar{z} }, \mu_1 = \mu_2 = 0.9$	
0.025	459115.784	517560.362	436647.323	490261.335
0.030	472856.410	535648.033	449716.087	507394.962
0.035	489103.672	559135.096	465168.835	529643.186
0.040	507691.481	588734.403	482847.589	557681.260
(m,n)=(50,50)	$\mu_1 = \mu_2 = 0$		$\eta_1(\bar{z}) = +e^{K^* \bar{z} }, \mu_1 = \mu_2 = 0.9$	
0.025	2354210.71	12689805.25	2396781.475	12939278.75
0.030	2813276.309	18191348.12	2864148.934	18548978.46
0.035	3273863.699	24694569.02	3333065.068	25180048.55
0.040	3735404.195	32199026.90	3802951.551	32832039.29
(m,n)=(50,50)	$\mu_1 = \mu_2 = 0$		$\eta_1(\bar{z}) = -e^{K^* \bar{z} }, \mu_1 = \mu_2 = 0.9$	
0.025	2354210.71	12689805.25	2239028.297	12020473.98
0.030	2813276.309	18191348.12	2675634.609	17231834.73
0.035	3273863.699	24694569.02	3113687.614	23392039.41
0.040	3735404.195	32199026.90	3552647.068	30500670.22

Mevcut çalışmada elde edilen serbest titreşim frekansı değerleri, literatürde bulunan değişik çalışmalarla kıyaslanarak doğruluğu teyit edilmiştir. Bu karşılaştırmalar, Çizelge 4.2.30 ve Çizelge 4.2.31’de sunulmaktadır.

Çizelge 4.2.30’da, izotropik dikdörtgen plaklar için farklı çalışmalarda klasik plak teorisi kullanılarak elde edilen frekans parametre değerleri sunulmaktadır. Çizelgenin birinci sütununda, Bhat (1985) tarafından elde edilen kesin frekans parametresi değerleri, ikinci sütununda yine Bhat (1985) tarafından ortogonal polinomlar kullanılarak elde edilen frekans parametresi değerleri, üçüncü sütunda Dickinson ve Blasio (1985) tarafından elde edilen frekans parametresi değerleri, dördüncü sütunda ise mevcut tez çalışmasında özel halde elde edilen frekans parametresinin değerleri sunulmaktadır. Çizelge 4.2.30’dan görüldüğü gibi, mevcut çalışmada elde edilen sonuçlar ile literatürdeki sonuçlar birbiri ile oldukça yüksek bir uyum içerisindedir. Çizelge 4.2.30’daki karşılaştırmalarda aşağıdaki malzeme sabitleri ve plak boyutları kullanılmıştır:

$$E_{01} = 7.75 \times 10^{10} \text{ N/m}^2, \quad E_{01} = E_{02}, \quad G_{012} = E_{01} / (2 \times (1 + \nu_1)), \quad G_{013} = G_{023} = 1, \\ \nu_{12} = \nu_{21} = 0.3, \quad \rho_0 = 3.1 \times 10^3 \text{ kg/m}^3; \quad h = 0.00353 \text{ m}, \quad a = b = 0.3411 \text{ m}.$$

Çizelge 4.2.30. İzotropik dikdörtgen plaklar için frekans parametreleri $(\rho_0 h \omega^2 a^4 / D)^{1/2}$

a/b	(m,n)	Bhat (1985) Kesin sonuç	Bhat (1985) Ortogonal polinomlar	Dickinson ve Blasio (1985)	Mevcut çalışma (2004)
1.0	(1,1)	19.739	19.739	19.7392	19.7392
	(1,2)	49.348	49.348	49.3480	49.3480
	(2,1)	49.348	49.348	49.3480	49.3480
	(2,2)	78.957	78.957	78.9568	78.9568
	(1,3)	98.696	99.304	-	98.6960
	(3,1)	98.696	99.304	-	98.6960
2.5	(1,1)	71.555	71.555	-	71.5546
	(2,1)	101.163	101.164	-	101.1634
	(3,1)	150.511	150.991	-	150.5115
	(4,1)	219.599	222.918	-	219.5987
	(1,2)	256.610	256.610	-	256.6097
	(2,2)	286.219	286.219	-	286.2185

Çizelge 4.2.31’de Reddy (1997) ve mevcut çalışmada kayma deformasyonlu plak teorisinin parabolik kayma deformasyonlu versiyonu (KDPT) ve klasik plak teorisi (KPT) için elde edilen serbest titreşim frekansı parametresi değerleri sunulmaktadır. Kayma deformasyonlu plak teorisinin parabolik kayma deformasyonlu versiyonunun bir diğer adı bazı kaynaklarda birinci dereceden kayma deformasyon teorisi olarak geçmektedir. Burada kullanılan $K=5/6$, KDPT için kayma düzeltme katsayısı olup, Çizelge 4.2.31’deki karşılaştırmalarda aşağıdaki malzeme sabitleri ve plak boyutları kullanılmıştır:

$$E_1 = 1.724 \times 10^{11}, \quad E_1 = 25E_2, \quad G_{12} = G_{13} = 0.5E_2, \quad G_{23} = 0.2E_2, \quad \nu_{12} = 0.25, \\ \nu_{21} = 0.01; \quad a=b=0.3411.$$

Değerler, a/h oranının farklı değerleri için KDPT ve KPT kullanılarak elde edilmiştir. $a/h \leq 25$ olduğunda genel olarak kalın plaklar, $a/h > 25$ olduğunda ise ince plaklar söz konusudur. Çizelge 4.2.31 incelendiğinde, Birinci Dereceden Kayma Deformasyon Teorisi (KDPT) ve Klasik Plak Teorisi (KPT) için Reddy (1997) çalışmasında ve mevcut çalışmada elde edilen sonuçların uyum içerisinde olduğu açıkça görülmektedir.

Mevcut çalışmada elde edilen formüllerde Soldatos ve Messina (2001), Tong (1994) ve Ambartsumyan (1964) tarafından kayma deformasyonu için kullanılan fonksiyonlar dikkate alınarak doğal frekans değerleri için hesap yapılmış ve elde edilen değerler de Çizelge 4.2.31’de sunulmaktadır. Soldatos ve Messina (2001), çalışmasında kayma deformasyonu fonksiyonu için $f_i(z) = (h^2 - 4z^2)$ ifadesini, Tong (1994) çalışmasında kayma deformasyonu fonksiyonu için $f_i(z) = \frac{5}{4}(h^2 - 4z^2)$ ifadesini seçmiş ve mevcut tez çalışmasında ise Ambartsumyan (1964) çalışmasında kullanılan (1.3.3.1) kayma deformasyonu fonksiyonu seçilmiştir. Çizelge 4.2.31’de sunulan doğal frekans değerlerini karşılaştırdığımızda, KPT teorisi ile elde edilen doğal frekans değerlerinin aynı olduğunu, fakat KDPT teorisi kullanıldığında mevcut tez çalışmasında elde edilen değerler Soldatos ve Messina (2001) ve Tong (1994) çalışmasında kullanılan fonksiyonlar için elde edilen

dogal frekans degerlerinden daha küçük oldugu görülmektedir. Bu ise tez çalismasinda kullanılan kayma deformasyonu fonksiyonunun titresim frekansi parametresine etkisinin daha büyük oldugunu göstermektedir.

Çizelge 4.2.31. Basit mesnetli dikdörtgen plaklarda kayma deformasyonunun dogal frekanslara etkisi

$$\bar{\omega} = \omega(a^2/h)\sqrt{\rho_0/E_{02}}; \quad E_{01} = 1.724 \times 10^{11}; \quad E_1 = 25E_2; \quad G_{012} = G_{013} = 0.5E_{02};$$

$$G_{023} = 0.2E_{02}, \quad \nu_{21} = 0.01; \quad \nu_{12} = 0.25; \quad K=5/6$$

$\bar{\omega} = \omega(a^2/h)\sqrt{\rho_0/E_{02}}$					
a/h	Teori	Reddy (1997) çalismasi	Mevcut çalisa (Soldatos ve Messina, 2001)	Mevcut çalisa Tong (1994)	Mevcut çalisa Ambartsumyan (1964)
10	KDPT	12.452	12.680	13.087	7.420
	KPT	15.104	15.228	15.228	15.228
20	KDPT	14.355	14.432	14.583	11.094
	KPT	15.197	15.228	15.228	15.228
25	KDPT	14.651	14.703	14.805	12.134
	KPT	15.208	15.228	15.228	15.228
50	KDPT	15.077	15.091	15.118	14.217
	KPT	15.223	15.228	15.228	15.228
100	KDPT	15.190	15.193	15.200	14.953
	KPT	15.227	15.228	15.228	15.228

5.SONUÇLAR

Bu çalışmada, kayma deformasyonlu plak teorisi kullanılarak, Young modülleri ve yoğunluğu kalınlık koordinatına bağlı olarak sürekli değişen ortotrop kompozit malzemelerden oluşan basit mesnetli dikdörtgen plakların serbest titreşim problemi incelenmiştir.

Enine kayma deformasyonları içeren ve Young modülleri ve yoğunluğu kalınlık koordinatına göre sürekli değişen malzemelerden oluşan anizotrop plaklar için genel halde temel bağıntı ve titreşim denklemleri oluşturulmuş, basit mesnetli dikdörtgen ortotrop plaklarda titreşim frekansı için analitik formül elde edilmiştir.

Young modülleri ve yoğunluğun değişim fonksiyonları ve kayma deformasyonu fonksiyonu ayrı-ayrı sifıra eşit olduğu durumlarda, ortotrop ve izotrop malzemelerden oluşan dikdörtgen plaklar için uygun ifadeler, bu formülden özel olarak elde edilmiştir.

Enine kayma deformasyonu fonksiyonlarının değişik şekilleri için, Young modülleri ve yoğunluğu üstel ve kuvvet fonksiyonları şeklinde değişiminin, Young modülleri ve plak parametreleri oranları değişiminin titreşim frekansı değerlerine etkisinin önemli olduğu sayısal olarak kanıtlanmış ve genel ifadelerle belirtilebilecek sonuçlar elde edilmiştir:

- Homojen ve homojen olmayan durumlarda KDPT kullanıldığında elde edilen serbest titreşim frekansının değerleri KPT kullanıldığında elde edilen değerlerden daha küçük olmaktadır.
- KDPT ve KPT kullanıldığında ve plagi oluşturan ortotrop malzemeler homojen ve homojen olmayan olduğunda (m,n) dalga sayıları arttığında serbest titreşim frekansı değerleri düzenli artmaktadır.

- KDPT ve KPT kullanildiginda boyuna dalga sayisini artmasi kayma deformasyonunun titresim frekansina etkisini önemli derecede artırmaktadır.
- KDPT ve KPT kullanildiginda enine dalga sayısı artiginde kayma deformasyonunun serbest titresim frekansı degerlerine etkisi önce azaltmakta ve sonra ise bu etki artmaktadır.
- KDPT ve KPT kullanildiginda homojen olmamanin serbest titresim frekansı degerlerine etkisi dalga sayisinin degisimine bagli degildir.
- KDPT ve KPT kullanildiginda Young modülleri orani artiginde serbest titresim frekansinin degerleri önce azalmakta, sonra ise artmaktadır, fakat artis çok zayıf olmaktadır.
- Homojen olmamanin serbest titresim frekansinin degerlerine etkisi enine kayma deformasyonu etkisi göz önüne alindiginda ve alınmadigi durumlarda aynı olup, Young modülleri orani degisimine bagli degildir.
- KPT kullanildiginda, dalga sayilarinin degistigi durumlarda homojen olmamanin serbest titresim frekansinin degerlerine etkisi h/a oranin degisimine bagli degildir.
- KDPT kullanildiginda, dalga sayilarinin degistigi durumlarda homojen olmamanin serbest titresim frekansinin degerlerine etkisi h/a oranin degisimine zayıf olsa da bir baglilik vardır.
- Degisik dalga sayilari için h/a orani artiginde kayma deformasyonunun serbest titresim frekansinin degerlerine etkisi artmaktadır.
- h/a oraninin büyük degerlerinde, enine kayma deformasyonu fonksiyonlari $f(z) = \frac{1}{2} \left(\frac{h^2}{4} - z^2 \right)$, $f(z) = h^2 - 4z^2$ ve $f(z) = \frac{5}{4} (h^2 - 4z^2)$ sekillerinde

seçildiğinde serbest titreşim frekansının en düşük değerleri birinci fonksiyonun kullanıldığı durumda meydana gelmekte, h/a oranının küçük değerlerinde ise söz konusu uç fonksiyonun her biri aynı sonuçlar vermektedir.

- KDPT ve KPT kullanıldığında, a/b oranı arttığında serbest titreşim frekansının değerleri yavaş, fakat düzenli bir azalma göstermekte ve kayma deformasyonunun serbest titreşim frekansı değerlerine etkisi değişmemektedir.
- KDPT ve KPT kullanıldığında, $(1,n)$ için a/b oranı arttığında kayma deformasyonunun serbest titreşim frekansı değerlerine etkisi değişmemektedir.
- KDPT ve KPT kullanıldığında, (m,n) lerin değişimi için a/b oranı arttığında homojen olmamanın serbest titreşim frekansı değerlerine etkisi değişmemektedir.
- KDPT ve KPT kullanıldığında, $(m,1)$ için a/b oranı arttığında serbest titreşim frekansı değerleri azalmakta ve kayma deformasyonunun serbest titreşim frekansı değerlerine etkisi önemli derecede olup, a/b oranına bağlı olarak azalmaktadır.
- Young modülleri ve yoğunluk fonksiyonları ayrı-ayrı ve birlikte parabolik ve üstel fonksiyonlar şeklinde değiştiğinde üstel fonksiyon şeklinde değişimin serbest titreşim frekansı değerlerine etkisi daha büyük olmaktadır.
- Young modülleri ve yoğunluk fonksiyonları üstel fonksiyon şeklinde değiştiğinde ve K parametresinin azalması KPT kullanıldığında serbest titreşim frekansı değerlerine daha fazla etki göstermektedir.

- Young modülleri ve yoğunluk fonksiyonları negatif olduğunda serbest titreşim frekansı değerlerine pozitif fonksiyonların seçildiği durumlardan daha fazla etki göstermektedir.
- (m,n) değişiminden bağımsız olarak, Young modülleri ve yoğunluğun değişim fonksiyonu kuvvet fonksiyonu şeklinde değiştiğinde; yoğunluk sabit ve Young modülleri değişiminin serbest titreşim frekansı değerlerine etkisi çok az, Young modülleri sabit ve yoğunluk değişiminin titreşim frekansı değerlerine etkisi ise fazla olmakta, ayrıca Young modülleri ile yoğunluğun birlikte değiştiği durumdaki serbest titreşim frekansına olan etki ile aynı olmaktadır.
- Young modülleri ve yoğunluğun değişim fonksiyonu pozitif ve üstel olarak değiştiğinde, yoğunluk sabit tutulup, Young modülleri değişiminin serbest titreşim frekansı değerlerine etkisi, Young modülleri sabit ve yoğunluk değişiminin ve Young modülleri ile yoğunluğun aynı anda değişimlerinin titreşim frekansı değerlerine etkisinden daha büyük olmaktadır. En küçük etki ise, Young modülleri ve yoğunluk aynı anda değiştiği durumda meydana gelmektedir.
- Young modülleri ve yoğunluğun değişim fonksiyonu negatif ve üstel olarak değiştiğinde, serbest titreşim frekansı değerlerine en büyük etki Young modülleri sabit tutulup, yoğunluk değiştiğinde meydana gelmekte, en küçük etki ise, Young modülleri ve yoğunluk aynı anda değiştiği durumda meydana gelmektedir. Ayrıca, Young modüllerinin tek basına değişiminin de etkisi önemli derecede olmaktadır.

6.KAYNAKLAR

- Ahmadian, M.T., Sherafati Zangeneh M., 2002. Vibration Analysis of Orthotropic Rectangular Plates Using Super Elements. *Computer Methods in Applied Mechanics and Engineering*, 191, 2069-2075.
- Ambartsumian, S.A., 1964. *Theory of Anisotropic Shells*. TT F-118, NASA.
- Anderson, T.J., Nayfeh, A.H., 1996. Natural Frequencies and Mode Shapes of Laminated Composite Plates: Experiments and FEA. *Journal of Vibration and Control*, 2, 381-314.
- Ari-Gur, J., Simonetta, S.R., 1997. Dynamic Pulse Buckling of Rectangular Composite Plates. *Composites Part B: Engineering*, 28(3), 301-308.
- Aydogdu, M., Timarci, T., 2003. Vibration Analysis of Cross-Ply Laminated Square Plates With General Boundary Conditions. *Composites Science and Technology*, 63(7), 1061-1070.
- Bao, G., Ho, S., Suo, Z., Fan, B., 1992. The Role of Material Orthotropy in Fracture Specimens for Composites. *International Journal of Solids and Structures*, 29, 1105-1116.
- Bhat, R.B., 1985. Natural Frequencies of Rectangular Plates Using Characteristic Orthogonal Polynomials in Rayleigh-Ritz Method. *Journal of Sound and Vibration*, 102(4), 493-499.
- Brush, D., Almroth, B., 1975. *Buckling of Bars, Plates and Shells*. McGraw-Hill, New York.

- Chitnis, M. R. , Desai, Y. M., Shah, A. H. ve Kant, T., 2003. Comparisons of Displacement-Based Theories for Waves and Vibrations in Laminated and Sandwich Composite Plates. *Journal of Sound and Vibration*, 263(3), 617-642.
- Dickinson, S.M., Di-Blasio, A., 1986. On the Use of Orthogonal Polynomials in the Rayleigh-Ritz Method for the Study of the Flexural Vibration and Buckling of Isotropic and Orthotropic Rectangular Plates. *Journal of Sound and Vibration*, 108, 51-62.
- Gadjiev, V.D., Sofiyev, A.H., Mirzoyev, R.D.,1996. Free Vibration of Non-Homogeneous Elastic Rectangular Cylindrical Plates. *Proceedings of Institute of Mathematics and Mechanics, Academy of Sciences of Azerbaijan*, IV (XIII), 103-108, Baku (in Russian).
- Gorman, D.J., 2003. Free Vibration Analysis of Corner-Supported Rectangular Plates with Symmetrically Distributed Edge Beams. *Journal of Sound and Vibration*, 263(5), 979-1003.
- Gutierrez, R.H., Laura, P.A.A., Bambill, D.V., Jederlinic, V.A., Hodges, D.H., 1998. Axisymmetric Vibrations of Solid Circular and Annular Membranes with Continuously Varying Density. *Journal of Sound and Vibration*, 212(4), 611-622.
- Hong, C.C., Jane, K.C., 2003. Shear Deformation in Thermal Vibration Analysis of Laminated Plates by the GDQ Method. *International Journal of Mechanical Sciences*,45(1),21-36.
- Huang, X. -L., Zheng, J. -J., 2003. Nonlinear Vibration and Dynamic Response of Simply Supported Shear Deformable Laminated Plates on Elastic Foundations. *Engineering Structures*, 25(8), 1107-1119.

- Ip, K. H., Chan, W. K., Tse, P. C., Lai, T. C., 1996. Vibration Analysis of Orthotropic Thin Cylindrical Shells with Free Ends by the Rayleigh-Ritz Method. *Journal of Sound and Vibration*, 195(1), 117-135.
- Jones, R. M., 1975. *Mechanics of Composite Materials*. McGraw-Hill, New York.
- Khoroshun, L.P., Kozlov, S.Y., 1998. *The Generalized Theory of Plates and Shells Non-homogeneous in Thickness Direction*. Naukova Dumka, Kiev (in Russian).
- Kitipornchai, S., Yang, J., Liew, K.M., 2004. Semi-Analytical Solution for Nonlinear Vibration of Laminated FGM Plates with Geometric Imperfections. *International Journal of Solids and Structures*, 41, 2235-2257.
- Lakis, A.A., Selmane, A., Toledano, A., 1998. Non-Linear Free Vibration Analysis of Laminated Orthotropic Cylindrical Shells. *International Journal of Mechanical Sciences*, 40(1), 27-49.
- Lee, Y.S., Choi, M.H., Kim, J.H., 2003. Free Vibrations of Laminated Composite Cylindrical Shells with an Interior Rectangular Plate. *Journal of Sound and Vibration*, 265(4), 795-817.
- Leissa, A.W., Kang, J.H., 2002. Exact Solutions for Vibration and Buckling of an SS-C-SS-C Rectangular Plate Loaded by Linearly Varying In-Plane Stresses. *International Journal of Mechanical Sciences*, 44, 1925-1945.
- Lekhnitskii, S.G., 1968. *Anisotropic Plates*, Gordon and Breach. Science Publishers, New York.
- Lekhnitskii, S.G., 1980. *Theory of Elasticity of an Anisotropic Elastic Body*. Holden Day. San Francisco, also Mir Publishers, Moscow.

- Li, Y.Y., Cheng, L., Yam, L.H., Yan, Y.J., 2003. Numerical Modeling of a Damaged Plate with Piezoelectric Actuation. *Smart Materials and Structures*, 12(4), 524-532.
- Liew, K.M., 1992. *Vibration of Symmetrically Laminated Cantilever Trapezoidal Composite Plates*. Division of Applied Mechanics.
- Liew, K. M., Hung, K. C., Lim, M. K., 1993. A Continuum Three-Dimensional Vibration Analysis of Thick Rectangular Plates. *International Journal of Solids and Structures*, 30(24), 3357-3379.
- Lomakin, V.A., 1976. *The Elasticity Theory of Non-homogeneous Materials*. Nauka, 245s, Moscow, (in Russian).
- Matsunaga, M., 2001. Vibration and Stability of Angle-Ply Laminated Composite Plates Subjected to In-Plane Stresses. *International Journal of Mechanical Sciences*, 43, 1925-1944.
- Messina, A., 2001. Two Generalized Higher Order Theories in Free Vibration Studies of Multilayered Plates. *Journal of Sound and Vibration*, 242(1), 125-150.
- Naeem, M.N., Sharma, C.B., 2000. Prediction of Natural Frequencies for Thin Circular Cylindrical Shells. *Proceedings of the Institution of Mechanical Engineers Part C-Journal of Mechanical Engineering Science*, 214(10), 1313-1328.
- Nayak, A. K., Moy, S. S. J., Sheno, R. A., 2002. Free Vibration Analysis of Composite Sandwich Plates Based on Reddy's Higher-Order Theory. *Composites Part B: Engineering*, 33(7), 505-519.

- Ng, T.Y., Lam, K.Y., 1999. Dynamic Stability Analysis of Cross-Ply Laminated Cylindrical Shells Using Different Thin Shell Theories. *Acta Mechanica*, 134(3-4), 147-167.
- Palazatto, A.N., Chien, L.S., Taylor, W.W., 1992. Stability Characteristics of Laminated Cylindrical Panels under Transverse Loading. *American Institute of Aeronautics and Astronautics Journal*, 30(6), 1649-1653.
- Park, J., Mongeau, L., Siegmund, T., 2003. Influence of Support Properties on the Sound Radiated from the Vibrations of Rectangular Plates. *Journal of Sound and Vibration*, 264(4), 775-794.
- Perel, V.Y., Palazotto, A.N., 2003. Dynamic Geometrically Nonlinear Analysis of Transversely Compressible Sandwich Plates. *International Journal of Non-Linear Mechanics*, 38(3), 337-356.
- Reddy, J.N., 1997. *Mechanics of Laminated Composite Plates*. Boca Raton, CRC Press.
- Singh, B.N., Yadav, D., Iyengar, N.G.R., 2001. Natural Frequencies of Composite Plates with Random Material Properties Using Higher-Order Shear Deformation Theory. *International Journal of Mechanical Sciences*, 43, 2193-2214.
- Sofiyev, A.H., 2002. The Buckling of a Cross-Ply Laminated Non-Homogeneous Orthotropic Composite Cylindrical Thin Shell Under Time Dependent External Pressure. *Structural Engineering and Mechanics an International Journal*, 14(6), 661-677.
- Sofiyev, A.H., 2003. Dynamic Buckling of Functionally Graded Cylindrical Thin Shells Under Non-Periodic Impulsive Loading. *Acta Mechanica*, 165(3-4), 151-163.

- Sofiyev, A.H., Aksogan, O., 2003. Non-Linear Free Vibration Analysis of Laminated Non-Homogeneous Orthotropic Cylindrical Shells. Proceedings of the Institution of Mechanical Engineers, Part K: Journal of Multi-Body Dynamics, 217(4), 293-300.
- Soldatos, K.P., 1987. Influence of Thickness Shear Deformation on Free Vibrations of Rectangular Plates, Cylindrical Panels and Cylinders of Antisymmetric Angle-Ply Construction. Journal of Sound and Vibration, 119(1), 111-137.
- Soldatos, K.P., Messina, A., 2001. The Influence of Boundary Conditions and Transverse Shear on the Vibration of Angle-Ply Laminated Plates, Circular Cylinders and Cylindrical Panels. Computer Methods in Applied Mechanics and Engineering, 190, 2385-2409.
- Smith, C.S., 1990. Design of Marine Structures in Composite Materials. Elsevier Applied Science, London.
- Tameroglu, S.S., 1996. Vibrations of Clamped Rectangular Plates on Elastic Foundations Subjected to Uniform Compressive Forces. Journal of Engineering Mechanics, 122(8), 714-718.
- Timoshenko, S.P., Gere, J.M., 1961. Theory of Elastic Stability. McGraw-Hill, New York.
- Timoshenko, S.P., Woinowsky-Krieger, S., 1959. Theory of Plates and Shells. McGraw-Hill, New York.
- Tong, L., 1994. Free Vibration of Laminated Conical Shells Including Transverse Shear Deformation. International Journal of Solids and Structures, 31(4), 443-456.

- Vinson, J.R., Sierakowski, R.L., 1986. *The Behavior of Structures Composed of composite Material*, Nijhoft, Dordrecht.
- Volmir, A.S., 1972. *Nonlinear Dynamics of Plates and Shells*. Nauka, Moscow.
- Wang, B.H., Han, J.C., Du, S.Y., 1998. Dynamic Fracture Mechanics Analysis for Composite Material with Material Non-Homogeneity in Thickness Direction. *Acta Mechanica Solida Sinica*, 11, 84-93.
- Wang, B.L., Han, J.C., Du, S.Y., 2000. Cracks Problem for Non-Homogeneous Composite Material Subjected to Dynamic Loading. *International Journal of Solids and Structures*, 37(9), 1251-1274.
- Wang, S., Dawe, D.J., 2002. Dynamic Instability of Composite Laminated Rectangular Plates and Prismatic Plate Structures. *Computer Methods in Applied Mechanics and Engineering*, 191, 1791-1826.
- Whitney, J.M., 1987. *Structural Analysis of Laminated Anisotropic Plates*. Technomic Publishing, Lancaster.
- Wu, J.S., Chou, H.M., Chen, D.W., 2003. Free Vibration Analysis of a Rectangular Plate Carrying Multiple Various Concentrated Elements. *Proceedings of the Institution of Mechanical Engineers Part K-Journal of Multi-Body Dynamics*, 217(2), 171-183.
- Xiang, Y., Reddy, J. N., 2003. Natural Vibration of Rectangular Plates with an Internal Line Hinge Using the First Order Shear Deformation Plate Theory. *Journal of Sound and Vibration*, 263(2), 285-297.

- Yu, S.D., Cleghorn, W.L., 1993. Generic Free Vibration of Orthotropic Rectangular Plates with Clamped and Simply Supported Edges. *Journal of Sound and Vibration*, 163, 439-450.
- Zenkour, A.M., 2002. Elastic Behaviour of an Orthotropic Beam/One-Dimensional Plate of Uniform and Variable Thickness. *Journal of Engineering Mathematics*, 44(4), 331-344.
- Zenkour, A.M., 2003. Exact mixed-classical solutions for the bending analysis of shear deformable rectangular plates, *Applied Mathematical Modelling*, 27(7), 515-534.
- Zenkour, A.M., Fares, M.E., 2001. Bending, buckling and free vibration of non-homogeneous composite laminated cylindrical shell using a refined first-order theory, *Compos. Part B Eng.*, 32 , 237-247.

ÖZGEÇMİS

Adi Soyadi : Iffet Feyza Çirak

Dogum Yeri : Isparta

Dogum Tarihi : 17.10.1978

Medeni Hali : Evli

Egitim ve Akademik Durumu:

Lise : 1989-1995 Antalya Anadolu Lisesi

Lisans : 1997-2001 Süleyman Demirel Üniversitesi

Mühendislik-Mimarlık Fakültesi İnşaat Mühendisliği Bölümü

Yabancı Dil : İngilizce

İs Deneyimi:

2002-... : Süleyman Demirel Üniversitesi Fen Bilimleri Enstitüsü'nde

Arastırma Görevliliği

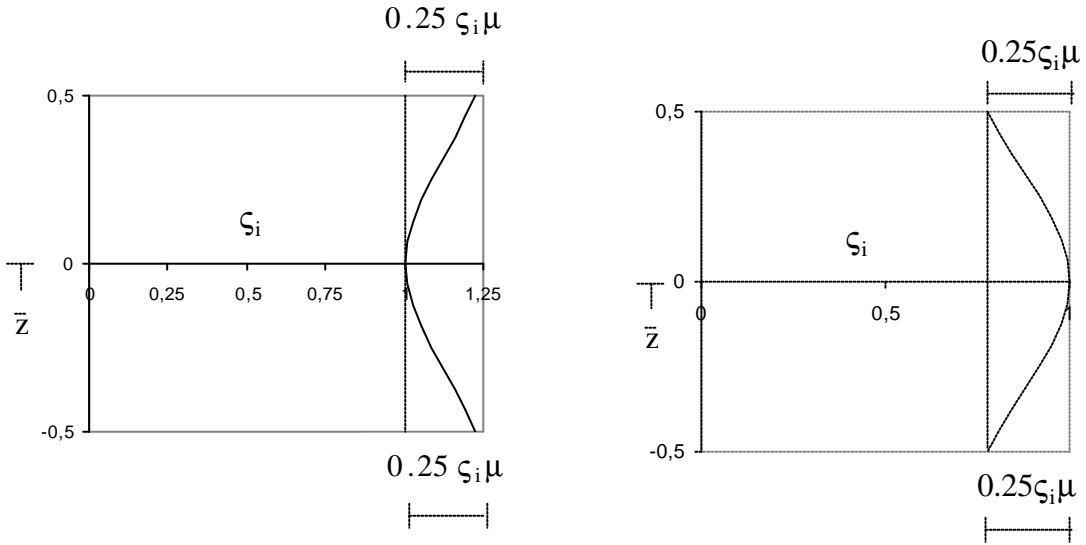
EKLER

EK-1

Young Modülleri, Kayma Modülleri ve Yogunlugun Kalinlik Koordinatina Bagli Olarak Degisimleri

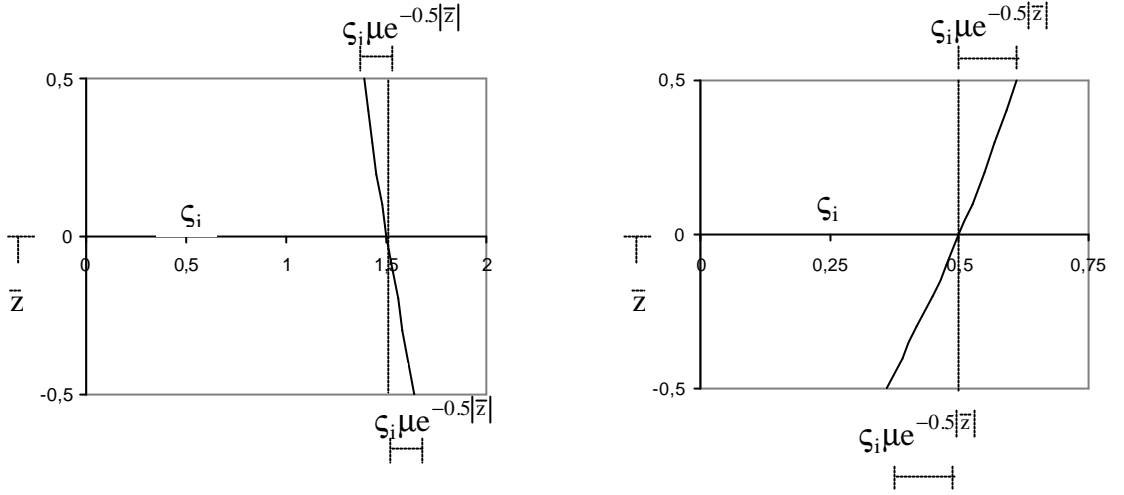
Çalışmada seçilen $\eta_i(\bar{z})$, ($i=1,2$) fonksiyonlari ile Young modülleri ve yogunlugun kalinlik koordinatina bagli olarak degisimi asagidaki sekilde verilmektedir. Burada ζ_i , $i=1$ için Young modülünün ve $i=2$ için yogunlugun degisimini göstermektedir:

a.) $\eta_i(\bar{z}) = \pm \bar{z}^2$, ($i=1,2$) oldugunda; $E(\bar{z}) = E_0[1 \pm \mu \bar{z}^2]$, Young modülü ve $\rho(\bar{z}) = \rho_0[1 \pm \mu \bar{z}^2]$ yogunlugun degisimi asagidaki gibidir (Ek Sekil 1):



Ek Sekil 1. Young modülü ve yogunlugun $\eta_i(\bar{z}) = \pm \bar{z}^2$, ($i=1,2$) fonksiyonu seklinde degisimi

b.) $\eta_i(\bar{z}) = \pm e^{-0.5|\bar{z}|}$, ($i=1,2$) olduğunda; $E(\bar{z}) = E_0[1 \pm \mu e^{-0.5|\bar{z}|}]$, Young modülü ve $\rho(\bar{z}) = \rho_0[1 \pm \mu e^{-0.5|\bar{z}|}]$ yoğunlugun degisimi asagidaki gibidir (Ek Sekil 2):



Ek Sekil 2. Young modülü ve yoğunlugun $\eta_i(\bar{z}) = \pm e^{-0.5|\bar{z}|}$, ($i=1,2$) fonksiyonu seklinde degisimi

(m,n), E_{01}/E_{02} , a/b, h/a için, Young Modülleri ve yoğunluk kalınlık koordinatına göre sırasıyla $\eta_i(\bar{z}) = \pm \bar{z}^2$, (i = 1,2), $\eta_i(\bar{z}) = \pm e^{K^*(\bar{z})}$, (i = 1,2) fonksiyonları şeklinde değiştiğinde ve $f(z) = f_1(z) = f_2(z) = \frac{1}{2} \left(\frac{h^2}{4} - z^2 \right)$ fonksiyonu için serbest titreşim frekansı değerlerinin bulunması programı

Bu çalışmada, sayısal hesaplar ve analiz için Maple 8 bilgisayar programı kullanılmıştır. Bu program, oldukça etrafli bir matematik programı olup, kullanıcıya matematiğin bir çok dalında oldukça büyük kolaylıklar sağlamaktadır.

```

> a:=0.3411;
> b:=0.3522;
> for m from 1 by 1 to 50 do
> n:=1;
> h:=0.00353;
> λ:=evalf(m*Pi/a);
> μ:=evalf(n*Pi/b);
> E01:=evalf(152.7*10^9);
> E02:=evalf(8.832*10^9);
> G012:=evalf(5.274*10^9);
> G013:=evalf(5.274*10^9);
> G023:=evalf(4.605*10^9);
> v1:=0.297;
> v2:=0.0172;
> ρ0:=evalf(1.56*10^3);
> f1:=evalf((1/2)*((h^2)/4)-(z1^2));
> f2:=evalf((1/2)*((h^2)/4)-(z1^2));
> J01:=evalf(int(f1, z1=0..z));
> J02:=evalf(int(f2, z1=0..z));
> μ1:=0;
> μ2:=0;

```

```

> T1:=z^2;
> T2:=z^2;
> E1:=evalf(E01*(1+mu1*T1));
> E2:=evalf(E02*(1+mu1*T1));
> G12:=evalf(G012*(1+mu1*T1));
> G13:=evalf(G130*(1+mu1*T1));
> G23:=evalf(G230*(1+mu1*T1));
> rho_t:=evalf(rho_0*int((1+mu2*T2), z=-1/2..1/2));
> rho_1:=evalf(rho_0*int((z^2)*(1+mu2*T2), z=-1/2..1/2));
> B11:=evalf(E1/(1-v1*v2));
> B22:=evalf(E2/(1-v1*v2));
> B12:=evalf((v2*E1)/(1-v1*v2));
> B21:=evalf((v1*E2)/(1-v1*v2));
> B66:=evalf(G12*(1+mu1*T1));
> a55:=evalf(1/G13);
> a44:=evalf(1/G23);
> a45:=0;
> A13^0:=evalf(int(B11*a55*J01, z=-h/2..h/2));
> A14^0:=evalf(int(B12*a45*J01, z=-h/2..h/2));
> A15^0:=evalf(int(B11*a45*J02, z=-h/2..h/2));
> A16^0:=evalf(int(B12*a44*J02, z=-h/2..h/2));
> A23^0:=evalf(int(B21*a55*J01, z=-h/2..h/2));
> A24^0:=evalf(int(B22*a45*J01, z=-h/2..h/2));
> A25^0:=evalf(int(B21*a45*J02, z=-h/2..h/2));
> A26^0:=evalf(int(B22*a44*J02, z=-h/2..h/2));
> A33^0:=evalf(int(B66*a55*J01, z=-h/2..h/2));
> A34^0:=evalf(int(B66*a45*J01, z=-h/2..h/2));
> A35^0:=evalf(int(B66*a45*J02, z=-h/2..h/2));

```



```

> A360 := evalf(int(B66*a44*J02, z=-h/2..h/2));
> A131 := evalf(int(z*B11*a55*J01, z=-h/2..h/2));
> A141 := evalf(int(z*B12*a45*J01, z=-h/2..h/2));
> A151 := evalf(int(z*B11*a45*J02, z=-h/2..h/2));
> A161 := evalf(int(z*B12*a44*J02, z=-h/2..h/2));
> A231 := evalf(int(z*B21*a55*J01, z=-h/2..h/2));
> A241 := evalf(int(z*B22*a45*J01, z=-h/2..h/2));
> A251 := evalf(int(z*B21*a45*J02, z=-h/2..h/2));
> A261 := evalf(int(z*B22*a44*J02, z=-h/2..h/2));
> A331 := evalf(int(z*B66*a55*J01, z=-h/2..h/2));
> A341 := evalf(int(z*B66*a45*J01, z=-h/2..h/2));
> A351 := evalf(int(z*B66*a45*J02, z=-h/2..h/2));
> A361 := evalf(int(z*B66*a44*J02, z=-h/2..h/2));
> A110 := evalf(int(E1*(z^0)/(1-v1*v2), z=-h/2..h/2));
> A111 := evalf(int(E1*(z^1)/(1-v1*v2), z=-h/2..h/2));
> A112 := evalf(int(E1*(z^2)/(1-v1*v2), z=-h/2..h/2));
> A120 := evalf(int(v1*E2*(z^0)/(1-v1*v2), z=-h/2..h/2));
> A210 := evalf(int(v2*E1*(z^0)/(1-v1*v2), z=-h/2..h/2));
> A121 := evalf(int(v1*E2*(z^1)/(1-v1*v2), z=-h/2..h/2));
> A211 := evalf(int(v2*E1*(z^1)/(1-v1*v2), z=-h/2..h/2));
> A122 := evalf(int(v1*E2*(z^2)/(1-v1*v2), z=-h/2..h/2));
> A212 := evalf(int(v2*E1*(z^2)/(1-v1*v2), z=-h/2..h/2));
> A220 := evalf(int(E2*(z^0)/(1-v1*v2), z=-h/2..h/2));
> A221 := evalf(int(E2*(z^1)/(1-v1*v2), z=-h/2..h/2));
> A222 := evalf(int(E2*(z^2)/(1-v1*v2), z=-h/2..h/2));

```

```

> A660 := evalf(int(G12*(z^0), z=-h/2..h/2));
> A661 := evalf(int(G12*(z^1), z=-h/2..h/2));
> A662 := evalf(int(G12*(z^2), z=-h/2..h/2));
> I5 := int(f1, z1=-h/2..h/2);
> I6 := int(f2, z1=-h/2..h/2);
> ? := evalf(A110*A220-A120*A210);
> W11 := (A220/?);
> W12 := evalf((-1)*A120/?);
> W13 := evalf(((A120*A211)-(A111*A220))/?);
> W14 := evalf(((A120*A221)-(A121*A220))/?);
> W15 := evalf(((A230*A120)-(A130*A220))/?);
> W16 := evalf((A240*A120)-(A140*A220))/?);
> W17 := evalf(((A250*A120)-(A150*A220))/?);
> W18 := evalf(((A260*A120)-(A160*A220))/?);
> W21 := evalf((-1*A210)/?);
> W22 := evalf(A110/?);
> W23 := evalf((A110*A210)-(A211*A110)/?);
> W24 := evalf((A120*A210)-(A221*A110)/?);
> W25 := evalf((A130*A210)-(A230*A110)/?);
> W26 := evalf((A140*A210)-(A240*A110)/?);
> W27 := evalf((A150*A210)-(A250*A110)/?);
> W28 := evalf((A160*A210)-(A260*A110)/?);
> W31 := evalf(1/A660);
> W32 := evalf((( -1)*2*A661)/A660);
> W35 := A330 / A660;
> W36 := A340 / A660;

```

```

> W37 := A35^0 / A66^0 ;
> W38 := A36^0 / A66^0 ;
> c11 := evalf((A11^1 * W11) + (A12^1 * W21)) ;
> c12 := evalf((A11^1 * W12) + (A12^1 * W12)) ;
> c13 := evalf((A11^1 * W13) + (A12^1 * W23) + A11^2) ;
> c14 := evalf((A11^1 * W14) + (A12^1 * W24) + A12^2) ;
> c15 := evalf((A11^1 * W15) + (A12^1 * W25) + A13^1) ;
> c16 := evalf((A11^1 * W16) + (A12^1 * W26) + A14^1) ;
> c17 := evalf((A11^1 * W17) + (A12^1 * W27) + A15^1) ;
> c18 := evalf((A11^1 * W18) + (A12^1 * W28) + A16^1) ;
> c21 := evalf((A21^1 * W11) + (A22^1 * W21)) ;
> c22 := evalf((A21^1 * W12) + (A22^1 * W22)) ;
> c23 := evalf((A21^1 * W13) + (A22^1 * W23) + A21^2) ;
> c24 := evalf((A21^1 * W14) + (A22^1 * W24) + A22^2) ;
> c25 := evalf((A21^1 * W15) + (A22^1 * W25) + A23^1) ;
> c26 := evalf((A21^1 * W16) + (A22^1 * W26) + A24^1) ;
> c27 := evalf((A21^1 * W17) + (A22^1 * W27) + A25^1) ;
> c28 := evalf((A21^1 * W18) + (A22^1 * W28) + A26^1) ;
> c31 := evalf(A66^1 * W31) ;
> c32 := evalf((A66^1 * W32) + 2 * A66^2) ;
> c35 := evalf((A33^1 - (A66^1 * W35))) ;
> c36 := evalf((A34^1 - (A66^1 * W36))) ;
> c37 := evalf((A35^1 - (A66^1 * W35))) ;
> c38 := evalf((A36^1 - (A66^1 * W36))) ;
> Q11 := evalf((W22 * (lambda^4)) + ((W12 + W21 - (2 * W31)) *

```

```

( λ^2)*(μ^2))+(W11*(μ^4)) );
> Q12:=evalf((W23*(λ^4))+((W24+W13-(2*W32))*(λ^2)*(
μ^2))+W14*μ^4));
> Q13:=evalf((W25*(λ^3))+((W15+(2*W36))*(
λ)*(μ^2))+W11*(μ^4));
> Q14:=evalf(((W28+(2*W37))*(λ^2)*μ)+W18*(μ^3));
> Q21:=evalf(((c11-c31)*(λ^2)*(μ^2))+c12*(λ^4));
> Q22:=evalf(((c14+c32)*(λ^2)*(μ^2))
+(c13*(λ^4)));
> Q23:=evalf((c15*(λ^3))+c36*λ*(μ^2)+I5*λ);
> Q24:=evalf((c18+c37)*(λ^2)*μ);
> Q31:=evalf((c21*(μ^4))+((c22-c31)*(λ^2)*(μ^2)));
> Q32:=evalf(((c32+c23)*(λ^2)*(μ^2))+c24*(μ^4));
> Q33:=evalf((c36+c25)*λ*(μ^2));
> Q34:=evalf(c37*(λ^2)*μ+c28*(μ^3)+I5*μ);
> X11:=evalf(Q22-(Q21*Q12/Q11));
> X12:=evalf(Q23-(Q21*Q13/Q11));
> X13:=evalf(Q24-(Q21*Q14/Q11));
> X14:=evalf((λ^2)*ρ1*(h^3));
> X21:=evalf(Q32-(Q31*Q12/Q11));
> X22:=evalf(Q33-(Q31*Q13/Q11));
> X23:=evalf(Q34-(Q31*Q14/Q11));
> X24:=evalf((μ^2)*ρ1*(h^3));
> Y1:=X11/X12;
> Y2:=X13/X12;
> Y3:=(X11*X22/X12)-X21;
> Y4:=(X13*X22/X12)-X23;
> Y5:=evalf(X14*X22/(X12*Y4)-X24/Y4);
> U1:=c12*(λ^4)+((c11-
(2*c31)+c22)*(λ^2)*(μ^2))+c21*(μ^4));

```

```

> U2 := W23 * (lambda^4) + ( (W13 -
(2 * W32) + W24) * (lambda^2) * (mu^2) ) + (W14 * (mu^4) ) ;
> U3 := W22 * (lambda^4) + ( (W12 -
(2 * W31) + W21) * (lambda^2) * (mu^2) ) + (W11 * (mu^4) ) ;
> U4 := c13 * (lambda^4) + ( (c14 + (2 * c32) + c23) * (lambda^2) * (mu^2) )
+ (c24 * (mu^4) ) ;
> omega_mn^0 := evalf( abs( ( ( (U4 - (U1 * U2 / U3) ) ) / (rho_t * h) ) ^ (1/2) ) ) ;
> omega_mn := evalf( abs( ( ( I5 / (rho_t * h - I5 * Y2 * Y5 * lambda - Y5 * mu * I5) ) * ( (Y1 -
(Y2 * Y3 / Y4) ) * lambda + (Y3 / Y4) * mu ) ) ^ (1/2) ) ) ;
> J := evalf( ( abs( ( omega_mn^0 - omega_mn ) / omega_mn^0 ) ) * 100 ) ;
> lprint( 'm' = m, 'n' = n, 'h' = h, 'mu_1' = mu_1, 'omega_mn' = omega_mn, 'omega_mn^0' = omega_mn^0, 'J
' = J ) ;
> end do ;
> restart ;

```

Burada, sirasiyla enine dalga sayisi (n) ve boyuna dalga sayisi (m) degistirilerek, kalinalik koordinatina göre sirasiyla $\eta_i(\bar{z}) = \pm \bar{z}^2, (i = 1, 2)$, $\eta_i(\bar{z}) = \pm e^{K^*(\bar{z})}, (i = 1, 2)$

fonksiyonlari seçilmiş ve $f(z) = f_1(z) = f_2(z) = \frac{1}{2} \left(\frac{h^2}{4} - z^2 \right)$ fonksiyonu için serbest

titresim frekansi degerleri bulunmudur. Yapilacak analize göre, μ_1 ve μ_2 degerlerinde gerekli degisiklikler yapilmaktadir. $\eta_i(\bar{z}) = \pm e^{K^*(\bar{z})}, (i = 1, 2)$ fonksiyonu dikkate alindiginda ise, $K = -0.5$ olarak seçilmistir.